



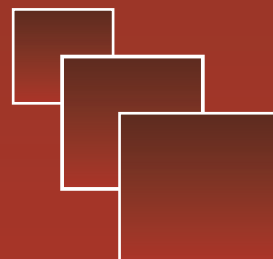
Вестник

Уральского
государственного
университета
путей сообщения

Научный журнал

Herald
of the Ural State University
of Railway Transport

Scientific journal



Научный журнал
Вестник Уральского государственного
университета путей сообщения
(Вестник УрГУПС)
№ 3 (59), 2023 год

Главный редактор
Дмитрий Станиславович Завалищин
Зам. главного редактора
Василий Федорович Лапшин
Научный редактор
Василий Михайлович Сай

Литературный и выпускающий редактор
Людмила Станиславовна Барышникова

Техническое редактирование и верстка
Светлана Николаевна Наймушина

Учредитель и издатель:
Федеральное государственное
бюджетное образовательное учрежде-
ние высшего образования «Уральский
государственный университет путей
сообщения» (ФГБОУ ВО УрГУПС)

Адрес учредителя, издателя и редакции:
620034, Екатеринбург,
ул. Колмогорова, 66

Телефон редакции: (343) 221-25-60.
Веб-сайт: www.usurt.ru/vestnik;
e-mail: vestnik@usurt.ru.

Вестник УрГУПС включен ВАКом
в перечень периодических, научных
и научно-технических изданий,
выпускаемых в Российской Федерации,
в которых рекомендуется публикация
основных результатов диссертаций.

DOI:10.20291/2079-0392

Свидетельство о регистрации
средства массовой информации
Роскомнадзора ПИ № ФС77–38188
от 30 ноября 2009 г.

Подписной индекс журнала
в общероссийском каталоге
«Пресса России» – 70070

Отпечатано в издательстве
Уральского государственного
университета путей сообщения,
620034, Екатеринбург,
ул. Колмогорова, 66.

Подписано в печать 27.10.2023
Дата выхода в свет 07.11.2023.
Цена 501,99 руб.
Изготовлено в ИБК УрГУПС

Тираж 300 экз. 1-й з-д: 1–40.
Формат 70×100/16. Заказ 32

Уральский государственный
университет путей сообщения
(ФГБОУ ВО УрГУПС), 2023 ©

Scientific journal «Herald of the
Ural State University
of Railway Transport»
(Herald of the USURT)
№ 3 (59), 2023

Editor-in-chief
Dmitry S. Zavalishchin
Deputy Editor-in-Chief
Vasily F. Lapshin
Science editor
Vasily M. Say

Script and copy editor
Lyudmila S. Baryshnikova

Technical editing and make-up
Svetlana N. Naimushina

Founder and publisher:
Federal state-funded educational
institution of the higher education
«Ural State University of Railway Transport»
(FGBOU VO URGUPS)

Address of the founder, publisher and edition:
66 Kolmogorov Street,
620034, Ekaterinburg

Telephone: +7 (343) 221-25-60.
Web-site: www.usurt.ru/vestnik;
e-mail: vestnik@usurt.ru.

DOI:10.20291/2079-0392

The Mass Media Registration Certificate
by the Federal Service for Supervision
of Communications, Information Technology,
and Mass Media (Roskomnadzor)
PI No. FS77-38188
of November 30, 2009

Subscription reference number
of the issue in the All Russia Catalogue
«Pressa Rossii» – 70070

Printed in the Publishing house
of the Ural State University of
Railway Transport
66 Kolmogorov Street,
620034, Ekaterinburg.

Passed for printing 27.10.2023
Data of issue 07.11.2023.
The price 501,99 rub.
Manufactured in IBK UrGUPS

Circulation 300. The 1st pr.: 1–40.
Format 70×100/16. Order 32

The Ural State University
of Railway Transport
(FGBOU VO URGUPS), 2023 ©

МЕЖДУНАРОДНЫЙ РЕДАКЦИОННЫЙ СОВЕТ

Владимир Викторович Цыганов, д-р техн. наук, профессор, Институт проблем управления Российской академии наук, Москва, Россия

Сергей Герман-Галкин, д-р техн. наук, профессор, Морская академия, Институт судовой автоматики и электротехники, г. Щецин, Польша

Дорел Гузун, д-р техн. наук, профессор, Институт нанотехнологий и инженерии, Университет Арканзаса, США

Александр Леонидович Казаков, д-р физ.-мат. наук, профессор, Институт динамики систем и теории управления имени В. М. Матросова Сибирского отделения Российской академии наук, г. Иркутск, Россия

Вячеслав Семенович Шварцфельд, д-р техн. наук, профессор, Петербургский государственный университет путей сообщения, Санкт-Петербург, Россия

Михаил Ростиславович Якимов, д-р техн. наук, директор Института транспортного планирования Российской академии транспорта, Москва, Россия

Василий Михайлович Сай, д-р техн. наук, профессор, Уральский государственный университет путей сообщения, Екатеринбург, Россия

РЕДКОЛЛЕГИЯ

Евгений Самуилович Ашпиз, д-р техн. наук, профессор, РУТ, Москва

Владимир Григорьевич Булаев, д-р техн. наук, профессор, УрГУПС, Екатеринбург

Александр Петрович Буйновосов, д-р техн. наук, профессор, УрГУПС, Екатеринбург

Игорь Игоревич Гаврилин, канд. биол. наук, доцент, УрГУПС, Екатеринбург

Дмитрий Станиславович Завалищин, канд. физ.-мат. наук, доцент, УрГУПС, Екатеринбург

Сергей Николаевич Корнилов, д-р техн. наук, профессор, МГТУ, г. Магнитогорск

Валерий Максимович Курганов, д-р техн. наук, профессор, ТвГУ, Тверь

Василий Федорович Лапшин, д-р техн. наук, профессор, УрГУПС, Екатеринбург

Валерий Владимирович Сапожников, д-р техн. наук, профессор, ПГУПС, Санкт-Петербург

Галина Адольфовна Тимофеева, д-р физ.-мат. наук, профессор, УрГУПС, Екатеринбург

Константин Владимирович Щурин, д-р техн. наук, профессор Московского государственного областного технологического университета, г. Королёв

INTERNATIONAL EDITORIAL BOARD

Vladimir Viktorovich Tsyganov, Doctor of Technical Sciences, Professor, Institute of Control Sciences of Russian Academy of Sciences, Moscow, Russia

Sergey German-Galkin, Doctor of Technical Sciences, Professor, Maritime University, Institute of Marine Electrical Engineering and Vessel Automation, Szczecin, Poland

Dorel Guzun, Doctor of Technical Sciences, Professor, Institute for Nanoscience and Engineering, University of Arkansas, USA

Alexander Leonidovich Kazakov, Doctor of Physical and Mathematical Sciences, Professor, Matrosov Institute of System Dynamics and Control Theory of Siberian Branch of Russian Academy of Sciences, Irkutsk, Russia

Vyacheslav Semyonovich Schwarzfeld, Doctor of Technical Sciences, Professor, Emperor Alexander I St. Petersburg State Transport University, St. Petersburg, Russia

Mikhail Rostislavovich Yakimov, Doctor of Technical Sciences, Director of Institute of Transport Planning of Russian Transport Academy, Moscow, Russia

Vasilii Mikhailovich Say, Doctor of Technical Sciences, Professor, Ural State University of Railway Transport, Yekaterinburg, Russia

EDITORIAL BOARD

Evgeniy Samuilovich Ashpiz, Doctor of Technical Sciences, Professor, RUT (MIIT), Moscow

Vladimir Grigoryevich Bulaev, Doctor of Technical Sciences, Professor, USURT, Yekaterinburg
Alexander Petrovich Buynosov, Doctor of Technical Sciences, Professor, USURT, Yekaterinburg

Igor Igorevich Gavrilin, Candidate of Biological Sciences, Associate Professor, USURT, Yekaterinburg

Dmitry Stanislavovich Zavalishchin, PhD, associate professor, The Ural State University of Railway Transport, Yekaterinburg

Sergey Nikolaevich Kornilov, Doctor of Technical Sciences, Magnitogorsk State Technical University, Professor, Magnitogorsk

Valeriy Maksimovich Kurganov, Doctor of Technical Sciences, Professor, TSU, Tver Vasiliiy Fedorovich Lapshin, Doctor of Technical Sciences, Professor, USURT, Yekaterinburg

Valeriy Vladimirovich Sapozhnikov, Doctor of Physical Sciences, Professor, PSTU, St. Petersburg

Galina Adolfova Timofeeva, Doctor of Physical and Mathematical Sciences, Professor, USURT, Yekaterinburg

Konstantin Vladimirovich Shchurin, Doctor of Technical Sciences, Professor, Moscow Region University of Technology, Korolev city

Содержание

Математические модели технологических процессов

- 4 Н. В. Медведева, С. С. Титов. Применение многократно стохастических матриц для построения абсолютно стойких систем передачи данных

- 14 О. Н. Ие. Выбор и оценка ARIMA-модели для прогнозирования пассажиропотока

Организация производства

- 23 Н. Ф. Сирина, Д. Л. Русин. Методика адаптивного регулирования и управления тяговыми ресурсами на полигоне железных дорог

- 36 П. В. Алексеева, К. В. Авдеева. Анализ факторов, влияющих на защитный потенциал металлического подземного сооружения, с учетом влияния движения электроподвижного состава по участку

- 46 Д. В. Ольховатов, А. В. Шевкунова. Разработка энергоэффективного асинхронного электропривода мотор-вентилятора электровоза

- 56 Е. В. Зелюкова, Л. П. Караваева, А. А. Онипко. Механизм формирования и поддержания организационного доверия на предприятиях транспортной отрасли

Управление в технических системах

- 67 В. М. Курганов, М. В. Грязнов, А. Н. Дорофеев. Планирование и учет расхода автомобильного топлива в электронных путевых листах

- 80 П. Ю. Иванов, Е. Ю. Дульский, Д. О. Емельянов. Реверсивный инжиниринг в исследовании элементов тормозных систем

Механика машин и роботов

- 87 В. А. Николаев, В. А. Нехаев, А. Н. Смалев, К. О. Серяков. Повышение эффективности грузоперевозок на основе совершенствования механической части электровоза 2ЭС6

Организация и логистика

- 98 Н. А. Осинцев, А. В. Цыганов, А. Н. Рахмангулов. Математическая модель оптимизации комплекса инструментов «зеленой» логистики

Безопасность жизнедеятельности

- 113 Р. М. Лявлин. Инженерная защита земляного полотна Байкальского участка ВСЖД

Аспирантская тетрадь

- 126 Д. С. Кривошея. Влияние свойств дискового тормоза с термоизолированными узлами трения на коэффициент трения покоя

Contents

Mathematic models of technological processes

- 4 N. V. Medvedeva, S. S. Titov. Using the multiple stochastic matrices for construction of absolutely stable data transmission systems

- 14 O. N. Ie. Selection and evaluation of ARIMA-model for passenger traffic flow forecasting

Production organization

- 23 N. F. Sirina, D. L. Rusin. Methods of adaptive regulation and management of traction resources at a railway test site

- 36 P. V. Alekseeva, K. V. Avdeeva. Analyzing the factors affecting the protective potential of a metal underground construction, taking into account the impact of the motion of an electric rolling stock on a section

- 46 D. V. Olkhovатов, A. V. Shevkunova. Development of the energy-efficient asynchronous electric drive of a locomotive blower motor

- 56 E. V. Zelyukova, L. P. Karavaeva, A. A. Onipko. The mechanism of building-up and maintenance of organizational trust at the transport industry enterprises

Control in engineering systems

- 67 V. M. Kurganov, M. V. Gryaznov, A. N. Dorofeev. Planning and accounting of automobile fuel consumption in electronic shipping manifests

- 80 P. Y. Ivanov, E. Y. Dul'sky, D. O. Emelyanov. Reverse engineering in the study of brake system elements

Mechanics of machines and robots

- 87 V. A. Nikolaeв, V. A. Nekhaev, A. N. Smalev, K. O. Seryakov. Increasing efficiency of cargo transportation based on improvement of the electric locomotive 2ES6 mechanical part

Organization and logistics

- 98 N. A. Osintsev, A. V. Tsyganov, A. N. Rakhman-gulov. Mathematical model for optimization of a range of tools for «green» logistics

Health and safety

- 113 R. M. Tlyavlin. Engineering protection of the east Siberian railway of Baikal section roadbed

Research of young scientists

- 126 D. S. Krivosheya. The impact of disc brake properties with thermally insulated friction units on a static idle friction coefficient

Математические модели технологических процессов

УДК 512.64, 519.21, 519.72

Н. В. Медведева, С. С. Титов

Применение многократно стохастических матриц для построения абсолютно стойких систем передачи данных

UDC 512.64, 519.21, 519.72

N. V. Medvedeva, S. S. Titov

Using the multiple stochastic matrices for construction of absolutely stable data transmission systems

Аннотация

В работе исследуется проблема построения абсолютно стойких систем передачи данных посредством создания совершенных (по Шеннону) шифров, кодов. Здесь определены многомерные матрицы, связанные с совместным распределением нескольких случайных величин как случайных событий на декартовом произведении вероятностных пространств. При этом рассматриваются вопросы выявления произвола в задаче описания многомерного

распределения вероятностей с заданными маргинальными распределениями.

Показано, как дискретные распределения могут быть описаны при помощи непрерывных функций распределения посредством копула-функций с кусочно-постоянной плотностью вероятности. Построено биективное соответствие между выпуклым полиэдром таких функций, полиэдром многократно стохастических матриц и многомерных распределений вероятности. Рассмотрены примеры минимальных

по включению совершенных шифров, кодов. Доказан критерий минимальности по включению совершенных кодов с равновероятными проекциями, приведены новые примеры таких кодов.

Ключевые слова: передача данных, защита информации, совершенные шифры, совершенные коды, стохастические матрицы.

DOI: 10.20291/2079-0392-2023-3-4-13

Abstract

The paper investigates the problem of building ab-

Статья рекомендована к публикации В. А. Баранским, д-ром физ.-мат. наук, профессором, Уральский федеральный университет. E-mail: vitaly.baransky@urfu.ru.

Наталья Валерьевна Медведева, канд. физ.-мат. наук, доцент; кафедра «Естественнонаучные дисциплины» Уральского государственного университета путей сообщения; Екатеринбург, Россия. E-mail: NVMedvedeva@usurt.ru. ORCID 0000-0002-9736-5481.

Сергей Сергеевич Титов, д-р физ.-мат. наук, профессор; кафедра «Естественнонаучные дисциплины» Уральского государственного университета путей сообщения; Екатеринбург, Россия. E-mail: Stitov@usaaa.ru. ORCID 0000-0002-9736-5481.

© Н. В. Медведева, С. С. Титов, 2023

The article is recommended for publishing by V. A. Baransky, Doctor of Physical and Mathematical Sciences, Professor, Ural Federal University. E-mail: vitaly.baransky@urfu.ru.

Natalya V. Medvedeva, Candidate of Physical and Mathematical Sciences, Associate Professor; "Natural Sciences" Department of Ural State University of Railway Transport; Yekaterinburg, Russia. E-mail: NVMedvedeva@usurt.ru. ORCID 0000-0002-9736-5481.

Sergey Sergeevich Titov, Doctor of Physical and Mathematical Sciences, Professor; "Natural Sciences" Department of Ural State University of Railway Transport; Yekaterinburg, Russia. E-mail: Stitov@usaaa.ru. ORCID 0000-0002-9736-5481.

© N. V. Medvedeva, S. S. Titov, 2023

solutely stable data transmission systems by creating perfect (according to Shannon) ciphers, codes. Multidimensional matrices associated with the joint distribution of several random variables as random events on the Cartesian product of probability spaces are defined here. At the same time, the issues of identifying arbitrariness in the task of describing the multidimensional probability distribution with specified

marginal distributions are considered.

It is shown how discrete distributions can be described using continuous distribution functions by means of copula functions with piecewise constant probability density. A bijective correspondence is constructed between the convex polyhedron of such functions, the polyhedron of multiple stochastic matrices and multidimensional probability distributions. Examples

of minimal perfect ciphers and codes are considered. The criterion of minimality for inclusion of perfect codes with equally probable projections is proved, new examples of such codes are given.

Keywords: data transmission, information protection, perfect ciphers, perfect codes, stochastic matrices.

DOI: 10.20291/2079-0392-2023-3-4-13

Введение

При современном уровне развития высоких технологий всё актуальней становится задача защиты информации при обмене данными, обеспечения их целостности и секретности. В связи с широким применением интернет-технологий особое значение имеют абсолютно стойкие системы передачи данных, которые не раскрывают никаких сведений о зашифрованных сообщениях. Стойкость таких систем не зависит от того, какими вычислительными возможностями обладает криптоаналитик.

Существование абсолютно стойких алгоритмов шифрования доказано К. Шенноном в работе [1], где введено понятие совершенного (по Шеннону) шифра. Такие шифры не дают криптоаналитику никакой дополнительной информации об исходном (открытом) тексте на основе изучения перехваченной криптограммы.

В настоящей работе в продолжение [2–7] исследуется проблема построения абсолютно стойких систем передачи данных посредством создания совершенных (по Шеннону) шифров, кодов. Здесь определены многомерные матрицы, связанные с совместным распределением нескольких случайных величин как случайных событий на декартовом произведении вероятностных пространств. При этом рассматриваются

вопросы выявления произвола в задаче описания многомерного распределения вероятностей с заданными маргинальными распределениями.

Основные определения, постановка задачи

В рамках вероятностной модели шифра \sum_B [1] аналогично работам [2–7] рассмотрим произвольный совершенный по Шеннону шифр. В соответствии с [8, 9] шифр на множестве ℓ -грамм задается распределением вероятностей ключей при $\ell = 1$. Здесь $X = \{x_1, x_2, \dots, x_\lambda\} = \{1, 2, \dots, \lambda\}$ – множество шифрвеличин; $Y = \{y_1, y_2, \dots, y_\mu\} = \{1, 2, \dots, \mu\}$ – множество шифробозначений, с которыми оперирует некоторый шифр замены; $K = \{k_1, k_2, \dots, k_\pi\}$ – множество ключей, причём $|X| = \lambda > 1$, $|Y| = \mu \geq \lambda$, $|K| = \pi \geq \mu$. Открытые $x = x_{i_1}, x_{i_2}, \dots, x_{i_\ell}$, $x_{i_j} \in X$, $j = 1, 2, \dots, \ell$ и зашифрованные $y = y_{i_1}, y_{i_2}, \dots, y_{i_\ell}$, $y_{i_j} \in Y$, тексты представляются словами (ℓ -граммами, $\ell \geq 1$) в алфавитах X и Y соответственно.

Шифр \sum_B – это совокупность множеств правил зашифрования и правил расшифрования с заданными распределениями вероятностей на множествах открытых текстов и ключей [8, 9]. Совершенные по Шеннону шифры – шифры, для которых значения апостериорных вероятностей $p(x|y)$, $x \in X^\ell$, $y \in Y^\ell$, открытых текстов совпадают со значениями их априорных вероятностей $p(x)$ [8, 9].

Рассматривая некоторый набор функций $E_k: X \rightarrow Y$, где $k \in K$, без требования их инъективности, переходим от понятия шифра к понятию кода, в котором для каждого k получаем кодовое слово. Понятие совершенного кода аналогично понятию совершенного шифра. Поэтому для кодов также естественно исследовать аналоги свойств совершенности и равномерности при задании вероятностей P_k использования k -го кодового слова. Эти аналоги могут быть интерпретированы как свойства самосохраняющихся (почти-аффинных) кодов, паролей в схемах разделения секрета и стойких системах передачи данных.

Для произвольного совершенного по Шеннону шифра \sum_B [1] перечислим в некотором порядке все возможные $\pi = \pi_{\max} = \mu \cdot (\mu - 1) \cdot \dots \cdot (\mu - \lambda + 1)$ инъекции зашифрования $e_k: X \rightarrow Y$, соответствующие ключам $k \in K$ и их вероятностям P_k . Получим π -мерный набор P вероятностей P_k ключей, который будем рассматривать как точку π -мерного пространства \mathbb{R}^π .

Следовательно, задача построения (описания) шифров в вероятностной модели \sum_B приводит к задаче описания множества точек (выпуклого полиэдра [10]) в пространстве \mathbb{R}^π , каждая из которых является распределением вероятностей ключей того или иного шифра или кода. При этом вершинам этого многомерного полиэдра соответствуют минимальные по включению совершенные шифры (коды).

Теория информации и теория совершенных шифров К. Шеннона [1] основываются на рассмотрении двумерного распределения вероятностей, в котором маргинальными (частными) являются распределения вероятностей передаваемых и принимаемых сигналов (в теории кодирования) или открытых и закрытых текстов (в криптографии) [8, 9]. При этом для хорошего кода требуется максимальная плотность этих маргинальных распределений, а от хорошего шифра – наоборот, минимальная их коррелированность. В различных вероятностных моделях криптосистем,

в теории схем разделения секрета, систем представителей и т. п. естественным образом возникают совместные распределения вероятностей с заданными свойствами, связывающие заданные частные одномерные распределения вероятностей. Таким образом, ставится задача построения и исследования возникающих совместных распределений.

Такие совместные распределения задаются копула-функциями [11] $C_n(t_1, t_2, \dots, t_n)$, определёнными на n -мерном единичном кубе $[0, 1]$, обладающие свойствами квазимонотонности с равномерными частными распределениями на единичном отрезке $[0, 1]$. Эти функции позволяют перейти от одномерных распределений случайных величин к совместному распределению. Поскольку для непрерывной многомерной случайной величины с заданными частными распределениями такая функция определяется единственным образом, а свойство квазимонотонности равносильно неотрицательности плотности распределения, то естественно применить этот подход в дискретном случае, рассматривая n -мерные матрицы и оставаясь в рамках дискретных структур. Это устраняет трудности, связанные с неединственностью копула-функции для разрывных функций распределения.

В общем случае всё многообразие совместных распределений описывается теоремой А. Склера [11], нашедшей многочисленные приложения и теоретические продвижения [12].

Любое конечное подмножество $R = \{r_1, r_2, \dots, r_m\} \subset (0, 1)$ определяет S_R разбиение отрезка $[0, 1)$ на $(m + 1)$ подмножеств. Так, при $r_1 < r_2 < \dots < r_m$ это будут подмножества $[0, r_1)$, $[r_1, r_2)$, ..., $[r_m, 1)$. На множество таких разбиений частично упорядочено бинарным отношением измельчения, превращающим его в решётку Z с операциями верхней грани $S_R \vee S_T = S_{R \cap T}$ и нижней грани $S_R \wedge S_T = S_{R \cup T}$ для подмножеств R и $T = \{t_1, t_2, \dots, t_n\}$. Поскольку Z есть подрешётка решётки, двойственной

к решётке подмножеств с операциями объединения и пересечения, то Z – дистрибутивна, как и все её декартовы степени, которые и будем рассматривать.

Сопоставляя каждому k -мерному параллелепипеду такого разбиения вещественное число, получим k -мерную матрицу M и кусочно-постоянную функцию f на k -мерном кубе $[0, 1]^k$. Если все эти числа неотрицательны и в сумме дают единицу, то естественно считать эту функцию f плотностью распределения вероятности некоторой случайной величины. При этом одной и той же матрице разные разбиения могут сопоставлять разные функции f .

Для каждой многомерной неотрицательной матрицы M , сумме элементов которой равна единице, и разбиению R однозначно соответствует многомерная функция плотности вероятностей, кусочно-постоянная на ячейках разбиения R . Таким образом, $M \times R$ есть вероятностное пространство, не являющееся декартовым произведением одномерных пространств, соответствующих маргинальным распределениям вероятностей. Можно показать, что копула-функция такого распределения вероятностей также имеет кусочно-постоянную плотность, задаваемую некоторой многомерной матрицей.

Многokrратно стохастические матрицы

Согласно теореме Склера [11], имеется биективное соответствие между матрицами равновероятных распределений, многомерными кратно стохастическими матрицами, определяющими его однозначно, и произвольными многомерными совместными распределениями вероятностей.

Естественно назвать n -мерную матрицу $M_{i_1 \times \dots \times i_n} = (m_{i_1 \dots i_n})$, где $i_j \in \{1, 2, \dots, N\}$, $j = 1, 2, \dots, n$, с неотрицательными элементами n -стохастической, если все суммы её элементов при фиксировании любого из индексов i_1, \dots, i_n равны единице, т. е. выполняются условия:

$$m_{i_1 \dots i_n} \geq 0,$$

$$\sum_{i_1 \dots i_n} m_{i_1 \dots i_n} = \dots = \sum_{i_1 \dots i_{n-1}} m_{i_1 \dots i_n} = 1,$$

$$i_1, \dots, i_n \in \{1, 2, \dots, N\}.$$

Ясно, что сумма всех элементов матрицы M равна N . Такой матрице соответствует n -мерная матрица равновероятных распределений $R_{i_1 \times \dots \times i_n}$, где $i_1, \dots, i_n \in \{1, 2, \dots, N\}$, определяемая равенством:

$$R = R_{i_1 \times \dots \times i_n} = \frac{1}{N} \cdot M_{i_1 \times \dots \times i_n} = \frac{1}{N} \cdot (m_{i_1 \dots i_n}),$$

$$i_1, \dots, i_n \in \{1, 2, \dots, N\}.$$

Суммы элементов матрицы R при фиксировании любого из индексов i_1, \dots, i_n равны $1/N$, а сумма всех элементов матрицы R равна 1.

Понятие матрицы равновероятных распределений более естественно в приложениях, в том числе и потому, что допускает общее определение не только для матриц, представляющих собою многомерный куб чисел, но и для матриц, представляющих собою многомерный параллелепипед чисел. Матрицу $R_{i_1 \times \dots \times i_n}$ с неотрицательными элементами, где $1 \leq i_1 \leq N_1, \dots, 1 \leq i_n \leq N_n$, естественно назвать матрицей равновероятных распределений, если сумма её элементов при фиксировании индекса i_j равна $1/N_j$ для любого $j = 1, 2, \dots, n$.

Возникающий при этом многомерный выпуклый полиэдр обладает вершинами, соответствующими минимальным по включению подкодам. Для минимальных по включению кодов обобщается теорема [7] о ранге соответствующей $(0, 1)$ -матрицы A .

Критерий минимальности по включению совершенных кодов

Пусть дана таблица кодовая совершенного кода \sum_B с λ столбцами, π строками и μ кодовыми обозначениями (шифробозначениями) y_j , $j = 1, 2, \dots, \mu$, где $\pi \geq \mu \geq \lambda > 1$. Обозначим через $P = (P_1, P_2, \dots, P_\pi)^T$ – вектор-столбец вероятностей P_k кодовых слов k ($k = 1, 2, \dots, \pi$), через p_j – априорные вероятности

кодовых обозначений (шифробозначений) y_j ($j = 1, 2, \dots, \mu$) данного совершенного кода. Для исходной кодовой таблицы построим соответствующую ей $(0, 1)$ -матрицу A с π строками и $\lambda\mu$ столбцами следующим образом:

1) каждому столбцу x_i кодовой таблицы, понимаемому как позиции в кодовых словах, поставим в соответствие μ столбцов и занумеруем все получившиеся $\lambda\mu$ столбцы индексами (i, j) , где $i = 1, 2, \dots, \lambda, j = 1, 2, \dots, \mu$;

2) на пересечении строки k ($k = 1, 2, \dots, \pi$) и столбца (i, j) поставим единицу тогда и только тогда, когда $E_k(x_i) = y_j$, т. е. если в позиции x_i кодового слова k находится кодовое обозначение (шифробозначение) y_j . В противном случае ставим нуль.

Соответствие кодовой таблицы и матрицы A , можно считать, получено посредством замены каждого i -го столбца кодовой таблицы на μ столбцов матрицы A , индексированных парами (i, j) , где $i = 1, 2, \dots, \lambda, j = 1, 2, \dots, \mu$ [7]. Столбцы матрицы A можно упорядочить и занумеровать, например, естественным образом, присвоив индексу (i, j) номер $m = (i - 1)\mu + j$, так что $\lambda\mu \geq m \geq 1$.

Используя $(0, 1)$ -матрицу A , для которой $A_{k,(i,j)} = 1 \Leftrightarrow E_k(x_i) = y_j$, условие совершенности кода можно записать как требование равновероятных проекций в виде системы линейных уравнений

$$\sum_{k=1}^{\pi} P_k A_{k,(i,j)} = p_j \quad (1)$$

$(i = 1, 2, \dots, \lambda, j = 1, 2, \dots, \mu)$

с дополнительным условием

$$\sum_{k=1}^{\pi} P_k = 1. \quad (2)$$

К полученной матрице A добавим столбец, состоящий из π единиц. При предлагаемом способе упорядочивания столбцов этому столбцу естественно присвоить номер $m = 0$ и считать его добавленным к матрице A слева. Также в вектор правых частей добавим координату 1, в соответствии с уравнением (2), чтобы гарантировать условие на

вероятности кодовых слов $P_1 + P_2 + \dots + P_{\pi} = 1$. Получившуюся матрицу размером π строк на $1 + \lambda\mu$ столбцов обозначим через \tilde{A} , а вектор правых частей – через $\tilde{p} = (1, p_1, \dots, p_{\mu}, \dots, p_1, \dots, p_{\mu})^T$, при этом $\text{rang } \tilde{A} \leq \pi$. Справедлива

Теорема [7]. Множество кодовых слов кода минимально тогда и только тогда, когда ранг матрицы \tilde{A} – максимальный, равный π .

Доказательство критерия минимальности по включению (теоремы) совершенных кодов проводится аналогично [7].

Процедура однозначного сведения произвольной многомерной матрицы вероятностей совместного распределения вероятностей к матрице равновероятного распределения осуществляется посредством рассмотрения непрерывных функций распределения с кусочно-постоянной плотностью распределения.

Применение данного биективного соответствия позволяет ответить на вопросы, связанные с (не)равновероятностью кодовых слов, (не)минимальностью кодов, а также дать их новые примеры.

Однако при этом свойство инъективности, очевидно, может не сохраняться, шифр может стать кодом, так как могут появиться кодовые функции, не являющиеся инъекциями, имеющие ненулевую вероятность.

Пример перехода от шифра к коду. Рассмотрим совершенный шифр с $\lambda = 3, \mu = 4$ и таблицей 1 зашифрования.

Таблица 1

Таблица зашифрования				
K	x_1	x_2	x_3	P_k
k_1	1	2	4	1/7
k_2	1	4	3	1/7
k_3	4	2	3	1/7
k_4	2	3	1	2/7
k_5	3	1	2	2/7

Здесь $X = \{x_1, x_2, x_3\} = \{1, 2, 3\}$ – множество шифрвеличин; $Y = \{y_1, y_2, y_3, y_4\} =$

$= \{1, 2, 3, 4\}$ – множество шифробозначений; $K = \{k_1, k_2, k_3, k_4, k_5\}$ – множество ключей; априорные вероятности шифробозначений равны $p_1 = p_2 = p_3 = 2/7$, $p_4 = 1/7$. Поэтому свойства равновероятности нет.

Сопоставим этому шифру трёхмерную матрицу M размером $4 \times 4 \times 4$, в которой из 64 элементов – только пять ненулевых, согласно таблице: $m_{124} = m_{143} = m_{423} = 1/7$, $m_{231} = m_{312} = 2/7$.

Совершенство шифра проверяется суммированием элементов матрицы M с фиксированным индексом:

$$\sum_{i,j} m_{ij} = \sum_{i,j} m_{ij} = \sum_{i,j} m_{ji} = p_i, \\ (i, j, t \in \{1, 2, 3, 4\}).$$

Переходя от равномерного разбиения отрезка $[0, 4]$ с неравномерной плотностью вероятности $f(x) = 2/7$ при $0 \leq x < 3$, $f(x) = 1/7$ при $3 \leq x < 4$, к неравномерному разбиению отрезка $[0, 4]$ точками $x_0 = 0$, $x_s = 7s/8$, ($s = 1, 2, 3$), $x_4 = 4$ с равномерной плотностью вероятности $c(x) = 1/4$, получим для маргинальных распределений $C(x) = x/4$ при $0 \leq x < 4$.

Сопоставляя этому разбиению кусочно-постоянную функцию $c(x, y, z)$ плотности вероятности на кубе $[0, 4] \times [0, 4] \times [0, 4]$ и соответствующую ей матрицу $R_{u,v,w} = c(x, y, z)$ при $x_{u-1} \leq x \leq x_u$, $y_{v-1} \leq y \leq y_v$, $z_{w-1} \leq z \leq z_w$ ($u, v, w = 1, 2, 3, 4$), получим искомую матрицу с равномерными вероятностями кодовых обозначений.

Таким образом, при построениях и исследовании вариантов можно ограничиться случаем равновероятности шифробозначений и кодовых обозначений.

Пример бинарного кода. Рассмотрим простейший, но важный случай кодов с равновероятными кодовыми обозначениями – битовые строки, $\mu = 2$.

Для нибблов – битовых строк длины четыре, $\lambda = 4$, можно предложить минимальный код из четырёх неравновероятных слов $\{7, C, A, 9\}$, заданный таблицей 2.

Таблица 2

Нибблы	
Ниббл	Вероятность
7 = 0111	x
C = 1100	y
A = 1010	z
9 = 1001	t

В таблице 2 каждый бит равновероятен. Получаем следующую систему уравнений относительно вероятности p_1 единичного бита:

$$\begin{cases} y + z + t = p_1, \\ x + y = p_1, \\ x + z = p_1, \\ x + t = p_1, \\ x + y + z + t = 1. \end{cases}$$

Из равновероятности четырех битов каждого ниббла имеем $p = 1/4$. Из решения системы уравнений находим $x = 2/5$, $y = z = t = 1/5$, при этом вероятность единичного бита равна $p_1 = 3/5$, а нулевого бита равна $p_0 = 2/5$ в языке с алфавитом $\{7, C, A, 9\}$ мощности $\pi = 4$ с указанными вероятностями использования этих кодов.

Когда $\mu = 2$, то есть алфавит языка состоит из битовых строк длины λ , то соответствующая такому коду (0,1)-матрица A разбивается на две подматрицы с λ столбцами, являющимися инверсиями друг другу. Если матрица A содержит две пары столбцов, являющихся инверсиями друг друга, то линейная комбинация этих столбцов даёт нулевой столбец как разность двух столбцов из единиц. Следовательно, ранг этой матрицы не превосходит $\lambda + 1$, и, таким образом, количество её строк $\lambda + 1$ в случае максимального ранга $\pi \leq \lambda + 1$ (по строкам).

Так, для нибблов – битовых строк длины четыре, $\lambda = 4$, и поэтому $\pi \leq \lambda + 1$, где $\lambda + 1 = 5$. Таким образом, справедливо

Утверждение. *Количество π кодовых слов минимального кода битовых строк длины λ не превосходит $\pi \leq \lambda + 1$.*

Пример совершенного кода, минимального по включению с максимально возможным количеством кодовых слов. Пусть $\lambda = 4$, $\mu = 2$, $y_1 = 1$, $y_2 = 0$. Возьмём в качестве нибблов строки первых четырех столбцов циркулянтной матрицы

$$M = \begin{pmatrix} 1 & 0 & 0 & 1 & 1 \\ 1 & 1 & 0 & 0 & 1 \\ 1 & 1 & 1 & 0 & 0 \\ 0 & 1 & 1 & 1 & 0 \\ 0 & 0 & 1 & 1 & 1 \end{pmatrix},$$

т.е. $9 = 1001$, $C = 1100$, $E = 1110$, $7 = 0111$, $3 = 0011$.

Матрица M соответствует многочлену $f(x) = x^2 + x + 1$, ее определитель $|M| \neq 0$, так как $f(x)$ не делит $(x^5 - 1)$.

Строки матрицы A получаются конкатенацией данных нибблов с их инверсиями, т.е. $9 \parallel 6$, $C \parallel 3$, $E \parallel 1$, $7 \parallel 8$, $3 \parallel C$, так как символы $y_1 = 1$, $y_2 = 0$ не могут занимать одно и то же место. Поэтому

$$A = \begin{pmatrix} 1 & 0 & 0 & 1 & 0 & 1 & 1 & 0 \\ 1 & 1 & 0 & 0 & 0 & 0 & 1 & 1 \\ 1 & 1 & 1 & 0 & 0 & 0 & 0 & 1 \\ 0 & 1 & 1 & 1 & 1 & 0 & 0 & 0 \\ 0 & 0 & 1 & 1 & 1 & 1 & 0 & 0 \end{pmatrix}.$$

Минор, составленный из пяти первых столбцов матрицы A , равен

$$\begin{vmatrix} 1 & 0 & 0 & 1 & 1 \\ 1 & 1 & 0 & 0 & 1 \\ 1 & 1 & 1 & 0 & 0 \\ 0 & 1 & 1 & 1 & 0 \\ 0 & 0 & 1 & 1 & 1 \end{vmatrix} = 1 \neq 0.$$

Таблица 3

Таблица зашифрования и (0,1)-матрица A

К	x_1	x_2	x_3	1	2	3	4	1	2	3	4	1	2	3	4
k_1	1	2	3	1	0	0	0	0	1	0	0	0	0	1	0
k_2	1	3	2	1	0	0	0	0	0	1	0	0	1	0	0
k_3	1	2	4	1	0	0	0	0	1	0	0	0	0	0	1
k_4	1	4	2	1	0	0	0	0	0	0	1	0	1	0	0
k_5	1	3	4	1	0	0	0	0	0	1	0	0	0	0	1
k_6	1	4	3	1	0	0	0	0	0	0	1	0	0	1	0
k_7	2	1	3	0	1	0	0	1	0	0	0	0	0	1	0
k_8	2	3	1	0	1	0	0	0	0	1	0	1	0	0	0
k_9	2	1	4	0	1	0	0	1	0	0	0	0	0	0	1
k_{10}	2	4	1	0	1	0	0	0	0	0	1	1	0	0	0
k_{11}	2	3	4	0	1	0	0	0	0	1	0	0	0	0	1
k_{12}	2	4	3	0	1	0	0	0	0	0	1	0	0	1	0
k_{13}	3	1	2	0	0	1	0	1	0	0	0	0	1	0	0
k_{14}	3	2	1	0	0	1	0	0	1	0	0	1	0	0	0
k_{15}	3	1	4	0	0	1	0	1	0	0	0	0	0	0	1
k_{16}	3	4	1	0	0	1	0	0	0	0	1	1	0	0	0
k_{17}	3	2	4	0	0	1	0	0	1	0	0	0	0	0	1
k_{18}	3	4	2	0	0	1	0	0	0	0	1	0	1	0	0
k_{19}	4	1	2	0	0	0	1	1	0	0	0	0	1	0	0
k_{20}	4	2	1	0	0	0	1	0	1	0	0	1	0	0	0
k_{21}	4	1	3	0	0	0	1	1	0	0	0	0	0	1	0
k_{22}	4	3	1	0	0	0	1	0	0	1	0	1	0	0	0
k_{23}	4	2	3	0	0	0	1	0	1	0	0	0	0	1	0
k_{24}	4	3	2	0	0	0	1	0	0	1	0	0	1	0	0

Значит, ранг матрицы A равен 5, и код – минимальный по включению. При этом вероятность единичного бита будет равна $3/5$, а нулевого бита равна $2/5$ в языке с алфавитом $\{7, C, E, 9, 3\}$ с указанными вероятностями использования этих кодов.

Пример существенности условия наличия положительного решения системы (1) при максимальности ранга матрицы A в критерии минимальности по включению. Пусть $X = \{x_1, x_2, x_3\} = \{1, 2, 3\}$ – множество шифрвеличин; $Y = \{y_1, y_2, y_3, y_4\} = \{1, 2, 3, 4\}$ – множество шифробозначений; $K = \{k_1, k_2, \dots, k_{24}\}$ – множество ключей. Все возможные инъекции шифра с $\lambda = 3, \mu = 4$ представляются таб-

лицей 3 зашифрования и $(0,1)$ -матрицей A .

Здесь следующие десять инъекций, представленные в таблице 4, соответствуют подматрице A^* ранга десять, так как она содержит минор 10 на 10, равный единице.

Для совершенности шифра с вероятностями шифробозначений p_1, p_2, p_3, p_4 необходимы вероятности ключей, представленные в таблице 5.

При равновероятных шифробозначениях, т.е. $p_1 = p_2 = p_3 = p_4 = 1/4$, получаем вероятности ключей, представленные в таблице 6.

Если для вероятностей ключей потребовать условия неотрицательности, то получим систему неравенств:

Таблица 4

Подматрица A^* инъекций ранга 10

K	x_1	x_2	x_3	2	3	4	1	2	3	4	1	2	3
k_8	2	3	1	1	0	0	0	0	1	0	1	0	0
k_2	1	3	2	0	0	0	0	0	1	0	0	1	0
k_3	1	2	4	0	0	0	0	1	0	0	0	0	0
k_4	1	4	2	0	0	0	0	0	0	1	0	1	0
k_5	1	3	4	0	0	0	0	0	1	0	0	0	0
k_6	1	4	3	0	0	0	0	0	0	1	0	0	1
k_9	2	1	4	1	0	0	1	0	0	0	0	0	0
k_{11}	2	3	4	1	0	0	0	0	1	0	0	0	0
k_{15}	3	1	4	0	1	0	1	0	0	0	0	0	0
k_{24}	4	3	2	0	0	1	0	0	1	0	0	1	0

Таблица 5

Вероятности ключей

K	x_1	x_2	x_3	P_k
k_8	2	3	1	p_1
k_2	1	3	2	$p_2 - 2p_4 + p_3$
k_3	1	2	4	p_2
k_4	1	4	2	$p_4 - p_3$
k_5	1	3	4	$p_1 - p_3 - 2p_2 + p_4$
k_6	1	4	3	p_3
k_9	2	1	4	$p_1 - p_3$
k_{11}	2	3	4	$p_2 + p_3 - 2p_1$
k_{15}	3	1	4	p_3
k_{24}	4	3	2	p_4

Таблица 6

Вероятности ключей

K	x_1	x_2	x_3	P_k
k_8	2	3	1	0,25
k_2	1	3	2	0
k_3	1	2	4	0,25
k_4	1	4	2	0
k_5	1	3	4	-0,25
k_6	1	4	3	0,25
k_9	2	1	4	0
k_{11}	2	3	4	0
k_{15}	3	1	4	0,25
k_{24}	4	3	2	0,25

$$\begin{cases} p_1 \geq 0, p_2 \geq 0, p_3 \geq 0, p_4 \geq 0, \\ p_2 + p_3 \geq 2p_4, \\ p_4 \geq p_3, \\ p_1 + p_4 \geq p_3 + 2p_2, \\ p_1 \geq p_3, \\ p_2 + p_3 \geq 2p_1. \end{cases}$$

Откуда следуют неравенства:

$$\begin{cases} p_2 \geq p_4, \\ p_1 \geq p_2 + p_4, \\ p_2 \geq p_1. \end{cases}$$

Следовательно, $0 \geq p_4$. Получается, что при любых положительных p_1, p_2, p_3, p_4 имеется хотя бы одна отрицательная вероятность ключа.

Таким образом, система десяти линейных неравенств, декларирующая положительность вероятностей ключей, несовместна, и совершенного шифра,

соответствующего подматрице A^* , не существует.

Заключение

Таким образом, показано, как дискретные распределения могут быть описаны при помощи непрерывных функций распределения посредством копула-функций с кусочно-постоянной плотностью вероятности, построено биективное соответствие между выпуклым полиэдром таких функций, полиэдром многократно стохастических матриц и многомерных распределений вероятности. Дано приложение к теории совершенных шифров и кодов, минимальных по включению. Рассмотрены примеры таких шифров, кодов. Доказан критерий минимальности по включению кодов с равновероятными проекциями, приведены новые примеры таких кодов. ■

Литература

1. Shannon C. E. Communication Theory of Secrecy Systems // Bell System Technical Journal. New York: American Telephone and Telegraph Company. 1949. Vol. 28. № 4. P. 656–715.
2. Медведева Н. В., Титов С. С. Неэндоморфные совершенные шифры с двумя шифр-величинами // Прикладная дискретная математика. Приложение. 2015. № 8. С. 63–66. ISSN 2226-308X.
3. Медведева Н. В., Титов С. С. Описание неэндоморфных максимальных совершенных шифров с двумя шифр-величинами // Прикладная дискретная математика. 2015. № 4 (30). С. 43–55. ISSN 2071-0410.
4. Медведева Н. В. Об аналогах теоремы Шеннона для совершенных шифров // CEUR Workshop Proceedings. 2016. Т. 1825. С. 232–239. ISSN 1613-0073.
5. Медведева Н. В., Титов С. С. Аналоги теоремы Шеннона для эндоморфных неминимальных шифров // Прикладная дискретная математика. Приложение. 2016. № 9. С. 62–65. ISSN 2226-308X.
6. Медведева Н. В., Титов С. С. К разработке абсолютно стойких систем передачи данных // Вестник УрГУПС. 2019. № 2 (42). С. 34–43. ISSN 2079-0392.
7. Медведева Н. В., Титов С. С. Критерий минимальности по включению совершенных шифров // Прикладная дискретная математика. Приложение. 2022. № 15. С. 51–54. ISSN 2226-308X.
8. Алферов А. П., Зубов А. Ю., Кузьмин А. С., Черемушкин А. В. Основы криптографии. М. : Гелиос АРВ, 2001. 478 с. ISBN 5-85438-019-6.
9. Зубов А. Ю. Совершенные шифры. М. : Гелиос АРВ, 2003. 160 с. ISBN 5-854338-076-5.
10. Носов В. А., Сачков В. Н., Тараканов В. Е. Комбинаторный анализ (Неотрицательные матрицы, алгоритмические проблемы) // Итоги науки и техники. Сер. : «Теория вероятностей. Математическая статистика. Теоретическая кибернетика». – М. : ВИНИТИ, 1983. Том 21. С. 120–178.
11. Sklar A. Fonctions de répartition à n dimensions et leurs marges // Publications de l'Institut de Statistique de L'Université de Paris. 1959. № 8. P. 229–231.
12. Nelson R. B. An Introduction to Copulas. New York: Springer Science and Business Media, 2006. 272 p. ISBN 978-0-387-28659-4.

References

1. Shannon C. E. Communication Theory of Secrecy Systems // Bell System Technical Journal. New York: American Telephone and Telegraph Company. 1949. Vol. 28. № 4. P. 656–715.
2. Medvedeva N. V., Titov S. S. Endomorphic perfect ciphers with two ciphers // Applied discrete Mathematics. Appendix. [Neehndomorfnye sovershennyye shifry s dvumya shifrvlichinami // Prikladnaya diskretnaya matematika. Prilozhenie.] 2015. № 8. Pp. 63–66. ISSN 2226-308X.
3. Medvedeva N. V., Titov S. S. Description of non-endomorphic maximal perfect ciphers with two ciphers // Applied Discrete Mathematics. [Opisanie neehndomorfnykh maksimal'nykh sovershennykh shifrov s dvumya shifrvlichinami // Prikladnaya diskretnaya matematika.] 2015. No. 4 (30). Pp. 43–55. IS
4. Medvedeva N. V. On analogues of Shannon's theorem for perfect ciphers // CEUR Workshop Proceedings. [Ob analogakh teoremy SHennona dlya sovershennykh shifrov // CEUR Workshop Proceedings.] 2016. Vol. 1825. Pp. 232–239. ISSN 1613-0073.
5. Medvedeva N. V., Titov S. S. Analogue of Shannon's theorem for endomorphic on minimal ciphers // Applied discrete Mathematics. Appendix. [Analogi teoremy SHennona dlya ehndomorfnykh neminimal'nykh shifrov // Prikladnaya diskretnaya matematika. Prilozhenie.] 2016. № 9. Pp. 62–65. ISSN 2226-308X.
6. Medvedeva N. V., Titov S. S. Towards the development of absolutely stable data transmission systems // Herald of USURT. [K razrabotke absolyutno stojkikh sistem peredachi dannykh // Vestnik UrGUPS] 2019. № 2(42). Pp. 34–43. ISSN 2079-0392.
7. Medvedeva N. V., Titov S. S. Criterion of minimality for inclusion of perfect ciphers // Applied discrete mathematics. Appendix. [Kriterij minimal'nosti po vklyucheniyu sovershennykh shifrov // Prikladnaya diskretnaya matematika. Prilozhenie.] 2022. № 15. Pp. 51–54. ISSN 2226-308X.
8. Alferov A. P., Zubov A. Yu., Kuzmin A. S., Cheremushkin A. V. Fundamentals of Cryptography. [Osnovy kriptografii] M. : Helios ARV, 2001. 478 p. ISBN 5-85438-019-6.
9. Zubov A. Yu. Perfect ciphers. [Sovershennyye shifry] M. : Helios ARV, 2003. 160 p. ISBN 5-854338-076-5.
10. Nosov V. A., Sachkov V. N., Tarakanov V. E. Combinatorial analysis (Non-negative matrices, algorithmic problems) // Results of science and technology. Ser. : «Probability theory. Mathematical statistics. Theoretical cybernetics». [Kombinatornyj analiz (Neotritsatel'nye matritsy, algoritmicheskie problemy) // Itogi nauki i tekhniki. Ser. : «Teoriya veroyatnostej. Matematicheskaya statistika. Teoreticheskaya kibernetika»] – M. : VINITI, 1983. Vol. 21. Pp. 120–178.
11. Sklar A. Fonctions de répartition à n dimensions et leurs marges // Publications de l'Institut de Statistique de L'Université de Paris. 1959. № 8. P. 229–231.
12. Nelson R. B. An Introduction to Copulas. New York: Springer Science and Business Media, 2006. 272 p. ISBN 978-0-387-28659-4.

Статья сдана в редакцию 29 июня 2023 года

О.Н. Ие

Выбор и оценка ARIMA-модели для прогнозирования пассажиропотока

O.N. Ie

Selection and evaluation of the ARIMA model for passenger traffic flow forecasting

Аннотация

Краткосрочное прогнозирование транспортного потока является одним из основных направлений исследований в области интеллектуальных транспортных систем. В последние годы проведено большое количество исследований по прогнозированию трафика. Однако трудно выбрать наиболее подходящий метод прогнозирования трафика для конкретного приложения. Наивные методы широко используются вследствие их низких вычислительных затрат и простоты реализации. Но точность этих методов обычно очень низкая. Методы кластеризации усредняют переменные трафика в пределах определенной

группы дней на основе схожих моделей трафика. Макроскопические имитационные модели учитывают только такие глобальные переменные дорожной сети, как плотность, средние скорости и потоки. Преимущество непараметрических моделей в том, что они позволяют моделировать сложные динамические и нелинейные процессы, происходящие в дорожном движении. Одним из вариантов прогнозирования пассажиропотока является прогнозирование на основе обработки временных рядов, позволяющее получать весьма достоверные результаты. В настоящее время большое внимание уделяется пространственно-временному прогнозированию.

Процессы ARIMA представляют собой гибкие линейные модели, которые могут точно описывать широкий спектр поведения различных временных рядов, включая среднесрочные пики и впадины. Несмотря на то, что эти базовые модели достаточно просты для описания, их оценка требует обширных компьютерных вычислений.

В работе исследуется проблема моделирования сезонности при изучении временного распределения пассажиропотока на автомобильном транспорте. Базовой информацией для прогнозирования пассажиропотоков являются данные, полученные при ежедневном парсинге онлайн-сервиса поиска автомобильных попутчиков

Статья рекомендована к публикации Г.А. Тимофеевой, д-ром физ.-мат. наук, профессором; Уральский государственный университет путей сообщения. E-mail: GTimofeeva@usurt.ru.

Ольга Николаевна Ие, канд. физ.-мат. наук, доцент; кафедра «Естественнонаучные дисциплины» Уральского государственного университета путей сообщения; кафедра экономики Уральского федерального университета им. первого Президента России Б. Н. Ельцина; Екатеринбург, Россия. E-mail: olgaie@mail.ru. ORCID 0000-0002-0864-8923.

Работа проведена в рамках выполнения государственного задания в части выполнения прикладных научных исследований НИР «Оптимизация транспортно-логистической системы РФ и её регионов на основе моделирования транспортных потоков» № 123032700051-4.

© О. Н. Ие, 2023

The article is recommended for publishing by G.A. Timofeeva, Doctor of Physical and Mathematical Sciences, Professor; Ural State University of Railway Transport. E-mail: GTimofeeva@usurt.ru.

Olga Nikolaevna Ie, Candidate of Physical and Mathematical Sciences, Associate Professor; «Natural Sciences» Department of Ural State University of Railway Transport; Department of Economics of Ural Federal University named after the First President of Russia B.N. Yeltsin; Yekaterinburg, Russia. E-mail: olgaie@mail.ru. ORCID 0000-0002-0864-8923.

The study has been carried out within the framework of the state mission regarding the implementation in the field of applied research and development SRW (Scientific Research Work) «Optimization of the transport and logistics system of the Russian Federation and its regions based on transport traffic flow modeling» № 123032700051-4.

© O. N. Ie, 2023

Едем.рф в течение 12 месяцев (февраль 2022 – январь 2023 г.). В качестве пунктов отправления и прибытия выбраны населенные пункты Свердловской области с населением более 20 тыс. чел. (эти пункты образуют 992 корреспонденции). Для автоматического запроса сведений по каждой корреспонденции разработана компьютерная программа (на языке Python), которая запускалась каждый день в одно и то же время.

Транспортные процессы не являются стационарными, они обычно включают тренд T , сезонность S , цикл C и ошибку E . А при использовании данных для ARIMA моделирования существует ограничение: эти модели могут строиться только для стационарных временных рядов.

Для проверки стационарности исследуемого ряда в работе проведен визуальный анализ автокорреляционной и частной автокорреляционной функций. Кроме того, выполнена проверка стационарности процессов с учетом сезонности на основе расширенного теста Дики – Фуллера. Выявлено, что исследуемый процесс имеет свои особенности: временной ряд имеет первый порядок интегрируемости, что было подтверждено на основе анализа автокорреляционной функции и периодограммы.

После формирования стационарного ряда проанализирован характер поведения автокорреляционной

и частной автокорреляционной функций, в результате получен базовый набор ARIMA-моделей. Для проверки каждой из полученных моделей на адекватность использована Q -статистика Льюнга – Бокса.

Применение статистического подхода на основе моделей SARIMA (разных порядков авторегрессии и скользящего среднего) с учетом минимизации статистик Акаике и Шварца позволило получить адекватную модель с хорошими статистическими и прогностическими свойствами.

На основе построенной модели найдены точечные оценки прогноза пассажиропотока на февраль 2023 года.

Ключевые слова: прогнозирование, ARIMA-модель, пассажиропоток, сезонность, автокорреляционная функция.

DOI: 10.20291/2079-0392-2023-3-14-22

Abstract

Short-term forecasting of transport traffic flow is one of the main areas of research in the field of intelligent transport systems. In recent years, a large number of studies on traffic forecasting have been conducted. However, it is difficult to pick the most appropriate traffic forecasting method for a particular application. Naive methods are widely used due to their low computational costs and simplicity of implementation. But the accuracy of these methods is usually quite low.

Clustering methods average out the traffic variables within a certain group of days based on similar traffic models. Macroscopic simulation models take into account only such global variables of the road network as traffic density, average speeds and flows. The advantage of nonparametric models lies in the fact that they enable us to model complex, dynamic and nonlinear processes occurring in road traffic. One of the forecasting options for passenger traffic is the forecasting on the basis of time series processing, which allows obtaining rather reliable results. Currently, considerable attention is given to the spatio-temporal forecasting. ARIMA processes are flexible linear models which can accurately describe a wide range of various time series behaviour, including medium-term peaks and troughs. Despite the fact that these basic models are quite simple to describe, their evaluation requires extensive computer calculations.

This paper investigates the problem of seasonality modeling when studying the time distribution of passenger traffic flow in road transport. The basic information for predicting passenger traffic flow is the data obtained during the daily parsing of the online service for searching traveling car companions (edem.rf (едем.рф)) for 12 months (February 2022 – January 2023).

DOI: 10.20291/2079-0392-2023-3-14-22

The formation of passenger traffic occurs under the complex influence of various factors, the degree of which varies. Various economic and mathematical methods are used to identify the degree of influence of both

individual factors and their combination on passenger transportation. Forecasting is the main method for studying trends in the development of passenger transport. It is, in essence, the main means of substantiating long-term plans, and

the accuracy of forecasts describes the validity of the planned decisions being made. Forecasting is considered as an obligatory part of the planning process. The main stages in the development of a forecast for the development of passenger transportation are: analysis of the dynamics of the transportation process and identification of trends in its development, identification of important patterns of the transportation process based on the characteristics of these trends, making a forecast for passenger transportation, calculation of the forecast error and construction of confidence intervals. As a rule, passenger traffic forecasts are based on patterns obtained from field surveys of population movements.

Short-term forecasting of the traffic flow is one of the main areas of research in the field of intelligent transport systems. In recent years, a large number of studies have been carried out on traffic forecasting. However, it is difficult to choose the most appropriate traffic prediction method for a particular application [1].

Naive methods are widely used in practice due to their low computational costs and ease of implementation. However, the accuracy of these methods is usually very low [2]. Clustering methods average traffic variables within a certain group of days based on similar traffic patterns [3]. Macroscopic simulation models take into account only the global variables of the road network, such as density, average speeds and flows [4]. In a micro simulation model individual cars are simulated through a network, as well as interactions between individual cars [5]. The advantage of non-parametric models is that they allow modeling complex, dynamic and non-linear processes occurring in traffic. No knowledge of the underlying processes is required [6].

One of the options for forecasting the volume of passenger traffic is forecasting based on the processing of time series, which makes it possible to obtain very reliable results [7, 8]. The basis of

forecasting when using time series is the method of perspective extrapolation, which should be considered only as an initial stage in the construction of final forecasts, since the purely mechanical use of extrapolation can lead to significant errors and incorrect conclusions. Spatial-temporal forecasting has received tremendous attention in a wide range of applications. The complex and long-range spatiotemporal correlations of traffic flow bring it to a most intractable challenge. Recent works typically utilize shallow graph convolution networks (GNNs) and temporal extracting modules to model spatial and temporal dependencies respectively [9]. Passenger traffic forecasting based on the study of redundant routes was studied on the basis of a comparative analysis of the correspondence of various modes of transport using a synthetic approach in [10].

Box-Jenkins ARIMA processes [11] are flexible linear models that can accurately describe a wide range of behavior of various time series, including medium-term peaks and troughs. Despite the fact that these basic models are quite simple to describe, their evaluation requires extensive computer calculations.

The purpose of this article is to build SARIMA models and select the most suitable model in terms of quality and accuracy to predict future values of the investigated passenger traffic.

Let Y_t , $t \in T$ be a set of observations, which is obtained sequentially in time by means of measurements. Model ARMA(p, q) is described by the expression [11]

$$\left(1 - \sum_{i=1}^p \alpha_i L^i\right) Y_t = \left(1 - \sum_{j=1}^q \beta_j L^j\right) \varepsilon_t. \quad (1)$$

Expression (1) can be represented as

$$A(L)Y_t = B(L)\varepsilon_t, \quad (2)$$

where L is the lag operator (time shift operator $LY_t = Y_{t-1}$, $L^{-1}Y_{t-1} = Y_t$). Polynomials $A(L)$ and $B(L)$ are

$$\begin{aligned} A(L) &= 1 - \alpha_1 L - \dots - \alpha_p L^p, \\ B(L) &= 1 + \beta_1 L + \dots + \beta_q L^q. \end{aligned} \quad (3)$$

ARIMA(p, d, q) is an extension of the ARMA(p, q) for non-stationary time series, which are reduced to stationary taking of differences of the order d . This model is described by the equation:

$$A(L)\Delta^d Y_t = B(L)\varepsilon_t, \quad (4)$$

where Δ^d is difference operator of the order d .

SARIMA(p, d, q)(P, D, Q) $_s$ is a generalization of the ARIMA-model for time series with a pronounced seasonal component. In addition, seasonal parameters are introduced in such a model: the order of the seasonal component SAR(P); the order of integration of the seasonal component (D); the order of the seasonal component SMA(Q); dimensionality of seasonality (s). The maximum likelihood method is most often used to estimate the parameters of these models.

ARIMA models can only be built for stationary time series. Visual analysis of the correlation function (ACF) and partial autocorrelation function (PACF) is most often used to check stationarity. Non-stationary time series can be turned into stationary by taking successive differences. Also to determine stationarity, statistical tests for the presence of a unit root are used, for example, the extended Dickey-Fuller test [12]. After the formation of the stationary series, the character of the behavior of ACF and PACF is analyzed and hypotheses about the values of the parameters p and q are put forward. As a result we get a basic set of ARIMA models.

Next a number of residuals are analyzed for adequacy for testing each of the resulting models. In an adequate model, a number of residuals should be a realization of the white noise process. To test the hypothesis that the observed data are a realization of white noise, the Ljung-Box Q -statistics [11] are used:

$$Q = n(n+2) \sum_{k=1}^M \frac{r_k^2}{n-k}, \quad (5)$$

where n is sample volume, M is number of tested lags, r_k is ACF coefficients.

If several models are adequate, then the final choice takes into account the following factors: increased accuracy; reducing the number of model parameters. These requirements are combined in the Akaike and Schwartz criteria. Information criterion Akaike [11]:

$$AIC = \ln(\hat{\sigma}^2) + \frac{2(p+q+1)}{n}, \quad (6)$$

where $\hat{\sigma}^2$ is expected sample variance.

Bayesian information criterion of Schwartz [11]:

$$BIC = \ln(\hat{\sigma}^2) + \frac{(p+q+1)\ln(n)}{n}. \quad (7)$$

The best among several ARIMA models is the model with the lower AIC, BIC values.

Evaluation of the accuracy and reliability of forecasts is an important step of forecasting.

The mean absolute percentage error (MAPE) is the most common method for assessing forecast accuracy [13]:

$$MAPE = \frac{1}{k} \sum_{i=1}^k \left| \frac{Y_i - \hat{Y}_i}{Y_i} \right|, \quad (8)$$

where Y_i is the observed value; \hat{Y}_i is the value of the forecast.

The mean percent error (MPE) can be used in the case when it is required to evaluate how highly or understated are the results of forecasting [13]:

$$MPE = \frac{1}{k} \sum_{i=1}^k \frac{Y_i - \hat{Y}_i}{Y_i}. \quad (9)$$

The root mean square error (RMSE) is also used [14]

$$RMSE = \sqrt{\frac{1}{k} \sum_{i=1}^k (Y_i - \hat{Y}_i)^2}. \quad (10)$$

The weighted absolute percent error (WAPE) is one of the «best errors» to calculate the accuracy of forecasting [15]:

$$WAPE = \frac{\sum_{i=1}^k |Y_i - \hat{Y}_i|}{\sum_{i=1}^k Y_i}. \quad (11)$$

This prediction error is symmetric and least sensitive to the distortion of the time series.

The main information for predicting passenger traffic is the data obtained

from the daily parsing of the Edem. rf online travel companion search service for 12 months (February 2022 – January 2023) [16]. The settlements of the Sverdlovsk region with a population of more than 20 thousand people were chosen as points of departure and arrival. To automatically request information for each correspondence, a computer program in Python was developed. The resulting time series of observations of the number of trips (Fig. 1) is considered as a realization of random variables, which are described by some stochastic process.

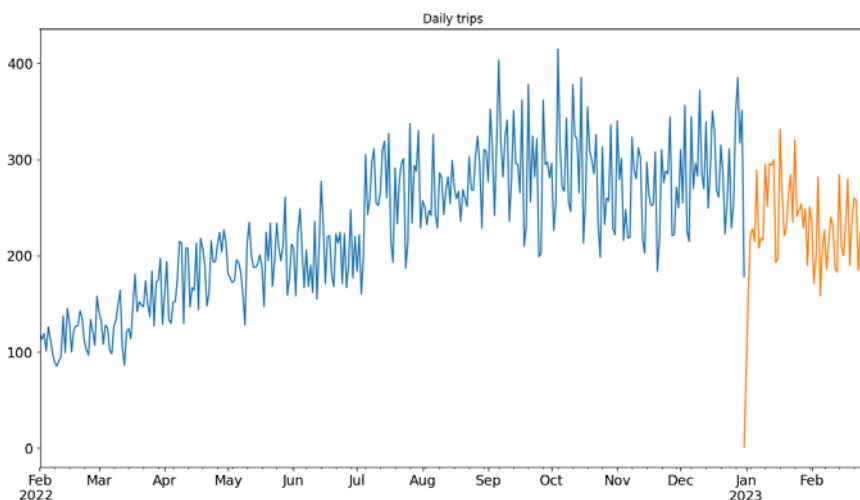


Fig. 1. Distribution of passenger traffic in the Sverdlovsk region by road transport by days of the week

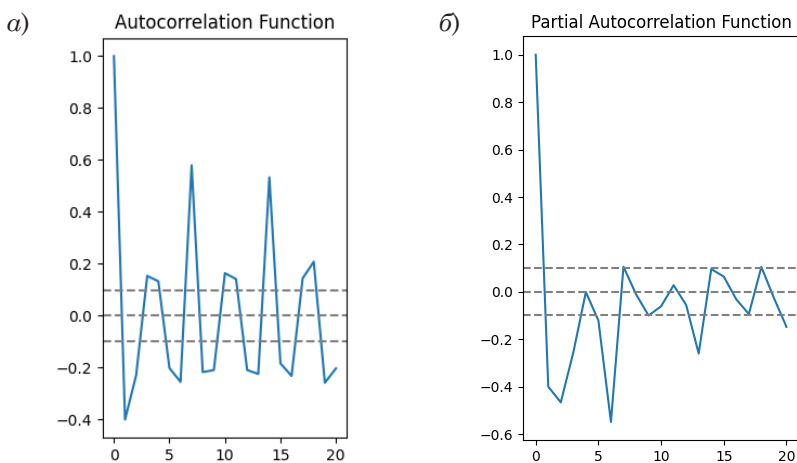


Fig. 2. ACF (a) and PACF (b) charts

Let's move on to building the ARIMA model. First of all, we will check whether the original series has the stationarity property. When identifying the mixed model, the analysis of the correlograms ACF and PACF is carried out (Fig. 2). Since the ACF graph decreases slowly, there is a reason to believe that the series is non-stationary.

Let us assess the stationarity of the initial time series using the generalized Dickey-Fuller test. After implementing the criterion in Python, we find that the

original series is an integrated series of the first order. In the process of evaluating and comparing several SARIMA models, taking into account the minimization of statistics (6) and (7), the model SARIMA (6, 1, 0) (2, 1, 1, 7) turned out to be the most adequate. This table shows the estimates of the resulting model.

Next, we will diagnose the model SARIMA (6,1,0) (2,1,1,7) (Fig. 3).

We see that the residuals of the constructed model are uncorrelated and normally distributed with zero mean. In

The estimates of the model SARIMA(6, 1, 0) (2, 1, 1, 7)

	Coefficient	Standard error	z	$P > z $	[0,025	0,975]
ar.L1	-0,6952	0,039	-17,893	0,000	-0,771	-0,619
ar.L2	-0,5205	0,062	-8,364	0,000	-0,642	-0,398
ar.L3	-0,4607	0,059	-7,865	0,000	-0,576	-0,346
ar.L4	-0,4419	0,072	-6,170	0,000	-0,582	-0,301
ar.L5	-0,3882	0,073	-5,350	0,000	-0,530	-0,246
ar.L6	-0,4059	0,076	-5,370	0,000	-0,554	-0,258
ar.S.L7	-0,2667	0,075	-3,548	0,001	-0,414	-0,119
ar.S.L14	-0,0294	0,060	-0,492	0,623	-0,147	0,088
ma.S.L7	-0,8891	0,036	-24,980	0,000	-0,959	-0,819
sigma2	1100,2994	67,400	16,325	0,000	968,198	1232,401

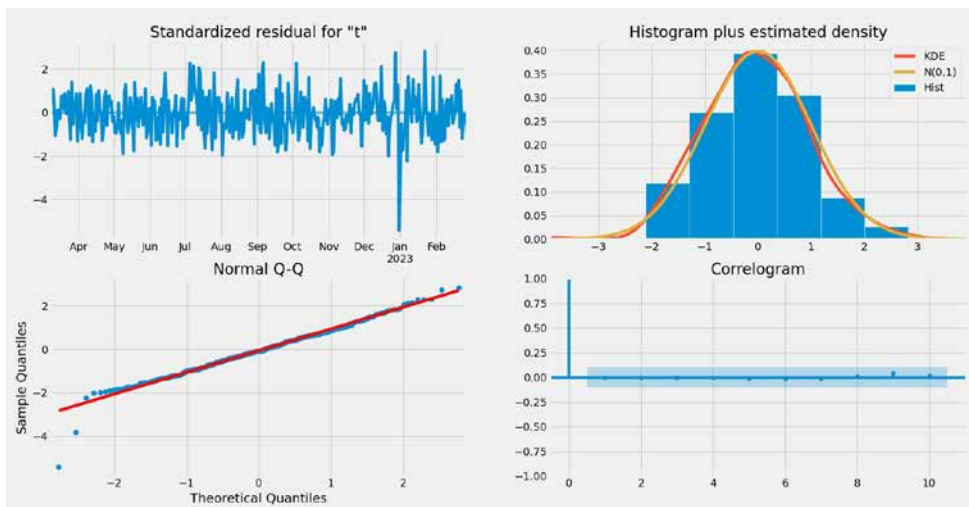


Fig. 3. Diagnose the model SARIMA (6, 1, 0) (2, 1, 1, 7)

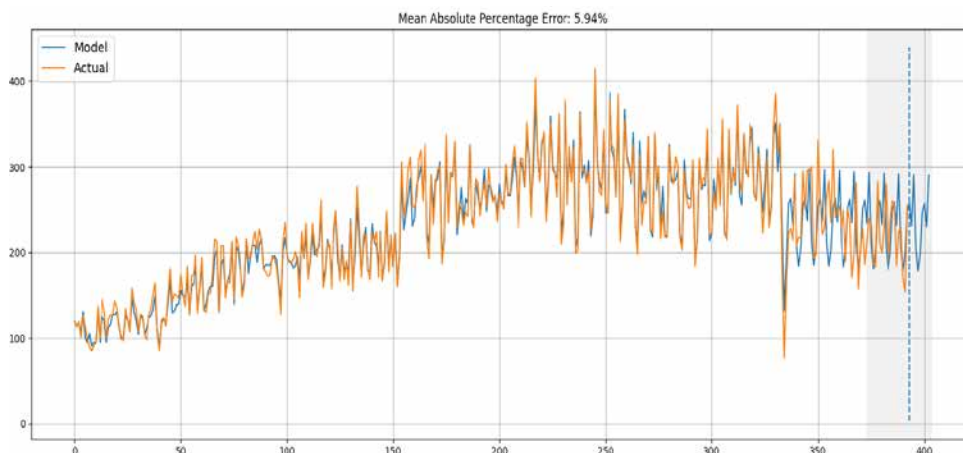


Fig. 4. Prediction of passenger traffic in the Sverdlovsk region until 28.02.2023 based on the SARIMA (6, 1, 0) (2, 1, 1, 7)

addition, the residuals over time do not show obvious seasonality and are close to white noise. Thus, our model provides a satisfactory fit for understanding the distribution of passenger traffic and predicting its future values. We will construct a forecast of passenger traffic until to 28.02.2023 (Fig. 4).

As a loss function that will monitor the quality of fitting the model to the original data, we will choose (8): $MAPE = 5,94\%$. The obtained value testifies to the rather high predictive properties of the constructed SARIMA-model.

Conclusion

The solution of various problems of the organization of passenger transportation is based on the determination of the values of passenger flows. In this article,

we proposed a complex mathematical model of the temporal distribution of passenger traffic in road transport based on daily information using the Sverdlovsk region as an example. Various SARIMA models have been tested to find the right one.

The results of the diagnostic test show that SARIMA (6, 1, 0) (2, 1, 1, 7) is the most suitable for modeling passenger traffic.

This method can be a valuable decision support tool for tasks of the technological organization of transport, taking into account, on the one hand, the current situation and the absence of any complex planning tools, and, on the other hand, the accuracy of the predictive approach.

Future research will focus on developing better predictive models that also use additional information. ■

Литература

1. Van Lint J. W. C., Van Hinsbergen C. P. I.J. Short-term traffic and travel time prediction models // Artificial Intelligence Applications to Critical Transportation Issues, 2012. 22, 1. P. 22–41.
2. Nikovski D. Univariate short-term prediction of road travel times // Proceedings of the 8th International IEEE Conference on Intelligent Transportation Systems, 2005. 10. P. 1074–1079.
3. Weijermars W., Berkum E. V. Analyzing highway flow patterns using cluster analysis // Sigmetrics Performance Evaluation Review – SIGMETRICS, 2005. 10. P. 308–313.
4. Cremer M. On the calculation of individual travel times by macroscopic model // Proceedings of the 6th International VNIS Conference, 1995. P. 187–193.

5. Nagel K., Schreckenberg M. A cellular automaton model for freeway traffic // *Journal de Physique I*, 1992. 2. P. 2221–2229.
6. Smith B. L., Williams B. M., Oswald R. K. Comparison of parametric and nonparametric models for traffic flow forecasting // *Transportation Research Part C*, 2002. 10. P. 303–321.
7. Ие О. Н. Анализ временного распределения пассажиропотока на автомобильном транспорте на основе данных райдшеринга // *Транспорт Урала*, 2021. № 2 (69). – С. 10–17. ISSN 1815-9400.
8. Ие О. Analysis of the temporal distribution of passenger traffic in road transport for the regional road network // *Proceedings of the 13th Conference of the Euro-American Consortium for Promoting the Application of Mathematics in Technical and Natural Sciences (AMiTaNS'21)* (Albena, Bulgaria, 24.06.2022–29.06.2021). AIP Conference Proceedings 2522, 050007 (2022).
9. Fang Zheng, Long Qingqing, Song Guojie and Xie Kunqing. Spatial-Temporal Graph ODE Networks for Traffic Flow Forecasting // *Association for Computing Machinery*, 2021. P. 364–373.
10. Timofeeva G., Ие О. Evaluation of origin-destination matrices based on analysis of data on transport passenger flows // *Proceedings of the 46th International Conference on Application of Mathematics in Engineering and Economics (AMEE'20)* (Sozopol, Bulgaria, 7.06.2020–13.06.2020). AIP Conference Proceedings 2333, 100002 (2021).
11. Box G., Jenkins G., Reinsel G. *Time Series Analysis: Forecasting and Control*. – John Wiley & Sons, 2013.
12. Dickey David A., Fuller Wayne A. Distribution of the Estimators for Autoregressive Time Series With a Unit Root // *Journal of the American Statistical Association*, 1979. 74, No. 366. P. 427–431.
13. Kelley C., Sachs E. Truncated Newton Methods for Optimization with Inaccurate Functions and Gradients // *Journal of Optimization Theory and Applications*, 2003. 116. P. 83–98.
14. Brown G. R. *Smoothing, Forecasting and Prediction of Discrete Time Series*. – N. Y.: Dover Phoenix Editions, 2004.
15. Theil H., Wage S. Some observations on adaptive forecasting // *Management Science*, 1964. 10, № 2. P. 198–206.
16. Common trips in an automobile [Sovmestnye poezdki na avtomobile]. URL: <https://xn-d1abb2a.xn-p1ai/> (access date: 02.03.2023).

References

1. Van Lint J.W.C., Van Hinsbergen C.P.IJ. Short-term traffic and travel time prediction models // *Artificial Intelligence Applications to Critical Transportation Issues*, 2012. 22, 1. P. 22–41.
2. Nikovski D. Univariate short-term prediction of road travel times // *Proceedings of the 8th International IEEE Conference on Intelligent Transportation Systems*, 2005. 10. P. 1074–1079.
3. Weijermars W., Berkum E. V. Analyzing highway flow patterns using cluster analysis // *Sigmatrics Performance Evaluation Review – SIGMETRICS*, 2005. 10. P. 308–313.
4. Cremer M. On the calculation of individual travel times by macroscopic model // *Proceedings of the 6th International VNIS Conference*, 1995. P. 187–193.
5. Nagel K., Schreckenberg M. A cellular automaton model for freeway traffic // *Journal de Physique I*, 1992. 2. P. 2221–2229.
6. Smith B. L., Williams B. M., Oswald R. K. Comparison of parametric and nonparametric models for traffic flow forecasting // *Transportation Research Part C*, 2002. 10. P. 303–321.
7. Ие О. Н. Time distribution analysis of passenger traffic flow on road transport based on ridesharing data // *Transport of the Urals*, 2021. № 2 (69). – Pp. 10–17. ISSN 1815-9400.
8. Ие О. Analysis of the temporal distribution of passenger traffic in road transport for the regional road network // *Proceedings of the 13th Conference of the Euro-American Consortium for Promoting the Application of Mathematics in Technical and Natural Sciences (AMiTaNS'21)* (Albena, Bulgaria, 24.06.2022–29.06.2021). AIP Conference Proceedings 2522, 050007 (2022).
9. Fang Zheng, Long Qingqing, Song Guojie and Xie Kunqing. Spatial-Temporal Graph ODE Networks for Traffic Flow Forecasting // *Association for Computing Machinery*, 2021. P. 364–373.

10. Timofeeva G., Ie O. Evaluation of origin-destination matrices based on analysis of data on transport passenger flows // Proceedings of the 46th International Conference on Application of Mathematics in Engineering and Economics (AMEE'20) (Sozopol, Bulgaria, 7.06.2020–13.06.2020). AIP Conference Proceedings 2333, 100002 (2021).
11. Box G., Jenkins G., Reinsel G. Time Series Analysis: Forecasting and Control. – John Wiley & Sons, 2013.
12. Dickey David A., Fuller Wayne A. Distribution of the Estimators for Autoregressive Time Series With a Unit Root // Journal of the American Statistical Association, 1979. 74, No. 366. P. 427–431.
13. Kelley C., Sachs E. Truncated Newton Methods for Optimization with Inaccurate Functions and Gradients // Journal of Optimization Theory and Applications, 2003. 116. P. 83–98.
14. Brown G. R. Smoothing, Forecasting and Prediction of Discrete Time Series. – N. Y.: Dover Phoenix Editions, 2004.
15. Theil H., Wage S. Some observations on adaptive forecasting // Management Science, 1964. 10, № 2. P. 198–206.
16. Common trips in an automobile. URL: <https://xn-d1abb2a.xn-p1ai/> (access date: 02.03.2023).

Статья сдана в редакцию 28 июня 2023 года

Публикуется в авторской редакции

Организация производства

УДК 656.078.14, 656.071.313

Н. Ф. Сирина, Д. Л. Русин

Методика адаптивного регулирования и управления тяговыми ресурсами на полигоне железных дорог

UDC 656.078.14, 656.071.313

N. F. Sirina, D. L. Rusin

Methods of adaptive regulation and management of traction resources at a railway test site

Аннотация

В условиях внедрения полигонных технологий организации движения поездов остро стоит вопрос устранения основных причин неэффективности грузовых перевозок – неконтролируемых задержек локомотивов под технологическими операциями, затрудненности формирования единого расписания, непостоянности суточного плана перевозок и отсутствия подходящего на момент формирования состава на станциях локомотива. Необходима оптимизация конкретных процессов организации и управления парком тяговых ресурсов.

В методологической основе работы заложены современные представления о положениях по синтезу правильных адаптивных механизмов с идентификацией, принципах формирования комплексной оценки, организационном и экономическом действии интеллектуальных и автоматизированных транспортных систем организации и управления на производстве, использованы методы экспертных оценок, Монте-Карло, дельфи, графико-аналитическое планирование и оценивание показателей, позволяющие организовать предоставление тяги и локомотивных бригад по

заявкам перевозчиков независимыми коммерческими структурами и физическими лицами на конкурентной основе.

Приведен механизм прогнозирования снижения потерь в управлении тяговыми ресурсами на полигоне железных дорог, обеспечивающий выполнение установленных параметров использования локомотивов, и предложена методика адаптивного регулирования и управления тяговыми ресурсами, позволяющая анализировать производственно-экономические показатели использования тяги для выработки и оценивания предлагаемых управленческих

Статья рекомендована к публикации В. В. Цыгановым, д-ром техн. наук, главным научным сотрудником Института проблем управления им. В. А. Трапезникова РАН; Москва, Россия. E-mail: bbc@ipu.ru.

Нина Фридриховна Сирина, д-р техн. наук, профессор кафедры «Вагоны» Уральского государственного университета путей сообщения. Екатеринбург, Россия. E-mail: Nsirina@usurt.ru. ORCID 0000-0001-9691-5181.

Дмитрий Львович Русин, аспирант кафедры «Вагоны» Уральского государственного университета путей сообщения. Екатеринбург, Россия. E-mail: rusindl@mail.ru. ORCID 0000-0002-0818-7573.

© Н. Ф. Сирина, Д. Л. Русин, 2023

The article is recommended for publishing V. V. Tsyganov, Doctor of Technical Sciences, Chief Researcher at V. A. Trapeznikov Institute of Control Sciences of Russian Academy of Sciences; Moscow, Russia. E-mail: bbc@ipu.ru.

Nina Friedrikhovna Sirina, Doctor of Technical Sciences, Professor of «Railway Cars» Department of the Ural State University of Railway Transport. Yekaterinburg, Russia. E-mail: Nsirina@usurt.ru. ORCID 0000-0001-9691-5181.

Dmitry Lvovich Rusin, Post-Graduate Student of «Railway Cars» Department of the Ural State University of Railway Transport. Yekaterinburg, Russia. E-mail: rusindl@mail.ru. ORCID 0000-0002-0818-7573.

© N. F. Sirina, D. L. Rusin, 2023

решений повышения эффективности перевозочного процесса.

Ключевые слова: адаптивный механизм, локомотивные бригады, комплексная оценка, цифровая железная дорога, полигон.

DOI: 10.20291/2079-0392-2023-3-23-35

Abstract

In the context of introduction of railway test site technologies for organization of train traffic, the issue of eliminating the main reasons for inefficiency of freight transportation is acute – uncontrolled delays of locomotives under technological operations, difficulty in forming a single schedule, instability of the daily transportation plan and lack of a suitable train at the time of formation at the locomotive stations. It

is necessary to optimize the specific processes of organizing and managing the fleet of traction resources.

The methodological framework of the research is based on modern perception about provisions for the synthesis of correct adaptive mechanisms with identification, principles of comprehensive assessment, organizational and economic action of intelligent and automated transport systems of organization and management in production, the methods of expert assessments, Monte Carlo, Delphi, graphic and analytical planning and evaluation of indicators are used, which enable to organize the supply of traction and locomotive crews at the request of carriers by independent commercial structures and individuals on a competitive basis.

The mechanism of predictive reduction of losses in the management of traction resources at the railway test site, ensuring the fulfillment of established parameters of the use of locomotives, is given, and the method of adaptive regulation and management of traction resources is proposed, which allows analyzing the production and economic indicators of the use of traction to develop and evaluate the proposed management solutions to improve efficiency of a transportation process.

Keywords: adaptive mechanism, locomotive crews, comprehensive assessment, digital railway, railway test site.

DOI: 10.20291/2079-0392-2023-3-23-35

Конкурентоспособность железнодорожного транспорта измеряется степенью внедрения и качеством инновационных решений. Но информационное моделирование в транспортном секторе государственной экономики не допускает напрямую переносить существующие методические и информационно-коммуникационные разработки, так как пока нет соответствующих технологических условий их реализации на железных дорогах.

Понятие «цифровая экономика» подразумевает организацию экономической деятельности электронного бизнеса и коммерции для производства товаров и сбыта цифровых услуг посредством телекоммуникаций [1, 2]. Развитие «интернета вещей» сформировало новые термины: «ключевая технология» и «ключевые стандарты цифровой железной дороги» [3], которые характеризуют основные инструменты достижения целей повышения качества

услуг посредством цифровых технологий и реализации приоритетов развития ОАО «РЖД» [4–6].

Цифровая железная дорога

Цифровая железная дорога (ЦЖД) холдинга «РЖД» строится на бизнес-принципах (работа в режиме онлайн, согласованное управление электронными сервисами и обеспечение информационной безопасности), регламентированных национальными, отраслевыми и корпоративными стратегическими документами и стандартами взаимодействия [7–9]. Технологически ЦЖД – это совокупность цифровых средств отображения подвижного состава, перевозочного процесса, инфраструктуры, регламентов безопасности движения поездов и состояния инфраструктуры, обеспечивающих автоматизацию диспетчерского управления и распределения ресурсов на полигоне при взаимодействии

с клиентами и обслуживании пассажиров*.

Агрегатор товаров (услуг)

Рынок государственных железнодорожных перевозок по-прежнему принадлежит монополистическим компаниям (перевозчикам и владельцам инфраструктуры) без внутримодальной конкуренции, которая имеет особое значение для этого рынка в условиях глобальной цифровизации экономики. Бюджетные цены на железнодорожные перевозки на маршрутах с интермодальной конкуренцией ниже по сравнению с графиковыми отправлениями [11, 12].

На огромном рынке торговли товарами и услугами в Интернете и на электронных торговых площадках покупатель может приобрести необходимый товар (услугу) по приемлемой цене. Но поиск наиболее дешевого искомого товара (услуги) затрудняется тем, что не все интернет-магазины (исполнители услуг) отображаются на первых страницах поисковых запросов.

Законом установлен порядок регулирования деятельности агрегаторов и введено понятие «владелец агрегатора», означающее «организации всех организационно-правовых форм или индивидуальные предприниматели, владеющие программами для электронных вычислительных машин и (или) сайтами в информационно-телекоммуникационной сети «Интернет», посредством которых потребителям предоставляется одновременная возможность ознакомления с предложениями продавцов

(исполнителей услуг) в отношении определенного товара (услуги) для заключения договоров купли-продажи (договоров возмездного оказания услуг) с правом предварительной оплаты указанного товара (услуги) путем перевода денежных средств владельцу агрегатора в рамках применяемых форм безналичных форм расчетов в соответствии с п. 3 ст. 161» [13, 14].

«Агрегатор товаров (услуг)» (маркетплейс, от англ. *marketplace* – место торговли, рынок товаров) – это электронная торговая площадка, на которой покупатель выбирает подходящий товар (услугу), выставленный продавцами, заключают с ними договор купли-продажи (в электронной форме) и при необходимости предварительно оплачивают товар (услугу); владелец агрегатора может выступать и в роли продавца (исполнителя услуг)» [13, 15, 16]**.

Полигоны железных дорог

Полигон железных дорог – это объединение поездоучастков сети (обладающее зарождением и окончанием производственных циклов в единой технологии работы тягового подвижного состава на схожей инфраструктуре) для обслуживания общих грузо- и пассажиропотоков с максимальным транспортно-логистическим эффектом; поездоучастком считается часть железнодорожной линии между техническими станциями (либо между тупиковой и технической) с едиными весовыми нормами грузовых поездов, стабильными размерами движения и единым видом тяги [17, 18].

* Результат построения ЦЖД в перевозочном процессе определяется уровнем совершенствования процессов управления тяговыми ресурсами с помощью технологий информационного моделирования (ВМ-технологий) на всех этапах жизненного цикла путем создания цифровой технологической платформы железнодорожного транспорта. Внедрение ЕАМ-систем сократит количество срочных закупок на 29 %, затраты при обслуживании оборудования – на 25–30, стоимость аварийных работ – на 31, долю сверхурочных работ – на 22, уровень сверхнормативных запасов – на 21, случаи дефицита запасов – на 29, время ожидания материалов для проведения работ – на 29, повысит производительность ремонта на 29 %, коэффициент готовности оборудования – на 17 и сэкономит до 18 % на получении более выгодных предложений от поставщиков [10].

** Организация работы такой торговой площадки основана на технологической платформе с компьютерными программами, базами данных, веб-сайтом, доменным именем и т.д., обеспечивающей хранение, подготовку, получение, отправление, обмен и безопасную обработку данных для функционирования сети продавцов и покупателей при купле-продаже товаров (услуг). Например, интернет-магазин (Alibaba, Ozon, Amazon, Wildberries), такси (Uber), поиск гостиниц (booking.com), сервисы подбора туров (travel.ru), поисковики авиабилетов (aviasales.ru). Например, на Amazon предлагаются к продаже планшеты Amazon Kindle Fire.



Рис. 1. Схема полигонов железных дорог

Перевозчик управляет движением транспорта на основании заявок от пассажиро- и грузоотправителей на различные перевозки; владелец инфраструктуры согласует заявки с расписанием, которое соблюдается диспетчерским персоналом службы движения и локомотивными бригадами при ведении поездов и маневровых составов.

Трансформация регионального принципа управления по полигонной системе планирования и организации перевозочного процесса сформировала Восточный и Западный полигоны железных дорог (полигон), рис. 1.

Протяженность Западного полигона только по Транссибу составляет 3616 км с парком локомотивов более 2700 тяг. ед. Переход к полигонам, обусловленный изменением структуры грузопотоков в междорожном сообщении, позволил организовать на северо-западной части Западного полигона не только устойчивую погрузку свыше 50 % ОАО «РЖД», но и выполнение 40 % от сетевого показателя тонно-километровой работы (обмен поездами – более 100 ед. в сутки по стыковым станциям Восточного полигона) [19].

К 2025 г. ожидаемый прирост грузооборота к уровню 2021 г. составит более 21 % с увеличением основных эксплуатационных показателей восточного направления железнодорожных перевозок ОАО «РЖД»: повышение грузооборота

на 14 %, погрузки – 7 (свыше 670 тыс. т), рост участковой скорости на 8 % (до 44,9 км/ч) с производительностью локомотива на 9 %, средняя дальность перевозок возросла на 35 км (+1,9 %) и составила до 1835 км.

Возможности агрегатора услуг по ведению поезда (маневрового состава) на полигонах

На этапе внедрения технологий агрегатора услуг по ведению поезда (маневрового состава) в ЦЖД на полигоне применяются инструменты маркетингового анализа, в частности, SWOT-анализ, определяющий возможность внедрения автоматизированных и интеллектуальных систем управления через построение многомерных матриц и формировать комплексную оценку (КО) использования локомотивов и услуг локомотивных бригад на агрегаторе (таблица 1).

Внедрение цифровых технологий на полигоне благоприятно воздействует на себестоимость транспортных услуг и позволяет оптимизировать затраты на локомотивное хозяйство, однако существуют риски (не критические); их снизит поэтапная организация технической и информационной безопасности предоставления локомотивными бригадами услуг управления тяговыми средствами на агрегаторе (таблица 2).

Таблица 1

SWOT-анализ реализации агрегатора на полигонах в РФ

Сильные стороны	Слабые стороны
<p>Наличие естественно-монопольной транспортной сети Снижение эксплуатационных затрат Устоявшиеся связи с крупнейшими клиентами Массовость перевозки вне зависимости от погодных условий Известный бренд Развитая сеть дислокации тяговых средств Государственная значимость Финансово устойчивое положение ОАО «РЖД» Незначительные инвестиции в развитие агрегатора на полигонах Отсутствие конкуренции Программное обеспечение и автоматизированные системы Экстерриториальное управление перевозками</p>	<p>Необходимость постоянных вложений в изношенный парк локомотивов Бюрократическая организационная культура железнодорожного транспорта Недостаточность практического опыта Тарифное регулирование государством Уровень автоматизации процессов Невысокая информированность клиентов, сотрудников Преобладание низкодоходных грузов в структуре погрузки Усложнение расчетов эксплуатационных показателей работы полигона</p>
Возможности	Угрозы
<p>Использование мирового опыта Значительный потенциал рынка Повышение эффективности и производительности труда Появление дополнительных рабочих IT-мест Большие объемы перевозок Получение клиентами услуги в одном «окне» или на одном сайте Высокая скорость технологических изменений Оптимизация структуры управления перевозочным процессом Фактор времени для пользователей услуг агрегатора Стремительное внедрение цифровых технологий Расширение и укрупнение бизнеса Высокий уровень инновационных инициатив</p>	<p>Виртуализация и разобщенность людей Изменение нормативно-правовых документов в законодательстве Оптимизация рабочих мест производственного персонала Отсутствии прямых инвестиций и заложенных в бюджет затрат для господдержки Возникновение технологических нарушений и отказов в работе технических средств Сложность коммерческой реализации услуг и оформления транспортных документов Кибербезопасность</p>

Таблица 2

Результаты SWOT-анализа цифровизации процессов на полигоне

	Сильные стороны	Слабые стороны
Возможности	<p>Сектор «Развитие» Ориентация на внешнюю клиенто-ориентированность Регулирование провозных и перерабатывающих способностей Адаптация и применение современных мировых технологий Автоматизация и интеллектуализация технологических процессов</p>	<p>Сектор «Что менять» Появление конкурентов, связанное с государственной политикой либерализации рынка транспортных услуг Аудит нормативно-правовой базы Совершенствование киберзащиты грузоотправителей, перевозчиков, исполнителей Формирование системы взаимодействия с исполнителями Внедрение современных мобильных приложений</p>
	<p>Сектор «Компенсация угрозы» Постоянное отслеживание изменений в законодательстве Исполнение графика движения поездов Компетентный обученный персонал Транзитный потенциал России Появление новых способов перевозки грузов</p>	<p>Сектор «Проблема» Снижение человеческих и кадровых возможностей Изучение факторов конкурентоспособности мировых практиков Выпуск инновационных микропроцессорных напольных и бортовых устройств Скоростной потенциал существующей инфраструктуры</p>
Угрозы		

Внедрение агрегатора на полигоне ЦЖД приводит к корректировке действующей структурированной системы показателей эксплуатационной работы, экономических оценок железных дорог и формирует методические подходы для сокращения потерь и (или) последствий их устранения, вызванные неэффективными взаимоотношениями хозяйствующих подразделений ОАО «РЖД» по использованию локомотивов и локомотивных бригад.

Работа локомотивных бригад на полигоне с использованием агрегатора означает трансформацию классических принципов автоматизированного управления движением: интеллектуализация технологических процессов, цифровой карты локомотивов, организация транспортного процесса в автоматическом режиме, технико-технологическая часть которого обеспечит бесперебойное использование и контроль состояния тяговых средств.

Адаптивный механизм прогностичного снижения потерь в управлении тяговыми ресурсами и процедура обучения КО

Для внедрения агрегатора в ЦЖД необходимо усовершенствовать процедуру использования локомотивов и локомотивных бригад, основанную на коммерческом интересе перевозчика. Для этого разработан адаптивный механизм прогностичного снижения потерь в управлении тяговыми ресурсами (АМ ПСП) (рис. 2), в котором формируются отклонения фактических затрат (перерасход/экономию δ) и анализируются методом прямого сравнения с нормативными значениями. С помощью этого механизма дирекция тяги (Т) взаимодействует с единым центром управления перевозками (ЕДЦУП), центром управления тяговыми ресурсами (ЦУТР), дирекцией управления движением (ДУ), полигоном и их структурных подразделений.

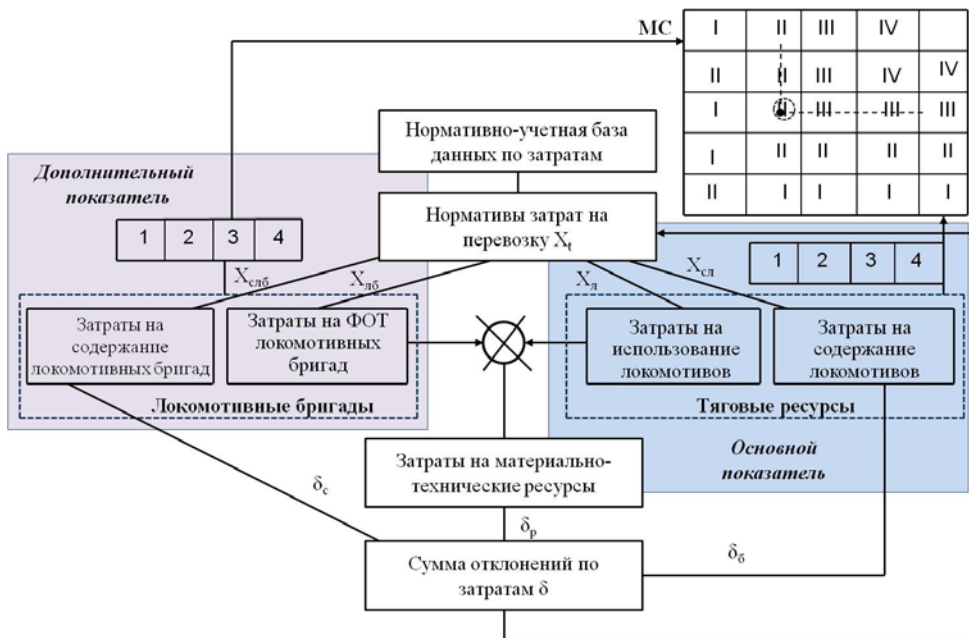


Рис. 2. Адаптивный механизм прогностичного снижения потерь в управлении тяговыми ресурсами на полигоне

Градиент нормативных значений затрат по использованию тяговых ресурсов $X_i = (X_{лб}, X_{сл}, X_{слб}, X_{л})$ формируется из нормативов затрат на локомотивные бригады ($X_{слб}$), локомотивы ($X_{л}$) и заработную плату ($X_{лб}, X_{сл}$), а мультипликатор (α) необходим при суммировании всех видов затрат.

В структуре выбранной комплексной оценки каждый узел дерева свертки разделяется на две логические группы матриц свертки (МС) по методу дихотомии. Механизм КО = $f(F, \dots, N_k)$ объединяет частные показатели и критерии $\{A, B, \dots, N_k\}$ достижения полигоном цели по распределению локомотивов в предварительно сформированные группы, которые преобразуются в четырехбалльную шкалу (1 – плохо, 2 – удовлетворительно, 3 – хорошо, 4 – отлично), унифицированную по генеральному показателю и основанную на попарной свертке балльных оценок. Затем определяются граничные уровни получаемого эффекта Θ по каждому поездоучастку Н: $H3 < \Theta \leq H4$ – отлично, $H2 < \Theta \leq H3$ – хорошо, $H1 < \Theta \leq H2$ – удовлетворительно, $\Theta \leq H1$ – неудовлетворительно [22].

Показатели подразделяются на основные группы – по выполнению плановых заданий и дополнительные – индикаторы эффективности производственных процессов. По результатам комплексных оценок локомотивных бригад и состояния локомотивов определяется себестоимость использования тяги в периоде t :

$$c_t = \sum_{i=1}^n k_{it} P_{it}, \quad (1)$$

где P_{it} – расценка i -го ресурса для использования локомотива; k_{it} – объем i -го ресурса, необходимого на эксплуатацию локомотива в периоде t ; i – номер ресурса, $i = 1, 2, \dots, n$.

На основе нормативов, получаемых из блоков оценки и ранжирования (БОР), рассчитывается нормативная себестоимость использования тяговых ресурсов и локомотивных бригад

в каждом периоде $t(x_i^c)$. Далее включается процедура контроля затрат, по которой объединяются в i -й МС сформированные оценки цен и расходов i -го ресурса $u_i (i = 1, n)$.

Результаты, полученные ранжированием отклонений в параметрах бюджета, применяются Т для оперативной корректировки стоимости использования тяги, например, разработки дополнительных мероприятий. На основе КО (e_i) Т анализирует эффективность использования локомотивных бригад и регулирует их участки обслуживания. Установленная периодичность по контролю непрерывна, соответствует уровню технологического процесса управления тяговыми ресурсами, для ее реализации создан Центр агрегации тяговых ресурсов и локомотивных бригад (ЦАТР), обеспечивающий непрерывный мониторинг потребности в предоставлении услуг тяги и способный структурировать и систематизировать работу по заказам перевозчиков с учетом практически значимых категорий оценочных показателей [23].

Оценка себестоимости управления тягой получается по результатам работы АМ ПСП путем расчета относительной величины δ_i – отклонение фактических затрат y_i от установленных планов x_i :

$$e_i = f^\circ(x_i, y_i) = \frac{(y_i - x_i)}{x_i} 100\% \equiv \delta_i. \quad (2)$$

Расход ресурсов контролируется через формирование нормативов АМ ПСП в соответствующих БОРах затрат и цен i -го ресурса, $i = 1, n$, с последующим расчетом по формуле (1) нормативной себестоимости управления локомотивами в периоде $t(x_i^c)$.

В состоянии дальновидной неопределенности существующая система организации движения поездов требует согласованной работы Д, ЦУТР, ЕДЦУП, ЦАТР и сторонних локомотивных бригад при управлении локомотивами (с учетом уровня подготовки и компетенции их персонала). Поэтому для агрегатированных перевозок нужен запуск вертикально интегрированной процедуры

централизованного обучения КО, например, во взаимодействии ЦАТР и Т.

В АМ ПСП, когда нет информации о потенциале локомотивных бригад (в т.ч. агрегатированных) p_t , ЦАТР непрерывно отслеживает показатели управления тягой по заявкам перевозчика и использует процедуру обучения КО опытным специалистом Т для последующей поддержки принятия управленческих рекомендаций $S_r(y_t)$ ответственными сотрудниками ЦАТР:

$$S_r(y_t) \in \begin{cases} 1, & \text{если } y_t \geq p_t \\ 0, & \text{если } y_t < p_t \end{cases}, t = 0, 1, \dots \quad (3)$$

Целевая функция ЦАТР стремится в перспективе увеличить стимул для локомотивных бригад:

$$V_t = \sum_{\tau=t}^{t+D} \rho^{\tau-t} \varphi_{\tau}, \quad (4)$$

где ρ – коэффициент корректировки предстоящих стимулов на текущей период t , $0 < \rho < 1$; τ – период, в котором возможны выходы локомотивных бригад для управления тяговыми ресурсами, $\tau = t, \dots, t + T$; φ_t – стимул; D – временная дальновидность ЦАТР.

Таким образом, АМ ПСП для выполнения плана x_t перевозок и максимизации целевой функции всей системы $\psi(x_t, u_t, y_t)$ позволяет ЦАТР организовать управление локомотивами с использованием потенциала p_t локомотивных бригад (на границе своих возможностей), оказывающих услуги через агрегатор, в каждом периоде с учетом неопределенности их потенциала и результатов:

$$R(\Sigma) = \min_{\xi \in \Theta} \min_{y \in R(\Sigma, p)} \psi(x_t, y_t), \quad (5)$$

где ξ – влияние внешней среды (стохастическая помеха $\xi \in \Theta \subset R$).

Принятие управленческого решения руководителем соответствующей зоны ответственности основывается на значении полученной от ответственного сотрудника ЦАТР оценки сформированного (2) параметра e_{t+1} . В случае отклонения e_{t+1} от норматива автоматически

включается АМ ПСП для повышения эффективности услуг на агрегаторе, чтобы обеспечить сопоставимость фактических расходов на результаты работы локомотивных бригад y_t с их потенциалом p_t . Параллельно с использованием процедуры регулирования Т направляет плановые управленческие рекомендации $S_r(y_t)$ в ЦАТР. АМ ПСП, используя стимулы (4) и решающее правило (1), настраивает оценку e_t . По результатам КО, в соответствии с (3) и (4), руководитель ЦАТР оказывает материальное или технологическое влияние на персонал предприятия-исполнителя и локомотивную бригаду. Если $y_t < e_t$, то, например, выполняемая локомотивной бригадой поездка считается неэффективной ($\Theta = \text{НІ, НІІ}$), иначе ($\Theta = \text{НІІІ, НІV}$) поощряется следующими заявками на управление локомотивом.

Для руководителей ЦАТР в начале обучения КО существует риск получения некорректной оценки управления тяговыми средствами локомотивными бригадами в виде переоценивания их работы и, как следствие, дополнительного поощрения при низкоэффективном управлении локомотивом или недооценки и последующего неправомерного наказания локомотивной бригады. Поэтому при ручном расчете оценки e_t формируется значение нижнего предела эффективности y_t , соответствующее удовлетворительному уровню работы, т.е. самому высокому значению y_t сопоставима самая низкая оценка e_t [24], выступающая пороговым значением y_t для формирования в будущем периоде стимула (4) и плановых параметров стоимости использования локомотивов (1) участниками перевозочного процесса.

В процессе обучения КО рекуррентная процедура (1) по условию (5) обеспечивает высокую сходимость оценки e_t с оптимальными значениями решающего правила (4). Поэтому все участники перевозочного процесса заинтересованы в раскрытии потенциала локомотивных бригад при оказании услуг по управлению тягой через агрегатор.

В дальнейшем ЦАТР самостоятельно, без участия Т, рассчитывает нормы и стимулы для повышения эффективности управления тяговыми ресурсами через агрегатор.

Основной показатель эффективности взаимодействия участников перевозочного процесса на полигоне – КО работы локомотивных бригад, которая зависит от регулирующего воздействия ЦАТР на агрегаторе и повышается процедурой обучения КО в АМ ПСП.

Для решения той или иной производственной ситуации необходима разработка методики адаптивного регулирования и управления тяговыми ресурсами, позволяющая организовать по заявкам перевозчиков управление локомотивами независимыми коммерческими структурами и физическими лицами на конкурентной основе.

Методика адаптивного регулирования и управления тяговыми ресурсами

Эффективность применяемых систем экспертного принятия решений зависит от уровня квалификации экспертов

и многофункциональности программно-аппаратных комплексов. При расчетах стоимости услуг, ценообразовании, оценки конкурентоспособности и синтеза различных моделей управления перевозочным процессом применяется метод «дельфи», правила работы которого заложены в методике адаптивного регулирования и управления тяговыми ресурсами на полигоне (рис. 3).

КО использования тяговых средств формируется МС поэтапно: сначала определяется оценка содержания тяговых ресурсов по соответствующим БО-Рам, а потом оценки управленческой деятельности ЦУТР, ЕДЦУП, ЦАТР, полигона и т.д. за определенные периоды. С помощью матриц свертки по содержанию локомотивов и функционированию ЦАТР формируется комплексная оценка состояния тяги, которая через матрицу свертки с оценкой содержания тяговых средств формирует комплексную оценку использования их на полигоне, на основании которой определяется дальнейшая стратегия эксплуатации локомотивов (вид ремонта, стимулирующие воздействия на персонал и т.д.).



Рис. 3. Методика адаптивного регулирования и управления тяговыми ресурсами на полигоне

Эффективность обновления локомотивного парка от загруженности поездной и маневровой работой зависит меньше, чем от результативности и качества управления локомотивами.

Транспортные компании удерживают конкурентное преимущество за счет оперативной клиентоориентированности, поэтому информационное обеспечение играет главную роль, т.е. редукция задачи рационального управления локомотивами сводится к решению задачи математического программирования. В этом случае внедрение автоматизированных систем по поддержке принятия управленческих рекомендаций позволяет снизить количество нерациональных решений ЦАТР, а периодичность контроля Т, установленная АМ ПСП, удовлетворяет параметрам перевозочного процесса с учетом алгоритмизации методики адаптивного регулирования и управления тяговыми ресурсами на полигоне.

Выводы

Основой развития ЦЖД выступают технологический опыт и интеллек-

туальные возможности на железнодорожном транспорте. Поскольку полигон состоит из множества поездоучастков и железнодорожных станций, то перед принимающим решения о плане пропуска поездов диспетчерским персоналом перевозчика стоит техническая задача баланса экономической эффективности и результатов перевозочного процесса (в том числе и безопасности движения поездов) для полигона в целом.

Предложенная в статье методика адаптивного регулирования и управления тяговыми ресурсами на полигоне позволяет не только анализировать производственно-экономические показатели использования тяги для выработки и оценивания предлагаемых управленческих решений повышения эффективности перевозочного процесса, но и в качестве критерия результативности организации движения применять результаты комплексной оценки распределения услуг локомотивных бригад по заказам перевозчиков на ведение поезда (маневрового состава). ■

Литература

1. Mesenbourg T. L. Measuring the Digital Economy. URL: <https://www.census.gov/library/working-papers/2001/econ/mesenbourg-01.html> (дата обращения: 08.08.2023).
2. Tapscott D. The Digital Economy: Promise and Peril in the Age of Networked Intelligence. Paperback. – 1994. 368 p.
3. Shi T.-Y., Wang Y.-J., Li P. Research on Digital Railway system Architecture. Journal of Transportation systems Engineering and Information Technology. 2010. Pp. 29–33.
4. Распоряжение ОАО «РЖД» от 30.10.2015 №2596р «Об утверждении Положения о порядке разработки и выполнения программы инновационного развития холдинга «РЖД». URL: <https://base.garant.ru/71312368/#friends> (дата обращения: 09.08.2023).
5. Распоряжение Правительства Российской Федерации от 19.03.2019 № 466-р. «О долгосрочной программе развития ОАО «РЖД» до 2025 года». URL: <https://base.garant.ru/72200764/>. (дата обращения: 09.08.2023).
6. Распоряжение ОАО «РЖД» от 17.04.2018 № 769/р «Об утверждении Стратегии научно-технологического развития холдинга «РЖД» на период до 2025 года и на перспективу до 2030 года». URL: <https://zszd.rzd.ru/api/media/resources/c/17/121/18071?action=download>. (дата обращения: 09.08.2023).
7. Распоряжение Правительства РФ от 17.06.2008 г. № 877-р «Об утверждении Стратегии развития железнодорожного транспорта и Транспортной Стратегии Российской Федерации до 2030 г.». URL: https://www.irgups.ru/sites/default/files/irgups/science/document/koncepciya_realizacii_kompleksnogo_nauchno_tehnicheskogo_proekta_cifrovaya_zheleznaaya_doroga.pdf (дата обращения: 09.08.2023).
8. Решение совета директоров ОАО «РЖД» от 23 декабря 2013г. № 19. Стратегия развития холдинга ОАО «РЖД» на период до 2030 г. URL: <https://www.irgups.ru/>

- sites/default/files/irgups/science/document/koncepciya_realizacii_kompleksnogo_nauchno_tehnicheskogo_proekta_cifrovaya_zheleznaya_doroga.pdf (дата обращения: 09.08.2023).
9. Распоряжение Правительства Российской Федерации от 28.07.2017 г. № 1632-р «Программа «Цифровая экономика Российской Федерации»». URL: https://www.irgups.ru/sites/default/files/irgups/science/document/koncepciya_realizacii_kompleksnogo_nauchno_tehnicheskogo_proekta_cifrovaya_zheleznaya_doroga.pdf (дата обращения: 09.08.2023).
 10. Концепция реализации комплексного научно технического проекта «Цифровая железная дорога». URL: https://www.irgups.ru/sites/default/files/irgups/science/document/koncepciya_realizacii_kompleksnogo_nauchno_tehnicheskogo_proekta_cifrovaya_zheleznaya_doroga.pdf (дата обращения: 09.08.2023).
 11. Gremm С. The effect of intermodal competition on the pricing behaviour of a railway company: Evidence from the German. *Research in Transportation Economics*, 2018. № 10. Pp. 49–64.
 12. Вакуленко С. П., Роменская М. В., Калинин К. А., Шведин К. И. Комплексный анализ эффективности использования современного подвижного состава при перевозках массовых грузов // *Вестник ВНИИЖТ*, 2022. – Т. 81. – № 2. – С. 170–178. ISSN 2223-9731.
 13. Федеральный закон от 29.07.2018 № 250-ФЗ «О внесении изменений в Закон Российской Федерации «О защите прав потребителей»». URL: <http://www.kremlin.ru/acts/bank/43417> (дата обращения: 10.08.2023).
 14. Федеральный закон от 27 июня 2011 г. № 161-ФЗ «О национальной платежной системе». URL: <http://www.kremlin.ru/acts/bank/33484> (дата обращения: 10.08.2023).
 15. Закон РФ от 07.02.1992 № 2300-1 «О защите прав потребителей». URL: <http://www.kremlin.ru/acts/bank/8725> (дата обращения: 10.08.2023).
 16. Рожкова М. А. Агрегаторы, платформы, «владельцы агрегаторов»: некоторые комментарии к Закону об агрегаторах. URL: https://zakon.ru/blog/2018/8/13/agregatory_platformy_vladelcy_agregatorov_nekotorye_komentarii_k_zakonu_ob_agregatorah (дата обращения: 10.08.2023).
 17. Зобнин В. Л., Осьминин А. Т., Сотников Е. А., Осьминин М. А. Технологический процесс работы центра управления перевозками восточного полигона (ЦУП ВП) // *Вестник ВНИИЖТ*. – 2017. – Т. 76. – № 3. С. 146–152. ISSN 2223-9731.
 18. Распоряжение ОАО «РЖД» от 13 января 2020 г. № 28/р «Об утверждении Методики классификации и специализации железнодорожных линий ОАО «РЖД»». URL: <https://base.garant.ru/73573702> (дата обращения: 10.08.2023).
 19. Распоряжение Правительства Российской Федерации от 29 июня 2019 г. №1393-р. «Об управлении ОАО «РЖД»». URL: <https://rulaws.ru/government/Rasporyazhenie-Pravitelstva-RF-ot-29.06.2019-N-1393-r/?ysclid=llbw87i91j454094622>, (дата обращения: 10.08.2023).
 20. Khodakivsky O., Khodakivskaya Y., Kuzmenkov O., Scherbyna M., Kolesnichenko O. Improvement of the railway transport system by increasing the level of goal-oriented activity. *Procedia Computer science*. 2019. № 149. Pp. 415–421.
 21. Мишкурин П. Н., Рахмангулов А. Н., Фридрихсон О. В. Методика формирования транспортной сети железнодорожной станции // *Вестник УрГУПС*. 2021. № 3 (51). С. 50–64. ISSN 2079-0392.
 22. Сирина Н. Ф., Русин Д. Л. Реализация методов автоматизированного распределения тяговых ресурсов на обслуживание инфраструктуры полигона железных дорог / *Сб. научн. тр. «Транспорт: наука, образование, производство»*. – Т. 3 : Технические и экономические науки / Ростов-на-Дону, 2020. С. 200–204.
 23. Сирина Н. Ф., Русин Д. Л. Модель адаптивного регулирования и управления тяговыми ресурсами с идентификацией в перевозочном процессе полигона железных дорог // *Транспорт Урала*, 2023. № 3 (78). С. 8–17. ISSN 1815-9400.
 24. Цыганов В. В., Басыров С. К., Ковалев С. М. Механизм обучения энергоэффективности на цифровом железнодорожном транспорте / *Труды Восьмой научн.-техн. конф. «Интеллектуальные системы управления на железнодорожном транспорте. Компьютерное и математическое моделирование (ИСУЖТ-2018)»*, 21.11.2019, Москва. – М. : АО «НИИАС», 2019. С. 203–207.

References

1. Mesenbourg T. L. Measuring the Digital Economy. URL: <https://www.census.gov/library/working-papers/2001/econ/mesenbourg-01.html> (accessed on: 08.08.2023).

2. Tapscott D. The Digital Economy: Promise and Peril in the Age of Networked Intelligence. Paperback. – 1994. 368 p.
3. Shi T.-Y., Wang Y.-J., Li P. Research on Digital Railway system Architecture. Journal of Transportation systems Engineering and Information Technology. 2010.Pp. 29–33.
4. Order of JSC «Russian Railways» dated 30.10.2015 No. 2596r «On approval of Regulations on the procedure for development and implementation of the Innovative Development Program of the «Russian Railways» Holding [Rasporyazhenie OAO «RZhD» ot 30.10.2015 №2596r «Ob utverzhdenii Polozheniya o poryadke razrabotki i vypolneniya programmy innovatsionnogo razvitiya kholdinga «RZhD»)]. URL: <https://base.garant.ru/71312368/#friends> (accessed on: 09.08.2023).
5. Decree of the Government of the Russian Federation No. 466-r dated 19.03.2019. «On the long-term development program of JSC «Russian Railways» until 2025» [Rasporyazhenie Pravitel'stva Rossijskoj Federatsii ot 19.03.2019 № 466-r. «O dolgosrochnoj programme razvitiya OAO «RZhD» do 2025 goda»]. URL: <https://base.garant.ru/72200764/>. (accessed on: 09.08.2023).
6. Order of JSC «Russian Railways» dated 17.04.2018 No. 769/r «On approval of the Strategy for scientific and technological development of the “Russian Railways” Holding for the period up to 2025 and for the future up to 2030» [Rasporyazhenie OAO «RZhD» ot 17.04.2018 № 769/r «Ob utverzhdenii Strategii nauchno-tehnologicheskogo razvitiya kholdinga «RZhD» na period do 2025 goda i na perspektivu do 2030 goda»]. URL: <https://zszd.rzd.ru/api/media/resources/c/17/121/18071?action = download>. (accessed on: 09.08.2023).
7. Decree of the Government of the Russian Federation No. 877-r dated 17.06.2008 «On approval of the Strategy for the Development of Railway Transport and the Transport Strategy of the Russian Federation until 2030». [Rasporyazhenie Pravitel'stva RF ot 17.06.2008 g. № 877-r «Ob utverzhdenii Strategii razvitiya zheleznodorozhnogo transporta i Transportnoj Strategii Rossijskoj Federatsii do 2030 g.»] URL: https://www.irgups.ru/sites/default/files/irgups/science/document/koncepciya_realizacii_kompleksnogo_nauchno_tehnicheskogo_proekta_cifrovaya_zheleznaya_doroga.pdf (accessed on: 08.09.2023).
8. Decision of the Board of Directors of JSC «Russian Railways» dated December 23, 2013 No. 19. Development strategy of the «Russian Railways» holding for the period up to 2030 [Reshenie soveta direktorov OAO «RZhD» ot 23 dekabrya 2013g. № 19. Strategiya razvitiya kholdinga OAO «RZhD» na period do 2030 g.]. URL: https://www.irgups.ru/sites/default/files/irgups/science/document/koncepciya_realizacii_kompleksnogo_nauchno_tehnicheskogo_proekta_cifrovaya_zheleznaya_doroga.pdf (accessed on: 09.08.2023).
9. Decree of the Government of the Russian Federation No. 1632-r dated 28.07.2017 «Digital Economy of the Russian Federation Program» [Rasporyazhenie Pravitel'stva Rossijskoj Federatsii ot 28.07.2017 g. № 1632-r «Programma «Tsifrovaya ehkonomika Rossijskoj Federatsii»«]. URL: https://www.irgups.ru/sites/default/files/irgups/science/document/koncepciya_realizacii_kompleksnogo_nauchno_tehnicheskogo_proekta_cifrovaya_zheleznaya_doroga.pdf (accessed on: 09.08.2023).
10. The concept of implementation of the integrated scientific and technical project «Digital Railway» [Kontseptsiya realizatsii kompleksnogo nauchno tekhnicheskogo projekta «TSifrovaya zheleznaya doroga»]. URL: https://www.irgups.ru/sites/default/files/irgups/science/document/koncepciya_realizacii_kompleksnogo_nauchno_tehnicheskogo_proekta_cifrovaya_zheleznaya_doroga.pdf (accessed on: 09.08.2023).
11. Gremm C. The effect of intermodal competition on the pricing behaviour of a railway company: Evidence from the German. Research in Transportation Economics, 2018. № 10. pp. 49–64.
12. Vakulenko S. P., Romenskaya M. V., Kalinin K. A., Shvedin K. I. Complex analysis of efficiency of using modern rolling stock in bulk cargo transportation // News Bulletin of VNIIZHT [Kompleksnyj analiz ehffektivnosti ispol'zovaniya sovremennogo podvizhnogo sostava pri perevozkakh massovykh gruzov // Vestnik VNIIZHT], 2022. – Vol. 81. – № 2. – pp. 170–178. ISSN 2223-9731.
13. Federal Law № 250 of 29.07.2018-Federal Law «On Amendments to the Law of the Russian Federation «On Consumer Rights Protection»» [Federal'nyj zakon ot 29.07.2018 № 250-FZ «O vnesenii izmenenij v Zakon Rossijskoj Federatsii «O zashhite prav potrebitelej»«]. URL: <http://www.kremlin.ru/acts/bank/43417> (accessed on: 10.08.2023).

14. Federal Law № 161-FZ of June 27, 2011 «On the National Payment System». URL: <http://www.kremlin.ru/acts/bank/33484> (accessed on: 10.08.2023).
15. The RF Law № 2300-I of 07.02.1992 «On Consumer Rights Protection» [Zakon RF ot 07.02.1992 № 2300-I «O zashhite prav potrebitel'ev»]. URL: <http://www.kremlin.ru/acts/bank/8725> (accessed on: 10.08.2023)
16. Rozhkova M. A. Aggregators, platforms, «owners of aggregators»: some comments on the Law on Aggregators. [Agregatory, platformy, «vladel'tsy agregatorov»: nekotorye kommentarii k Zakonu ob agregatorakh] URL: https://zakon.ru/blog/2018/8/13/agregatory_platformy_vladelcy_agregatorov_nekotorye_kommentarii_k_zakonu_ob_agregatorah (accessed on: 10.08.2023).
17. Zobnin V. L., Osminin A. T., Sotnikov E. A., Osminin M. A. Technological process of operation of the transportation control center of the Eastern polygon (MCC VP) // News Bulletin of VNIIZHT [Tekhnologicheskij protsess raboty tsentra upravleniya pervozokami vostochnogo poligona (TSUP VP) // Vestnik VNIIZHT]. – 2017. – Vol. 76. – № 3. Pp. 146–152. ISSN 2223-9731.
18. Order of JSC «Russian Railways» dated January 13, 2020 № 28/r «On approval of the Methodology of classification and specialization of railway lines of JSC «Russian Railways»». URL: <https://base.garant.ru/73573702> (accessed on: 10.08.2023).
19. Decree of the Government of the Russian Federation dated June 29, 2019 № 1393-R. «On the Management of JSC «Russian Railways» [Rasporyazhenie Pravitel'stva Rossijskoj Federatsii ot 29 iyunya 2019 g. №1393-r. «Ob upravlenii OAO «RZHD»]. URL: <https://rulaws.ru/government/Rasporyazhenie-Pravitelstva-RF-ot-29.06.2019-N-1393-r/?ysclid=llbw87191j454094622>, (accessed on: 10.08.2023)
20. Khodakivsky O., Khodakivskaya Y., Kuzmenkov O., Shcherbyna M., Kolesnichenko O. Improvement of the railway transport system by increasing the level of goal-oriented activity. Procedia Computer science. 2019. № 149. pp. 415–421.
21. Mishkurov P. N., Rakhmangulov A. N., Fridrikhson O. V. Methods of forming the transport network of a railway station // Herald of USURT [Metodika formirovaniya transportnoj seti zheleznodorozhnoj stantsii // Vestnik UrGUPS]. 2021. № 3 (51). Pp. 50–64. ISSN 2079-0392.
22. Sirina N. F., Rusin D. L. Implementation of methods of automated distribution of traction resources for maintenance of the infrastructure of a railway test site / Collection of scientific papers. «Transport: science, education, production». [Realizatsiya metodov avtomatizirovannogo raspredeleniya tyagovykh resursov na obsluzhivanie infrastruktury poligona zheleznykh dorog / Sbornik nauchnykh trudov «Transport: nauka, obrazovanie, proizvodstvo»] Vol. 3 : Technical and Economic Sciences / Rostov-on-Don, 2020. Pp. 200–204.
23. Sirina N. F., Rusin D. L. Model of adaptive regulation and management of traction resources with identification in the transportation process of a railway test site // Transport of the Urals [Model' adaptivnogo regulirovaniya i upravleniya tyagovymi resursami s identifikatsiej v perevochnom protsesse poligona zheleznykh dorog // Transport Urala], 2023. № 3 (78). Pp. 8–17. ISSN 1815-9400.
24. Tsyganov V. V., Basyrov S. K., Kovalev S. M. The mechanism of energy efficiency training in digital railway transport / Proceedings of the Eighth Scientific and Technical conference «Intelligent management systems in railway transport. Computer and mathematical modeling (ISUZHT-2018)» [Mekhanizm obucheniya ehnergoehffektivnosti na tsifrovom zheleznodorozhnom transporte / Trudy Vos'moj nauchno-tekhnicheskoy konferentsii «Intellektual'nye sistemy upravleniya na zheleznodorozhnom transporte. Komp'yuternoe i matematicheskoe modelirovanie (ISUZHT-2018)»], 21.11.2019, Moscow. – M. : JSC «NIAS», 2019. Pp. 203–207.

Статья сдана в редакцию 6 сентября 2023 года

УДК 621.316.99:621.331

П. В. Алексеева, К. В. Авдеева

Анализ факторов, влияющих на защитный потенциал металлического подземного сооружения, с учетом влияния движения электроподвижного состава по участку

UDC 621.316.99:621.331

P. V. Alekseeva, K. V. Avdeeva

Analyzing the factors affecting the protective potential of a metal underground construction, taking into account the impact of the motion of an electric rolling stock on a section

Аннотация

Проведен анализ факторов, влияющих на защитный потенциал металлического подземного сооружения при движении локомотива по участку. Приведено графическое представление факторов, воздействующих на величину защитного потенциала ДУ МПС. Сгруппированы факторы, влияющие на защитный потенциал МПС при движении по участку Западно-Сибирской железной дороги.

К первой группе факторов – параметрам локомотива отнесены ток, скорость, масса, тип локомотива,

состав поезда и координата локомотива. С помощью ПК КОРТЭС определены интервалы изменения параметров. Ко второй – параметрам пути отнесены удельное сопротивление верхнего строения пути (шпалы, балласт и земляное полотно) и тип рельсов. К третьей – сопротивление ЗУ МПС, глубина залегания МПС и расстояние от рельсов до МПС. К четвертой, параметрам ТП, отнесены координаты ТП и ДУ ТП, расстояние от рельсов до ЗУ ТП, сопротивление ДУ ТП, эквивалентное сопротивление ЗУ ТП. Также к влияющим на защитный

потенциал МПС факторам отнесено удельное сопротивление грунта. Результаты сведены в итоговую таблицу факторов, влияющих на защитный потенциал металлического подземного сооружения с учетом влияния движения электроподвижного состава по участку.

Ключевые слова: металлическое подземное сооружение, коррозия, дренажная установка, защитный потенциал, заземляющее устройство, тяговая подстанция, электрифицированный железнодорожный транспорт.

DOI: 10.20291/2079-0392-2023-3-36-45

Статья рекомендована к публикации А. А. Ковалевым, канд. техн. наук, Уральский государственный университет путей сообщения. E-mail: AKovalev@usurt.ru.

Ксения Васильевна Авдеева, канд. техн. наук, доцент, Омский государственный университет путей сообщения. Омск, Россия. E-mail: avdeeva_kv@mail.ru. ORCID 0000-0002-3207-1781.

Полина Владимировна Алексеева, аспирант, кафедра «Электроснабжение железнодорожного транспорта», Омский государственный университет путей сообщения. Омск, Россия. e-mail: alexeevka@mail.ru. ORCID 0009-0008-8421-1273.

© К. В. Авдеева, П. В. Алексеева, 2023.

This article is recommended for publishing by A. A. Kovalev, Candidate of Technical Sciences, Ural State University of Railway Transport. E-mail: AKovalev@usurt.ru.

Ksenia Vasilyevna Avdeeva, Candidate of Technical Sciences, Associate Professor, Omsk State Transport University. Omsk, Russia. E-mail: avdeeva_kv@mail.ru. ORCID 0000-0002-3207-1781.

Polina Vladimirovna Alekseeva, post-graduate student, "Power Supply of Railway Transport" Department, Omsk State Transport University, Omsk, Russia. e-mail: alexeevka@mail.ru. ORCID 0009-0008-8421-1273.

© K. V. Avdeeva, P. V. Alekseeva, 2023.

Abstract

The analysis of the factors affecting the protective potential of a metal underground construction during the motion of the locomotive on the section is carried out. A graphical representation of the factors affecting the magnitude of the protective potential of the DF (drainage facility) of a MUC is given. The factors influencing the protective potential of the MUC when driving along the section of the West Siberian Railway are grouped.

The first group of factors – the locomotive parameters – includes current, speed, mass, locomotive type, train

formation and locomotive coordinate. By means of KORTES PC, the intervals of parameter changes are determined. The second is the track parameters, comprises the resistivity of the upper structure of a track (sleepers, ballast and roadbed) and the rail type. The third one is the resistance of the GA (grounding arrangement) of a MUC, the bedding depth of a MUC and the distance from the rails to the MUC. The fourth – the TS (traction substation) parameters include the coordinates of a TS and the DF of a TS, the distance from the rails to the GD of a TS, the resistance of

the DF of a TS, the equivalent resistance of the GD of a TS. Also, the specific resistance of soil is attributed to the factors affecting the protective potential of a MUC. The results are summarized in a final chart of factors affecting the protective potential of a metal underground structure, taking into account the motion effect of an electric rolling stock on the section.

Keywords: metal underground construction, corrosion, drainage facility, protective potential, grounding device, traction substation, electrified railway transport.

DOI: 10.20291/2079-0392-2023-3-36-45

Электрохимический процесс разрушения поверхности металла при протекании внешнего постоянного тока из металла в электролит называется электрической коррозией. На железных дорогах электролитом выступает грунт. Из-за переходного сопротивления между подземными сооружениями, грунтом, а также оборудованием самой железной дороги образуется коррозия. Электрическая коррозия – еще и следствие работы рельсовой сети из-за совмещения функции обратного провода с рабочим и заземляющим устройством [1]. Уровни поддержания защитного потенциала металлических подземных сооружений (МПС) для их защиты от коррозии регламентированы в [2]. Для изолированных сооружений значение потенциала МПС должно находиться в интервале от $-0,85$ до $-2,5$ В, а для неизолированных сооружений – от $-0,85$ до $-3,5$ В [2]. Недозащита приводит к коррозионным разрушениям МПС, а избыточная защита вызывает наводораживание металла (появление трещин на поверхности МПС и его разрушение) [3].

Неточное определение сопротивления дренажных установок (ДУ), подключенных к МПС, становится причиной

недостаточной или избыточной защиты МПС.

На величину защитного потенциала МПС влияют удельное сопротивление грунта, тип рельсов, удельное сопротивление верхнего строения пути, координата, ток и скорость локомотива, координата тяговой подстанции, расстояние от рельсов до заземляющего устройства (ЗУ) тяговой подстанции (ТП), эквивалентное сопротивление ЗУ ТП, сопротивление ДУ ТП, глубина залегания МПС, расстояние от рельсов до МПС, координата установки ДУ ТП, сопротивление ДУ МПС [4]. Во время движения локомотива эти параметры не всегда остаются постоянной величиной. Факторы, влияющие на величину защитного потенциала ДУ МПС, представлены на рис. 1.

Для определения интервалов изменения тока локомотива и его скорости использовался программный комплекс расчетов тягового электроснабжения ПК КОРТЭС. С помощью встроенного редактора параметров участка выбирается направление (нечетное) от станции, задается число главных путей, описывается профиль пути (длина, уклоны, радиусы кривых), задаются категории и типы поездов ограничения по скорости.



Рис. 3. Зависимость тока локомотива от координаты

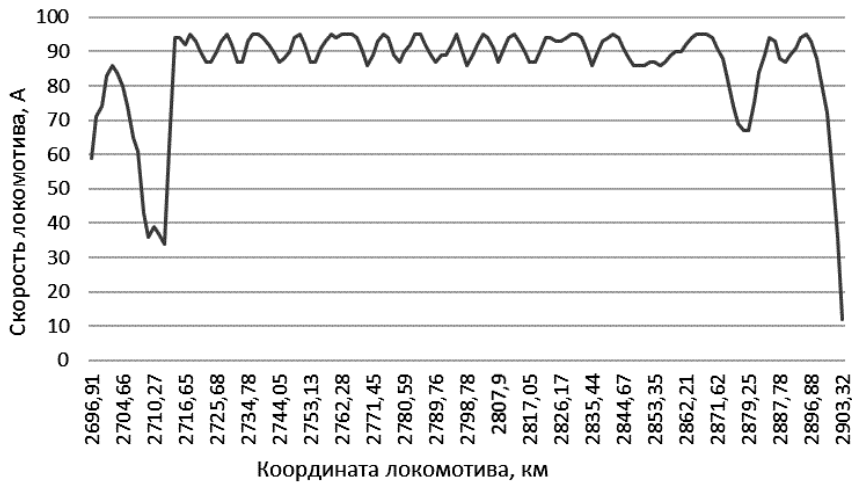


Рис. 4. Зависимость скорости локомотива от координаты

Отдельные графики зависимости тока и скорости локомотива от координаты на участке Входная – Кабаклы представлены на рис. 3, 4.

При заданных условиях ток локомотива изменяется от 42 до 2592 А, а скорость локомотива – от 12 до 95 км/ч.

Во время движения локомотива по участку изменяется ток локомотива, который влияет на защитный потенциал МПС.

Поперечный профиль верхнего строения пути однопутной железной дороги представлен на рис. 5 [5].

На распределение потенциала в тяговой рельсовой сети сильнее всего влияет сопротивление шпал и земли (рис. 6).

На протяженном участке железной дороги вероятность колебаний удельного сопротивления верхнего строения пути минимальна, приводит к погрешности, не влияющей на результат при расчетах защитного потенциала МПС [5].

В зависимости от типа рельсов сопротивление 1 км железнодорожного пути может принимать разные значения (таблица 1) [6].

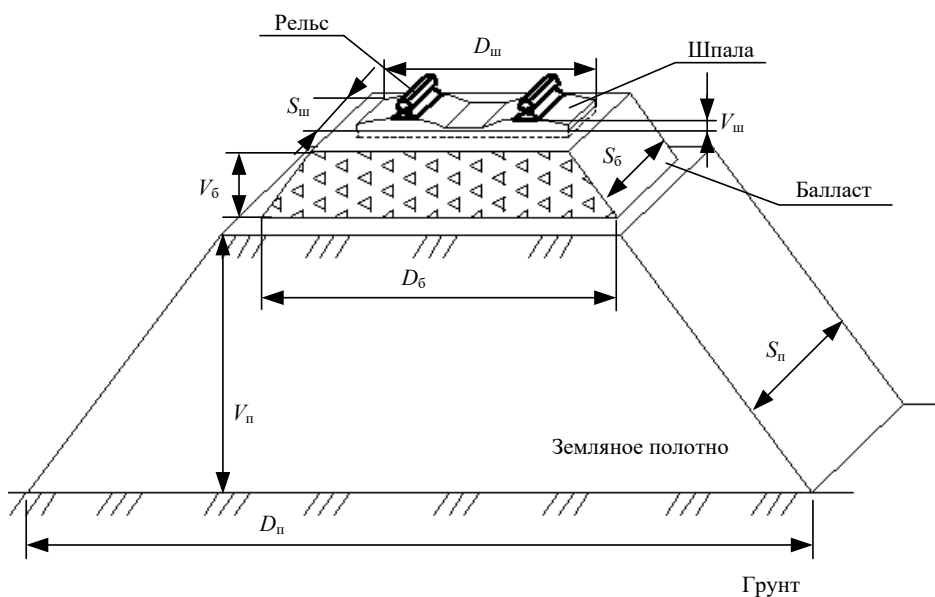


Рис. 5. Поперечный профиль верхнего строения пути для однопутной железной дороги
 $D_б, D_ш, D_п$ – длина балласта, шпал, земляного полотна; $S_б, S_ш, S_п$ – ширина; $V_б, V_ш, V_п$ – высота

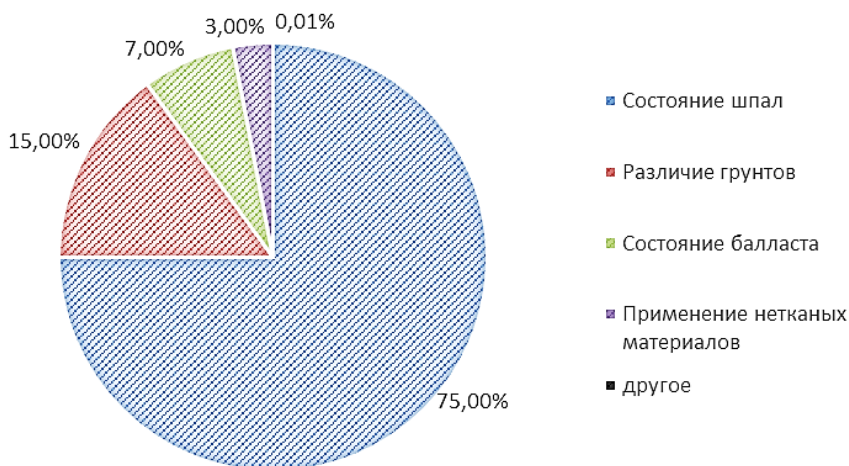


Рис. 6. Визуализация влияния параметров пути на потенциал ЗУ МПС

Таблица 1
 Значения сопротивления 1 км железнодорожного пути в зависимости от типа рельсов

Тип рельсов	Сопротивление 1 км ж.-д. пути, Ом/м
P43	11,2
P50	9,7
P65	7,7
P75	6,5

Параметры ТП

1. Координаты ТП и ДУ ТП

Среднее расстояние между ТП на участках железных дорог с системой постоянного тока составляет 20 км, а на особо грузонапряженных участках 15–18 км [7]. Однако реальное расположение ТП определяется месторасположением, которое в каждом случае уникально. Например, расстояние между ТП на ст. Входная и ТП на ст. Фадино составляет 17 км, а расстояние между ТП на ст. Алонский и ТП на ст. Входная – 10 км. Также координата установки ДУ ТП определяется конструкцией ЗУ (конкретно для каждой дислокации).

2. Расстояние от рельсов до ЗУ ТП

ЗУ ТП удаляется в сторону от путей на расстояние не менее 20 м [8]. Максимальное удаление ЗУ ТП от рельсов не ограничено (но обычно не превышает 60 м).

3. Сопротивление ДУ ТП

Значения сопротивления ДУ ТП обусловлено реальными параметрами ТП и ДУ; варьируются от 0 до 2 Ом [9].

4. Эквивалентное сопротивление ЗУ ТП

Сопротивление заземления внешнего контура тяговых подстанций постоянного тока не должно превышать 0,5 Ом, включая сопротивление естественных заземлителей [10]. Нижняя граница – 0 Ом.

Авторами проведены измерения сопротивлений ЗУ ТП в районе ст. Входная с помощью метода вольтметра-амперметра (рис. 7).

Проведем статистический анализ значений сопротивлений ЗУ ТП на участке Западно-Сибирской железной дороги. Измеренные данные 84 значений сопротивлений ЗУ ТП разделены на пять диапазонов по 0,1 Ом. Просуммирована частота вхождения в соответствующий диапазон и определена вероятность вхождения в него. Проверена правильность деления и определения вероятности попадания для сопротивления ЗУ в каждый диапазон (таблица 2).

На основании таблицы 2 построена гистограмма зависимости интервала

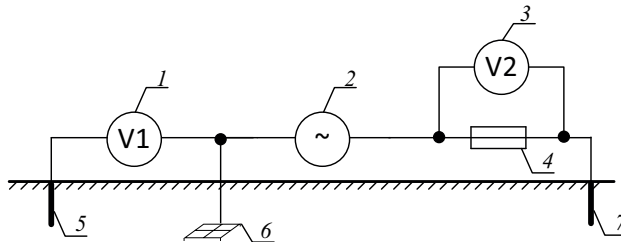


Рис. 7. Схема измерения ЗУ ТП с помощью метода вольтметра-амперметра
1, 3 – вольтметры 1, 2; 2 – источник переменного тока; 4 – шунтирующее сопротивление; 5 – потенциальный электрод; 6 – ЗУ ТП; 7 – токовый электрод

Таблица 2

Количество попаданий и вероятность попадания сопротивления ЗУ в диапазон в диапазон

Значения ЗУ, Ом	Попадания, кол-во	Вероятность попадания сопротивления ЗУ в диапазон
0–0,1	1	0,012
0,1–0,2	46	0,548
0,2–0,3	25	0,298
0,3–0,4	11	0,131
0,4–0,5	1	0,012
Проверка	84	1,000

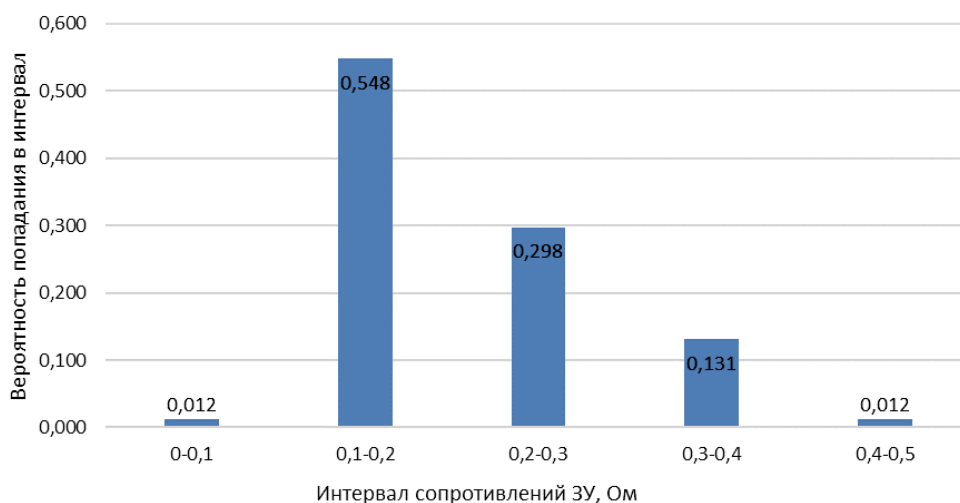


Рис. 8. Зависимость интервала сопротивлений ЗУ, Ом, от вероятности попадания ЗУ ТП в интервал

сопротивлений ЗУ, Ом от вероятности попадания ЗУ ТП в интервал (рис. 8).

Таким образом, вероятность того, что на участке железной дороги Входная – Кабаклы сопротивление ЗУ ТП примет значение 0,2 Ом, составляет 0,548.

Параметры МПС

1. Глубина залегания МПС

Минимальная глубина заложения труб в земле, считая от низа дорожного покрытия до верха полиэтиленовой оболочки трубы, – не менее 0,5 м вне пределов проезжей части и 0,6 м – в пределах проезжей части, считая до верха изоляции. Максимальная глубина – 2 м [11].

2. Сопротивление ДУ МПС

Определено оптимальное значение ДУ МПС – 0,2 Ом, при котором потенциал МПС находится в зоне защиты при на протяжении всего участка пути ДУ МПС.

3. Расстояние от рельсов до МПС

Расстояния от оси трубопроводов до тяговой рельсовой сети определены в [12]. При диаметре трубопровода менее 0,5 м минимальное расстояние от оси трубопровода до железной дороги составляет 50 м, а минимальное

расстояние в свету между двумя нитками трубопроводов – 15 м.

Удельное сопротивление грунта влияет на сопротивление ЗУ, ДУ и потенциал МПС; зависит от состава и структуры грунта, присутствия примесей, влажности, плотности, температуры и др. [13]. Эти параметры изменяются в течение года, следовательно, меняется и сопротивление грунта. Удельное сопротивление грунта не всегда остается величиной постоянной в пределах одного участка железной дороги.

Для участка Западно-Сибирской железной дороги (Входная – Кабаклы) определены типы грунта, расположенного в данной местности, и значения удельного сопротивления для каждого типа грунта (таблица 3).

Данные анализа влияния факторов на защитный потенциал МПС во время движения локомотива по участку представлены в таблице 4.

Рассмотрены и визуализированы факторы, влияющие на величину защитного потенциала ДУ МПС при движении электроподвижного состава по участку. Для выбранного участка железной дороги определены и сведены в результирующую таблицу интервалы изменения факторов. Проведенный анализ позволит достовернее

Таблица 3

Типы грунта на участке Западно-Сибирской железной дороги
от ст. Входная до ст. Кабаклы

Тип грунта	Удельное сопротивление, Ом · м
Чернозем глинисто-иллювиальный	60
Чернозем миграционно-мицелярный	58
Чернозем миграционно-сегрегационный	57
Чернозем солонцеватый	59
Чернозем криптоглееватый	56
Солонец	20

Таблица 4

Результирующая таблица влияния факторов на защитный потенциал металлического подземного сооружения при движении локомотива по участку

Влияющий на потенциал МПС фактор, ед.	Нижняя граница	Верхняя граница
Ток локомотива, А	42	2592
Скорость локомотива, км/ч	12	95
Тип рельсов, Ом/м	11,2	6,5
Расстояние от рельсов до ЗУ ТП, м	20	60
Сопротивление ДУ ТП, Ом	0	2
Эквивалентное сопротивление ЗУ ТП, Ом	0	0,5
Глубина залегания МПС, м	0,6	2
Сопротивление ДУ МПС, Ом	0,2	0,2
Расстояние от рельсов до МПС, м	15	50
Удельное сопротивление грунта, Ом · м	20	60

определять потенциал МПС и точнее управлять ими в режиме реального времени. По результатам исследования факторов, влияющих на величину защитного потенциала ДУ МПС при

движении электроподвижного состава по участку, планируется создание алгоритма управления автоматическими дренажными установками в режиме реального времени. ■

Литература

1. Лесников Д. В. Совершенствование тяговых сетей постоянного тока с помощью протяженных заземляющих устройств железобетонных опор контактной сети : автореф. ... дисс. на соиск. уч. ст. канд. техн. наук / Д. В. Лесников. – Екатеринбург : УрГУПС. – 2018. – 20 с.
2. ГОСТ 9.602–2016. Единая система защиты от коррозии и старения. Сооружения подземные. Общие требования к защите от коррозии. М., 2016. 87 с.
3. Уткина А. В. Повышение эффективности эксплуатации устройств электроснабжения тяговой сети постоянного тока за счет совершенствования системы защиты от коррозии : автореф. ... дисс. на соиск. уч. ст. канд. техн. наук / А. В. Уткина. – Омск : ОмГУПС. – 2019. – 31 с.
4. Стрижевский, И. В., Белоголовский А. Д., Дмитриев В. И. Защита подземных металлических сооружений от коррозии : справочник. – М. : Стройиздат, 1990. 303 с. ISBN-5-274-1161-6.
5. Медведева А. А. Совершенствование метода и технических средств защиты от коррозии блуждающими токами заземляющих устройств тяговых подстанций : автореф. дисс. ... на соиск. уч. ст. канд. техн. наук / А. А. Медведева. – Омск : ОмГУПС. – 2019. – 19 с.

6. ГОСТ 24182–80. Рельсы железнодорожные широкой колеи типов Р75, Р65, Р50. М., 1980. 80 с.
7. Марквардт К. Г. Электроснабжение электрифицированных железных дорог. М. : Транспорт, 1982. 528 с. ISBN 978-5-458-38699-9.
8. ЦЭ-191. Инструкция по заземлению устройств электроснабжения на электрифицированных железных дорогах. М., 1963. 69 с.
9. Кандаев В., Авдеева К., Уткина А. Определение оптимального значения добавочного сопротивления дренажной установки тяговой подстанции постоянного тока // Известия Транссиба. 2016. № 3 (27). С. 83–91. ISSN 2220-4245.
10. ПУЭ: правила устройства электроустановок. М., 2000. 487 с.
11. СП 315.1325800.2017. Правила проектирования тепловых сетей бесканальной прокладки. М., 2017. 125 с.
12. СП 36.13330.2012. Магистральные трубопроводы. М., 2013. 97 с.
13. Коструба С. И. Измерение электрических параметров земли и заземляющих устройств. М. : Энергоатомиздат, 1983. 168 с.

References

1. Lesnikov D. V. Improving DC traction networks by means of extended grounding devices of reinforced concrete supports of a contact network : : autoref. ... diss. for the Candidate of Technical Sciences Academic Degree/ D. V. Lesnikov. – Yekaterinburg : USURT. – 2018. – 20 p.
2. GOST (State Union Standard) 9.602–2016. A unified system for corrosion and aging protection. Underground constructions. General requirements for corrosion protection. М., 2016. 87 p.
3. Utkina A. V. Increasing the efficiency of DC traction network operation of power supply devices by improving the corrosion protection system : abstract. ... diss. for the Candidate of Technical Sciences Academic Degree / A.V. Utkina. – Omsk : OmSTU. – 2019. – 31 p. [Povyshenie ehffektivnosti ehkspluatatsii ustrojstv ehlektrosnabzheniya tyagovoj seti postoyannogo toka za schet sovershenstvovaniya sistemy zashhity ot korrozii : avtoref. ... diss. na soisk. uch. st. kand. tekhn. nauk / A. V. Utkina. – Omsk : OmGUPS. – 2019. – 31 s.]
4. Strizhevsky, I. V., Belogolovsky A. D., Dmitriev V. I. Corrosion protection of underground metal constructions: handbook. – М. : Strojizdat, 1990. 303 p. ISBN-5-274-1161-6.
5. Medvedeva A. A. Improving the method and technical means of corrosion protection by stray currents of grounding devices of traction substations : abstract. diss. ... for the Candidate of Technical Sciences Academic Degree / A. A. Medvedeva. – Omsk : OmSTU. – 2019. – 19 p. [Zashhita podzemnykh metallicheskih sooruzhenij ot korrozii : spravochnik. – М. : Strojizdat, 1990. 303 s. ISBN-5-274-1161-6.]
6. GOST (State Union Standard) 24182-80. Broad gauge railway rails of types P75, P65, P50. М., 1980. 80 pp. [GOST 24182–80. Rel'sy zheleznodorozhnye shirokoj kolei tipov R75, R65, R50. М., 1980. 80 s.]
7. Marquardt K. G. Electric power supply of electrified railways. Moscow: Transport, 1982. 528 p. ISBN 978-5-458-38699-9. [EHlektrosnabzhenie ehlektrifitsirovannykh zheleznykh dorog. М. : Transport, 1982. 528 s. ISBN 978-5-458-38699-9.]
8. CE-191. Guidelines on grounding of power supply devices for electrified railways. М., 1963. 69 p. [TSEh-191. Instruktsiya po zazemleniyu ustrojstv ehlektrosnabzheniya na ehlektrifitsirovannykh zheleznykh dorogakh. М., 1963. 69 s.]
9. Kandaev V., Avdeeva K., Utkina A. Determining the optimal value of the additional resistance of a drainage facility of a DC traction substation // Transsib. Proceedings 2016. No. 3 (27). pp. 83–91. ISSN 2220-4245. [Opredelenie optimal'nogo znacheniya dobavochnogo soprotivleniya drenazhnoj ustanovki tyagovoj podstantsii postoyannogo toka // Izvestiya Transsiba. 2016. № 3 (27). S. 83–91. ISSN 2220-4245.]
10. GREID: general rules of electrical installation design. М., 2000. 487 p. [PUEH: pravila ustrojstva ehlektroustanovok. М., 2000. 487 s.]
11. CS (Code Specification) 315.1325800.2017. General rules for the thermal network design of channel-free laying. М., 2017. 125 p. [SP 315.1325800.2017. [Pravila proektirovaniya teplovykh setej beskanal'noj prokladki. М., 2017. 125 s.]
12. CS (Code Specification) 36.13330.2012. Main pipelines. М., 2013. 97 p. [SP 36.13330.2012. Magistral'nye truboprovody. М., 2013. 97 s.]

13. Kostruba S. I. Measurement of the Earth electrical parameters and grounding devices. М. : Energoatomizdat, 1983. 168 p. [Izmerenie ehlektricheskikh parametrov zemli i zazemlyayushhikh ustrojstv. М. : Ehnergoatomizdat, 1983. 168 s.]

Статья сдана в редакцию 25 апреля 2023 года

Д. В. Ольховатов, А. В. Шевкунова

Разработка энергоэффективного асинхронного электропривода мотор-вентилятора электровоза

D. V. Olkhovатов, A. V. Shevkunova

Development of the energy-efficient asynchronous electric drive of a locomotive blower motor

Аннотация

Для системы вентиляции тягового электропривода электровоза переменного тока разработан асинхронный электропривод, обладающий высокими технико-экономическими показателями.

По составленной системе уравнений работы асинхронного двигателя во вращающейся системе координат построены компьютерная модель в пакете программ SimInTech и модель прямого пуска, получены графики переходных процессов по скорости току в двух режимах.

Предложено производить пуск и регулирование частоты вращения асинхронного электродвигателя с помощью частотного преобразователя и систем регулирования с обратной связью по скорости. Такое техническое решение позволит ограничить пусковые токи в пределах двух номинальных значений. К тому же, формирование задания скорости электропривода мотор-вентилятора исходя из текущей температуры тяговых электродвигателей позволит снизить потребляемую электроприводом энергию и уровень шума в кабине машиниста.

Для решения поставленных в работе задач использованы системный подход, метод физического моделирования, положения теоретической электротехники, численное моделирование на ПЭВМ с использованием программного комплекса SimInTech.

Ключевые слова: электровоз, система охлаждения, мотор-вентилятор, асинхронный электропривод, система управления, переходной процесс, возмущающее воздействие, прямой пуск.

DOI: 10.20291/2079-0392-2023-3-46-55

Abstract

For the ventilation system of a traction electric drive of an alternating current electric locomotive, the asynchronous electric drive with high technical and economic indicators has been developed.

According to the compiled system of equations for the operation of the asynchronous motor in the rotating coordinate system, a computer model in the SimInTech software package and direct start model are constructed, graphs of transients in current velocity in two modes are obtained.

It is proposed to start and regulate the rotational speed of the asynchronous electric motor using a frequency converter and speed feedback control systems. Such a technical solution enables limiting the starting currents within two nominal values. In addition, setting the speed of an electric drive blower motor based on the current temperature of traction engines will reduce the energy consumed by the electric drive and the noise level in a locomotive crew compartment.

For solving the tasks assigned in this research paper, the systematic approach, method of physical modeling, provisions of theoretical electrical engineering, numerical modeling on a PC using the SimInTech software package were used.

Keywords: electric locomotive, cooling system, blower motor, asynchronous electric drive, control system, transient process, disturbing effect, direct start.

DOI: 10.20291/2079-0392-2023-3-46-55

Статья рекомендована к публикации И. С. Цихалевским, канд. техн. наук, доцентом. Уральский государственный университет путей сообщения. E-mail: ITsihalovsky@usurt.ru.

Дмитрий Викторович Ольховатов, канд. техн. наук, доцент; кафедра «Тяговый подвижной состав» Ростовского государственного университета путей сообщения; Ростов-на-Дону, Россия. E-mail: dm@olkh.ru. ORCID 0000-0003-3723-5375.

Анастасия Владимировна Шевкунова, канд. техн. наук, доцент; кафедра «Тяговый подвижной состав» Ростовского государственного университета путей сообщения; Ростов-на-Дону, Россия. E-mail: nastya3051990@mail.ru. ORCID 0000-0002-5508-8367.

© Д. В. Ольховатов, А. В. Шевкунова, 2023.

The article is recommended for publishing by I. S. Tsikhalevsky, Candidate of Technical Sciences, Associate Professor. Ural State University of Railway Transport. E-mail: ITsihalovsky@usurt.ru.

Dmitry Viktorovich Olkhovатов, Candidate of Technical Sciences, Associate Professor; «Traction Rolling Stock» Department of Rostov State Transport University; Rostov-on-Don, Russia. E-mail: dm@olkh.ru. ORCID 0000-0003-3723-5375.

Anastasia Vladimirovna Shevkunova, Candidate of Technical Sciences, Associate Professor; «Traction Rolling Stock» Department of Rostov State Transport University; Rostov-on-Don, Russia. E-mail: nastya3051990@mail.ru. ORCID 0000-0002-5508-8367.

© D. V. Olkhovатов, A. V. Shevkunova, 2023.

Власти железнодорожного транспорта электрические машины асинхронного типа применяются в качестве тяговых электродвигателей (ТЭД), генераторов и в составе привода вспомогательных систем. Нами исследован грузовой электровоз переменного тока серии «Ермак». Важную роль в надежности работы тягового оборудования локомотивов играет стабильность работы их вентилирующих систем.

Полное аэродинамическое сопротивление системы вентиляции тяговых двигателей [1] рассчитано по [2], что позволило получить расчетную мощность электрической машины, необходимую для ее работы в качестве электропривода мотор-вентилятора (рис. 1).

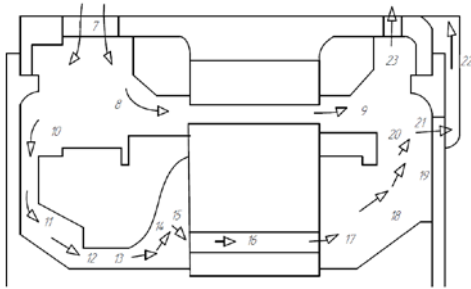


Рис. 1. Вентиляционная система ТЭД

Расчетная мощность составила 47 кВт. Был выбран асинхронный электродвигатель (АД) АИР 225 М4 мощностью 55 кВт. Далее двигатель проверен по пусковой и перегрузочной способности.

Суть проверки электродвигателя по перегрузочной способности состоит в сопоставлении максимального значения момента вентилятора и максимального значения момента двигателя, работающего при напряжении ниже номинального.

Значение номинального вращающего момента АД при номинальном напряжении питающей сети равно

$$M_n = 9,55 \cdot \frac{P_{ном}}{\eta_{дв}} = 9,55 \cdot \frac{5500}{1440} = 365 \text{ Н} \cdot \text{м},$$

где $P_{ном}$ – номинальная мощность АД, Н; $\eta_{дв}$ – скорость вращения ротора, об/мин.

Значение вращающего момента АД при пониженном напряжении ($U = 19 \text{ кВ}$):

$$M = M_n \cdot U_*^2 = 365 \cdot \left(\frac{19}{25}\right)^2 = 210 \text{ Н} \cdot \text{м},$$

где M_n – вращающий момент АД при номинальном значении напряжении, Н · м; M – вращающий момент АД при значении напряжении, отличном от номинального (при той же частоте вращения ротора), Н · м; U_* – относительная величина падения напряжения в контактной сети ($U_* = 0,76$).

Максимальное значение момента вентилятора:

$$M_c = 160,6 \text{ Н} \cdot \text{м}.$$

Максимальное значение вращающего момента двигателя при перегрузке

$$\begin{aligned} M_{майд} &= M \cdot \mu_k = 210,8 \cdot 4,8 = \\ &= 1011,8 \text{ Н} \cdot \text{м}, \end{aligned}$$

где μ_k – кратность максимального момента (перегрузочная способность двигателя).

Сравнивая $M_{майд} > M_c$ ($1011,8 > 160,6$), можно резюмировать, что рассчитанный АД имеет достаточно большой резерв по перегрузочной способности, что говорит о стабильной работе АД во всем диапазоне нагрузочной характеристики.

Необходимо произвести проверку АД по условиям пуска при значении напряжения ниже напряжения сети.

$$M_{дпуск} > M_{майдпуск},$$

где $M_{дпуск}$ – пусковой момент двигателя, Н · м; $M_{майдпуск}$ – пусковой момент вентилятора в момент пуска, Н · м.

$$\begin{aligned} M_{дпуск} &= M \cdot \mu_p = 210,8 \cdot 4,6 = \\ &= 969,2 \text{ Н} \cdot \text{м}; \end{aligned}$$

$$\begin{aligned} M_{майдпуск} &= 2 \cdot M_c = 2 \cdot 160,6 = \\ &= 321,2 \text{ Н} \cdot \text{м}. \end{aligned}$$

Таким образом, получаем $969,7 \text{ Н} \cdot \text{м} \geq 321,2 \text{ Н} \cdot \text{м}$. Двигатель имеет запас мощности по пуску $K_{п} = 3$, что позволяет

запустить вентилятор при нормальных и критических условиях. Выбранный двигатель удовлетворяет предъявляемым требованиям.

Рассмотрим вывод математической модели для трехфазного асинхронного двигателя. В общем случае этот двигатель содержит трехфазные обмотки, размещенные на роторе и статоре (рис. 2) [3]. При аналитическом описании используются соответствующие допущения [4].

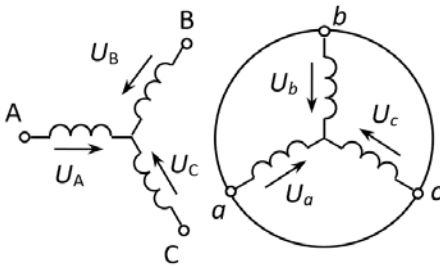


Рис. 2. Упрощенная схема АД

Модель асинхронного двигателя на основе обобщенной электрической машины

При записи векторных уравнений модели АД считаем, что угловая частота вращения АД будет определяться по частоте сети ω_1 , а частота $\omega_2 = \omega_1 - \omega$ и что ортогональная система координат ориентирована по вектору напряжения статора. С учетом сказанного запишем векторное уравнение Кирхгофа для цепей статора и ротора во вращающейся системе координат:

$$\begin{aligned} \bar{U}_1 &= \bar{i}_1 R_1 + \frac{d\bar{\Psi}_1}{dt} + j\omega_1 \bar{\Psi}_1, \\ \bar{U}_2 &= \bar{i}_2 R_2 + \frac{d\bar{\Psi}_2}{dt} + j(\omega_1 - \omega) \bar{\Psi}_2 = \\ &= \bar{i}_2 R_2 + \frac{d\bar{\Psi}_2}{dt} + j\omega_2 \bar{\Psi}_2. \end{aligned} \quad (1)$$

Дополним записанные уравнения уравнения потокосцеплений статора и ротора:

$$\left. \begin{aligned} \bar{\Psi}_1 &= L_1 \bar{i}_1 + L_m \bar{i}_2, \\ \bar{\Psi}_2 &= L_m \bar{i}_1 + L_2 \bar{i}_2. \end{aligned} \right\} \quad (2)$$

Для нахождения модульного значения электромагнитного момента АД воспользуемся векторами потокосцепления ротора $\bar{\Psi}_2$ и тока статора \bar{i}_1 .

Воспользуемся вышеприведенными уравнениями для исключения из системы уравнений потокосцепление статора $\bar{\Psi}_1$ и тока ротора \bar{i}_2 . Найдем выражение для тока \bar{i}_2 : $\bar{i}_2 = \frac{1}{L_2} \bar{\Psi}_2 - \frac{L_m}{L_2} \bar{i}_1$ и под-

ставим его в формулу для $\bar{\Psi}_1$, найдем

$$\begin{aligned} \bar{\Psi}_1 &= L_1 \bar{i}_1 + \frac{L_m}{L_2} \bar{\Psi}_2 - \frac{L_m^2}{L_2} \bar{i}_1 = \\ &= \bar{i}_1 \left(L_1 - \frac{L_m^2}{L_2} \right) + \frac{L_m}{L_2} \bar{\Psi}_2. \end{aligned}$$

Обозначим $L_1' = L_1 - \frac{L_m^2}{L_2}$, $k_2 = \frac{L_m}{L_2}$

и подставим в уравнение Кирхгофа цепи, преобразовав его по Лапласу:

$$\begin{aligned} \bar{U}_1 &= \bar{i}_1 R_1 + (p + j\omega_1) (\bar{i}_1 L_1' + k_2 \bar{\Psi}_2) = \\ &= (p + j\omega_1) k_2 \bar{\Psi}_2 + \bar{i}_1 (R_1 + pL_1' + j\omega_1 L_1'). \end{aligned}$$

Выполним подстановку выражений для $\bar{\Psi}_2$ и \bar{i}_1 в уравнения Кирхгофа для цепи ротора, полагая $\bar{U}_2 = 0$ (так как рассматриваем АД с короткозамкнутым ротором). В результате подстановки получим:

$$\begin{aligned} 0 &= \frac{R_2}{L_2} \bar{\Psi}_2 - R_2 \frac{L_m}{L_2} \bar{i}_1 + (p + j\omega_2) \bar{\Psi}_2 = \\ &= \left(\frac{1}{T_2} + p + j\omega_2 \right) \bar{\Psi}_2 - R_2 k_2 \bar{i}_1, \end{aligned}$$

где $T_2 = \frac{L_2}{R_2}$ – электромагнитная постоянная времени ротора.

В результате предварительных преобразований система уравнений оказалась приведенной к следующему виду:

$$\left. \begin{aligned} \bar{U}_1 &= (p + j\omega_1) k_2 \bar{\Psi}_2 + \bar{i}_1 (R_1 + pL_1' + j\omega_1 L_1'), \\ 0 &= \left(\frac{1}{T_2} + p + j\omega_2 \right) \bar{\Psi}_2 - R_2 k_2 \bar{i}_1. \end{aligned} \right\} \quad (3)$$

Для понижения порядка уравнения модели вычтем в системе уравнений (3) из первого уравнения второе, предварительно умножив его на k_2 .

$$\bar{U}_1 = \left[-\frac{1}{T_2} + j(\omega_1 - \omega_2) \right] k_2 \bar{\Psi}_2 + \bar{i}_1 (R_1 + pL'_1 + j\omega_1 L'_1 + R_2 k_2^2).$$

С учетом того, что $\omega_1 - \omega_2 = \omega$ и, обозначив $R'' = k_2^2 R_2 + R_1$, окончательно получим уравнение статора:

$$\begin{aligned} \bar{U}_1 &= \left(j\omega - \frac{1}{T_2} \right) k_2 \bar{\Psi}_2 + \\ &+ \bar{i}_1 (R'' + pL'_1 + j\omega L'_1) = \\ &= \left(j\omega - \frac{1}{T_2} \right) k_2 \bar{\Psi}_2 + \bar{i}_1 R'' (1 + pT'') + \\ &+ \bar{i}_1 j\omega L'_1 = \left(j\omega - \frac{1}{T_2} \right) k_2 \bar{\Psi}_2 + \\ &+ \bar{i}_1 [R'' (1 + pT'') + j\omega L'_1], \end{aligned} \quad (4)$$

где $T'' = \frac{L'_1}{R''}$ – электромагнитная постоянная времени.

В выражении (4) произведем деление векторов на вещественные и мнимые составляющие и выделим проекции тока статора. Условимся ориентировать вращающуюся систему координат так, чтобы $U_{1y} = 0$. Тогда

$$\left. \begin{aligned} U_{1x} &= \left(j\omega - \frac{1}{T_2} \right) k_2 (\Psi_{2x} + j\Psi_{2y}) + \\ &+ (i_{1x} + ji_{1y}) [R'' (1 + pT'') + j\omega L'_1], \\ i_{1x} &= \frac{1}{R'' (1 + pT'')} \times \\ &\times \left(U_{1x} + \frac{k_2}{T_2} \Psi_{2x} + \omega k_2 \Psi_{2y} + \omega_1 L'_1 i_{1y} \right), \\ i_{1y} &= \frac{1}{R'' (1 + pT'')} \times \\ &\times \left(\frac{k_2}{T_2} \Psi_{2y} + \omega k_2 \Psi_{2x} + \omega_1 L'_1 i_{1x} \right). \end{aligned} \right\} (5)$$

Представленные уравнения позволяют сформировать структурную схему преобразования напряжения U_{1x} и частоты ω_1 статора в фазные токи статора i_{1x} и i_{1y} обобщенной модели АД при известных значениях потокосцепления ротора Ψ_{2x} , Ψ_{2y} и его частоте вращения ω .

Через ток статора АД можно получить потокосцепление ротора посредством уравнения цепи ротора:

$$\bar{\Psi}_2 \left(\frac{1}{T_2} + p + j\omega_2 \right) = R_2 k_2 \bar{i}_1.$$

Результат деления вещественной и мнимой составляющих:

$$\left. \begin{aligned} \Psi_{2x} &= \frac{T_2}{1 + pT_2} (i_{1x} k_2 R_2 + \omega_2 \Psi_{2y}), \\ \Psi_{2y} &= \frac{T_2}{1 + pT_2} (i_{1y} k_2 R_2 + \omega_2 \Psi_{2x}). \end{aligned} \right\} (6)$$

Система уравнений (6) позволяет построить структурную схему обобщенного АД для преобразования тока статора i_{1x} и i_{1y} при известной частоте $\omega_2 = \omega_1 - \omega$ в потокосцеплении ротора Ψ_{2x} и Ψ_{2y} .

Дополняя системы уравнений (4) и (6) уравнением электромагнитного момента

$$M = \frac{3}{2} p_{\text{п}} k_2 (\Psi_{2x} i_{1y} - \Psi_{2y} i_{1x})$$

и уравнением движения одномассовой механической части АД $M - M_c = J \frac{d\omega}{dt}$,

где M_c – момент сопротивления, приведенный к валу двигателя, J – момент инерции, приведенный к валу двигателя, можно построить полную структурную схему обобщенной модели АД.

На рис. 3 изображена векторная модель асинхронного электродвигателя АНЭ255L4УХЛ2, построенная в пакете программ SimInTech [5–7].

Технические характеристики асинхронного электродвигателя АНЭ255L4УХЛ2

Номинальная мощность $P_{\text{н}}$, кВт – 55
Номинальное напряжение $\underline{U}_{\text{н}}$, В – 380
Номинальный ток статора $I_{\text{н}}$, А – 160

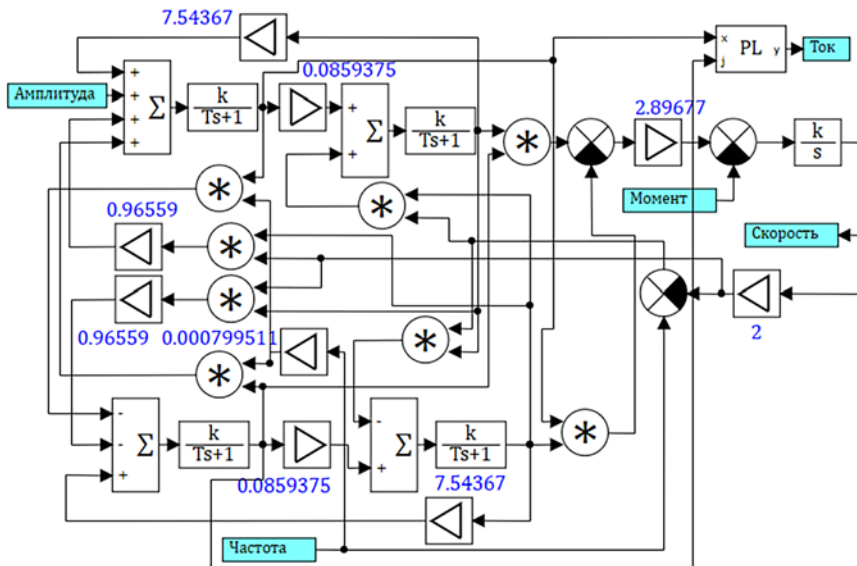


Рис. 3. Модель АД во вращающийся системе координат

Номинальная скорость n_n , об/мин – 1440
 Момент инерции J_n , кг · м² – 3,5
 Коэффициент мощности $\cos \varphi_n$ – 0,817
 Номинальный КПД η_n – 0,88
 Число пар полюсов p_n – 2

Параметры схемы замещения
 двигателя

Индуктивность рассеяния обмотки статора $L_{1\sigma}$, Гн – 0,000421
 Приведенная индуктивность рассеяния обмотки ротора $L_{2\sigma}$, Гн – 0,000392
 Индуктивность намагничивающего контура L_m , Гн – 0,011
 Активное сопротивление статора R_1 , Ом – 0,0431
 Приведенное активное сопротивление ротора R_2 , Ом – 0,089

Рассчитаем полную индуктивность обмотки статора:

$$L_1 = L_{1\sigma} + L_m = 0,000421 + 0,011 = 0,011421 \text{ Гн}$$

и обмотки ротора

$$L_2 = L_{2\sigma} + L_m = 0,000392 + 0,011 = 0,011392 \text{ Гн.}$$

Рассчитаем параметры структурной схемы АД типа АНЭ255L4УХЛ2

со следующими номинальными параметрами:

$$k_2 = \frac{L_m}{L_2} = \frac{0,011}{0,011392} = 0,9655$$

$$L'_1 = L_1 - \frac{L_m^2}{L_2} = 0,011421 - \frac{0,011^2}{0,011392} = 0,0008 \text{ Гн,}$$

$$T_2 = \frac{L_2}{R_2} = \frac{0,011392}{0,089} = 0,128 \text{ с,}$$

$$R'' = k_2^2 R_2 + R_1 = 0,9655^2 \cdot 0,089 + 0,0429 = 0,1261 \text{ Ом,}$$

$$T'' = \frac{L'_1}{R''} = \frac{0,0008}{0,1261} = 0,0063 \text{ с,}$$

$$\frac{1}{R''} = \frac{1}{0,1261} = 7,93 \text{ 1 / Ом,}$$

$$k_2 R_2 = 0,9655 \cdot 0,089 = 0,0859 \text{ Ом,}$$

$$\frac{k_2}{O_2} = \frac{0,9655}{0,1261} = 7,54 \text{ 1 / с,}$$

$$\frac{3}{2} p_n k_2 = 1,5 \cdot 2 \cdot 0,9655 = 2,89,$$

$$\frac{1}{J} = \frac{1}{3,5} = 0,278 \text{ 1 / кг · м}^2.$$

Модель прямого пуска асинхронного двигателя, построенная на базе данной модели, изображена на рис. 4.

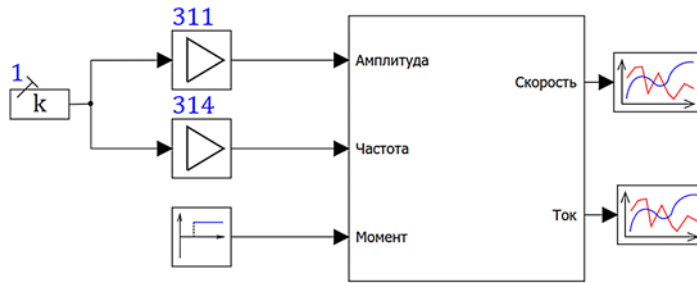


Рис. 4. Модель прямого пуска асинхронного двигателя

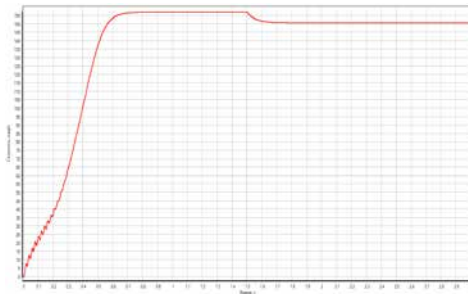
На рис. 5, а и б представлены графики скорости и тока асинхронного двигателя при пуске на холостом ходу. В момент времени 1,5 с на вал двигателя подается статический момент, равный номинальному.

На рис. 6, а, б представлены графики скорости и тока асинхронного двигателя при пуске под нагрузкой. В начальный момент времени на вал двигателя

подается статический момент, равный номинальному.

Зачастую для ограничения величины пусковых токов асинхронных вспомогательных машин применяют пусковые конденсаторы. Безусловное их достоинство – низкая стоимость, к недостаткам конденсаторного пуска относят значительный нагрев двигателя при длительной работе и низкий пусковой момент.

а)



б)

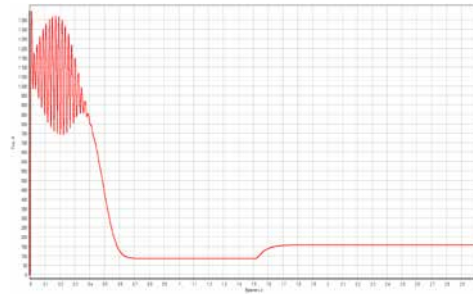
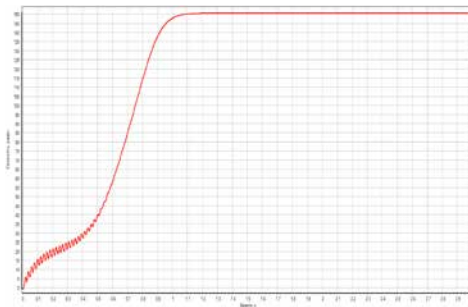


Рис. 5. График скорости АД (а) и тока (б) при прямом пуске на холостом ходу с последующим набросом нагрузки

а)



б)

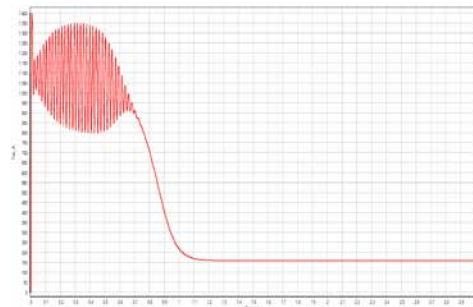


Рис. 6. График скорости АД (а) и тока (б) при прямом пуске под нагрузкой

А это в случае постоянной длительной эксплуатации это провоцирует частые ремонты или совсем выводит электрическую машину из строя.

Для устранения этого недостатка предлагаем производить пуск и регулирование частоты вращения электрической машины с помощью частотно-преобразователя и систем регулирования с обратной связью по скорости.

Модель системы управления электроприводом мотор-вентилятора (рис. 7)

Основные части модели: задатчик интенсивности на входе системы, позволяющий плавно увеличивать скорость, что ограничивает скорость возрастания частоты вращения ротора АД и, как следствие, величину пускового тока, регулятор скорости, устраняющий

статическую ошибку, которая возникает от воздействия статического момента, модель асинхронного электродвигателя, обратная связь с датчиком скорости, позволяющая получить разницу между заданным и текущим значением скорости.

Графики скорости и тока асинхронного электропривода при пуске на холостом ходу представлены на рис. 8, а, б. В момент времени 1,5 с на вал двигателя подается статический момент равный номинальному.

Как видно из графика, система управления компенсирует влияние возмущающего воздействия по моменту и скорость становится равной заданной. Также видно ограничение роста тока в процессе пуска. Значение тока не превышает двух номинальных значений, что повышает надежность системы и продлевает срок службы двигателя.

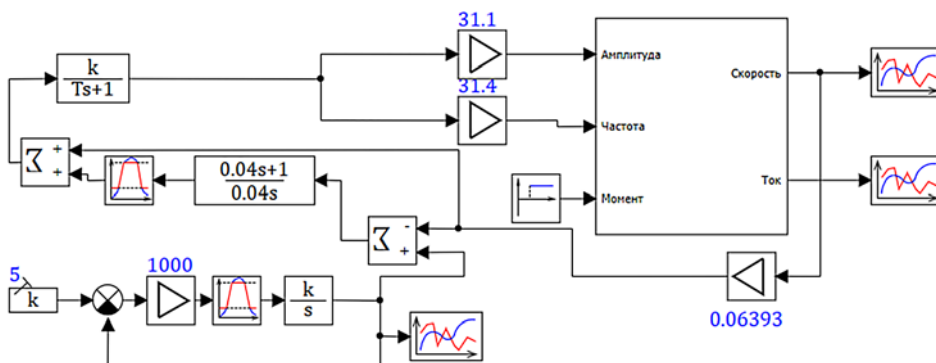


Рис. 7. Модель системы управления электроприводом мотор-вентилятора

а)



б)

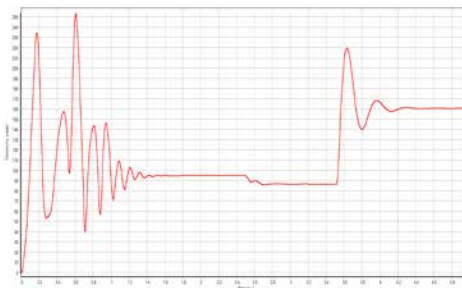


Рис. 8. График скорости АД (а) и тока (б) при прямом пуске на холостом ходу с последующим набросом нагрузки

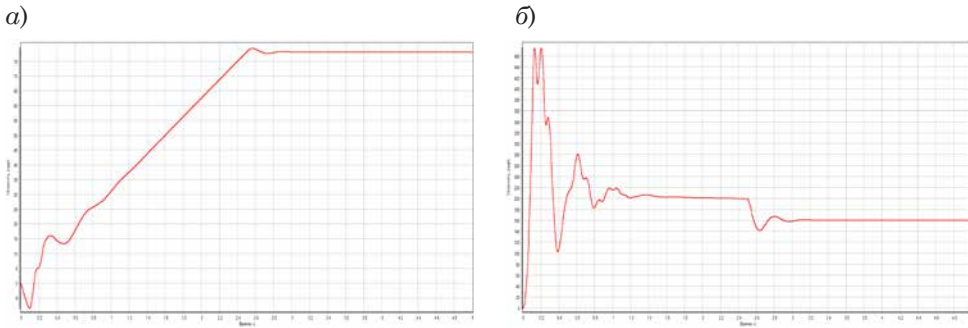


Рис. 9. График скорости АД (а) и тока (б) при прямом пуске под нагрузкой

Графики скорости и тока асинхронного двигателя при пуске под нагрузкой представлены на рис. 9, а, б. В начальный момент времени на вал двигателя подается статический момент равный номинальному.

Система управления также выполняет свою функцию. Статическая ошибка по скорости не превышает 3 %, а значение тока в процессе пуска не превышает допустимых значений.

Тип нагрузки, называемый вентиляторной, для которого статический момент зависит от второй степени скорости описывается уравнением:

$$M_c = k\Omega^2.$$

Графики скорости и тока асинхронного двигателя при вентиляторной нагрузке представлены на рис. 10, а, б. Изменение момента статического при вентиляторной нагрузке в процессе разгона – на рис. 10, в.

Как видно из графиков, система управления электропривода мотор-вентилятора хорошо показывает себя при различных нагрузках и заданиях скорости. Статическая ошибка практически отсутствует, ток не превышает допустимых значений, что говорит

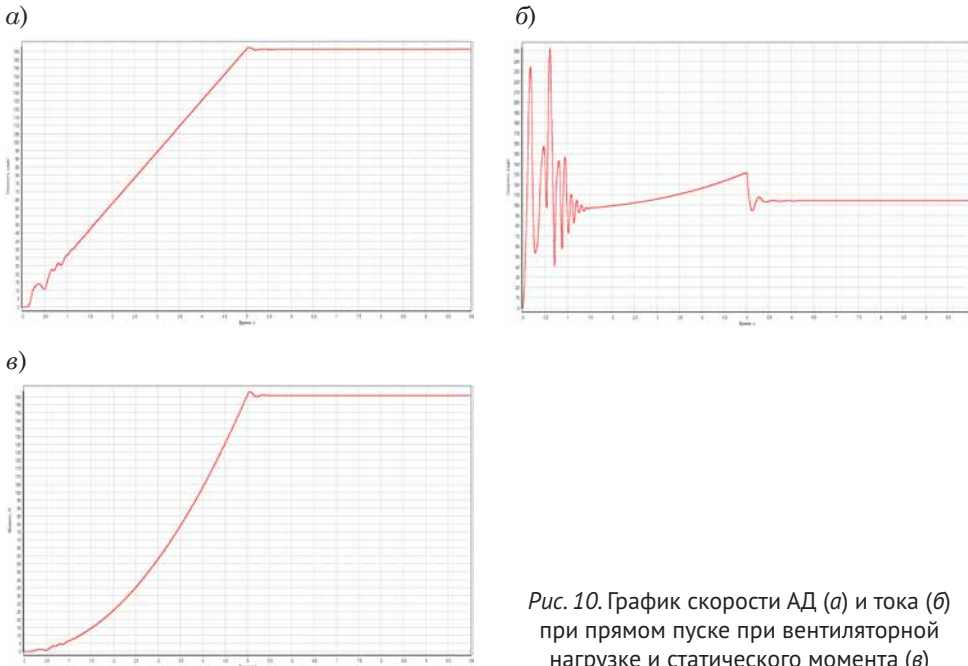


Рис. 10. График скорости АД (а) и тока (б) при прямом пуске при вентиляторной нагрузке и статического момента (в)

об устойчивости и надежности синтезированной системы управления и правильном выполнении расчетов.

В ходе произведенных расчетов в качестве электродвигателя в системе привода мотор-вентиляторов был выбран асинхронный электродвигатель АИР 225 М4 мощностью 55 кВт. После произведенной проверки по пусковой и перегрузочной способности установили, что он удовлетворяет предъявляемым требованиям.

По разработанной системе уравнений работы АД во вращающейся системе координат построена компьютерная модель, получены графики переходных процессов по скорости току в двух режимах.

Первый режим представляет собой прямой пуск двигателя на холостом ходу с последующей подачей на вход модели возмущающего воздействия по моменту, равному номинальному моменту двигателя, а второй пуск уже нагруженному электродвигателю. Как видно из графиков, возмущение по моменту влечет за собой снижение скорости и возникновение статической ошибки. Ток в таких

режимах достигает больших значений, способных вывести электрическую машину из строя.

Для устранения недостатков в связи с применением конденсаторов можно производить пуск и регулирование частоты вращения АД с помощью частотного преобразователя и систем регулирования с обратной связью по скорости.

Графики переходных процессов по скорости в обоих режимах указывают на то, что система управления отбывает возмущающее воздействие по моменту, а переходные процессы по току говорят об ограничении пусковых токов в пределах двух номинальных значений.

К тому же, формирование задания скорости электропривода мотор-вентилятора исходя из текущей температуры тяговых электродвигателей снижает потребляемую электроприводом энергии и уровень шума в кабине машиниста.

Разработанный электропривод повышает надёжность, энергетическую эффективность и экономическую рентабельность системы вентиляции тягового электропривода. ■

Литература

1. Портной А. Ю., Селедцов К. П., Мельниченко О. В., Мищенко М. В. Оценка влияния системы охлаждения электровоза и параметров движения поезда на трещинообразование в остовах тягового электродвигателя НВ-514 // Современные технологии. Системный анализ. Моделирование. – 2022. – № 2 (74). – С. 101–111.
2. Абдурахимов Д. Р. У. Достижение эффективности при использовании асинхронных двигателей // Universum: технические науки. URL: <https://cyberleninka.ru/article/n/dostizhenie-effektivnosti-pri-ispolzovanii-asinhronnyh-dvigatelay> (дата обращения: 05.05.2023).
3. Пустоветов М. Ю. Имитационное моделирование вспомогательного асинхронного электропривода электровоза // Вестник ПГУ им. Шолом-Алейхема. URL: <https://cyberleninka.ru/article/n/imitatsionnoe-modelirovanie-vspomogatelnogo-asinhronnogo-elektroprivoda-elektrovoza> (дата обращения: 05.05.2023).
4. Дунаев Д. И. Снижение амплитуд резонансных колебаний в вибрационных стендах с асинхронными дебалансными вибродвигателями : дис. ... канд. техн. наук : 05.09.03 / Д. И. Дунаев. – Самара, 2022. – 136 с.
5. Хазиева Р. Т., Иванов М. Д. Моделирование переходных процессов в цепях переменного тока с использованием MatLAB Simulink и Simintech / М-лы 72-й научн.-техн. конф. студентов, аспирантов и молодых ученых УГНТУ, Уфимский государственный нефтяной технический университет, 21–29 апреля 2021 года. – Том 1. – Уфа : Уфимский государственный нефтяной технический университет, 2021. – С. 535.
6. Афоничев Д. Н., Пиляев С. Н., Кузьменко С. В., Афоничев Д. Н. Использование программного комплекса SimInTech для проектирования мехатронных систем / Наука и образование на современном этапе развития: опыт, проблемы и пути их решения : М-лы национальной научн.-практ. конф., Воронеж, 26–27 ноября 2019 года. – Воронеж :

Воронежский государственный аграрный университет им. императора Петра I. – 2019. – С. 335–339.

7. Мустафин А. Ш. Повышение энергетической эффективности грузовых электровозов семейства «Ермак» путем модернизации при заводском ремонте. URL: <https://cyberleninka.ru/article/n/povyshenie-energeticheskoy-effektivnosti-gruzovyh-elektrovozov-semeystva-ermak-putem-modernizatsii-pri-zavodskom-remonte> (дата обращения: 05.05.2023).

References

1. Portnoy A. Yu., Seledtsov K. P., Melnichenko O. V., Mishchenkov M. V. Evaluating the impact of the cooling system of an electric locomotive and parameters of its movement on crack formation in the framework of the traction electric motor NB-514 // Modern technologies. System analysis. Modeling. [Otsenka vliyaniya sistemy okhlazhdeniya ehlektrovoza i parametrov dvizheniya poezda na treshhinoobrazovanie v ostove tyagovogo ehlektrodvigatelya NB-514 // Sovremennye tekhnologii. Sistemnyj analiz. Modelirovanie] – 2022. – № 2 (74). – Pp. 101–111.
2. Abdurakhimov D. R. U. Achieving efficiency when using asynchronous motors // Universum: technical sciences. [Dostizhenie ehffektivnosti pri ispol'zovanii asinhronnykh dvigatelej // Universum: tekhnicheskie nauki] URL: <https://cyberleninka.ru/article/n/dostizhenie-effektivnosti-pri-ispolzovanii-asinhronnykh-dvigateley> (accessed on: 05.05.2023).
3. Pustovetov M. Yu. Simulation modeling of auxiliary asynchronous electric locomotive drive // News Bulletin of Sholom Aleichem PSU. [Imitatsionnoe modelirovanie vspomogatel'nogo asinhronnogo ehlektroprivoda ehlektrovoza // Vestnik PGU im. Sholom-Alejkhema] URL: <https://cyberleninka.ru/article/n/imitatsionnoe-modelirovanie-vspomogatel'nogo-asinhronnogo-elektroprivoda-elektrovoza> (accessed on: 05.05.2023).
4. Dunaev D. I. Reduction of resonant vibration amplitudes in vibration stands with asynchronous unbalanced vibration motors : dis. ... Candidate of Technical Sciences [Snizhenie amplitud rezonansnykh kolebanij v vibratsionnykh stendakh s asinhronnymi debalansnymi vibrodvigatelyami : disertatsiya na soiskanie uchenoj stepeni kandidata tekhnicheskikh nauk] : 05.09.03 / D. I. Dunaev. – Samara, 2022. – 136 p.
5. Khazieva R. T., Ivanov M. D. Modeling of transients in alternating current circuits using MatLAB Simulink and Simintech / Proceedings of the 72nd scientific-technical. conf. of students, postgraduates and young scientists of USPTU, Ufa State Petroleum Technical University, [Modelirovanie perekhodnykh protsessov v tsepyakh peremennogo toka s ispol'zovaniem MatLAB Simulink i Simintech / Materialy 72-j nauchno-tekhnicheskoy konferentsii studentov, aspirantov i molodykh uchenykh UGNTU, Ufimskij gosudarstvennyj neftyanoy tekhnicheskij universitet, 21–29 aprelya 2021 goda] April 21-29, 2021. – Volume 1. – Ufa : Ufa State Petroleum Technological University, 2021. – P. 535.
6. Afonichev D. N., Pilyaev S. N., Kuzmenko S. V., Afonichev D. N. The use of the SimInTech software package for the design of mechatronic systems / Science and education at the present stage of development: experience, problems and ways to solve them : Proceedings of national scientific-practical conference [Ispol'zovanie programmnoy kompleksa SimInTech dlya proektirovaniya mekhatronnykh sistem / Nauka i obrazovanie na sovremennom eh tape razvitiya: opyt, problemy i puti ikh resheniya : Materialy natsional'noj nauchno-prakticheskoy konferentsii], Voronezh, November 26-27, 2019. – Voronezh : Voronezh State Agrarian University named after Emperor Peter The Great. – 2019. – Pp. 335–339.
7. Mustafin A. S. Improving the energy efficiency of freight electric locomotives of the Ermak family by upgrading during depot-level maintenance. [Povyshenie ehnergeticheskoy ehffektivnosti gruzovykh ehlektrovozov semeystva «Ermak» putem modernizatsii pri zavodskom remonte] URL: <https://cyberleninka.ru/article/n/povyshenie-energeticheskoy-effektivnosti-gruzovyh-elektrovozov-semeystva-ermak-putem-modernizatsii-pri-zavodskom-remonte> (accessed on: 05.05.2023).

Статья сдана в редакцию 11 мая 2023 года

УДК 316.6; 331.1

Е. В. Зелюкова, Л. П. Караваяева, А. А. Онипко

Механизм формирования и поддержания организационного доверия на предприятиях транспортной отрасли

UDC 316.6; 331.1

E. V. Zelyukova, L. P. Karavaeva, A. A. Onipko

The mechanism of building-up and maintenance of organizational trust at the transport industry enterprises

Аннотация

На организационные отношения сильно влияют сложные непредсказуемые социально-экономические и политические изменения, создающие условия дефицита всех основных видов ресурсов, в частности, человеческих и временных. Это приводит к переосмыслению традиционных подходов к организации трудового взаимодействия, поиску новых источников организационной эффективности. Один из них – феномен организационного доверия, компонент организационной культуры и межличностного

взаимодействия. Он позволяет достигать высокого уровня стабильности, рационального использования ресурсов организации.

Предложенная авторами концепция анализа организационного доверия через условия реализации механизмов его формирования и поддержания в трудовом взаимодействии руководителей и работников предприятия транспортного холдинга позволяет по-новому оценить место и роль этого феномена. Показана взаимосвязь доверия и таких управленческих процессов, как делегирование, контроль, оценка уровня

профессионализма и квалификации персонала, выбора стиля управления. Выявлено, что организационное доверие в управленческой деятельности носит ограниченный и функциональный характер, а профессионализм управленца позволяет ему реализовать функции делегирования и контроля, основываясь больше на компетенции сотрудника, чем на личных симпатиях. Очень важны личный опыт, характер организации труда и распределение должностных обязанностей, что обеспечивает приоритизацию рабочих задач в условиях экономики

Статья рекомендована к публикации Л. В. Тарасовой, канд. психол. наук, доцентом, зав. кафедрой общей и прикладной психологии АНО ВО «Гуманитарный университет».

Елена Владиславовна Зелюкова, доцент кафедры «Вагоны» Уральского государственного университета путей сообщения; Екатеринбург, Россия. E-mail: EZelukova@usurt.ru. ORCID 0000-0002-2759-6188.

Людмила Петровна Караваяева, канд. психол. наук, доцент кафедры «Управление персоналом и социология» Уральского государственного университета путей сообщения; Екатеринбург, Россия. E-mail: lyudmila_krv@mail.ru. ORCID 0000-0002-4815-8347.

Александр Александрович Онипко, канд. социол. наук, доцент кафедры «Управление персоналом и социология» Уральского государственного университета путей сообщения; Екатеринбург, Россия. E-mail: AOnipko@usurt.ru. ORCID 0000-0002-6309-4783.

© Е. В. Зелюкова, Л. П. Караваяева, А. А. Онипко, 2023

The article is recommended for publishing L. V. Tarasova, Cand. psychol. Sciences, Associate Professor, Head. Department of General and Applied Psychology, ANO HE «Humanitarian University».

Elena Vladislavovna Zelyukova, Associate Professor of «Railway cars» Department of Ural State University of Railway Transport; Yekaterinburg, Russia. E-mail: EZelukova@usurt.ru. ORCID 0000-0002-2759-6188.

Lyudmila Petrovna Karavaeva, Candidate of Psychological Sciences, Associate Professor of «Human Resources Management and Sociology» Department of Ural State University of Railway Transport; Yekaterinburg, Russia. E-mail: lyudmila_krv@mail.ru. ORCID 0000-0002-4815-8347.

Alexander Alexandrovich Onipko, Candidate of Social Sciences, Associate Professor of «Human Resources Management and Sociology» Department of Ural State University of Railway Transport; Yekaterinburg, Russia. E-mail: AOnipko@usurt.ru. ORCID 0000-0002-6309-4783.

© E. V. Zelyukova, L. P. Karavaeva, A. A. Onipko, 2023

организационных ресурсов и необходимости перераспределения трудовой нагрузки.

Ключевые слова: организационное доверие, культура труда, делегирование и контроль, профессионализм, качество трудовых взаимоотношений, стиль управления.

DOI: 10.20291/2079-0392-2023-3-56-66

Abstract

Organizational relationships are deeply affected by complex, unpredictable socio-economic and political changes that create conditions for a shortage of all major types of resources, in particular, human and temporary ones. It results in a reconsideration of traditional approaches to organization of labor interaction, a search for new sources of organizational efficiency. One of them is the

phenomenon of organizational trust, a component of organizational culture and interpersonal interaction. It enables to achieve a high level of stability, rational use of the organization's resources.

The concept of the analysis for organizational trust suggested by the authors by means of the conditions for implementation of the mechanisms for its building-up and maintenance in the labor interaction of managers and employees of a transport holding company provides a new assessment of the place and role of this phenomenon. The interrelation of trust and such management processes as delegation, supervision, assessment of the personnel professionalism level and qualification, a choice of management style is illustrated. It is revealed that

organizational trust in management activities has a limited and functional character, and the manager's professionalism allows to implement the functions of delegation and supervision, based more on the competence of an employee than on personal affections. Personal experience, the nature of labor organization and the distribution of work responsibilities are crucial, which ensures the prioritization of work objectives in the conditions of saving organizational resources and the necessity for workload redistribution.

Keywords: organizational trust, work culture, delegation and supervision, professionalism, quality of labor relationships, management style.

DOI: 10.20291/2079-0392-2023-3-56-66

Изменения, происходящие в российском обществе, затрагивают многие системы, процессы и институты, влияют на социальные механизмы управления и регулирования общественных отношений, в том числе в конкретных бизнес-структурах. Предприятия транспортного холдинга разрабатывают концепцию и механизм адаптации, отвечающий вызовам внешней среды и позволяющий им эффективно противостоять ситуации неопределенности и экономического давления.

В такой ситуации наиболее перспективен человеческий ресурс, так как только люди (работники) могут повысить эффективность производственных процессов за счет трансформации/изменения своего организационного поведения [1–3]. С одной стороны, человеческий ресурс легко использовать, он не требует дополнительных финансово-экономических или технологических нововведений. С другой, эффективность его использования зависит

от компетентности как самих работников, так и руководителей, в частности, от их умения реализовать тот социальный капитал, который они наработали [4, 5]. Очевидно, что реорганизация управленческих механизмов сопряжена с перестройкой устоявшихся норм, форм и образцов взаимодействия и актуализирует проблемы формирования и поддержания организационного доверия [6–8].

Значимость доверия в организации, в отношениях сотрудников чрезвычайно важна, поскольку в нестабильных условиях руководители серьезно ограничены по времени принятию решений, реализации инструментов контроля и возможности использования опыта руководящей деятельности [9, с. 95]. Доверие здесь выступает как ресурс, повышающий эффективность использования социального капитала организации через делегирование полномочий и снижение необходимости контроля подчиненных, повышает надежность принимаемых

решений, способствует сотрудничеству, снижает напряженность работы руководителя. Роль организационного доверия возрастает в сложноструктурированных системах, так как позволяет руководителям снижать уровень ответственности, а, значит, и стресса при делегировании как типовых, так и новых, еще не стандартизованных задач.

Феномен доверия изучается многими дисциплинами – философией, социологией, психологией, экономикой, менеджментом и др., в рамках каждой можно выделить множество концепций и направлений научного исследования. Организационное доверие рассматривается исследователями через социально-психологический и экономический аспекты [10–13]. Выделяют также менеджерский подход к пониманию и анализу этого феномена.

В контексте социально-психологического подхода доверие определяют как фундаментальное условие взаимодействия человека с миром и другим людьми, оно предполагает общность, идентичность восприятия целей и задач межличностного взаимодействия, а также удовлетворения потребности человека в безопасности, предсказуемости действий.

Концепция организационного доверия в экономическом аспекте затрагивает условия экономического действия, снижение риска, организационных издержек и достижение справедливых условий при рациональном выборе, экономии временных, человеческих, информационных ресурсов, приращение организационного капитала.

Кроме того, организационное доверие можно соотнести с концепцией социального капитала П. Бурдье, поскольку доверие кумулятивно и способно накапливаться, связывается с повторяющимися ситуациями в неопределенной среде, снижает риск неблагоприятного и повышает вероятность достижения благоприятного как для индивида, так и для организации результата.

Исследователи разграничивают понятия «организационное доверие»

и «социальное доверие». Первое отличается рациональностью ожидания сотрудниками ответственного, компетентного поведения коллег и/или руководителей в ситуации принятия решения, а также уверенность сотрудников в стабильности организации как места работы. Помимо этого характеристиками организационного доверия выступают частичность, функциональность и краткосрочность, которые связаны с характером трудового взаимодействия [14, с. 86–87].

В контексте теорий управления или менеджерского подхода исследователи относят доверие к системе ценностных ориентаций руководителя, культуре труда. Оно определяет характер процесса принятия управленческих решений, осуществление функций контроля и делегирования полномочий. Более того, исследователи теорий менеджмента вводят понятие «культура доверия» и рассматривают ее как элемент организационной культуры, а реализация ценности доверия позволяет снизить неопределенность и риски, стимулирует профессиональную активность, инициативность, инновационность [13, с. 655].

Таким образом, функция доверия внутри организации заключается в снижении издержек социального взаимодействия. Природа доверия связана с отношениями социального обмена: с одной стороны, индивидов внутри организации, с другой, организации и индивида. Доверие повышает эффективность социального взаимодействия и служит механизмом интеграции группы [14, с. 99–100].

Можно выделить три основные формы доверия в организации: институциональная форма (система норм, регулирующих условия поведения и взаимодействия сотрудников, и правила контроля за их деятельностью), форма субъективных представлений работников об организации, своих коллегах, руководителях, партнерах и т.д., которые зависят от удовлетворенности потребностей и ожиданий работников, значимости доверия и некоторых индивидуально-психологических характеристик,

форма психологического пространства взаимоотношений сотрудников и организации, а также отдельных ее групп [15, с. 369].

Но такой подход не позволяет в полной мере оценить готовность руководителей использовать доверие как основание для организации трудового взаимодействия и управленческого воздействия, определить инструменты и методы его формирования и поддержания. Рассматриваемые подходы к описанию и анализу феномена организационного доверия уделяют недостаточное внимание личности руководителя – главному субъекту формирования таких организационных отношений, которые способствуют/препятствуют возникновению доверия.

На наш взгляд, организационное доверие следует рассматривать в объективном и субъективном аспектах. Первый характеризует глубину и частоту контроля работы подчиненных, делегирования полномочий. Этот аспект следует дополнить также оценкой (объективной и субъективной) уровня профессионализма и компетентности сотрудников, также необходимо оценивать уровень управления. Второй отражает социально-психологические условия и факторы формирования, поддержания организационного доверия, определяющиеся опытом трудовой и управленческой деятельности, личностными особенностями и сложившейся в организации культурой труда.

Механизм формирования и поддержания организационного доверия в деятельности руководителя можно описать через взаимодействие объективного и субъективного аспектов; он запускается с наполнения и реализации субъективного компонента, началом управленческой деятельности служит наполнение объективного компонента.

1. Доверие базируется на личностных и характерологических особенностях индивида по возможностям реализации ценностей, норм доверия, инструментов и методов управленческой

деятельности для создания доверительной атмосферы.

2. Ориентация руководителя на реализацию доверительного поведения, которая закладывается в ходе трудовой социализации, первичной адаптации. Здесь может серьезно повлиять положительный/отрицательный пример реализации организационного доверия в компании. На этом этапе у руководителя складывается представление, каким образом реализовать доверие в трудовом взаимоотношении.

3. Большое влияние оказывает организационная культура, в частности, ценность доверия в ее структуре. В контексте организационной культуры объективный и субъективный компоненты объединяются, так как именно она и культура доверия определяют поведение руководителя.

4. Опыт трудовой и управленческой деятельности руководителя определяет глубину и частоту контроля и зафиксирован в таких индикаторах организационного доверия, как стиль управления и мотивация подчиненных.

5. В формировании организационного доверия большое значение имеет делегирование полномочий. Оно определяется объективными параметрами профессионализма и компетентности работников, способностью и желанием делегировать полномочия, которые сформированы организационной культурой.

Организационное доверие поддерживается положительным опытом взаимодействия. Негативный снижает уровень доверия, что выражается в усилении контроля, обесценивании доверия как компонента культуры труда, при этом масштабы и объем делегирования не сокращаются. Таким образом, мы возвращаемся к начальной точке формирования механизма организационного доверия, а именно, его субъективным аспектам (личностные и характерологические особенности, изменение которых возможно в результате опыта взаимодействия).

На наш взгляд, существуют особенности поддержания организационного

доверия, связанные с изменением управленческой позиции. С одной стороны, опыт личного взаимодействия с ростом уровня управления уменьшается, так как появляются подчиненные, с которыми руководитель может и не быть знаком, то нет опыта положительного/отрицательного взаимодействия. С другой, реализация управленческой функции без доверия к деятельности работников невозможна. Разрешение противоречия нам видится в усилении влияния объективного аспекта организационного доверия, в частности, доверия к уровню квалификации и профессионализма работников организации и возможности реализации делегирования при сохранении оптимальных границ контроля.

Материалом для оценки условий и факторов формирования организационного доверия выступили результаты социологического исследования (2021–2022 гг.). На предприятиях транспортного холдинга проведены анкетирование сотрудников ($N = 654$) и полуструктурированные интервью с руководителями различных уровней управления ($N = 14$).

Среди опрошенных руководители составляют 12,9 %, служащие/специалисты – 47,3 %, респонденты, занимающие рабочие должности, составляют 39,8 %. В гендерном соотношении среди опрошенных 41,1,8 % мужчин и 58,9 % женщин.

Доверие базируется на требованиях к уровню профессионализма и компетенции сотрудников. Это создает основу как для оценки результатов деятельности, качества выполнения рабочих задач, так и определяет направления профессионального развития [16].

Наиболее удачна модель корпоративных компетенций ОАО «РЖД»*, она позволяет однозначно определить критерии и уровни оценки компетенций работников и показывает актуальность формирования и поддержания доверия

как компонента организационной культуры в наличие таких компетенций, как «командная работа и взаимовыручка», «развитие и забота о сотрудниках», «эффективная коммуникация», которые невозможно реализовать без формирования организационного доверия.

Анализ и оценка объективных и субъективных показателей уровня профессионализма показал, что подавляющее большинство работников обладает необходимой квалификацией (98,7 %), а часть из них – уровень более необходимого. Работники высоко оценивают качество организационного обучения (в среднем на 3,6 из 5 баллов) и хотят поддерживать свой профессиональный уровень.

Среди организационных ценностей второе место занимает «Соблюдение трудовой и технологической дисциплины» (44,3 %), четвертое – «Стремление к нововведениям» (23 %). Сами работники видят гарантии своего организационного положения в развитии профессиональных умений и навыков, а уже потом в качестве взаимоотношений с руководителем и коллегами и в меньшей степени ориентируются на «Полезные знакомства и связи». Такой подход позволяет поддерживать довольно высокий уровень доверия руководителя и сотрудников, а также включить доверие в систему организационных ценностей. Так, в одном из интервью руководитель отмечает: «В настоящий момент в организации сложилась очень гармоничная, целостная и хорошо проработанная система оценки уровня профессиональных и корпоративных компетенций сотрудников. Каждый из моих подчиненных действует в определенной функциональной области и благодаря этой системе способен не только выполнять собственные задачи, но и осознавать последствия правильных и неправильных решений. Система позволяет организовать качественное профессиональное обучение работников, поддерживать их

Положение о модели корпоративных компетенций ОАО «РЖД» утверждено решением правления ОАО «РЖД» от 13.05.2019. № 25.

профессиональный уровень. Это определяет возможности делегирования, а значит, и доверия» (жен., 52 года, стаж управления 23 года).

Работники отметили, что на предприятии создана благоприятная среда для формирования и поддержания организационного доверия. Инструмент не предполагал изучение уровня доверия, но позволил оценить такие индикаторы, как качество взаимоотношений в коллективе, стиль управления и возможности влиять на принимаемые решения. Так, работники высоко оценивают заинтересованность в выполнении стоящих перед ними целей и задач (8,6 из 10 баллов), 65,5 % опрошенных могут рассчитывать на помощь коллектива в связи с жизненными невзгодами.

Анализ результатов исследования показал, что в организации преобладает демократичный стиль управления, который больше проявляется в непосредственном взаимодействии (рис. 1). Сами руководители оценивают свой стиль управления как демократичный с элементами авторитарного. В частности, для поддержания мотивации, установления обратной связи в коллективе необходим контроль: «К сожалению, проверки требуются регулярные. <...> Довольно часто сотрудники

не демонстрируют той скорости и заинтересованности, которая мне необходима, и общение – это способ мотивации» (муж., 39 лет, стаж управления 15 лет).

Один из важных факторов формирования доверия в деятельности руководителя – имеющийся опыт трудовой и управленческой деятельности, в особенности опыт управления первым коллективом. Руководители отметили, что именно опыт первого коллектива дал им понимание выбора стиля управления, возможности делегирования и контроля подчиненных. Стоит подчеркнуть: изначально руководители ориентированы на более демократичный, партнерский стиль взаимоотношений, однако со временем он становился более авторитарным, обратной трансформации отмечено не было.

Определяющий характер взаимоотношений в коллективе имеет культура труда и личные качества сотрудников: «То, в каком коллективе ты находишься, определяет твой стиль поведения. Среди сотрудников с высоким уровнем образования и интеллигентности реализовать задачи и выполнить функции руководителя проще» (жен., 49, стаж управления 19 лет). Со временем личные качества подчиненных становятся менее значимыми, на первый план

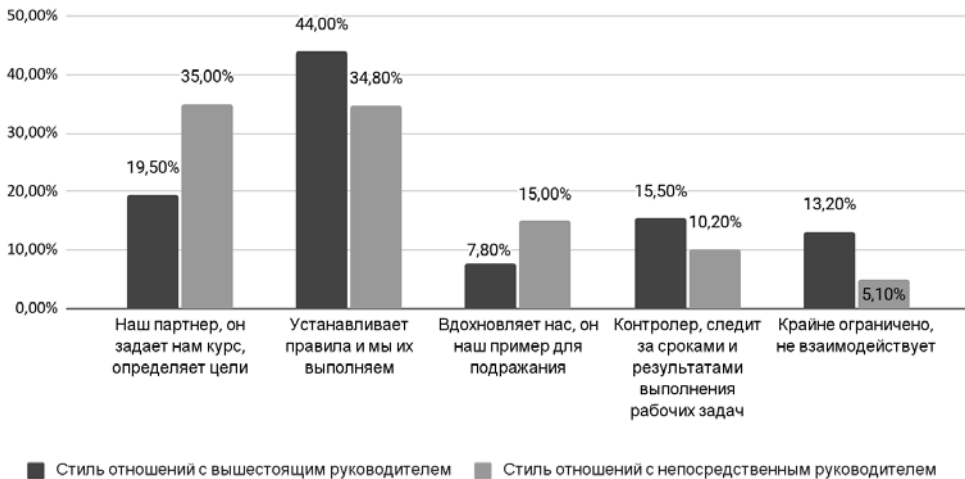


Рис. 1. Оценка стиля управления, % к числу ответивших, N = 654

выходят профессиональные компетенции, которые и определяют характер отношений. Важен не только уровень профессионализма, но и опыт взаимодействия как неперемное условие формирования доверия.

Реализованные положительные ожидания способствуют созданию и поддержанию организационного доверия, при этом руководители склонны к анализу и оценке поведения подчиненных: «Я могу доверять, но не всем и не во всех ситуациях. Опыт взаимодействия и оценка способностей подчиненных позволяют определить потенциальные «зоны доверия», но понимание это приходит лишь с опытом. Личные взаимоотношения, безусловно, имеют значение, но квалификация и деловые качества работника в приоритете. Например, я могу много поручить своему коллеге, с которым у меня нет дружественных отношений, но по работе он меня ни разу не подвел» (муж., 42 года, стаж управления 13 лет).

Элементы доверия прослеживаются и в оценке используемых инструментов контроля и мотивации, тесно связаны с поддержанием организационного доверия, так как формируют опыт положительного взаимодействия. Опрос руководителей показал, что они ориентированы на реализацию как экономических, так и социально-психологических

инструментов, а чаще всего реализуется именно создание соответствующей атмосферы (рис. 2).

Доверие влияет и на реализацию инструментов соучастия в управлении. Недостаточный уровень квалификации и, как следствие, недоверие к персоналу препятствует вовлечению персонала в процесс управления, использованию мотивационных инструментов и повышению качества принятия решений [17]. Тем не менее сами руководители отмечают, что требуется установить оптимальный уровень доверия, который определяется как спецификой решаемых задач, так и должностными обязанностями: «Я легко могу делегировать несложные, стандартные задачи, при этом контролировать буду только по результату. Есть задачи, которые я могу делегировать лишь частично из-за их сложности или нестандартности. Есть задачи, которые мне необходимо выполнять лично, и с доверием это никак не связано» (жен., 52 года, стаж управления 23 года).

В любом случае, важнейший компонент формирования и поддержания организационного доверия зависит от качества организационных коммуникаций и умения руководителя их выстраивать. Именно организационное взаимодействие служит средой реализации лидерских качеств и определяет

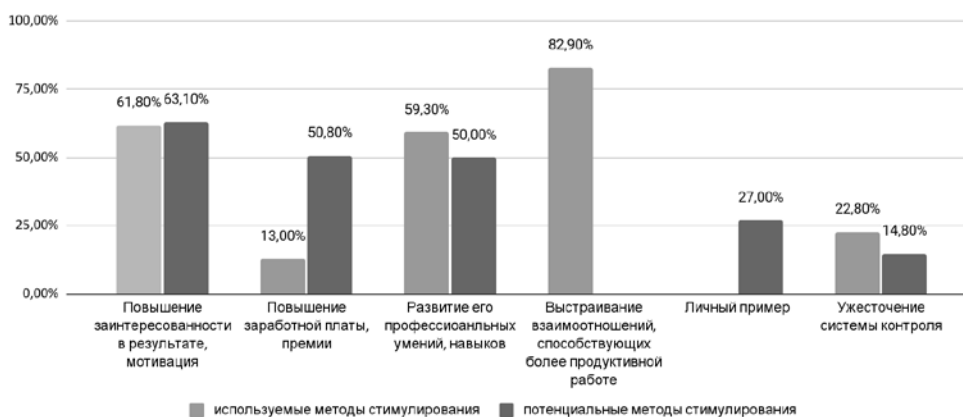


Рис. 2. Оценка потенциальных и реальных инструментов мотивации персонала, % к числу ответивших, $N = 84$

в конечном счете уровень доверия в организации.

Выводы

Организационное доверие – это многогранный феномен, определяющий качество трудового взаимодействия, способы сохранения и накопления социального и организационного капитала. Доверие определяется способностью руководителя проявить лидерские качества в части мотивации и организации взаимодействия с подчиненными, в реализации механизма формирования и поддержания доверия в коллективе.

Исследование феномена на предприятиях транспортного холдинга позволило определить его место в организационных отношениях. Работники ориентированы на доверительные отношения как возможность создания более комфортных, доброжелательных условий труда, которые становятся нормой современных организационных отношений [18].

Авторы отмечают высокий уровень готовности руководителей к реализации культуры доверия, наличие у них личностных и характерологических качеств, что отражается в сознательном выборе и ориентации на демократический стиль управления, чему способствовал имеющийся опыт трудовой деятельности. В то же время опыт управленческой деятельности скорректировал их ориентации в сторону снижения уровня доверия через реализацию авторитарного стиля управления, выражающегося в усилении контроля, при

этом масштаб делегирования сохраняется. Исследование показало также, что снижение уровня доверия происходит значительно чаще, чем его повышение, то есть негативный опыт взаимодействия воспринимается как более значимый и в последующих организационных взаимодействиях.

На смену стиля управления влияет и система контроля, тесно связанная с доверием: руководители видят в нем не просто инструмент поддержания должного уровня эффективности выполнения рабочих задач. Контроль выступает инструментом организации обратной связи, при этом чаще всего он не связан с отсутствием доверия, руководители ранжируют задачи по степени важности и сложности, не склонны делегировать некоторые задачи в силу особенностей организации труда и должностных обязанностей как собственных, так и подчиненных.

Исследование подтвердило такие характеристики доверия, как частичность, рациональность и краткосрочность, которые определяются цикличностью механизма его формирования, повышением значимости объективного аспекта с ростом управленческой позиции. В этом случае организационное доверие выступает как инструмент снижения управленческой нагрузки, экономии времени для достижения требуемого результата и включения подчиненных в процесс принятия решений с целью их мотивации не на основе личных симпатий, а на достаточном уровне профессионализма и компетентности и сложившейся организационной культуры. ■

Литература

1. Качанова Е. А., Чевтаева Н. Г., Ударцев Н. С. Глобальные вызовы для социально-экономического развития России: анализ и оценка // Проблемы теории и практики управления. 2022. № 3. С. 183–198. ISSN 0234-4505.
2. Chevtaeva N., Kachanova E., Makhova N., Okuneva T. Adaptation or protest: evaluation of the employees sentiments under labour market transformation / В сб. : Lecture Notes in Information Systems and Organisation. 2nd. Сер. «Digital Transformation and New Challenges – Changes in Business and Society in the Digital Era» 2021. С. 201–212.
3. Чевтаева Н. Г., Ваторопин А. С. Диагностика настроения персонала в период временной потери занятости / Уральский региональный форум : сб. м-лов Всеросс. науч. интернет-конф. – В 2-х ч. / отв. ред. Т. Е. Зерчанинова. – Екатеринбург, 2022. С. 206–208.

4. Деханова Н. Г., Сушко В. А., Холоденко Ю. А. Социальный капитал как фактор формирования качества жизни // Социология. 2023. № 1. С. 86–96. ISSN 1812-9226.
5. Германов И. А., Маркова Ю. С., Безруков А. В. Роль организационной культуры и практик управления в развитии доверия в организациях: опыт российских и зарубежных исследований // Вестник Пермского университета. Философия. Психология. Социология. 2020. Вып. 4. С. 610–621. ISSN 2078-7898.
6. Пеша А. В. Атмосфера доверия как составляющая корпоративной культуры и ее влияние на организационную эффективность. URL: <http://naukovedenie.ru/PDF/100EVN217.pdf>. (дата обращения: 8.03.2023).
7. Гордеева С. С., Шарыпова С. Ю. Культурные факторы формирования доверия в организации: социологический анализ // Вестник Пермского университета. Философия. Психология. Социология. 2022. Вып. 3. С. 494–503. ISSN 2078-7898.
8. Шестопалова О. Н., Соколова К. А. Исследование вовлеченности персонала и влияние цифровизации на методы оценки настроения сотрудников / Проблемы управления человеческими ресурсами в условиях цифровой трансформации : сб. м-лов Всеросс. науч.-практ. конф. – Екатеринбург, 2022. С. 134–141.
9. Заварцева М. М. Структура и функции организационного доверия в предст авлении сотрудников // Национальный психологический журнал. 2016. № 2 (22). С. 94–104. ISSN 2079-6617.
10. Минина В. Н. Организационное доверие как неосязаемый актив компании: проблема измерения // Вестник Санкт-Петербургского университета. Менеджмент. 2012. № 2. С. 107–130. ISSN 1605-7953.
11. Дорофеева Л. И., Ермолова О. В. Доверие как фактор конкурентоспособности предприятия // Известия Саратовского университета. Новая серия. Серия : Экономика. Управление. Право. 2012. Т. 12. № 4. С. 3–8.
12. Дорофеев В. А. Системный взгляд на проблему доверия руководителю в организации // Азимут научных исследований: педагогика и психология. 2019. Т. 8. № 1 (26). С. 113–116. ISSN 2309-1754.
13. Гордеева С. С., Маркова Ю. С. Роль организационного доверия в обеспечении эффективности и продуктивности деятельности современной организации (опыт зарубежных исследований) // Вестник Пермского университета. Философия. Психология. Социология. 2021. Вып. 4. С. 654–661. ISSN 2078-7898.
14. Веселов Ю. В., Липатов А. А. Доверие в организации: методологические основания исследования в экономике, социологии и менеджменте // Российский журнал менеджмента. 2015. Т. 13. № 4. С. 85–104. ISSN 1729-7427.
15. Купрейченко А. Б. Психология доверия и недоверия. М. : Изд-во «Институт психологии РАН», 2008. 586 с. ISBN 978-5-9270-0126-2.
16. Окунева Т. В., Шестопалова О. Н. Культура труда работников как фактор реализации корпоративной стратегии управления транспортным предприятием // Вопросы управления. 2021. № 4. С. 137–150. ISSN 2304-3369.
17. Чевтаева Н. Г., Окунева Т. В. Вовлеченность сотрудников в управление как фактор повышения удовлетворенности работой // Вестник ЮУрГУ. Серия : «Социально-гуманитарные науки». 2023. Т. 23, № 1. С. 81–88. ISSN 1990-8466.
18. Шестопалова О. Н., Окунева Т. В. Комфорт как ценность современной культуры труда // Теория и практика современной науки : м-лы Всеросс. науч.-практ. конф., посвящ. 85-летию ДвГУПС. – М., 2022. С. 609–615.

References

1. Kachanova E. A., Chevtaeva N. G., Udartsev N. S. Global challenges for Russia's Socio-economic development: analysis and assessment // Problematic issues of theory and practice in management. [Global'nye vyzovy dlya sotsial'no-ehkonomicheskogo razvitiya Rossii: analiz i otsenka // Problemy teorii i praktiki upravleniya] 2022. № 3. Pp. 183–198. ISSN 0234-4505.
2. Chevtaeva N., Kachanova E., Makhova N., Okuneva T. Adaptation or protest: evaluation of the employees sentiments under labour market transformation / В сб. : Lecture Notes in Information Systems and Organisation. 2nd. Ser. «Digital Transformation and New Challenges – Changes in Business and Society in the Digital Era» 2021. P. 201–212.

3. Chevtayeva N. G., Vatoropin A. S. Diagnostics of employee sentiments during temporary loss of employment / Ural Regional Forum : collection of proceedings All-Russian scientific. Internet conference [Diagnostika nastroeniya personala v period vremennoj poteri zanyatosti / Ural'skij regional'nyj forum : sbornik materialov Vserossijskoj nauchnoj internet-konferentsii] – In 2 parts / ed. by T.E. Zerchaninov. – Yekaterinburg, 2022. Pp. 206–208.
4. Dekhanova N. G., Sushko V. A., Kholodenko Yu. A. Social capital as a factor in shaping life quality [Sotsial'nyj kapital kak faktor formirovaniya kachestva zhizni // Sotsiologiya.] // Sociology. 2023. № 1. Pp. 86–96. ISSN 1812-9226.
5. Germanov I. A., Markova Yu. S., Bezrukov A. V. The role of organizational culture and management practices in the development of trust in organizations: the experience of Russian and foreign research practices // News Bulletin of Perm University. Philosophy. Psychology. Sociology. [Rol' organizatsionnoj kul'tury i praktik upravleniya v razvitiu doveriya v organizatsiyakh: opyt rossijskikh i zarubezhnykh issledovanij // Vestnik Permskogo universiteta. Filosofiya. Psikhologiya. Sotsiologiya.] 2020. Issue 4. Pp. 610–621. ISSN 2078-7898.
6. Pesha A. V. The atmosphere of trust as a component of corporate culture and its effect on organizational efficiency. [Atmosfera doveriya kak sostavlyayushhaya korporativnoj kul'tury i ee vliyanie na organizatsionnyu ehffektivnost'.] URL: <http://naukovedenie.ru/PDF/100EVN217.pdf>. (accessed on: 8.03.2023).
7. Gordeeva S. S., Sharypova S. Yu. Cultural factors of building-up trust at an enterprise: a sociological analysis // News Bulletin of Perm University. Philosophy. Psychology. Sociology. [Kul'turnye faktory formirovaniya doveriya v organizatsii: sotsiologicheskij analiz // Vestnik Permskogo universiteta. Filosofiya. Psikhologiya. Sotsiologiya.] 2022. Issue 3. Pp. 494–503. ISSN 2078-7898.
8. Shestopalova O. N., Sokolova K. A. Research of personnel involvement and the effect of digitalization on methods of assessing employee sentiments / Problems of human resource management in the context of digital transformation : collection of materials of the All-Russian Scientific and Practical Conference [Issledovanie вовлеченности personala i vliyanie tsifrovizatsii na metody otsenki nastroeniya sotrudnikov / Problemy upravleniya chelovecheskimi resursami v usloviyakh tsifrovoj transformatsii : sbornik materialov Vserossijskoj nauchno-prakticheskoy konferentsii] –Yekaterinburg, 2022. Pp. 134–141.
9. Zavartseva M. M. The structure and functions of organizational trust in the бытвы of employees // National Psychological Magazine. [Struktura i funktsii organizatsionnogo doveriya v predstavleniyakh sotrudnikov // Natsional'nyj psikhologicheskij zhurnal.] 2016. № 2 (22). Pp. 94–104. ISSN 2079-6617.
10. Minina V. N. Organizational trust as an intangible asset of a company: the problem of measurement // News Bulletin of St. Petersburg University. Management. [Organizatsionnoe doverie kak neosyazaemyj aktiv kompanii: problema izmereniya // Vestnik Sankt-Peterburgskogo universiteta. Menedzhment.] 2012. № 2. Pp. 107–130. ISSN 1605-7953.
11. Dorofeeva L. I., Ermolova O. V. Trust as a factor of enterprise competitiveness // News Bulletin of Saratov University. New series. Series : Economics. Management. Law. [Doverie kak faktor konkurentosposobnosti predpriyatiya // Izvestiya Saratovskogo universiteta. Novaya seriya. Seriya : Ehkonomika. Upravlenie. Pravo.] 2012. Vol. 12. № 4. Pp. 3–8.
12. Dorofeev V. A. A systematic view on the problem of trust to a CEO at an enterprise // Azimut of scientific research: pedagogy and psychology. [Sistemnyj vzglyad na problemu doveriya rukovoditelju v organizatsii // Azimut nauchnykh issledovanij: pedagogika i psikhologiya.] 2019. VOL. 8. № 1 (26). Pp. 113–116. ISSN 2309-1754.
13. Gordeeva S. S., Markova Yu. S. The role of organizational trust in ensuring the efficiency and productivity of a modern enterprise (experience of foreign research studies) // News Bulletin of Perm University. Philosophy. Psychology. Sociology. [Rol' organizatsionnogo doveriya v obespechenii ehffektivnosti i produktivnosti deyatel'nosti sovremennoj organizatsii (opyt zarubezhnykh issledovanij) // Vestnik Permskogo universiteta. Filosofiya. Psikhologiya. Sotsiologiya.] 2021. Issue 4. Pp. 654–661. ISSN 2078-7898.
14. Veselov Yu. V., Lipatov A. A. Trust at an enterprise: methodological foundations of research in economics, sociology and management // Russian Journal of Management. [Doverie v organizatsii: metodologicheskie osnovaniya issledovaniya v ehkonomike, sotsiologii i menedzhmente // Rossijskij zhurnal menedzhmenta.] 2015. Vol. 13. № 4. Pp. 85–104. ISSN 1729-7427.

15. Kupreichenko A. B. Psychology of trust and distrust. [Psikhologiya doveriya i nedoveriya] M. : Publishing house «Institute of Psychology of the Russian Academy of Sciences», 2008. 586 p. ISBN 978-5-9270-0126-2.
16. Okuneva T. V., Shestopalova O. N. Labor culture of employees as a factor in implementation of the corporate strategy of transport enterprise management // Management issues. [Kul'tura truda rabotnikov kak faktor realizatsii korporativnoj strategii upravleniya transportnym predpriyatiem // Voprosy upravleniya.] 2021. № 4. Pp. 137–150. ISSN 2304-3369.
17. Chevtaeva N. G., Okuneva T. V. Employee involvement in management as a factor of increasing work satisfaction // News Bulletin of SUSU. Series : «Social and Humanitarian Sciences». [Vovlechnost' sotrudnikov v upravlenie kak faktor povysheniya udovletvorennosti rabotoj // Vestnik YuUGU. Seriya : «Sotsial'no-gumanitarnye nauki».] 2023. Vol. 23, № 1. Pp. 81–88. ISSN 1990-8466.
18. Shestopalova O. N., Okuneva T. V. Comfort as a value of modern labor culture // Theory and practice of modern science : proceedings of All-Russian Scientific-Practical Conference., dedicated to the 85th anniversary of FESTU. [Komfort kak tsennost' sovremennoj kul'tury truda // Teoriya i praktika sovremennoj nauki : materialy Vserossijskoj nauchno-prakticheskoy konferentsii, posvyashhennoj 85-letiyu DvGUPS.] – M., 2022. Pp. 609–615.

Статья сдана в редакцию 30 апреля 2023 года

Управление в технических системах

УДК 656.13

В. М. Курганов, М. В. Грязнов, А. Н. Дорофеев

Планирование и учет расхода автомобильного топлива в электронных путевых листах

UDC 656.13

V. M. Kurganov, M. V. Gryaznov, A. N. Dorofeev

Planning and accounting of automobile fuel consumption in electronic shipping manifests

Аннотация

Предложено расширить функциональные возможности электронных путевых листов, предусмотрев их использование для нормирования расхода топлива.

Разработан алгоритм работы программного обеспечения для решения задач планирования и учета расхода топлива при выполнении грузовых автомобильных

перевозок. Отмечено, что для целей налогообложения предписано применение норм, введенных в действие Минтранс России. Для их адаптации к конкретным условиям эксплуатации разработчиками норм рекомендовано более двадцати пяти поправочных коэффициентов к базовым нормам расхода топлива. Методика обоснования значений

коэффициентов отсутствует, они назначаются приказом руководителя предприятия.

Рассмотрены факторы, приводящие к колебаниям расхода топлива при работе на маршруте, из-за чего рекомендованные Минтранс России нормы не всегда в полной мере соответствуют реальной потребности в топливе для выполнения перевозок. В статье приведены результаты

Статья рекомендована к публикации Д. Г. Неволиным, д-ром техн. наук, профессором; Уральский государственный университет путей сообщения. E-mail: nevolin@usurt.ru.

Валерий Максимович Курганов, д-р техн. наук, профессор; кафедра «Экономика предприятия и менеджмент» Тверского государственного университета; член Комиссии (эксперт) Общественного совета Минтранса РФ; Тверь, Россия. E-mail: glavreds@gmail.com. ORCID 0000-0001-8494-2852.

Михаил Владимирович Грязнов, д-р техн. наук, доцент; кафедра «Логистика и управление транспортными системами» Магнитогорского государственного технического университета им. Г.И. Носова; член Комиссии (эксперт) Общественного совета Минтранса РФ; Магнитогорск, Россия. E-mail: gm-autolab@mail.ru. ORCID 0000-0003-3142-1089.

Алексей Николаевич Дорофеев, канд. техн. наук, доцент; кафедра «Финансовые технологии» Финансового университета при Правительстве РФ; Москва, Россия. E-mail: andorofeev@fa.ru. ORCID0000-0002-0689-8881.

© В. М. Курганов, М. В. Грязнов, А. Н. Дорофеев, 2023

The article is recommended for publishing by D. G. Nevolin, Doctor of Technology. sciences, professor; Ural State University of Railways. E-mail: nevolin@usurt.ru.

Valery Maksimovich Kurganov, Doctor of Technical Sciences, Professor; «Economics of Enterprise and Management» Department, Tver State University; Member of the Commission (expert) of Public Council of the Ministry of Transport of the Russian Federation; Tver, Russia. E-mail: glavreds@gmail.com . ORCID 0000-0001-8494-2852.

Mikhail Vladimirovich Gryaznov, Doctor of Technical Sciences, Associate Professor; «Logistics and Management of Transport Systems» Department of Magnitogorsk State Technical University named after G.I. Nosov; member of the Commission (expert) of Public Council of the Ministry of Transport of the Russian Federation; Magnitogorsk, Russia. E-mail: gm-autolab@mail.ru . ORCID 0000-0003-3142-1089.

Alexey Nikolaevich Dorofeev, Candidate of Technical Sciences, Associate Professor; «Financial Technologies» Department of Financial University under the Government of the Russian Federation; Moscow, Russia. E-mail: a.No.dorofeev@fa.ru . ORCID0000-0002-0689-8881.

© V. M. Kurganov, M. V. Gryaznov, A. N. Dorofeev, 2023

натурных наблюдений и сравнение фактического расхода и расчетных норм.

Проведен анализ подходов к нормированию топлива и показаны особенности использования для этой цели систем спутникового мониторинга работы автомобилей на линии. Даны рекомендации по проведению замеров расхода топлива и обоснованию поправочных коэффициентов к нормам Минтранса России. Рекомендовано создание специализированного программного модуля управления снижением расхода топлива в составе информационной системы автотранспортного предприятия.

Ключевые слова: автомобильный транспорт, расход топлива, электронный документооборот, нормирование.

DOI: 10.20291/2079-0392-2023-3-67-77

Abstract

It is proposed to expand the functionality of electronic shipping manifests, providing

their use for rationing fuel consumption.

An algorithm of the software for addressing the problematic issues of planning and accounting of fuel consumption in carrying out a road freight transportation has been developed. It is noted that for the purposes of taxation, the application of the standards put into effect by the Ministry of Transport of Russia is prescribed. In order to adapt them to specific operating conditions, the developers of the standards recommended more than twenty-five correction factors to the basic fuel consumption standards. There is no methodology for substantiating the values of the coefficients, as they are assigned by a CEO order of the enterprise.

The factors which lead to fluctuations in fuel consumption when operating on the route are considered, therefore the standards recommended by the Ministry of

Transport do not always fully correspond to the real demand in fuel for transportation. The article presents the results of field observations and comparison of the actual consumption and calculated norms.

The analysis of approaches to fuel rationing is carried out and the features of using satellite monitoring systems for the vehicles in operation for this purpose are shown. Recommendations on carrying out measurements of fuel consumption and justification of correction coefficients to the standards of the Ministry of Transport of Russia are given. It is recommended to create a specialized software module for controlling the reduction of fuel consumption as part of the information system of a motor transport enterprise.

Keywords: motor transport, fuel consumption, electronic document management, rationing.

DOI: 10.20291/2079-0392-2023-3-67-77

«Транспортная стратегия Российской Федерации до 2030 года» (2021 г.) констатирует низкий уровень цифровизации документооборота в транспортной отрасли. Поэтому федеральный закон* определил принципы перехода автомобильного транспорта на использование электронных перевозочных документов и создание соответствующей государственной системы. Его положения учитывали результаты эксперимента по оформлению путевого листа и транспортной накладной в электронном виде [1, 2].

Понимая, что эксперименты проводятся для отработки всех процедурных вопросов, программного обеспечения и форм электронных документов,

в будущем следует ожидать развернутого внедрения электронного документооборота при оформлении автомобильных перевозок. На первых этапах создания системы электронного документооборота водителю необходимо выдавать также бумажные версии электронных перевозочных документов.

Дальнейшим этапом развития информационных систем управления автомобильными перевозками, вероятно, будет расширение использования концепции «цифровых двойников» [3, 4]. Один из элементов концепции – процедура Process Mining, с помощью которой анализируются выполняемые персоналом бизнес-процессы в компании [5]. Особенно это важно применительно

* Устав автомобильного транспорта и городского наземного электрического транспорта. Федеральный закон от 8.11.2007 № 259-ФЗ.

к путевым листам, порядок выдачи которых водителям строго регламентирован [6]. Точно так же должен быть упорядочен и возврат путевых листов после выполнения задания на перевозку.

В целом это способствует более полному использованию возможностей электронных путевых листов и цифровых систем управления автотранспортными предприятиями для повышения эффективности их деятельности.

Главное отличие системы транспортного права в России от зарубежных состоит в том, что оформляется документ не только на перевозимый груз. На автомобиле, эксплуатируемые индивидуальными предпринимателями и юридическими лицами как для коммерческих перевозок грузов, так и в случае перевозок для собственных нужд, до выпуска на линию также обязательно оформляется специальный документ – путевой лист*.

Одна из важнейших функций путевого листа – обеспечение безопасности дорожного движения.

Перед выездом на линию проверяется техническое состояние автомобиля. Работа автомобилей на перевозке грузов разрешается только в том случае, если отсутствуют неисправности, при которых запрещается эксплуатация транспортных средств**.

Предрейсовый медицинский осмотр водителя обязателен, а в ряде случаев обязателен и послерейсовый, проведение которых также регулируется нормативно-правовыми документами***. Водитель допускается к работе только в том случае, если у него нет жалоб на самочувствие, а показатели температуры, давления и пульса находятся в пределах нормы, нет признаков

опьянения или употребления психоактивных веществ.

Контроль исправности автомобиля и проверка состояния здоровья водителя, о чем обязательно делается отметка в путевых листах, снижают вероятность дорожно-транспортных происшествий.

Перевозочные документы необходимы для контроля хозяйственной деятельности как перевозчиков, так и заказчиков транспортных услуг, в частности, в целях налогообложения. Поэтом налоговой службой утвержден формат электронного путевого листа****.

Путевой лист выполняет ряд других функций. Водитель подтверждает правомочность выдачи ему груза для перевозки, предъявляя водительское удостоверение и путевой лист, т.е. путевой лист используется в качестве доверенности на прием груза. Путевой лист может использоваться для подтверждения затрат на перевозку, если, например, грузовладелец перевозит груз принадлежащим ему подвижным составом, в связи с чем транспортная накладная на перевозку не оформляется, т.к. её заполнение требуется только при наличии договора перевозки. Поскольку грузовладелец, использующий собственный транспортное средство, не может заключить договор сам с собой, то транспортная накладная исключается из пакета сопроводительных документов.

Но функционал путевого листа может быть гораздо шире, чем только документальное подтверждение исправности автомобиля, состояния здоровья водителя, его права на прием груза к перевозке или обоснование затрат на транспортировку. Путевой лист в электронной форме имеет потенциал стать центральным планово-учетным

* Приказ Минтранса России № 390 от 28.09.2022 г. «Об утверждении состава сведений, указанных в части 3 статьи 6 Федерального закона от 8 ноября 2007 г. № 259-ФЗ «Устав автомобильного транспорта и городского наземного электрического транспорта», и порядка оформления или формирования путевых листов».

** Постановление Правительства Российской Федерации от 20.05.2022 № 916 «Об утверждении перечня неисправностей и условий, при которых запрещается эксплуатация самоходных машин и других видов техники».

*** Приказ Министерства здравоохранения РФ от 15 декабря 2014 г. № 835н «Об утверждении Порядка проведения предсменных, предрейсовых и послесменных, послерейсовых медицинских осмотров».

**** Об утверждении формата электронного путевого листа: приказ ФНС России от 17.02.2023 г. № ЕД-7-26/116.

документом информационной системы управления автотранспортным предприятием. Необходима трансформация электронного путевого листа из элемента безбумажного документооборота в программное средство расчета плановых показателей задания на перевозки и обработки фактических результатов выполненных рейсов. В этом случае он сконцентрирует в себе всю ключевую информацию, касающуюся планирования транспортной работы и учета результатов ее осуществления. Большое значение имеет планирование и учет расхода топлива на перевозки.

Доля затрат на топливо в себестоимости грузовых автомобильных перевозок колеблется для разных типов подвижного состава в зависимости от условий транспортной деятельности от 25 до 45 %, а в некоторых случаях даже превышает 50 %. На каждом отдельно взятом предприятии для разных категорий автомобилей структура себестоимости перевозок по видам затрат и доля затрат на топливо могут быть определены на основе объективного учета в рамках информационной системы управления деятельностью автотранспортной организации.

Учет и планирование – это две взаимосвязанные стороны процесса управления предприятием (рис. 1). Планирование задаёт количественные ориентиры, которых надо достичь, а учет оценивает степень приближения к ним. Плановые задания, по своей сути, имеют нормативное значение для исполнителей.

Поэтому первый шаг в управлении расходом топлива – установление нормы для выполнения запланированного сменного задания. Фактическая транспортная работа может отличаться от запланированной в силу разных обстоятельств. Например, грузоотправитель обеспечил готовность груза к перевозке в меньшем объеме; тогда необходимое количества топлива будет меньше, чем было рассчитано на этапе

планирования. А если, например, при работе на линии поменялся адрес доставки груза и пробег оказался больше запланированного, то потребуется и большее количество топлива. Поэтому следующий шаг – учет фактического расхода и сравнение его с количеством топлива, которое необходимо для выполнения фактической транспортной работы согласно утвержденным нормативам.

Завершающий этап управления снижением расхода топлива на выполнение транспортной работы состоит в стимулировании водителей. В случае соблюдения установленных норм и экономии топлива водителю выплачивается премия согласно «Положению о заработной плате и премировании», принятому на предприятии.

В условиях функционирования цифровой системы управления автомобильными перевозками плановое задание на перевозку грузов формируется в электронном путевом листе или приложении к нему.

В соответствующих графах электронного документа автоматически рассчитывается и вносится необходимое для выполнения задания количество топлива. При расчете учитывается остаток топлива в баке автомобиля при его возвращении в гараж после предыдущей смены и рассчитывается стоимость потребного количества топлива. Можно определить оптимальное место и время заправки на АЗС исходя из графика движения автомобиля по маршрутам.

Предлагаемый подход должен учитывать рекомендации Минтранса России относительно нормирования расхода топлива*. Дело в том, что расчет затрат на выполнение перевозок, существенную долю в которых занимает стоимость израсходованного топлива, необходим для определения размера налогооблагаемой прибыли. Поэтому, как требует федеральный закон, «расходы должны быть экономически

* О введении в действие методических рекомендаций «Нормы расхода топлив и смазочных материалов на автомобильном транспорте»: Распоряжение Минтранса России от 14.03.2008 № АМ-23-р.



Рис. 1. Планирование и учет расхода топлива в цифровой системе управления автомобильными перевозками

обоснованными»*. Подтверждением обоснованности, в частности, затрат на топливо, служит их соответствие утвержденным нормам. Действующим правовым документом прямо указано: «Расходы на топливо для автотранспортных средств включаются в состав материальных затрат в расходах по обычным видам деятельности в пределах норм, утверждаемых Минтрансом России, что указывается в учетной политике организации»**.

Для эксплуатируемых в России автомобилей отечественных и зарубежных производителей Минтранс рекомендует базовые нормы расхода топлива в расчете на 100 км пробега***. Чтобы можно было учесть многообразие условий

эксплуатации транспортных средств, в рекомендациях приводятся поправочные коэффициенты (более 25-ти) к базовым нормам. Конкретные значения коэффициентов назначаются приказом руководителя предприятия, т.к. в рекомендациях Минтранса определены только их предельные величины.

Согласно рекомендациям, планируемая величина расхода горючего для грузовых бортовых автомобилей, седельных тягачей, автомобилей-фургонов и автопоездов рассчитывается по формуле:

$$Q_n = 0,01(H_{san}S + H_w W) \times (1 + 0,01D), \quad (1)$$

где Q_n – нормативный расход топлива, л; S – пробег автомобиля или автопоезда,

* Налоговый кодекс Российской Федерации, ст. 252. Федеральный закон от 31 июля 1998 года № 146-ФЗ.

** Инструкция по учету доходов и расходов по обычным видам деятельности на автомобильном транспорте (утв. приказом Минтранса РФ от 24 июня 2003 г.), п. 40.

*** О введении в действие методических рекомендаций «Нормы расхода топлив и смазочных материалов на автомобильном транспорте». Распоряжение Минтранса России от 14.03.2008 № АМ-23-р.

км; H_{san} – норма расхода топлив на пробег автомобиля или автопоезда в снаряженном состоянии без груза; H_w – норма расхода топлив на транспортную работу, л/100 т · км; W – объем транспортной работы, т · км; D – поправочный коэффициент (суммарная алгебраическая относительная надбавка или снижение) к норме, %; S – пробег с грузом, км.

Норма расхода топлива на пробег автомобиля или автопоезда в снаряженном состоянии без груза рассчитывается по формуле:

$$H_{san} = H_s + H_g G_t, \text{ л/100 км,} \quad (2)$$

где H_s – базовая норма расхода топлива на пробег автомобиля (тягача) в снаряженном состоянии, л/100 км; H_g – норма расхода топлива на дополнительную массу прицепа или полуприцепа, л/100 т · км; G_t – собственная масса прицепа или полуприцепа, т.

Расхождение между фактическим расходом топлива и рассчитываемыми нормами может достигать заметных величин [7], причем как в большую, так и в меньшую стороны (рис. 2 и 3).

Такое расхождение вызвано тем, что в распоряжении Минтранса России отсутствует порядок обоснования



Рис. 2. Сравнение фактического и расчетного расхода дизельного топлива по парку автобусов ЛиАЗ-5256 МП «Маггортранс» на отдельных маршрутах в Магнитогорске, л/100 км [7]

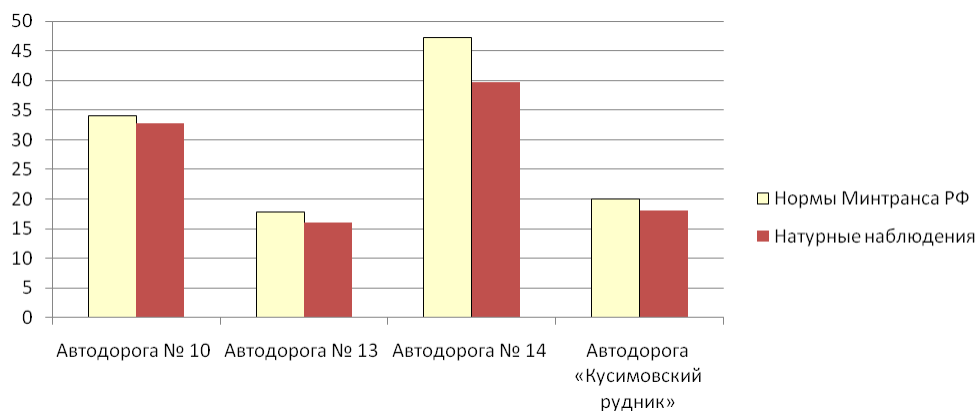


Рис. 3. Сравнение фактического и расчетного расхода дизельного топлива по парку самосвалов КамАЗ-55111 ЗАО «Южуралавтобан» (Магнитогорск) в течение месяца, тыс. л. Численность эксплуатируемого парка 36 ед. Условия работы: вне города, загрузка экскаватором в карьере, движение по грунтовым дорогам [7]

поправочных коэффициентов к базовым нормам расхода топлива. Поэтому конечный результат расчета эксплуатационных норм на основе базовых с применением поправочных коэффициентов не всегда отражает объективную потребность в топливе.

Практическая работа по нормированию расхода топлива на предприятиях вызывает определенные трудности. Обычно это работа возлагается на диспетчера, таксировщика или техника по ГСМ. После того как составлен план работы автомобиля и определены расстояния перевозок, этот специалист должен, руководствуясь рекомендациями Минтранса и располагая информацией об условиях предстоящей работы, рассчитать необходимое количество топлива и внести его в путевые листы. Эта работа должна быть выполнена за ограниченное время выпуска транспортных средств на линию.

После возвращения автомобиля с линии на место стоянки такие же расчеты надо выполнить снова. Сначала подводятся результаты работы автомобилей на линии (фактические пробеги, перевезенное количество груза, выполненные тонно-километры и фактически израсходованное топливо), далее рассчитывается, сколько топлива должно было бы быть израсходовано согласно нормам. Это нормативное количество топлива для фактически выполненных перевозок сравнивается с фактически израсходованным и рассчитывается экономия или перерасход.

Все эти расчеты несложные, но требуют внимания и кропотливости, полной информации о всех факторах, влияющих на расход топлива, чтобы учесть их с помощью многочисленных поправочных коэффициентов. Поэтому высока вероятность ошибок, некоторые из них носят типичный характер. Довольно часто поправочные коэффициенты не суммируют друг с другом, а последовательно умножают на них базовое значение нормы. В случае необходимости простоя автомобиля с работающим двигателем норма расхода топлива рассчитывается

в л/ч. Транспортная норма рассчитывается в л/100 км пробега, и у диспетчера может возникнуть затруднение, как считать норму расхода топлива на рабочий день. Нередко возникают ошибки при расчете нормы для самосвалов. Если самосвал перевозит груз только в одном направлении, а обратно едет без груза, то в формуле используется не базовая норма, а транспортная, учитывающая именно такой характер работы. Если же автомобиль загружается и в обратном направлении, то расчетная формула аналогична той, которая рекомендована для бортового автомобиля, но с поправкой, что собственная масса самосвала выше из-за наличия у него механизма подъема кузова.

Все эти проблемы решаются радикальным образом при внедрении на предприятии информационной системы управления перевозками и использованием электронного путевого листа, который представляет собой программное средство для расчета всех параметров транспортного процесса, в том числе и расхода топлива.

Во всем мире уделяется внимание применению информационных технологий для нормирования расхода топлива [8–10]. Стремление повысить обоснованность норм расхода топлива приводит к разработке предприятиями локальных (корпоративных) норм на основании анализа фактического расхода топлива. Однако налоговая инспекция, проверяя обоснованность расчета затрат при определении размера налогооблагаемой прибыли, обычно ориентируется на рекомендации Минтранса, выражая сомнения в правомочности корпоративных норм. Поэтому можно предложить результаты анализа фактического расхода топлива использовать для обоснования величин поправочных коэффициентов и последующего их утверждения приказом предприятия. Надо сравнить фактический расход топлива, измеренный при контроле соблюдения водителем всех требований по рациональному вождению и отсутствию технических неисправностей автомобиля,

с расчетным согласно рекомендациям Минтранса России.

Расхождение результатов покажет величину необходимой корректировки поправочных коэффициентов, а у налоговых инспекторов снизятся возможности предъявить претензии.

В практике деятельности автомобильных перевозчиков для расчета локальных (действующих в рамках одного предприятия) норм используются различные методы. Например, «по доливу из канистры» или контрольной заправкой полного бака автомобиля на АЗС. Поскольку в этих случаях замер пробега чаще всего проводится по одометру, то возможны погрешности при измерении расстояния от 2 до 10 %.

Повсеместно внедряются системы спутникового мониторинга, которые обеспечивают более точный замер расстояний по электронной карте и контроль соответствия фактической трассы движения автомобилей плановому маршруту. Примерная последовательность состоит в следующем.

На маршрутах перевозок выделяют контрольные участки (маршрутные модули), отличающиеся по имеющимся условиям работы автомобилей. Например, местонахождение участка дороги (в городе или вне города), тип дорожного покрытия (щебеночное или асфальтобетонное), состояние дорожного полотна (требующее ремонта или ровное, гладкое), плотность транспортного потока, наличие регулируемых и нерегулируемых перекрестков и т.д.

Чтобы получить нормы, надо рассчитать по контрольным участкам средние значения фактического расхода топлива разными водителями для одних и тех же марок автомобилей в течение некоторого периода. Для этого используется массив статистической информации о пробегах автомобилей, расходе топлива, собранный системой спутникового слежения. Рекомендуется проводить на контрольных участках до 20-30 замеров.

Контрольные замеры расхода топлива проводятся на исправных автомобилях, давление в шинах должно быть

в норме. Необходимо принять меры, чтобы водитель не пытался зависить расход топлива; выбор скоростного режима, стиля вождения и пользование установленным оборудованием должны полностью соответствовать условиям работы.

Средние значения фактического расхода топлива дадут ориентир для назначения норм. Их надо назначать для разных сезонов года (зимние и летние нормы), в зависимости от степени загрузки транспортных средств и с учетом пробега с начала эксплуатации (возраста автомобилей), динамики интенсивности транспортного потока, а также количества остановок на маршруте.

Необходимо соблюдать требования правовых документов по использованию для целей налогообложения норм, рекомендованных Минтрансом. Замеры фактического расхода топлива на контрольных участках служат обоснованием принимаемых предприятием значений поправочных коэффициентов к базовым нормам, утвержденным распоряжением Минтранса. Сами же эти нормы не изменяются, уточняются только поправочные коэффициенты.

При расчете корпоративных норм и составлении «Справочника», используемого при планировании работы автомобилей, занесении в электронный путевой лист планируемого расхода топлива и подсчете экономии (перерасхода) надо учитывать некоторые аспекты.

Даже при движении одного и того же автомобиля по одному и тому же маршруту в разные дни может фиксироваться разный расход топлива по объективным причинам. Например, заказчик заявил к перевозке одно количество груза, а предъявил больше. Сумма оплаты за фактически оказанную транспортную услугу увеличится, предприятие получит больший доход. Но расход топлива из-за более высокой нагрузки тоже возрастет, и водитель может не получить премию за экономию. Поэтому необходимо учитывать все условия выполнения перевозок при их планировании и анализе фактических результатов.

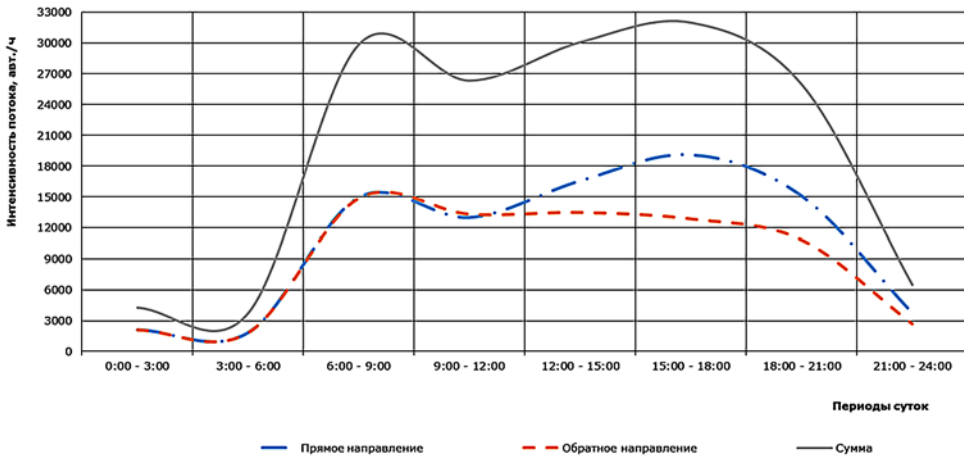


Рис. 4. Интенсивность транспортного потока по просп. Карла Маркса в будни*

Одной из причин различий в колебании расхода топлива при работе одного и того же автомобиля по одному и тому же маршруту могут быть колебания интенсивности транспортного потока в разные часы суток, от чего зависит скорость автомобиля в транспортном потоке (рис. 4).

Установлено, например, что для условий движения по этому проспекту интенсивность транспортного потока с 15.00 до 18.00 ч в прямом и обратном направлениях может различаться более чем на 25 %. Интенсивность транспортного потока, например, в прямом направлении в 17 ч (вечерний час пик) на 9 % выше, чем в 8 ч (утренний час пик) и на 27 % выше, чем в 10 ч (межпиковый период).

Расход топлива зависит и от характера задания: если на маршруте в какой-то из дней работы имеется много точек приема-сдачи груза, то средняя эксплуатационная скорость будет невысока, а расход топлива из-за этого возрастает. Такое же влияние оказывает и количество светофоров на маршруте.

Разные манеры вождения разными водителями или изменение стиля управления автомобилем одним и тем же водителем может увеличить

расход топлива до 20 % на том же самом маршруте. Важно, склонен ли водитель к агрессивной езде с частыми разгонами/торможениями, пользуется ли он возможностями движения по инерции на спусках «накатом» (на включенной передаче), правилен ли выбор передачи (пониженной или повышенной) по отношению к частоте оборотов коленчатого вала данного автомобиля.

Изменение аэродинамического сопротивления за счет попутного, бокового или встречного ветра, открытия окон, изменения места автомобиля при движении в колонне приводит к колебаниям расхода топлива. Например, за городом при скорости встречного ветра 5 м/с расход топлива возрастает до 10 %.

Есть и другие причины, например, различие в загрузке автомобиля, использование установленного оборудования (отопителя, кондиционера, автомагнитолы и др.). Включение кондиционера на максимальную мощность при движении с небольшой скоростью в городских условиях может увеличить расход топлива до 7 %.

Расход топлива возрастает при гололеде, из-за сопротивления качению при снеге или дожде, а также в случае

Проспект К. Маркса (г. Магнитогорск) относится к одной из основных транспортных магистралей города, протяженность 9,5 км, по три полосы для движения в каждом направлении. Под прямым направлением понимается движение с севера на юг [11].

повреждения или загрязнения дорожного покрытия.

Пониженное давление в шинах, нарушение параметров регулировок двигателя, загрязнение воздушного фильтра и износ деталей машин, ухудшение качества масла также увеличивают расход топлива. Мало кто из водителей регулярно контролирует давление в шинах, а его недостаточность может повысить расход топлива на два-три процента. Требуют специального рассмотрения ситуации, когда водитель в зимнее время не глушит двигатель в пунктах погрузки/разгрузки.

Низкое качество топлива на АЗС или откровенный недолив увеличивают расход топлива.

Некоторые работники автотранспортных предприятий с недоверием относятся к нормированию расхода топлива. Они считают, что подход к экономии топлива путем использования нормативов устарел, поскольку сейчас можно массово использовать датчики расхода топлива и датчики уровня топлива, позволяющие диспетчеру через спутниковые системы мониторинга в режиме реального времени контролировать расход топлива.

В теории менеджмента рассматриваются два способа контроля. Первый – это контроль процесса, когда управленческая структура отслеживает каждое действие управляемого объекта, чтобы реагировать на каждое неправильное действие. Можно этот способ назвать методом тотального контроля. Его особенность – трудоемкость и вытекающая отсюда дороговизна.

Второй способ контроля предусматривает сравнение полученного результата с тем значением, которое установлено управляемому объекту в качестве планового или норматива. Поскольку информация снимается в одной точке (после завершения процесса), то этот способ и не так трудоемок, и дешевле. Кроме того, частично контрольно-управленческие функции делегируются самому исполнителю. Зная, какой результат от него ожидается, он может

организовать свою деятельность самостоятельно и наиболее эффективным образом. У этого способа тоже есть недостатки, вытекающий из его преимущества. Контрольная информация поступает в систему управления только по завершении процесса, когда она уже не может вмешаться в реализованный процесс, чтобы его исправить.

Если рассматривать в целом, какой метод контроля предпочтителен, то в большинстве случаев контроль по результату имеет преимущество по отношению к контролю процесса.

Если соотнести оба способа контроля к задаче экономии топлива, то видно, что именно установление норм расхода отвечает методу контроля по результату. Перед выездом в рейс водителю рассчитывается необходимое для выполнения задания количество топлива (устанавливается норматив), а по возвращении из рейса проверяется, уложился он или нет в расчетное количество. Если имеются отклонения, то выясняются причины.

Анализ движения автомобиля (трека спутникового мониторинга) дает возможность установить, например, на каких участках маршрута действительно были пробки. На мониторе диспетчера видно, где и когда находился автомобиль, где, когда и как долго водитель стоял под разгрузкой или погрузкой, занимался вынужденным ремонтом, обедал или попал в заторовую ситуацию на дороге.

Если объективных причин для превышения расчетной потребности в топливе не было, то водителя, согласно разрабатываемому на транспортном предприятии «Положению об оплате труда», могут лишить части премии. Если водитель смог сэкономить топливо по отношению к рассчитанному нормативу, то ему может быть выплачена дополнительная премия.

Если установленного норматива нет, то при возвращении водителя из рейса диспетчер может проверить по диаграмме расхода топлива, нет ли в ней сведений о сливе. Если такой информации

в диаграмме нет, то и претензий к водителю предъявить не за что. Получается, что водитель не заинтересован в выборе кратчайшего пути следования по маршруту, сокращении времени работы двигателя на холостом ходу в пунктах погрузки/ разгрузки, освоении экономичного стиля вождения для снижения итогового количества израсходованного топлива.

Еще одно обстоятельство, показывающее преимущества контроля расхода топлива «по результату» в том, что датчики уровня топлива в баке и датчики расхода топлива, контролирующие движение топлива при работе на маршруте, не дают полной гарантии точности. Водители находят способы обмануть датчики и делятся ими друг с другом. Кроме того, далеко не все датчики имеют статус контрольно-измерительного прибора, в паспорте которого указана погрешность измерений и который регулярно подлежит поверке в государственном метрологическом органе. Важным остаётся вопрос, может ли полученная с помощью датчиков информация служить основанием для обоснования затрат на топливо при расчете налогооблагаемой прибыли, т.к. «Инструкция по учету доходов и расходов по обычным видам деятельности на автомобильном транспорте» прямо указывает необходимость учета затрат на топливо на основе норм Минтранса России.

1. Проводимая в нашей стране работа по внедрению электронных перевозочных документов имеет большое значение для повышения прозрачности транспортной и экономической деятельности в целом. Но использование электронных путевых листов как специализированного программного модуля в информационной системе

управления автотранспортным предприятием, в частности, для нормирования и учета расхода топлива уделяется недостаточное внимание.

2. Учет затрат на топливо в общем объеме затрат на выполнение грузовых автомобильных перевозок должен проводиться согласно действующим нормативно-правовым актам, в соответствии с рекомендациями Минтранса России. Проведенные исследования в различных условиях транспортной деятельности показали заметные отклонения фактического расхода от величин, рассчитанных с использованием этих рекомендаций, что может быть объяснено недостаточно обоснованным выбором поправочных коэффициентов к базовым нормам.

3. Обоснование и уточнение поправочных коэффициентов к базовым нормам расхода топлива должны проводиться на основе анализа фактического расхода топлива в имеющихся условиях эксплуатации путем проведения контрольных замеров, при которых необходимо обеспечить полное соответствие технического состояния автомобиля установленным требованиям и соблюдение рационального стиля вождения.

4. Предлагается контрольные замеры расхода топлива в городских условиях проводить отдельно для разных часов суток и направлений движения, чтобы можно было учесть разную интенсивность транспортных потоков и связанные с этим колебания скорости движения автомобилей.

5. Предпочтительно проводить контрольные замеры с использованием спутникового мониторинга движения автомобиля, дополняя контролем соблюдения водителем рационального стиля вождения. ■

Литература

1. Эксперимент по внедрению электронной транспортной накладной и электронного путевого листа в сфере автомобильного транспорта при перевозках пассажиров и грузов. URL: <http://e-perevozka.ru/> (дата обращения: 25.02.2023).
2. Голубчик А. М. Электронный документооборот на транспорте на современном этапе (отечественный и международный опыт) // Проблемы международной транспортной

- политики : Международн. конф., 27.04.2022; Московский автомобильно-дорожный государственный технический университет (МАДИ). – М., 2022. – С. 13–19.
3. Riss U. V., Maus H., Javaid S., Jilek C. Digital Twins of an Organization for Enterprise Modeling // Lecture Notes in Business Information Processing. Vol. 400. 2020. Pp. 25–40. ISBN 978-3-030-63479-7 (online).
 4. Ivanov D., Dolgui A., Das A., Sokolov B. Digital Supply Chain Twins: managing the ripple effect, resilience, and disruption by Data-Driven optimization, simulation, and visibility // Handbook of Ripple Effects in the Supply Chain. Vol. 276. – 2019. – Pp. 309–332.
 5. Воронова А. П., Заходякин Г. В. Применение технологии Process Mining в управлении цепями поставок // Логистика и управление цепями поставок. 2020. № 6 (10). С. 26–36.
 6. Kurganov V., Dorofeev A., Gryaznov M., Yakimov M. Process Mining as a means of improving the reliability of road freight transportations // Transportation Research Procedia. Vol. 54. – 2021. – Pp. 300–308.
 7. Курганов В. М., Грязнов М. В. Управление надежностью транспортных систем и процессов автомобильных перевозок : монография. Магнитогорск : МДП, 2013. – 318 с.
 8. Kurganov V., Gryaznov M., Dorofeev A. An ontology-driven approach for modeling TMS fuel consumption information subsystem / The 3rd International Conference on Information Processing and Control Engineering (ICIPCE 2019). Vol. 630. IOP Conf. Ser. : Mater. Sci. Eng. M., 2019.
 9. Курганов В. М., Дорофеев А. Н., Грязнов В. М. Нормирование расхода топлива с использованием информационных технологий // Вестник Сибирского государственного автомобильно-дорожного университета. – 2018. – Т. 15.– № 2 (60). – С. 237–248. ISSN 2071-7296.
 10. Yao Y. Vehicle fuel consumption prediction method based on driving behavior data collected from smartphones / Yao Y., Zhao X., Liu C., Rong J., Zhang Y., Dong Z., Su Y. // Journal of Advanced Transportation. Vol. 9263605, 2020. Pp. 1–11.
 11. Грязнов М. В. Результаты мониторинга организации дорожного движения по проспекту Карла Маркса г. Магнитогорска в таблицах и графиках : сб. / М. В. Грязнов, К. А. Давыдов, С. В. Колобанов, В. Н. Мукаев, [и др.] / под ред. д-ра техн. наук М. В. Грязнова. – 2017. – 350 с.

References

1. An experiment on introduction of an electronic bill of lading and electronic shipping manifest in the field of motor transport for passenger and cargo service. [Ehksperiment po vnedreniyu ehlektronnoj transportnoj nakladnoj i ehlektronnogo putevogo lista v sfere avtomobil'nogo transporta pri pere-vozkakh passazhirov i gruzov] URL: <http://e-perevozka.ru/> (accessed on: 25.02.2023).
2. Golubchik A. M. Electronic document management in transport at the present stage (domestic and international experience) // Problems of international transport policy : International Conference, [Ehlektronnyj dokumentooborot na transporte na sovremennom ehtape (otechestvennyj i mezhdunarodnyj opyt) // Problemy mezhdunarodnoj transportnoj politiki : Mezhdunarodnoj konferentsii] 27.04.2022; Moscow Automobile and Road Construction State Technical University (MADI). – М., 2022. – Pp. 13–19.
3. Riss U. V., Maus H., Javaid S., Jilek C. Digital Twins of an Organization for Enterprise Modeling // Lecture Notes in Business Information Processing. Vol. 400. 2020. Pp. 25–40. ISBN 978-3-030-63479-7 (online).
4. Ivanov D., Dolgui A., Das A., Sokolov B. Digital Supply Chain Twins: managing the ripple effect, resilience, and disruption by Data-Driven optimization, simulation, and visibility // Handbook of Ripple Effects in the Supply Chain. Vol. 276. – 2019. – Pp. 309–332.
5. Voronova A. P., Zahodyakin G. V. Application of Process Mining technology in supply chain management // Logistics and supply chain management. [Primenenie tekhnologii Process Mining v upravlenii tsepyami postavok // Logistika i upravlenie tsepyami postavok] 2020. No. 6 (10). Pp. 26–36.
6. Kurganov V., Dorofeev A., Gryaznov M., Yakimov M. Process Mining as a means of improving the reliability of road freight transportations // Transportation Research Procedia. Vol. 54. – 2021. – Pp. 300–308.
7. Kurganov V. M., Gryaznov M. V. Management of reliability of transport systems and processes of road transportation : monograph. [Upravlenie nadezhnost'yu transportnykh

- sistem i protsessov avtomobil'nykh perezovok : monografiya] Magnitogorsk : TIR, 2013. – 318 p.
8. Kurganov V., Gryaznov M., Dorofeev A. An ontology-driven approach for modeling TMS fuel consumption information subsystem / The 3rd International Conference on Information Processing and Control Engineering (ICIPCE 2019). Vol. 630. IOP Conf. Ser. : Mater. Sci. Eng. M., 2019.
 9. Kurganov V. M., Dorofeev A. N., Gryaznov V. M. Rationing of fuel consumption using information technologies // Bulletin of the Siberian State Automobile and Road Construction University. [Normirovanie raskhoda topliva s ispol'zovaniem informatsionnykh tekhnologij // Vestnik Sibirskogo gosudarstvennogo avtomobil'no-dorozhnogo universiteta] – 2018. – T. 15.– № 2 (60). – Pp. 237-248. ISSN 2071-7296.
 10. Yao Y. Vehicle fuel consumption prediction method based on driving behavior data collected from smartphones / Yao Y., Zhao X., Liu C., Rong J., Zhang Y., Dong Z., Su Y. // Journal of Advanced Transportation. Vol. 9263605, 2020. Pp. 1–11.
 11. Gryaznov M. V. The results of monitoring the traffic organization along Karl Marx Avenue in Magnitogorsk in charts and graphs [Rezultaty monitoringa organizatsii dorozhnogo dvizheniya po prospektu Karla Marksa g. Magnitogorska v tablitsakh i grafikakh]: col. / M. V. Gryaznov, K. A. Davydov, S. V. Kolobanov, V. N. Maskaev, [et al.] / edited by Dr. of Technical Sciences M. V. Gryaznov. – 2017. – 350 p.

Статья сдана в редакцию 17 апреля 2023 года

П. Ю. Иванов, Е. Ю. Дульский, Д. О. Емельянов

Реверсивный инжиниринг в исследовании элементов тормозных систем

P. Y. Ivanov, E. Y. Dulsky, D. O. Emelyanov

Reverse engineering in the study of brake system elements

Аннотация

В увеличении участковой и максимальной скоростей движения поездов большую роль играет тормозная эффективность. Торможение подвижного состава железных дорог напрямую зависит от успешной работы как механической и пневматической частей тормозной системы поезда. Надежность и эффективность тормозов подвижного состава обуславливают необходимость регулярного поиска новых научных подходов к изучению актуальных вопросов данной технической области. Сокращение тормозного пути, рост участковой скорости движения, увеличение рабочего ресурса расходных материалов – ключевые оценочные метрики решаемой

задачи, конечная цель которой – рост прибыли, надежности и безопасности в перевозочном процессе. Одним из новых цифровых подходов к изучению усталостных износов ключевых элементов тормозной сети поезда служит реверсивный инжиниринг (3D-сканирование). В ходе проведенного авторами исследования опробован метод реверсивного инжиниринга, объектом которого стала тормозная колодка железнодорожного подвижного состава.

Описана методика проведения испытания, в основе которой лежит новый подход к изучению элементов тормозных систем поезда. Результатом проведенного исследования стало получение авторами цифровой

3D-модели реальной тормозной колодки с некоторой степенью износа.

Ключевые слова: реверсивный инжиниринг, 3D-сканирование, метод, моделирование, тормозная эффективность, тормозная колодка, подвижной состав железных дорог, профилограмма, тормозной путь, износ.

DOI: 10.20291/2079-0392-2023-3-80-86

Abstract

Braking efficiency plays an essential role in increasing the local and maximum train speeds. Braking of railway rolling stock directly depends on successful operation of both mechanical and pneumatic parts of the train braking system. The reliability and efficiency of rolling stock

Статья рекомендована к публикации Д. С. Завалициным, канд. физ.-мат. наук, доцентом; Уральский государственный университет путей сообщения. E-mail: Zavalishin@usurt.ru.

Павел Юрьевич Иванов, канд. техн. наук, Иркутский государственный университет путей сообщения; г. Иркутск, Россия. E-mail: savIvanov@mail.ru. ORCID 0000-0001-6836-5928.

Евгений Юрьевич Дульский, канд. техн. наук, Иркутский государственный университет путей сообщения; г. Иркутск, Россия. E-mail: e.dulskiy@mail.ru. ORCID 0000-0002-6637-3104.

Денис Олегович Емельянов, аспирант, Иркутский государственный университет путей сообщения; г. Иркутск, Россия. E-mail: emelyanovdenis1995@mail.ru. ORCID 0000-0002-6467-6291.

© П. Ю. Иванов, Е. Ю. Дульский, Д. О. Емельянов, 2023

The article is recommended for publishing by D. S. Zavalishin, Candidate of Physical and Mathematical Sciences, Associate Professor; Ural State University of Railway Transport. E-mail: Zavalishin@usurt.ru.

Pavel Yuryevich Ivanov, Candidate of Technical Sciences, Irkutsk State Transport University; Irkutsk, Russia. E-mail: savIvanov@mail.ru. ORCID 0000-0001-6836-5928.

Evgeny Yuryevich Dulsky, Candidate of Technical Sciences, Irkutsk State Transport University; Irkutsk, Russia. E-mail: e.dulskiy@mail.ru. ORCID 0000-0002-6637-3104.

Denis Olegovich Yemelyanov, Post-graduate student, Irkutsk State Transport University; Irkutsk, Russia. E-mail: emelyanovdenis1995@mail.ru. ORCID 0000-0002-6467-6291.

© P. Y. Ivanov, E. Y. Dulsky, D. O. Emelyanov, 2023

brakes necessitate the regular search for new scientific approaches to the study of topical issues in this technical field. The reduction of the braking distance, growth of the local traffic speed, increase in the working resource of consumables are the key evaluation metrics of the task being solved, the ultimate goal of which is to increase profits, reliability and safety in the transportation process. One

of the new digital approaches to the study of fatigue wear of key elements of the train braking network is reverse engineering (3D scanning). In the course of the study conducted by the authors, the method of reverse engineering was tested, the object of which was the brake pad of the railway rolling stock.

The testing method is described, which is based on a new approach to the study

of elements of train braking systems. The result of the study was that the authors obtained a digital 3D model of a real brake pad with a certain degree of wear.

Keywords: reverse engineering, 3D scanning, method, modeling, braking efficiency, brake pad, railway rolling stock, profilogram, braking distance, wear.

DOI: 10.20291/2079-0392-2023-3-80-86

Проблемы увеличения тормозной эффективности железнодорожного подвижного состава неразрывно связаны с вопросами повышения безопасности перевозочного процесса и ростом экономических выгод от перевозок [1, 2]. В контексте рассматриваемого вопроса особое внимание необходимо уделить системе контактных взаимодействий «колодка-колесо», работа которой определяет не только качество тормозного нажатия, но и тормозную эффективность поезда в целом. Анализ качества и характеристики эксплуатируемых тормозных колодок представлены в [3].

Степень проработки вопросов контакта в системе «колодка-колесо» не позволяет объективно оценить и учесть многофакторность процесса трения и влияние этого процесса на эффективность торможения. Исследования трибологических процессов в системе «колодка-колесо» представлены в [4]; получены первые профилограммы тормозных колодок. В качестве метода получения профилограмм применялся натуральный графический перенос, когда на изношенную тормозную колодку накладывался лист бумаги, прижимался к рабочей поверхности колодки и по возникающим деформациям листа с помощью графитных стержней воссоздавался изношенный профиль колодки (рис. 1).

В первых опытах погрешности учету не поддавались (вероятно, из-за разной силы нажатия на колодки) [5]. В следующих испытаниях удалось установить

важные зависимости коэффициента трения от скорости, от силы нажатия, температуры и твердости материала [6, 7].

Испытательная установка для измерения трения установлена в опытной лаборатории им. Сарджента при Иллинойском университете, штат Иллинойс. (рис. 2). Она воспроизводит современные условия торможения поезда с любой нагрузкой на колесо и при скорости до 240 км/ч. Минимум нагрузки на колесо – 1800 кг, максимум – 18000 кг. Тормозные колодки могут быть прижаты

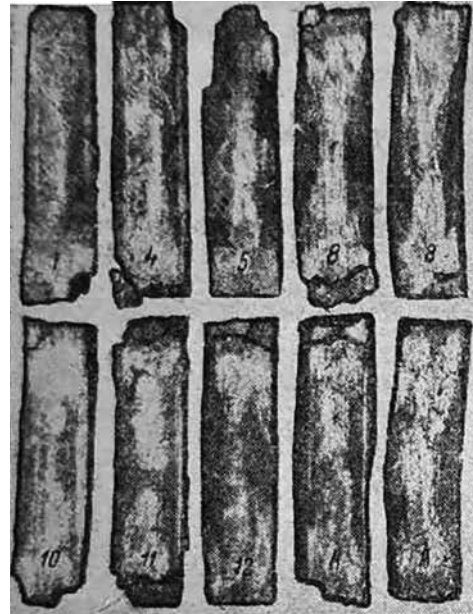


Рис. 1. Первые профилограммы тормозных колодок после опытов [4]

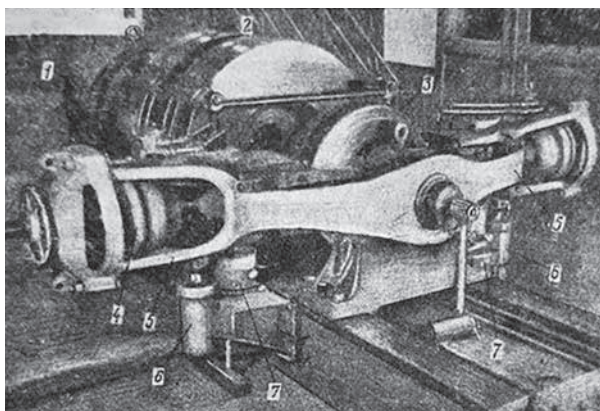


Рис. 2. Машина трения для испытания тормозных колодок [4]

к колесу вагона с максимальной силой 25000 кг. Измерительные приборы установлены в особой кабине управления машиной, они отмечают нажатия колодок и тангенциальные силы трения с точностью до 1 % [4].

Машина состоит из следующих частей: на общем валу, установленном на роликовых подшипниках, насажены вагонное колесо 3 и семь тяжелых неодинакового веса маховых дисков 2; на конце вала за дисками находится мотор 7. Диски заменяют собой часть массы вагона и груза, приходящуюся на одно колесо; вес этих дисков рассчитан так, что во время вращения вместе с колесом они дают величину, эквивалентную кинетической энергии поезда. Изменение нагрузки на колесо достигается выключением/включением требуемого числа маховых дисков. Благодаря различным весам последних можно получить 26 комбинаций нагрузок. При остановке мотора вал выключается автоматически при помощи особой муфты сцепления, и тогда колесо с нагрузкой вращается по инерции.

Две тормозные колодки, расположенные на диаметрально противоположных сторонах колеса, прижимаются к последнему цилиндрами 4, работающими сжатым воздухом. Тормозные колодки укреплены в специальные башмаки, снабженные месдозами для определения силы нажатия на них. Цилиндры и башмаки с колодками укреплены на

концах массивного коромысла 5, качающегося в центре на роликовых подшипниках на выступающем конце общего вала за пределами коренного подшипника. Для удержания коромысла 5 в горизонтальном положении под ним поставлены пружинные амортизаторы 6, а для измерения тангенциальных сил, развивающихся благодаря трению колодок, под каждым плечом коромысла помещены гидравлические месдозы 7, причем одна из них всегда находится в состоянии сжатия, а другая – растяжения. Месдозы выдерживают тангенциальные силы до 5500 кг при диаметре колеса около 850 мм и в состоянии выдержать двойную нагрузку. Машина снабжена самопишущими приборами измерения, работающими непрерывно во все время торможения. В диаграммных записях отмечаются силы нажатия каждой тормозной колодки, силы трения и длины тормозных путей. Величина силы трения определяется высотой диаграммы, а тормозной путь ее длиной. На диаграмме также отмечается величина замедления (миль/ч). Предусмотрены отдельные записи давления воздуха в отдельных цилиндрах для проверки нажатия колодок. Время отмечается на ленте интервалами (0,5 с). Имеются также два скоростемера: первый все время показывает скорость машины (оборот/мин), второй (чрезвычайно точный) действует, когда машина движется с определенной скоростью.

Эта машина, несмотря на все преимущества, не позволяет осуществлять многофакторную оценку ресурса тормозной колодки: температура в зоне контакта, шероховатость трущихся поверхностей, геометрическая форма, материал, влажность поверхностей и множество других остаются неучтенными. Для ресурсного прогноза такого узла трения необходим переход к цифровой модели, максимально приближенной по своим параметрам и характеристикам к реальному элементу.

Для решения проблемы невысокого ресурса тормозной колодки требуются исследования с использованием современных технологий, позволяющих максимально точно и приближенно воспроизводить виртуальные модели реальных объектов. Одной из таких технологий на данный момент является реверсивный инжиниринг (3D-сканирование).

Реверсивный инжиниринг (обратное проектирование, обратный инжиниринг) – разработка интерактивной виртуальной модели, полученной на базе образца изделия, изготовленного на специализированном промышленном оборудовании.

В качестве цели исследования обозначим получение модели реальной тормозной колодки по технологии реверсивного инжиниринга, особое внимание уделим рабочей поверхности полученной модели. Исходный образец – стандартная тормозная колодка с небольшой изношенностью рабочей поверхности (рис. 3).

На первом этапе необходимо настроить рабочее поле сканирования, откалибровать оборудование для высокоточного сканирования и минимального отклонения размеров интерактивной модели от реальной, провести световую корректировку (рис. 4). К сожалению,



Рис. 3. Исследуемый образец тормозной колодки

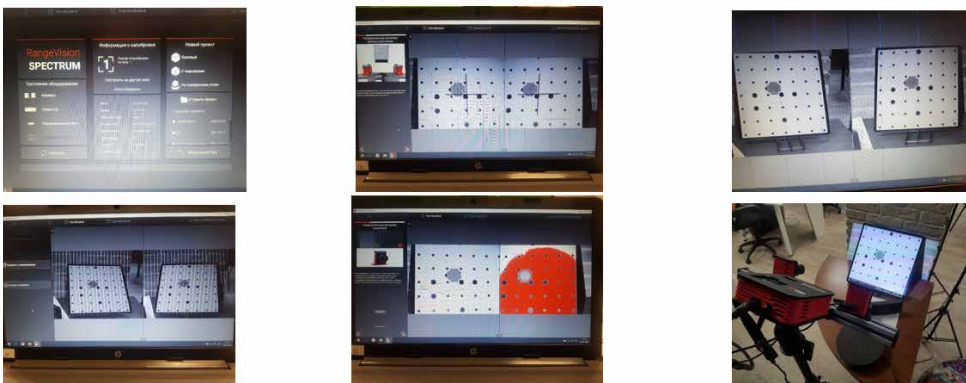


Рис. 4. Процесс калибровки и настройки оборудования

невозможно сканировать глянцевые, прозрачные и светоотражающие объекты. Результат успешной калибровки – фактическое отклонение точности не более чем на 0,1 мм.

Из возможных методов выберем стандартное ручное сканирование с ручным изменением положения детали в поле сканирования. Создадим группу сканов, изменяя положение объекта в поле сканирования. Особое внимание уделяем рабочей поверхности тормозной колодки.

В результате получаем предварительную виртуальную модель исследуемой тормозной колодки, обрабатываем ее (удаление фона и шумов), уточняем сложность модели и количество конечных элементов, заполняем пустоты и вручную производим итоговое формирование модели на основе обработанных сканов (рис. 5).

Получаем виртуальную модель реальной тормозной колодки с износом рабочей поверхности (рис. 6). С моделью

можно работать в различных программных комплексах (Blender, «Компас 3D», Polygon и др.). Степень детализации рабочей поверхности довольно высока. Конечно-элементная модель насчитывает более 5 млн элементов, а обработка детали в соответствующих программах позволяет выделить рабочую поверхность колодки, рассмотреть дефекты, шероховатость и микроскопические выработки, возникающие при прижатии колодки к колесу (рис. 7).

Рассмотрены основы, касающиеся исследования эффективности тормозных систем, а именно, вопросы контактного взаимодействия колодки с колесом, ресурса колодки и методы получения профилограмм тормозных колодок. Предложена технология реверсивного инжиниринга как метод получения высокоточных моделей реальных тормозных колодок.

С помощью предложенного метода реверсивного инжиниринга получены первые виртуальные модели



Рис. 5. Сканирование образца

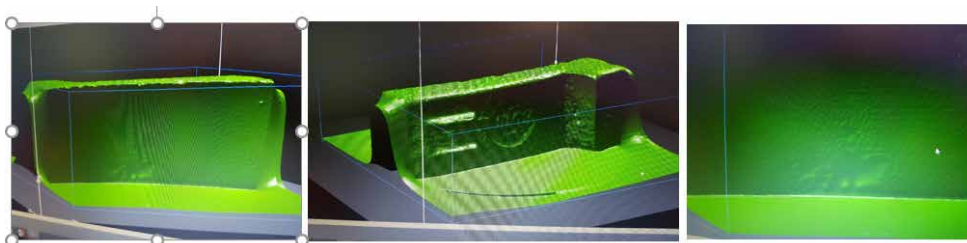


Рис. 6. Полученная интерактивная модель колодки

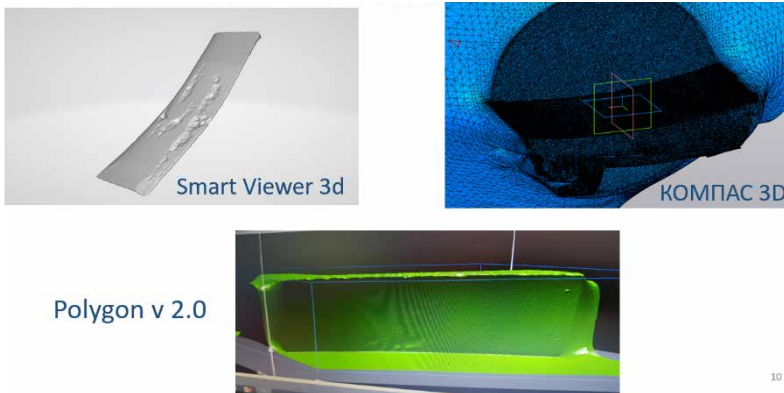


Рис. 7. Полученные модели в различных программных комплексах

изношенных тормозных колодок с высокой степенью детализации рабочей поверхности на основе реальных образцов. Преимущества рассмотренной технологии: высокая точность сканирования (0,1 мм при обращении к полученной модели и ее обработке), точная детализация получаемой модели (детализация модели достигает 5 млн полигонов), возможность обработки детали в различных программных комплексах (формат выходной модели .stl позволяет работать с моделью в комплексах «Компас», Blender, Inventor, Femap и др.), формат выходной модели дает возможность использовать полученную модель при расчете напряженно-деформированного состояния.

В результате проведенного исследования опробован и применен метод реверсивного инжиниринга к элементу тормозной системы поезда, тормозной колодке с некоторой степенью износа. Полученная модель реального образца позволяет тщательно исследовать поверхность трения тормозной колодки и изучать характер износа. Подтверждена возможность построения продольных и поперечных профилей тормозных колодок, что служит фундаментом в последующих ресурсных испытаниях, прогнозировании остаточного ресурса колодки и оценке характера трения в системе «колесо-тормозная колодка». ■

Литература

1. Дульский Е. Ю. Существующие способы управления тормозным нажатием пассажирского подвижного состава / Е. Ю. Дульский, А. А. Корсун, Д. О. Емельянов / Научные междисциплинарные исследования : сб. ст. XV Международн. научн.-практ. конф., Саратов, 10 июня 2021 года. – М. : КДУ, Добросвет, 2021. – С. 20–27.
2. Журавлев В. Ф. Механика к истории закона сухого трения // Доклады Академии наук. – 2010. – Т. 433. – № 1. – С. 46–47.
3. Иванов П. Ю. Существующие способы управления тормозным нажатием с повышенной эффективностью / П. Ю. Иванов, А. А. Корсун, Д. О. Емельянов / Научные междисциплинарные исследования : сб. ст. XV Международн. научн.-практ. конф., Саратов, 10 июня 2021 года. – М. : КДУ, Добросвет, 2021. – С. 28–36.
4. Карвацкий Б. Л. Общая теория автотормозов : учебное пособие. – М. : Трансжелдориздат. – 2-е изд., переиздание. и доп. – 1947. – 299 с.
5. Корсун А. А. Математическая модель работы тормозной системы поезда в процессе торможения с учетом динамики коэффициента трения колодки о колесо и сцепления с рельсом в компьютерной среде / А. А. Корсун, П. Ю. Иванов, С. П. Круглов // Вестник Ростовского государственного университета путей сообщения. – 2022. – № 2 (86). – С. 104–113. ISSN 0201-727X.

6. Попов Е. С. Анализ показателей качества колодок тормозных чугуновых и композиционных для железнодорожного подвижного состава / Е. С. Попов, О. И. Шинский // Литье и металлургия. – 2021. – № 1. – С. 27–37. ISSN 1683-6065.
7. Чебаков М. И. Моделирование контактного взаимодействия железнодорожного колеса и тормозной колодки с учетом износа, тепловыделения от трения и зависимости механических параметров от температуры / М. И. Чебаков, С. А. Данильченко, А. А. Ляпин // Известия высших учебных заведений. Северо-Кавказский регион. – Сер. : Естественные науки. – 2018. – № 4 (200). – С. 49–53. ISSN 2687-0770.

References

1. Dul'sky E. Yu. Existing methods of controlling the braking pressure of passenger rolling stock / E. Yu. Dul'sky, A. A. Korsun, D. O. Yemelyanov / Scientific interdisciplinary research : coll. of art. of XV International Scientific -Practical Conference, Saratov, June 10, 2021. [Sushhestvuyushhie sposoby upravleniya tormoznym nazhatiem passazhirskogo podvizhnogo sostava / E. YU. Dul'skij, A. A. Korsun, D. O. Emel'yanov / Nauchnye mezhdistsiplinarnye issledovaniya : sb. st XV Mezhdunarodn. nauchn.-prakt. konf., Saratov, 10 iyunya 2021 goda] – Moscow : KDU, Dobrosvet, 2021. – Pp. 20–27.
2. Zhuravlev V. F. Mechanics to the history of the law of dry friction // Reports of the Academy of Sciences. [Mekhanika k istorii zakona sukhogo treniya // Doklady Akademii nauk] – 2010. – Vol. 433. – No. 1. – Pp. 46–47.
3. Ivanov P. Yu. Existing methods of brake pressure control with increased efficiency / P. Yu. Ivanov, A. A. Korsun, D. O. Emelyanov / Scientific interdisciplinary research : collection of art. XV International Scientific-Practical Conference, Saratov, June 10, 2021. [Sushhestvuyushhie sposoby upravleniya tormoznym nazhatiem s povyshennoj ehffektivnost'yu / P. YU. Ivanov, A. A. Korsun, D. O. Emel'yanov / Nauchnye mezhdistsiplinarnye issledovaniya : sb. st. XV Mezhdunarodn. nauchn.-prakt. konf., Saratov, 10 iyunya 2021 goda] – M. : KDU, Dobrosvet, 2021. – Pp. 28–36.
4. Karvatsky B. L. General theory of auto brakes : textbook. – M. : Transzheldorizdat. – 2nd ed., reprinted and revised [Obshhaya teoriya avtotormozov : uchebnoe posobie. – M. : Transzheldorizdat. – 2-e izd., pereizdanie. i dop.] – 1947. – 299 p.
5. Korsun A. A. Mathematical model of the train braking system operation in the braking process taking into account the dynamics of the friction coefficient of the pad on the wheel and coupling with the rail in the computer environment / A. A. Korsun, P. Yu. Ivanov, S. P. Kruglov // News Bulletin of Rostov State Transport University. [Matematicheskaya model' raboty tormoznoj sistemy poezda v protsesse tormozheniya s uchedom dinamiki koehfftsienta treniya kolodki o koleso i stsepleniya s rel'som v komp'yuternoj srede / A. A. Korsun, P. YU. Ivanov, S. P. Kruglov // Vestnik Rostovskogo gosudarstvennogo universiteta putej soobshheniya] – 2022. – № 2 (86). – Pp. 104–113. ISSN 0201-727X.
6. Popov E. S. Analysis of quality indicators of cast iron and composite brake pads for railway rolling stock / E. S. Popov, O. I. Shinsky // Casting and metallurgy. [Analiz pokazatelej kachestva kolodok tormoznykh chugunnykh i kompozitsionnykh dlya zheleznodorozhnogo podvizhnogo sostava / E. S. Popov, O. I. SHinskij // Lit'e i metallurgiya] – 2021. – № 1. – Pp. 27–37. ISSN 1683-6065.
7. Chebakov M. I. Modeling of the contact interaction of a railway wheel and brake pad taking into account wear, heat release from friction and dependence of mechanical parameters on temperature / M. I. Chebakov, S. A. Danilchenko, A. A. Lyapin // News Bulletin of higher educational institutions. The North Caucasus region. [Modelirovanie kontaktnogo vzaimodejstviya zheleznodorozhnogo kolesa i tormoznoj kolodki s uchedom iznosa, teplovydeleniya ot treniya i zavisimosti mekhanicheskikh parametrov ot temperatury / M. I. CHEbakov, S. A. Danil'chenko, A. A. Lyapin // Izvestiya vysshikh uchebnykh zavedenij. Severo-Kavkazskij region] – Ser. : Natural Sciences. – 2018. – № 4 (200). – Pp. 49–53. ISSN 2687-0770.

Статья сдана в редакцию 24 ноября 2022 года

Механика машин и роботов

УДК 629.4.015

В. А. Николаев, В. А. Нехаев, А. Н. Смалев, К. О. Серяков

Повышение эффективности грузоперевозок на основе совершенствования механической части электровоза 2ЭС6

UDC 629.4.015

V. A. Nikolaev, V. A. Nekhaev, A. N. Smalev, K. O. Seryakov

Increasing efficiency of cargo transportation based on improvement of the electric locomotive 2ES6 mechanical part

Аннотация

Приведены ключевые проблемы железных дорог раскрыты причинно-следственные связи между динамическими характеристиками типовой схемы буксового подвешивания локомотива, особенностями подвешивания тягового двигателя и неисправностями узлов его механической части. Отражено

влияние свойств рессорного подвешивания электровоза на появление дефектов рельсов и колес.

Представлен краткий обзор основ теории инвариантности и применения метода принципа компенсации внешних возмущений для улучшения показателей динамических качеств локомотива.

Выполнено математическое моделирование колебаний системы «локомотив-путь» с типовой и модернизированной системами буксовой ступени рессорного подвешивания электровоза 2ЭС6, позволяющее оценить эффективность предлагаемого способа улучшения динамических качеств локомотива на основе

Статья рекомендована к публикации Д. С. Завалишиным, канд. физ.-мат. наук, доцентом; Уральский государственный университет путей сообщения. E-mail: Zavalishin@usurt.ru.

Виктор Александрович Николаев, д-р техн. наук, профессор; зав. кафедрой «Теоретическая и прикладная механика» Омского государственного университета путей сообщения; Омск, Россия. E-mail: nikolaevVA@omgups.ru. ORCID 0000-0002-5755-4413.

Виктор Алексеевич Нехаев, д-р техн. наук, профессор; кафедра «Теоретическая и прикладная механика» Омского государственного университета путей сообщения; Омск, Россия. E-mail: nehaevVA@omgups.ru. ORCID 0000-0001-6304-0112.

Александр Николаевич Смалев, канд. техн. наук, доцент; кафедра «Теоретическая и прикладная механика» Омского государственного университета путей сообщения; Омск, Россия. E-mail: SmalevAN@yandex.ru. ORCID 0009-0004-3915-9702.

Кирилл Олегович Серяков, аспирант; кафедра «Теоретическая и прикладная механика» Омского государственного университета путей сообщения; Омск, Россия. E-mail: kirillseryakov@gmail.com. ORCID 0009-0003-7553-4680.

© В. А. Николаев, В. А. Нехаев, А. Н. Смалев, К. О. Серяков, 2023

The article is recommended for publishing by D. S. Zavalishin, Candidate of Physical and Mathematical Sciences, Associate Professor; Ural State University of Railway Transport. E-mail: Zavalishin@usurt.ru.

Viktor Aleksandrovich Nikolaev, Doctor of Technical Sciences, Professor; Head of «Theoretical and Applied Mechanics» Department of Omsk State Transport University; Omsk, Russia. E-mail: nikolaevVA@omgups.ru. ORCID 0000-0002-5755-4413.

Viktor Alekseevich Nekhaev, Doctor of Technical Sciences, Professor; «Theoretical and Applied Mechanics» Department of Omsk State Transport University; Omsk, Russia. E-mail: nehaevVA@omgups.ru. ORCID 0000-0001-6304-0112.

Alexander Nikolaevich Smalev, Candidate of Technical Sciences, Associate Professor; «Theoretical and Applied Mechanics» Department of Omsk State Transport University; Omsk, Russia. E-mail: SmalevAN@yandex.ru. ORCID 0009-0004-3915-9702.

Kirill Olegovich Seryakov, Post-graduate student; «Theoretical and Applied Mechanics» Department of Omsk State Transport University; Omsk, Russia. E-mail: kirillseryakov@gmail.com. ORCID 0009-0003-7553-4680.

© V. A. Nikolaev, V. A. Nekhaev, A. N. Smalev, K. O. Seryakov, 2023

применения принципа компенсации внешних возмущений по сравнению с типовой схемой обрессоривания буксовой ступени электровоза 2ЭС6.

Для снижения динамических нагрузок в корпусе тягового электродвигателя и в опорах моторно-осевых подшипников, возникающих при горизонтальных колебаниях электровоза, предложено новое техническое решение, повышающее надежность моторно-осевых подшипников, узлов их крепления и корпуса тягового электродвигателя.

Ключевые слова: эффективность перевозочного процесса, износ бандажей колес, износ рельсов, рессорное подвешивание, математическое моделирование, случайное воздействие, динамические качества электровоза, нагруженность тягового электродвигателя.

DOI: 10.20291/2079-0392-2023-3-87-97

Abstract

The key problems of railways are presented, the cause-and-effect relationships between the dynamic characteristics of a typical scheme of a locomotive axle box suspension, the features of the traction engine suspension and malfunctions of its mechanical components are revealed. The impact of the properties of the spring suspension of the electric locomotive on emergence of defects in rails and wheels is reflected.

A brief overview of foundations of the theory of invariance and application of the compensation method of external disturbances to improve the indicators of locomotive dynamic qualities is presented.

Mathematical modeling of oscillations of the «locomotive-track» system with standard and upgraded systems of the axle box stage of the spring suspension of the 2ES6 electric locomotive has been performed, which makes

it possible to evaluate the effectiveness of the proposed method for improving the dynamic qualities of the locomotive based on application of compensation of external disturbances compared with the standard scheme of the box stage of the 2ES6 electric locomotive.

In order to reduce dynamic loads in the body of the traction motor and in the supports of motor-axial bearings arising from horizontal oscillations of the electric locomotive, a new technical solution has been proposed which increases the reliability of motor-axial bearings, their attachment points and the body of the traction motor.

Keywords: efficiency of a transportation process, wheel bandages wear, rail wear, spring suspension, mathematical modeling, accidental impact, dynamic qualities of an electric locomotive, traction motor load.

DOI: 10.20291/2079-0392-2023-3-87-97

Транссиб – это основной путь доставки из Кузбасса навалочных грузов к портам Дальнего Востока и Усть-Луи, но доля мирового грузооборота перевозимых по Транссибу контейнеров составляет всего 1 %.

Отечественным железным дорогам крайне важно повысить массу и скорость движения грузовых поездов для сокращения разрыва с зарубежными и внутренними конкурентами – грузовым автомобильным транспортом, Северным морским путем железными дорогами Республики Казахстан. Необходимо увеличить тяговые и динамические качества магистральных электровозов, обеспечивающих их надежную эксплуатацию и снижение количества неисправностей. Ключевые проблемы отечественных железных дорог: а) необходимость повышения

провозной и пропускной способностей и снижение эксплуатационных затрат на тягу поездов и ремонт инфраструктуры и б) недостаточный уровень надежности технических средств.

Решение первой проблемы связано с техническими, технологическими и управленческими проблемами, препятствующими росту конкурентоспособности и экономической эффективности работы железных дорог.

Вторая проблема создается самой железной дорогой в отношении безопасности эксплуатации технических средств, эксплуатационных расходов на тягу поездов, затрат на ремонт подвижного состава и пути, а также экологической нагрузки на окружающие территории. По мере повышения интенсивности эксплуатации железных дорог при наличии подвижного состава,

не отвечающего современным требованиям, эти риски развития будут только нарастать

Повышение плавности хода железнодорожного экипажа и сохранности перевозимых грузов обеспечивается снижением виброактивности источника возмущений за счет бесстыкового пути с рельсами тяжелых типов, уложенными на железобетонных шпалах и на стабилизированном щебеночном основании, устранением несовершенств колесных пар (эксцентриситетов, выщербин, ползунов и пр.). Бесстыковой путь уменьшает сопротивление движению поезда.

Решение этой задачи заключается в совершенствовании тяговых и динамических качеств магистральных локомотивов и улучшении показателей динамических качеств грузовых вагонов, что позволяет повысить нагрузку на ось и ходовую скорость поезда, способствует снижению эксплуатационных расходов на его тягу и затрат на содержание пути. Это связано с повышением эффективности виброзащитных свойств рессорного подвешивания подвижного состава в вертикальной и в горизонтальной плоскостях (рациональные значения параметров жесткости и демпфирования системы обрессоривания механической части). Здесь необходимо применение рессорного подвешивания магистральных локомотивов и тележек грузовых вагонов с увеличенным по сравнению с конструкциями прошлого века статическим прогибом.

При вождении тяжеловесных поездов сила тяги локомотива реализуется на близком к пределу сцепления

участке, что повышает вероятность срыва колесных пар на боксование, особенно при движении грузового поезда в кривых участках пути. Это происходит из-за увеличения угла набегания колеса на рельс вследствие параллелограммирования тележки из-за выбора зазоров в буксовых проемах, что увеличивает сопротивление состава движению поезда, а также при езде по влажным рельсам. Цвета побежалости на поверхности пробоксовин рельсов (дефект по коду № 14), расположенных на прямом участке пути после выхода поезда из кривой (рис. 1, а), указывают на высокие термомеханические нагрузки (свыше 320 °С в контакте колес и рельсов). Кроме того, поперечные светлые полосы свидетельствуют о предпосылке к развитию поперечных трещин, угрожающих изломом рельса (рис. 1, б). В 2022 г. из эксплуатации по коду № 14 изъято почти 6000 рельсов.

Эксплуатация грузовых локомотивов нового поколения 2ЭС6 вскрыла их недостатки: повышенная вибрация, значительный износ бандажей колес электровозов, обращающихся на пути с отличной и хорошей балльными оценками в определенном диапазоне скоростей, износ колесных пар и рельсов. В буксовой ступени рессорного подвешивания электровозов 2ЭС6 (в отличие от механической части электровозов ВЛ 10 и ВЛ 80) исключена листовая рессора с ее недостатками, но при этом статический прогиб этой буксовой ступени составляет всего 56 мм [1]. Корпус моторно-осевых роликовых подшипников, остова тягового двигателя и поводок с его

а)



б)



Рис. 1. Термомеханические повреждения головки рельса из-за боксования колес электровоза

тонкими упругими прокладками являются волноводом высокочастотной вибрации, которая негативно воздействует на работоспособность оборудования и снижает усталостную выносливость узлов тележки.

Одна из массовых неисправностей узлов механической части магистральных электровозов 2ЭС6 – появление трещин в бобышках крепления и корпусах моторно-осевых подшипников. Высокие динамические нагрузки вызывают и более серьезные дефекты, например, обрыв поводка маятниковой подвески ТЭД, что привело к большому количеству сходов вагонов с рельсов в поезде на ст. Любинская и значительным задержкам пассажирских и грузовых поездов.

Кроме того, вследствие значительной жесткости буксовой ступени обрессоривания и галопирования тягового двигателя (а у электровоза 2ЭС6 его масса равна 5 т) при движении колесной пары по неровностям пути возникает продольная (вдоль оси пути) составляющая силы инерции колесно-моторного блока, в результате чего возникает подергивание колесной пары, влияющее на реализацию силы тяги локомотива и служащее возможной причиной повышенного износа колесных пар.

Повышенный износ гребня и разные диаметры колес одной колесной пары свидетельствуют прежде всего о том, что

показатели динамических качеств подвижного состава не в полной мере отвечают современным требованиям. Причины, вызывающие появление усталостных трещин в опорных узлах моторно-осевых подшипников и повреждение колесных пар (рис. 2), – высокие динамические и термомеханические нагрузки, обусловленные движением колесной пары по неровностям пути с железобетонными шпалами с высоким модулем упругости и несовершенствами механической части локомотива. Все это увеличивает количество unplanned ремонтов локомотивов в депо, может вызвать и намного более серьезные неисправности.

По данным сервисного локомотивного депо ТЧЭ-2 Омск Западно-Сибирской железной дороги, с 2019-го по 2022-й гг. наибольшее количество обточек колесных пар вызвано износом гребня колеса, разницей диаметров колес по кругу катания и остроконечным накатом. Общее количество обточек колесных пар для локомотивов серии 2ЭС6 в 2022 г. по сравнению с 2021 г. возросло с 5146 до 6144 (19,39 %) при росте линейного пробега на 1,06 % (рис. 3).

Оптимальной жесткостью рессорного подвешивания экипажа при действии кинематического возмущения со стороны пути является наименьшая,

а)



б)



Рис. 2. Дефекты бандажа колесной пары электровозов 2ЭС6
а – усталостные трещины в опорных узлах моторно-осевых подшипников;
б – повреждение колесных пар

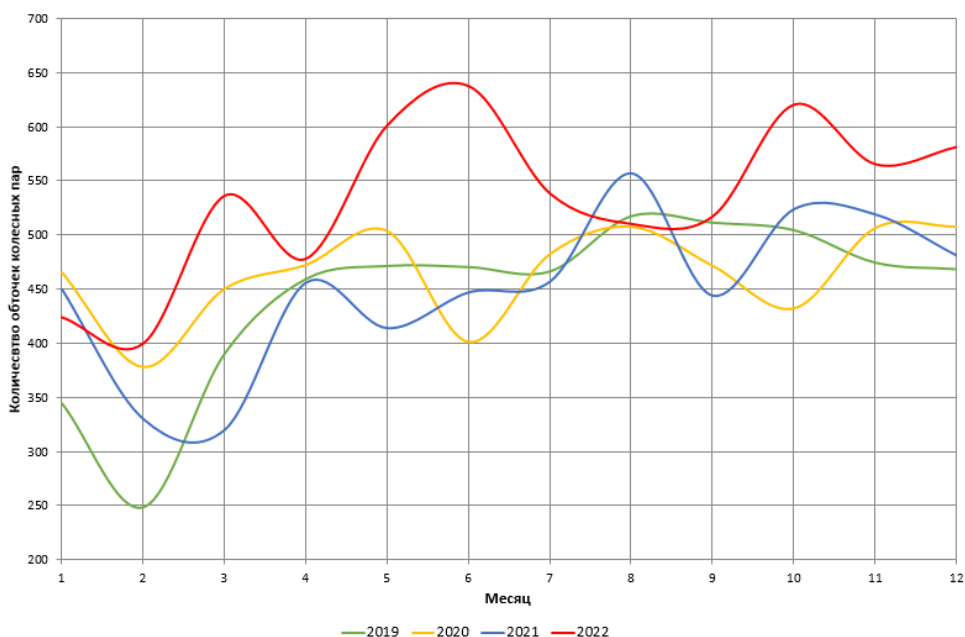


Рис. 3. Количество обточек колесных пар грузового парка локомотивов ТЧЭ-2 Омск по всем видам дефектов в 2019–2022 гг.

следовательно, для снижения уровня сил взаимодействия экипажа и пути необходимо увеличивать гибкость системы обрессоривания экипажа [2]. В тяжеловесном движении на грузовых локомотивах, где для реализации значительных сил тяги [3, 4] требуется соответствующий большой сцепной вес, обеспечение повышенной гибкости типовых винтовых пружин сжатия весьма затруднительно из-за габаритных ограничений. Статический прогиб буксовой ступени современных магистральных электровозов, как правило, не превышает 60 мм, что и служит причиной многих неисправностей механической части, прежде всего износа бандажей колес [5]. Для решения противоречивой проблемы обеспечения большой гибкости рессорного подвешивания при заданных габаритных ограничениях необходимы новые способы виброзащиты железнодорожных экипажей.

Для виброзащиты объектов используются системы, основанные на применении принципа компенсации внешних возмущений [6]. Основной

результат – условие независимости одной или нескольких координат объекта от внешних возмущений строго доказан [7] и составляет фундамент теории инвариантности. Согласно принципу двухканальности, выражающему критерий физической реализуемости условий для достижения инвариантности выходной координаты системы, необходимо иметь хотя бы два канала передачи воздействия между точкой приложения силы и той точкой, относительно координаты которой достигается инвариантность [8]. На основе принципа компенсации внешних возмущений можно обеспечить весьма малую, почти на порядок меньше, чем у типовой схемы виброизолятора, динамическую жесткость, что позволяет обеспечить эффективную защиту объекта от воздействия вибрации [9]. Для этого в типовую структурную схему буксовой ступени рессорного подвешивания вводится дополнительный упругий элемент, обладающий максимальным запасом потенциальной энергии в положении статического равновесия экипажа и формирующий при

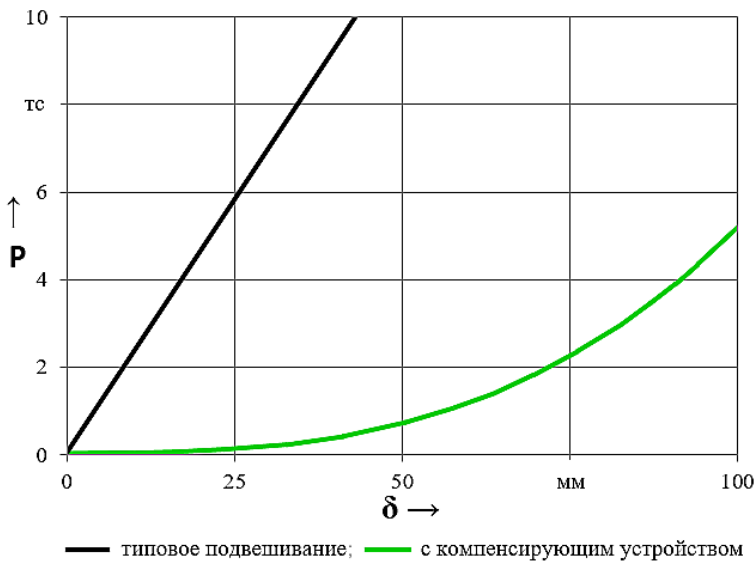


Рис. 4. Силовые характеристики систем обрессоривания буксовой ступени электровоза

наезде колеса на неровность пути компенсирующую силу Q_d , направленную встречно упругой силе пружин буксовой ступени. Силовые характеристики типовой схемы буксовой ступени обрессоривания и системы обрессоривания с компенсирующим устройством приведены на рис. 4.

Оценим влияние компенсирующего устройства на показатели динамических качеств такого модернизированного локомотива.

Поскольку в механической колебательной системе «экипаж-путь» возникают малые колебания с нулевым математическим ожиданием, то оценить колебательные процессы можно с помощью метода Винера – Хинчина [10], определяя среднеквадратические отклонения вертикальных ускорений узлов экипажа по формуле:

$$\sigma_z^2 = \int_{-\infty}^{\infty} S_z(\omega) d\omega. \quad (4)$$

Спектральная плотность обобщенной координаты системы $S_z(\omega)$ связана с аналогичной характеристикой случайного воздействия пути формулой:

$$S_z(\omega) = |W_z(j\omega)|^2 S_{\eta}(\omega), \quad (5)$$

где $|W_z(j\omega)|^2$ – квадрат модуля частотной передаточной функции системы (амплитудной частотной характеристики), определяющей ее свойства для выбранной обобщенной координаты x ; $S_{\eta}(\omega)$ – спектральная плотность возмущающего воздействия неровности пути, которая для пути на железобетонных шпалах приведена в работе [11].

Нелинейную силовую характеристику модернизированной буксовой ступени обрессоривания электровоза (см. рис. 4) заменим эквивалентной линейной, применяя метод статистической линеаризации [12].

Квадрат модуля передаточной функции соответствующей обобщенной координаты по неровности рельса найдем из системы дифференциальных уравнений, преобразуя все уравнения модели системы по Лапласу при нулевых начальных условиях.

Результаты сравнительной оценки динамических свойств типового и модернизированного путем возможной установки компенсирующих устройств на раме тележки над каждой буксой электровоза 2ЭС6 при его движении по пути со случайными неровностями

в зависимости от скорости движения представлены на рис. 5 и 6.

Из графика (рис. 5) видно, что по сравнению с типовой схемой рессорного подвешивания введение компенсирующего устройства в буксовую ступень обрессоривания электровоза также обеспечивает значительное уменьшение вертикальных ускорений кузова в диапазоне установленных скоростей

движения, что снижает виброн нагруженность аппаратуры и силового оборудования, уменьшает динамическую нагруженность рамы тележки и тягового двигателя. Большой эффективности можно достичь при сочетании предлагаемой схемы буксовой ступени рессорного подвешивания с компенсирующим устройством и опорно-рамного подвешивания тягового двигателя

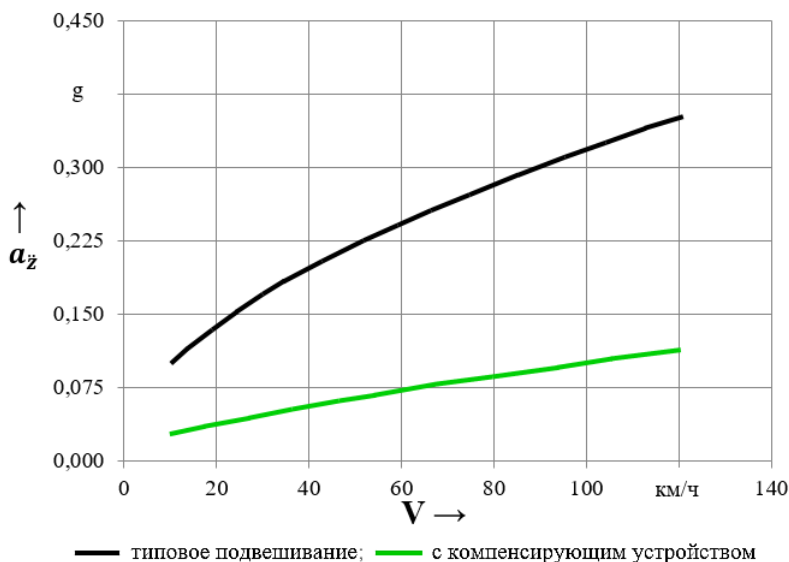


Рис. 5. Максимальные вертикальные ускорения кузова

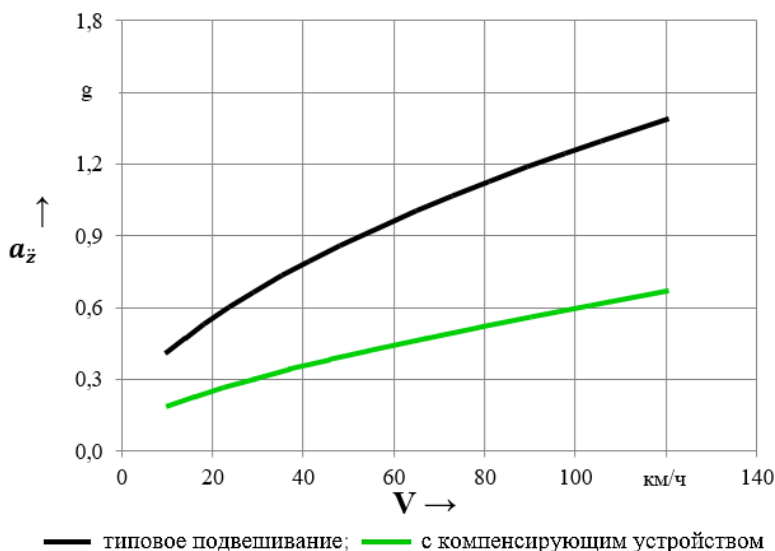


Рис. 6. Максимальные вертикальные ускорения тележки

грузовых магистральных локомотивов, а также при создании новой, основанной на этом способе схемы рессорного подвешивания тележки грузового вагона. В совокупности такие технические решения позволят значительно увеличить ходовую скорость грузовых поездов и провозную и пропускную способность участков.

Среднеквадратические отклонения давления колеса электровоза 2ЭС6 на рельс с типовым и предлагаемым подвешиванием в зависимости от скорости его движения приведены на рис. 7. Из него можно заключить, что применение компенсирующих устройств (второго канала передачи возмущения в системе обрессоривания экипажа) способствует стабилизации давления в контакте колеса с рельсом. Практически во всем диапазоне скоростей среднеквадратические отклонения давления колеса на рельс этого локомотива с новой системой подвешивания буксовой ступени меньше, чем у эксплуатируемого электровоза 2ЭС6 с типовой системой обрессоривания буксовой ступени. Например, на скорости $V = 90$ км/ч разброс P_{\max} меньше на 1,12 тс (для всего

электровоза – 8,96 тс), что способствует стабилизации силы тяги и снижению износа бандажей колес и рельсов, следовательно, уменьшению вероятности срыва на боксование. Таким образом, за счет снижения разброса давлений колеса локомотива на рельс, стабилизирующего силы взаимодействия в системе «колесо-рельс», возможно некоторое увеличение массы поезда.

Еще один способ модернизации системы подвешивания тягового электродвигателя – совершенствование узла крепления поводка ТЭД к раме тележки [13, 14]. При таком способе опорно-осевого подвешивания ТЭД поводок крепится к раме тележки не напрямую, а через промежуточную люлечную подвеску, установленную на подкрепленном косынками верхнем кронштейне рамы тележки. Такая люлечная подвеска предотвращает отклонение верхнего узла крепления поводка подвески от вертикали при горизонтальных колебаниях рамы тележки относительно колесной пары, что в результате снижает динамическую нагруженность поводка, корпуса остова тягового двигателя и узлов крепления его моторно-осевых

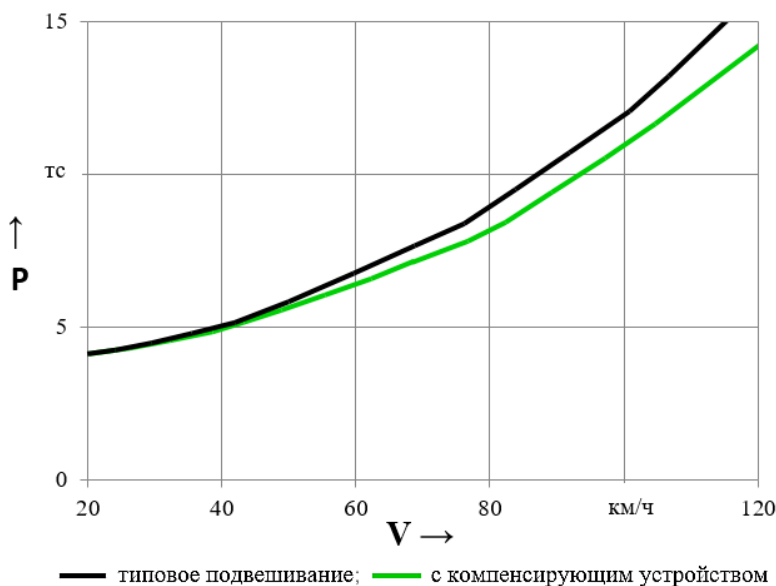


Рис. 7. Среднеквадратические отклонения давления колеса на рельс с типовым и компенсирующим устройством, тс

подшипников при горизонтальных колебаниях рамы тележки и кузова.

Выводы

Сформированы математические модели колебаний электровоза 2ЭС6 с типовой и модернизированной схемами буксовой ступени рессорного подвешивания, позволяющие оценить эффективность предлагаемого способа компенсации внешних возмущений путем сравнения показателей динамических качеств этих локомотивов. Установлено, например, что вертикальные виброускорения кузова электровоза с модернизированной

схемой буксовой ступени рессорного подвешивания на скорости 80 км/ч составляют 0,1 g, а электровоза с типовой схемой обрессоривания – 0,28 g.

Применение нового технического решения, направленного на совершенствование узла крепления поводка тягового электродвигателя к раме тележки, позволит уменьшить динамическую нагруженность поводка, корпуса остова тягового двигателя и узлов крепления его моторно-осевых подшипников при горизонтальных колебаниях рамы тележки и кузова, что также способствует улучшению эксплуатационных показателей локомотивного парка. ■

Литература

1. Волков А. Н. Устройство и ремонт электровоза 2ЭС6 «Синара». – М. : ФГБУ ДПО «Учебно-методический центр по образованию на железнодорожном транспорте», 2020. – 680 с. ISBN 978-5-907206-14-4.
2. Бирюков И. В. Механическая часть подвижного состава : учебник для вузов / И. В. Бирюков, А. Н. Савоськин, Г. П. Бурчак [и др.] ; под ред. И. В. Бирюкова. – М. : Транспорт, 1992. – 440 с. ISBN 5-277-01136-6.
3. Коссов В. С. Гармонизация параметров локомотивной тяги и инфра-структуры с точки зрения воздействия на скорости и веса поездов и оптимизации перевозочного процесса // Бюллетень Объединенного ученого совета ОАО РЖД. 2010. № 5. С. 15–22. ISSN 2304-9642.
4. Коссов В. С. Гармонизация параметров локомотивной тяги и инфра-структуры с точки зрения воздействия на скорости и веса поездов и оптимизации перевозочного процесса // Бюллетень Объединенного ученого совета ОАО РЖД. 2010. № 6. С. 3–6. ISSN 2304-9642.
5. Буйносов А. П. Методы повышения ресурса бандажей колесных пар тягового подвижного состава : монография. – М. : ГОУ «Учебно-методический центр по образованию на железнодорожном транспорте», 2010. – 224 с. ISBN 978-5-9994-0038-3.
6. Щипанов Г. В. Теория и методы построения автоматических регуляторов // Автоматика и телемеханика. 1939. № 1. С. 4–37.
7. Лузин Н. Н. К изучению матричной теории дифференциальных уравнений // Автоматика и телемеханика. – 1940. № 5. С. 4–66.
8. Петров Б. Н. О реализуемости условий инвариантности. – В кн. : Теория инвариантности и ее применение в автоматических системах // Труды 1-го Всесоюз. совещания по теории инвариантности, Киев, 16–20 окт. 1958 г. – М. : Изд – во АН СССР, 1959. С. 59–80.
9. Галиев И. И. Методы и средства виброзащиты железнодорожных экипажей / И. И. Галиев, В. А. Нехаев, В. А. Николаев. – М. : Учебно-методический центр по образованию на железнодорожном транспорте, 2010. – 340 с. ISBN 978-5-9994-0051-2.
10. Тихонов В. И. Статистическая радиотехника // М. : Радио и связь. – 1982. – 624 с.
11. Беляев А. И. Вероятностные характеристики стохастических колебаний колесной пары тепловоза 2ТЭ10Л / А. И. Беляев, В. К. Белов // Вестник ВНИИЖТ. – 1971. – № 1. – С. 36 – 40.
12. Бесекерский В. А. Теория систем автоматического управления / В. А. Бесекерский, Е. П. Попов. – СПб : Изд-во «Профессия», 2004. С. 667–678. ISBN 5-93913-035-6.
13. Николаев В. А. Анализ динамической нагруженности опор тягового электродвигателя электровозов серии 2ЭС6 / В. А. Николаев, В. А. Нехаев, К. О. Серяков // Наука и военная безопасность. – 2022. – № 3 (30). – С. 56–61. ISSN 2412-5326.
14. Патент № 2783908 С1 Российская Федерация, МПК В61С 9/50. Узел подвешивания тягового электродвигателя локомотива : № 2022110805 : заявл. 20.04.2022 : опубл.

21.11.2022 / В. А. Николаев, В. А. Нехаев, К. О. Серяков ; заявитель Федеральное государственное бюджетное образовательное учреждение высшего образования «Омский государственный университет путей сообщения».

References

1. Volkov A. N. The design and repair of 2ES6 electric locomotive «Sinara». – М. : FSBI APE «Educational and methodological center for education on railway transport», [Ustrojstvo i remont ehlektrovoza 2EHS6 «Sinara». – М. : FGBU DPO «Uchebno-metodicheskij tsentr po obrazovaniyu na zheleznodorozhnom transporte»] 2020. – 680 p. ISBN 978-5-907206-14-4.
2. Biryukov I. V. Mechanical part of rolling stock : textbook for universities / I. V. Biryukov, A. N. Savoskin, G. P. Burchak [et al.] ; edited by I. V. Biryukov. – М. : Transport, 1992. [Mekhanicheskaya chast' podvizhnogo sostava : uchebnik dlya vuzov / I. V. Biryukov, A. N. Savoskin, G. P. Burchak [i dr.] ; pod red. I. V. Biryukova. – М. : Transport, 1992] – 440 p. ISBN 5-277-01136-6
3. Kossov V. S. Harmonization of locomotive traction and infrastructure parameters from the point of view of the impact on the speed and weight of trains and optimization of the transportation process // News Bulletin of the Joint Scientific Council of JSC «Russian Railways». [Garmonizatsiya parametrov lokomotivnoj tyagi i infra-struktury s tochki zreniya vozdejstviya na skorosti i vesa poezdov i optimizatsii perevozhnogo protsessa // Byulleten' Ob'edinennogo uchenogo soveta OAO RZhD] 2010. № 5. Pp. 15–22. ISSN 2304-9642.
4. Kossov V. S. Harmonization of locomotive traction and infrastructure parameters from the point of view of the impact on the speed and weight of trains and optimization of the transportation process // News Bulletin of the Joint Scientific Council of JSC «Russian Railways». [Garmonizatsiya parametrov lokomotivnoj tyagi i infra-struktury s tochki zreniya vozdejstviya na skorosti i vesa poezdov i optimizatsii perevozhnogo protsessa // Byulleten' Ob'edinennogo uchenogo soveta OAO RZhD] 2010. № 6. Pp. 3–6. ISSN 2304-9642.
5. Buynosov A. P. Methods of increasing the resource of wheelset braces of traction rolling stock : monograph. – М. : State Educational Institution «Educational and Methodological Center for Education in Railway Transport», 2010. [Metody povysheniya resursa bandazhej kolesnykh par tyagovogo podvizhnogo sostava : monografiya. – М. : GOU «Uchebno-metodicheskij tsentr po obrazovaniyu na zheleznodorozhnom transporte»] – 224 p. ISBN 978-5-9994-0038-3.
6. Shchipanov G. V. Theory and methods of construction of automatic regulators // Automation and telemekhanics. [Teoriya i metody postroeniya avtomaticheskikh regulyatorov // Avtomatika i telemekhanika] 1939. № 1. Pp. 4–37.
7. Luzin N. N. On the study of the matrix theory of differential equations // Automation and telemekhanics. [K izucheniyu matrichnoj teorii differentsial'nykh uravnenij // Avtomatika i telemekhanika] – 1940. № 5. Pp. 4–66.
8. Petrov B. N. Regarding realizability of invariance conditions. – In the book. : Theory of invariance and its application in automatic systems // Proceedings of the 1st All-Union Meeting on the Theory of Invariance, [O realizuemosti uslovij invariantnosti. – V kn. : Teoriya invariantnosti i ee primenenie v avtomaticheskikh sistemakh // Trudy 1-go Vsesoyuznogo soveshchaniya po teorii invariantnosti] Kiev, October 16–20, 1958 – Moscow : Publishing House of the USSR Academy of Sciences, 1959. Pp. 59–80.
9. Galiev I. I. Methods and means of vibration protection of train crews / I. I. Galiev, V. A. Nekhaev, V. A. Nikolaev. – М. : Educational and Methodological Center for Education in Railway Transport, [Metody i sredstva vibrozashhity zheleznodorozhnykh ehkipazhej / I. I. Galiev, V. A. Nekhaev, V. A. Nikolaev. – М.: Uchebno-metodicheskij tsentr po obrazovaniyu na zheleznodorozhnom transporte] 2010. – 340 p. ISBN 978-5-9994-0051-2.
10. Tikhonov V. I. Statistical radio engineering // М. : Radio and Communications. [Statisticheskaya radiotekhnika // М. : Radio i svyaz'] –1982. – 624 p.
11. Belyaev A. I. Probabilistic characteristics of stochastic oscillations of the 2TE10L diesel locomotive wheelset / A. I. Belyaev, V. K. Belov // News Bulletin of VNIIZHT. [Veroyatnostnye kharakteristiki stokhasticheskikh kolebanij kolesnoj pary teplovoza 2TEH10L / A. I. Belyaev, V. K. Belov // Vestnik VNIIZHT] – 1971. – № 1. – Pp. 36–40.
12. Besekersky V. A. Theory of automatic control systems / V. A. Besekersky, E. P. Popov. – St. Petersburg : Publishing house «Professiya» (profession), [Teoriya sistem avtomaticheskogo

- upravleniya / V. A. Besekerskij, E. P. Popov. – SPb : Izd-vo «Professiya»] 2004. Pp. 667–678. ISBN 5-93913-035-6.
13. Nikolaev V. A. Analysis of dynamic loading of traction engine supports of electric locomotives of the 2ES6 series / V. A. Nikolaev, V. A. Nekhaev, K. O. Seryakov // Science and military security. [Analiz dinamicheskoy nagruzhennosti opor tyagovogo ehlektrodivigatelya ehlektrovozov serii 2EHS6 / V. A. Nikolaev, V. A. Nekhaev, K. O. Seryakov // Nauka i voennaya bezopasnost'] – 2022. – № 3 (30). – Pp. 56–61. ISSN 2412-5326.
 14. Patent No. 2783908 C1 Russian Federation, IPC B61C 9/50. The suspension unit of a locomotive traction engine : No. 2022110805 : application 20.04.2022 : publ. 21.11.2022 / V. A. Nikolaev, V. A. Nekhaev, K. O. Seryakov ; applicant: Federal State Budgetary Educational Institution of Higher Education «Omsk State Transport University». [Patent № 2783908 C1 Rossijskaya Federatsiya, MPK B61C 9/50. Uzel podveshivaniya tyagovogo ehlektrodivigatelya lokomotiva : № 2022110805 : zayavl. 20.04.2022 : opubl. 21.11.2022 / V. A. Nikolaev, V. A. Nekhaev, K. O. Seryakov ; zayavitel' Federal'noe gosudarstvennoe byudzhetnoe obrazovatel'noe uchrezhdenie vysshego obrazovaniya «Omskij gosudarstvennyj universitet putej soobshheniya»].

Статья сдана в редакцию 27 июня 2023 года

Организация и логистика

УДК [656.078.1:502.131.1]:519.87

Н. А. Осинцев, А. В. Цыганов, А. Н. Рахмангулов

Математическая модель оптимизации комплекса инструментов «зелёной» логистики

UDC [656.078.1:502.131.1]:519.87

N. A. Osintsev, A. V. Tsyganov, A. N. Rakhmangulov

Mathematical model for optimization of a range of tools for «green» logistics

Аннотация

Управление «зелёными» цепями поставок предусматривает разработку и реализацию экологических решений. Особое значение приобретает задача их обоснования и оценки при ограниченных ресурсах для их реализации. Для обозначения совокупности экологических решений в настоящей работе используется обобщённое понятие

«инструменты «зелёной» логистики». Описан выбор оптимальных инструментов «зелёной» логистики для реализации материальных, финансовых, информационных ресурсов и услуг в элементах логистической системы. Представлена методика комбинирования линейного программирования и многокритериальных методов принятия решений (MCDM).

Сформирована система инструментов «зелёной» логистики для стандартных шести элементов логистической системы. Представлены результаты расчётов значительных весовых коэффициентов для инструментов и логистических элементов. Расчёты весовых коэффициентов выполнены с использованием разработанной MCDM-модели, построенной путём

Статья рекомендована к публикации С. Н. Корниловым, д-ром техн. наук, профессором, МГТУ им. Г. И. Носова. E-mail: kornilov_sn@mail.ru.

Никита Анатольевич Осинцев, канд. техн. наук, доцент кафедры «Логистика и управление транспортными системами» ФГБОУ ВО «Магнитогорский государственный технический университет им. Г. И. Носова». Магнитогорск, Россия. E-mail: osintsev@magtu.ru. ORCID 0000-0003-1168-6725

Александр Владимирович Цыганов, канд. техн. наук, доцент кафедры «Логистика и управление транспортными системами» ФГБОУ ВО «Магнитогорский государственный технический университет им. Г. И. Носова». Магнитогорск, Россия. E-mail: tsyganov.alek@gmail.com. ORCID 0000-0002-8857-6287

Александр Нельевич Рахмангулов, д-р техн. наук, профессор кафедры «Логистика и управление транспортными системами» ФГБОУ ВО «Магнитогорский государственный технический университет им. Г. И. Носова». Магнитогорск, Россия. E-mail: ran@magtu.ru. ORCID 0000-0002-6419-2561

© Н. А. Осинцев, А. В. Цыганов, А. Н. Рахмангулов, 2023

Исследование выполнено за счет гранта Российского научного фонда, № 23-21-10038.

The article is recommended for publishing by S. N. Kornilov, Doctor of Technical Sciences, Professor, NMSTU. E-mail: kornilov_sn@mail.ru.

Nikita Anatolyevich Osintsev, Candidate of Technical Sciences, Associate Professor of «Logistics and Transport Management Systems» Department, Nosov Magnitogorsk State Technical University. Magnitogorsk, Russia. E-mail: osintsev@magtu.ru. ORCID 0000-0003-1168-6725

Alexandr Vladimirovich Tsyganov, Candidate of Technical Sciences, Associate Professor of «Logistics and Transport Management Systems» Department, Nosov Magnitogorsk State Technical University. Magnitogorsk, Russia. E-mail: tsyganov.alek@gmail.com. ORCID 0000-0002-8857-6287

Alexandr Nelevich Rakhmangulov, Doctor of Technical Sciences, Professor of «Logistics and Transport Management Systems» Department, Nosov Magnitogorsk State Technical University. Magnitogorsk, Russia. E-mail: ran@magtu.ru. ORCID 0000-0002-6419-2561

© N. A. Osintsev, A. V. Tsyganov, A. N. Rakhmangulov, 2023

This research study was carried out funded by the grant from the Russian Science Foundation, No. 23-21-10038.

комбинирования DEMATEL и MARCOS мультикритериальных методов. Получены зависимости величины эффективности инструментов «зелёной» логистики от изменения доступных логистических ресурсов. Показано, что перераспределение логистических ресурсов на реализацию различных инструментов «зелёной» логистики в пределах 7,5–15 % позволяет достигнуть максимального эффекта от реализации этих инструментов в логистической системе или цепи поставок. Представлен расчётный пример выбора из 105 инструментов «зелёной» логистики для шести логистических элементов.

Ключевые слова: зелёная логистика, инструменты «зелёной» логистики, математическая модель, методы многокритериального анализа, цепь поставок, логистическая система, ресурсы, DEMATEL, MARCOS.

DOI: 10.20291/2079-0392-2023-3-98-112

Abstract

«Green» supply chain management involves development and implementation of environmental solutions. The objective of their substantiation and evaluation under conditions of limited resources for their implementation is of particular importance. In order to highlight a whole complex of environmental solutions, the generalized concept of «green» logistics tools is used in this research paper. The selection of optimal «green» logistics tools for implementation of material, financial, information resources and services in the elements of a logistics system is described. A technique for combining linear programming and multi-criteria decision-making methods (MCDM) is presented. A system of «green» logistics tools has been formed for the six standard elements of a logistics system. The calculation results of the values of weight coefficients for tools and lo-

gistics elements are provided. The calculations of the weight coefficients were made using the developed CDM model constructed by combining DEMATEL and MARCOS multi-criteria methods. The dependencies of the efficiency of «green» logistics tools on changes in available logistics resources are obtained. It is illustrated that the redistribution of logistics resources for implementation of various «green» logistics tools in the range of 7,5–15 % allows achieving the maximum effect from implementation of these tools in a logistics system or supply chain. A calculated example of a choice of 105 «green» logistics tools for six logistics elements is given in the article.

Keywords: green logistics, «green» logistics tools, mathematical model, multi-criteria analysis methods, supply chain, logistics system, resources, DEMATEL, MARCOS.

DOI: 10.20291/2079-0392-2023-3-98-112

Концепция устойчивого развития (Sustainable development) меняет взгляды и подходы к управлению цепями поставок; теперь политика благосостояния людей и защита окружающей среды являются неотъемлемой частью управления цепями поставок [1, 2].

Исследования в области «зелёного» (или устойчивого) управления цепями поставок (ЗУЦП) показали, что очень важна проблема выбора и реализации «зелёных» методов и технологий в цепях поставок*. Реализация «зелёных»

решений в ЗУЦП характеризуется множеством взглядов на содержание «зелёных» решений и, как следствие, недостаточной системностью их реализации в ЗУЦП, фрагментарностью использования «зелёных» решений по отношению к элементам и функциям ЗУЦП (закупка, производство, складирование, транспортировка, дистрибуция), сложностью выбора конкретного «зелёного» решения, недостаточным учётом ограничений имеющихся ресурсов для реализации решений [3].

Анализ обзорных статей в области управления «зелёными»/устойчивыми цепями поставок позволяет говорить об увеличении числа научных работ, посвящённых теоретическим и практическим проблемам оценки устойчивости цепей поставок [4, 5] и реализации «зелёных» практик [6].

Существующие подходы можно разделить на две группы: исследования цепей поставок как единой системы [7–9] и исследования отдельных «зелёных» операций [10] или элементов цепей поставок. К таким исследованиям, например, относятся исследования устойчивых поставок [11, 12], устойчивого производства [13, 14], устойчивого складирования [15, 16], устойчивого транспорта [17, 18], устойчивого потребления [19].

В настоящей работе для обозначения различных «зелёных» решений в области ЗУЦП используется обобщённое понятие «инструменты «зелёной» логистики» (ЗЛ) – специфические способы, методы и решения по воздействию на элементы и потоки логистической системы (ЛС) для изменения их параметров в соответствии с целями устойчивого развития.

Для анализа и принятия управленческих решений в ЗУЦП используются многокритериальные методы (MCDM): ANP, ANP, DEMATEL и TOPSIS, а также их комбинации с теорией нечётких множеств [7, 20, 21].

Большое количество инструментов «зелёной» логистики создаёт многовариантность их применения в цепях поставок. Для лиц, принимающих решения, это характеризуется неопределённостью и формирует задачу выбора и реализации инструментов ЗЛ; необходимо учитывать эффективность каждого инструмента при определённых затратах на его применение. Кроме того, ограничение запасов ресурсов, необходимых для реализации инструментов, как правило, исключает вариант выбора всех инструментов в течение некоторого периода.

Оптимизационная математическая модель и методика выбора комплекса инструментов «зелёной» логистики

Рациональное обоснование выбора инструментов предлагается осуществлять на основе математического моделирования рассматриваемого процесса. Математическая модель в этом случае должна определять оптимальную комбинацию инструментов «зелёной» логистики, которые следует реализовать в элементах логистической системы на определённом этапе при имеющихся ресурсах. В модели предлагается использовать следующие виды ограниченных по запасам логистических ресурсов: материальные, финансовые, информационные ресурсы и ресурсы услуг (таблица 1) [22].

Целевая функция, определяющая результативность выбора инструментов, оценивает достигаемый эффект применения инструментов «зелёной» логистики:

$$F = \omega_1 (r_{11} \cdot x_{11} + r_{21} \cdot x_{21} + \dots + r_{n1} \cdot x_{n1}) + \dots + \omega_m (r_{1m} \cdot x_{1m} + r_{2m} \cdot x_{2m} + \dots + r_{nm} \cdot x_{nm}) \rightarrow (1) \rightarrow \max$$

Таблица 1

Характеристика логистических ресурсов, используемых для реализации инструментов «зелёной» логистики

Вид ресурса на реализацию инструментов ЗЛ	Характеристика
Материальный ресурс	Все возможные виды вещественных ресурсов (энергоносители, сырьё, материалы, полуфабрикаты, комплектующие, готовая продукция и др.), применяемые для использования инструментов «зелёной» логистики при продвижении материального потока
Финансовый ресурс	Объём финансовых средств, обращающихся в ЛС, а также между ЛС и внешней средой, необходимых для реализации инструментов «зелёной» логистики
Ресурс услуг	Комплекс (объём) специализированных работ и видов деятельности, выполняемых элементами ЛС или сторонними элементами, которые необходимы при реализации инструментов «зелёной» логистики
Информационный ресурс	Поток информационных обращений в ЛС, между элементами ЛС, а также внешней средой, необходимых для эффективного выполнения управляющих функций ЛС по реализации инструментов «зелёной» логистики

или

$$F = \sum_{j=1}^n \omega_j \cdot \sum_{i=1, j=1}^{n, m} (r_{ij} \cdot x_{ij}) \rightarrow \max, \quad (2)$$

где F – целевая функция, безразмерная величина, измеряемая в долях единицы; x_{ij} – применение i -го инструмента ЗЛ в j -м элементе ЛС, $i = 1, 2, \dots, n$; $j = 1, 2, \dots, m$; r_{ij} – ранг (вес) i -го инструмента ЗЛ в j -м элементе ЛС, безразмерная величина, измеряемая в долях единицы; ω_j – значимость j -го элемента ЛС, безразмерная величина, измеряемая в долях единицы, $j = 1, 2, \dots, m$; n – количество инструментов ЗЛ; m – количество элементов ЛС.

Условия системы ограничений модели:

1) применение i -го инструмента ЗЛ в j -м элементе ЛС определяется бинарным числом:

$$x_{ij} = \begin{cases} 1, & \text{если } i\text{-й инструмент} \\ & \text{применяется;} \\ 0, & \text{если } i\text{-й инструмент} \\ & \text{не применяется;} \end{cases} \quad (3)$$

2) суммарный фактический расход k -го вида логистического ресурса, используемого для реализации инструментов ЗЛ, который не должен превышать величины имеющегося запаса k -го вида логистического ресурса:

$$\alpha_{11}^k x_{11} + \alpha_{21}^k x_{21} + \dots + \alpha_{nm}^k x_{nm} = b_k, \quad (4)$$

где α_{ij}^k – расход k -го вида логистического ресурса для реализации i -го инструмента в j -м элементе ЛС, усл. ед./инструмент; b_k – запас k -го вида логистического ресурса, усл. ед.; $k = 1, 2, \dots, p$; p – количество видов логистических ресурсов, $p = 4$ (см. таблицу 1).

Решение приведённой математической модели требует определения значений следующих параметров моделируемого процесса:

1) ранг (вес) i -го инструмента ЗЛ, реализуемого в j -м элементе ЛС (r_{ij}). Значение веса i -го инструмента предлага-

ется определять многокритериальными методами принятия решений;

2) значимость j -го элемента ЛС (ω_j). Значение значимости j -го элемента определяется с использованием многокритериальных методов принятия решений;

3) расход k -го вида логистического ресурса для реализации i -го инструмента в j -м элементе ЛС (α_{ij}^k). Значение данного параметра устанавливается исходя из долевого распределения (τ_k), приходящегося на каждый вид логистических ресурсов: материальный (τ_1), финансовый (τ_2), информационный (τ_3) и услуг (τ_4), необходимых для реализации i -го инструмента ЗЛ, при соблюде-

нии условия $\sum_{k=1}^4 \tau_k = 1$. Значение расхода

k -го вида логистического ресурса определяется в соответствии с установленными нормативными значениями расходования ресурсов, аналитическими расчётами или экспертными методами;

4) запас k -го вида логистического ресурса (b_k). Значение соответствует величине финансирования применения инструментов ЗЛ в рамках реализации стратегии устойчивого развития логистической системы.

Для практической реализации разработанной математической модели предложен алгоритм выбора комбинации инструментов «зелёной» логистики в ЛС (рис. 1).

Расчётный пример

Разработанная математическая модель использована для выбора комбинации инструментов «зелёной» логистики в ЛС [23], включающая 105 инструментов ЗЛ, используемых в шести элементах ЛС (таблица 2).

Исходные данные для моделирования: значение весовых коэффициентов инструментов «зелёной» логистики приняты по результатам расчётов разработанной комбинированной MCDM-модели [24] и использования методов DEMATEL и MARCOS (рис. 2–7).

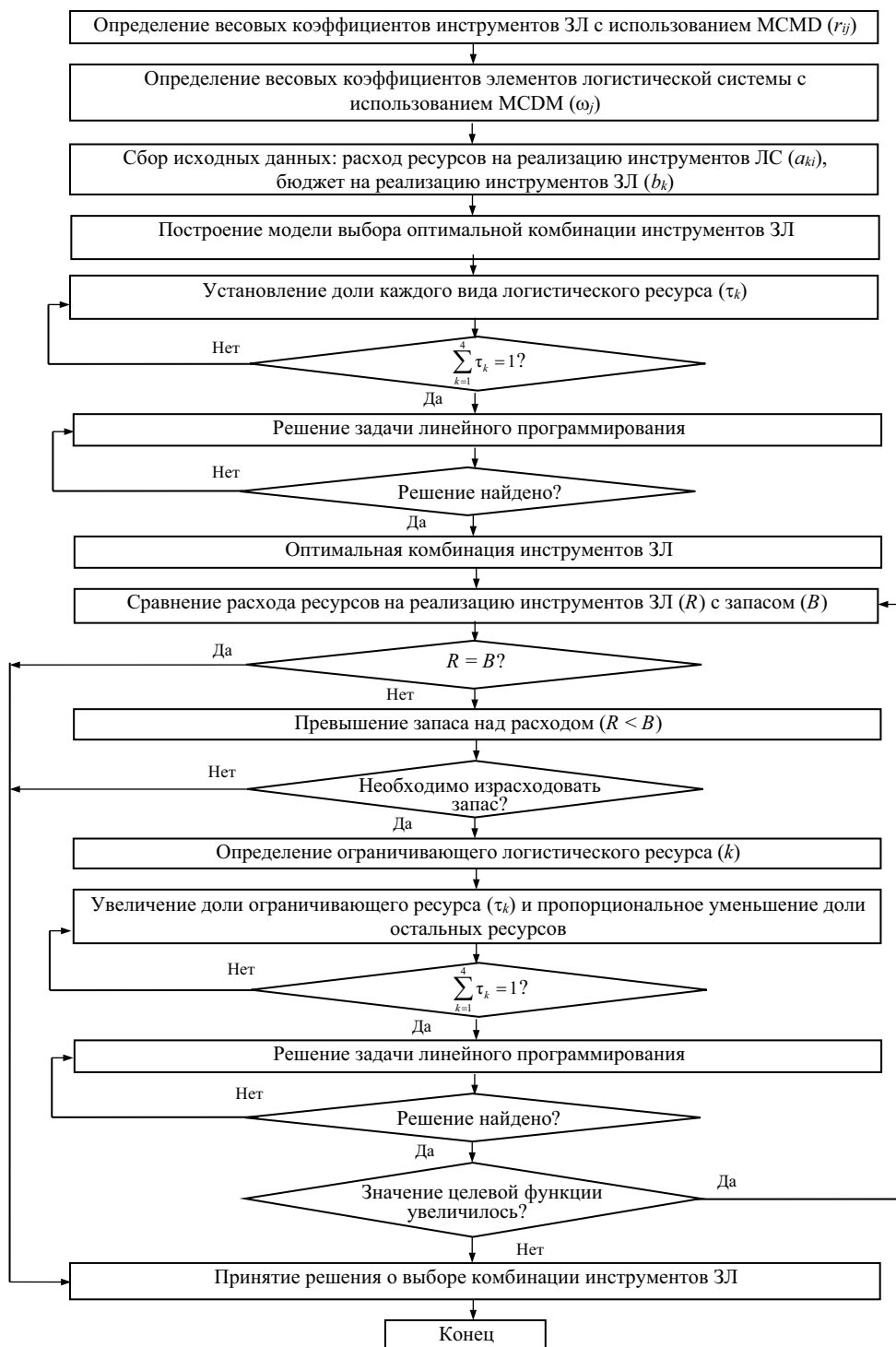


Рис. 1. Укрупнённый алгоритм методики выбора комбинации инструментов «зелёной» логистики



Рис. 2. Вес инструментов ЗЛ управляющего элемента ЛС

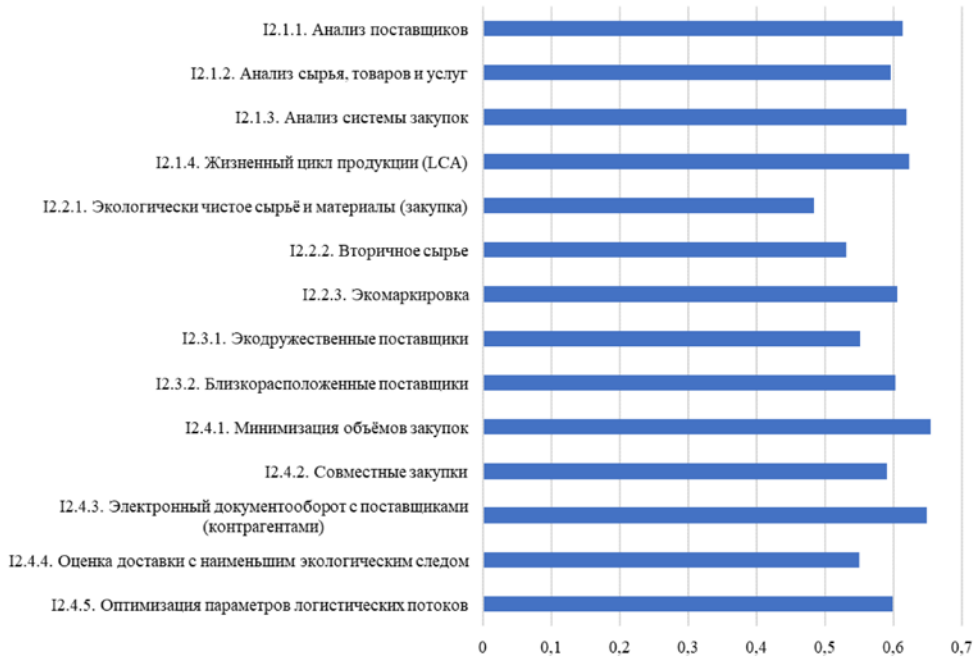


Рис. 3. Вес инструментов ЗЛ входного элемента ЛС

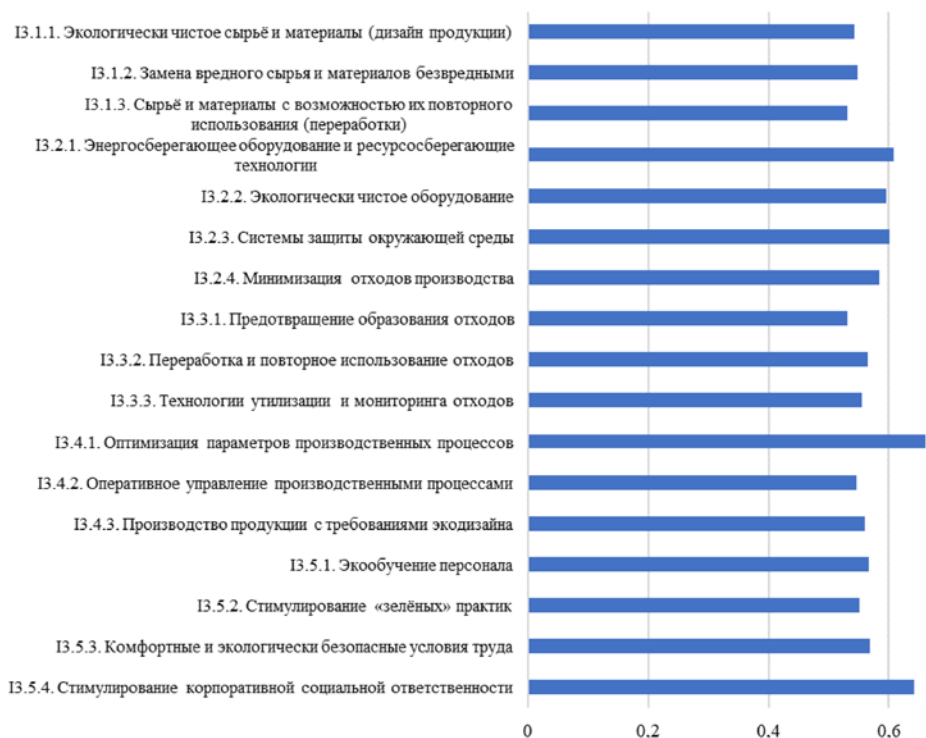


Рис. 4. Вес инструментов ЗЛ перерабатывающего элемента ЛС

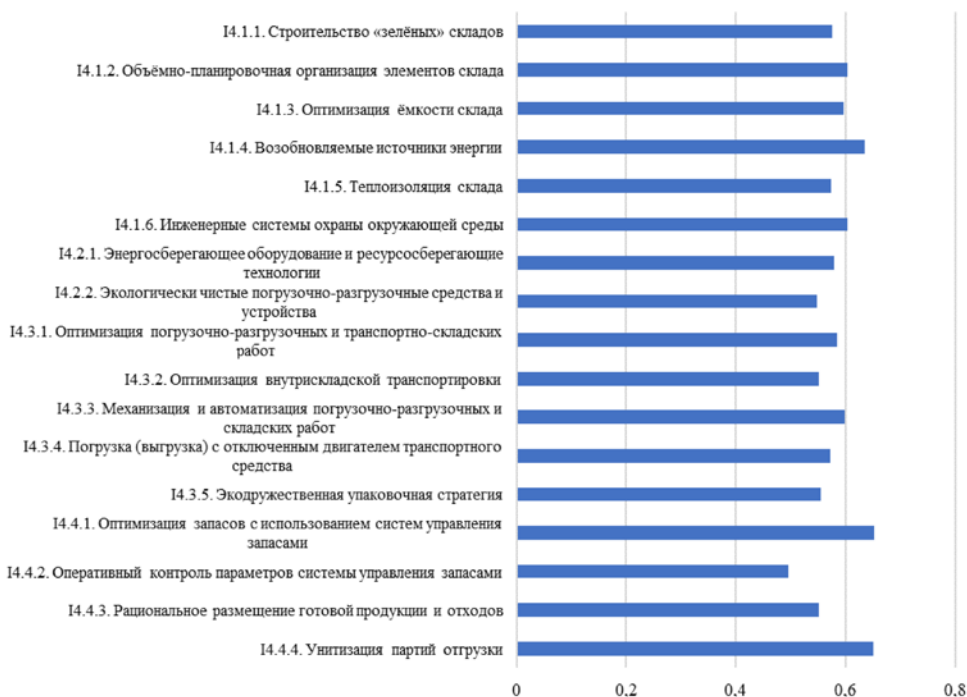


Рис. 5. Вес инструментов ЗЛ накопительного элемента ЛС

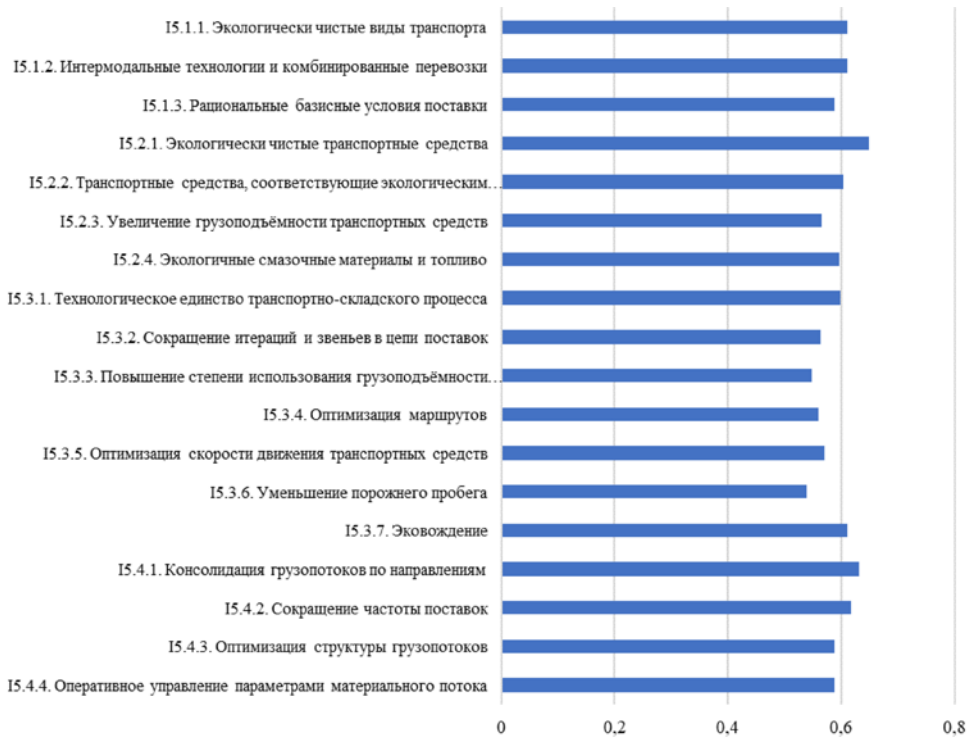


Рис. 6. Вес инструментов ЗЛ транспортного элемента ЛС

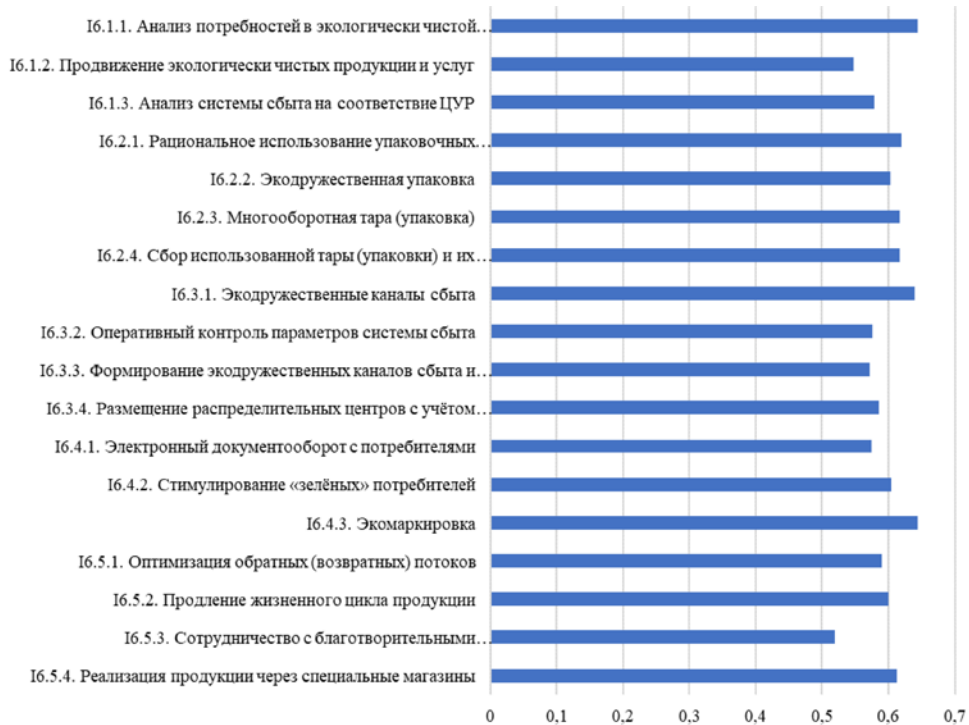


Рис. 7. Вес инструментов ЗЛ выходного элемента ЛС

Таблица 2

Вес элементов ЛС (по результатам метода DEMATEL)

Элемент ЛС, обозначение	Вес элемента ЛС
Управляющий, ω_1	0,17980
Входной, ω_2	0,14298
Перерабатывающий, ω_3	0,17402
Накопительный, ω_4	0,17092
Транспортный, ω_5	0,16962
Выходной, ω_6	0,16265

Значение весовых коэффициентов элементов ЛС принято по результатам расчётов MCDM-модели с использованием метода DEMATEL [25] (таблица 2).

Расход видов логистического ресурса (a_{nm}^k) для реализации каждого инструмента в элементе ЛС определён на основе экспертной оценки (рис. 8).

Запас каждого вида логистического ресурса (b_k) устанавливается в соответствии с долевым распределением 100 % запасов в различных соотношениях

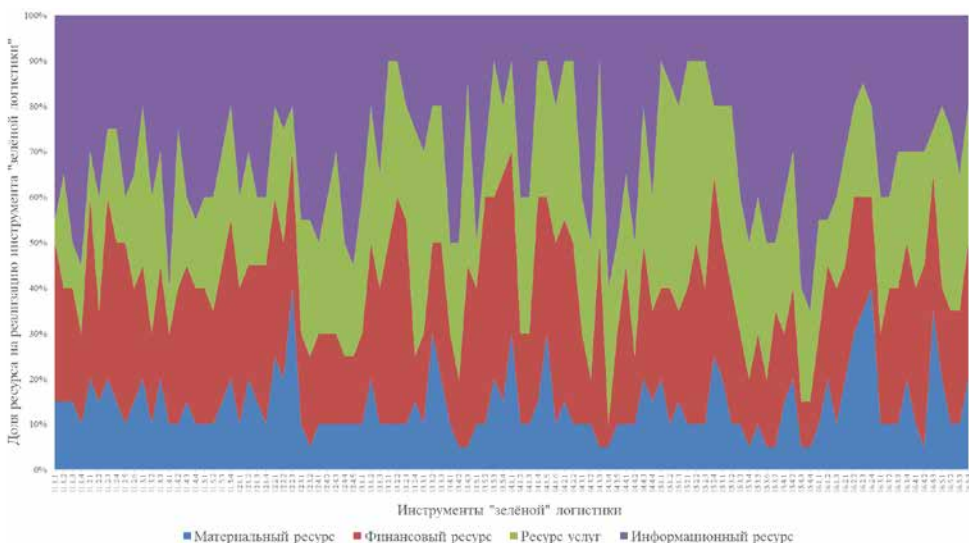


Рис. 8. Долевое распределение расхода логистических ресурсов для реализации инструментов «зелёной» логистики [26]

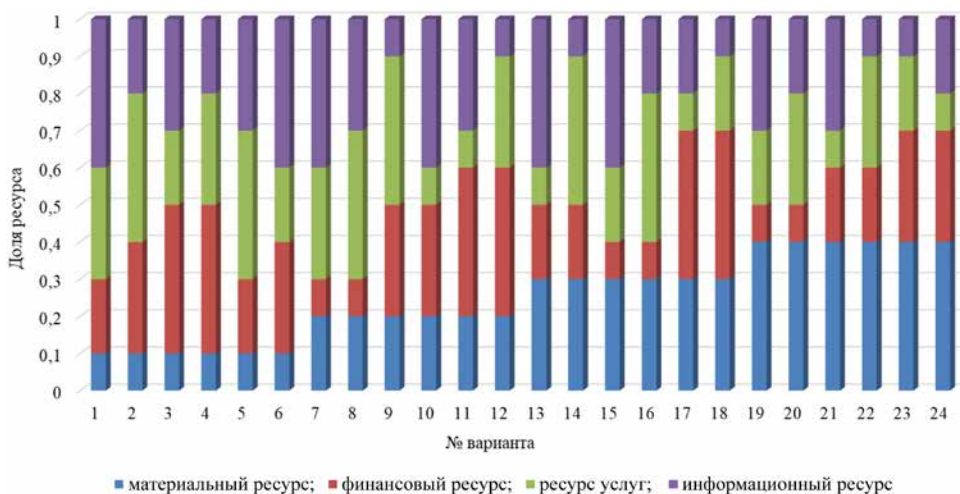


Рис. 9. Расчётные варианты распределения запасов логистических ресурсов для реализации инструментов «зелёной» логистики

с шагом 10 %. Варианты распределения: соотношения 1:2:3:4, 2:1:3:4, 1:2:4:3 и т.д. Другими словами, в расчётах рассмотрены 24 варианта распределения логистических ресурсов (рис. 9).

При решении задачи линейного программирования для всех 24 вариантов распределения запасов логистических ресурсов определена оптимальная комбинация инструментов «зелёной» логистики и достигаемый эффект от их применения. Однако по результатам выполнения всех 24 экспериментов наблюдается неполное расходование ресурсов, т.е. превышение запаса на реализацию инструментов «зелёной» логистики над расходом на их реализацию. В качестве примера в таблице 3 представлены результаты расчётов для варианта 1. Здесь оптимальная комбинация состоит из 20 инструментов ЗЛ: П1.1.4, П1.5.2, И2.3.2, И3.2.1, И3.2.3, И3.4.1, И3.4.2, И3.4.3, И4.3.3, И4.3.4, И4.4.1, И5.2.1, И5.3.4, И5.3.6, И5.3.7, И5.4.3, И5.4.4, И6.1.1, И6.3.1, И6.4.2.

Поскольку в рассматриваемом примере ставилась задача полного расходования имеющихся запасов логистических ресурсов на реализацию инструментов «зелёной» логистики, выполнен поиск ограничивающего ресурса и проведены эксперименты с увеличением доли ограничивающего ресурса с шагом в 2,5 % и пропорциональным уменьшением доли остальных ресурсов. Проведено 288 экспериментов и определены оптимальные комбинации инструментов при максимальном значении эффекта от их реализации (таблица 4).

Анализ результатов экспериментов (таблица 4) показывает, что максималь-

ное значение целевой функции 2,9656 получено в варианте 6 при доле ограничивающего ресурса 7,5 %. Оптимальная комбинация инструментов «зелёной» логистики этого варианта будет включать 26 инструментов.

Управляющий элемент: П1.1.3 «Развитие корпоративной социальной ответственности», П1.1.4 «Оценка и контроль экологической эффективности», П1.2.2 «Система управления взаимоотношениями с клиентами (CRM)», П1.5.2 «Электронный обмен данными (EDI)», П1.5.3 «Система управления перевозками (TMS)».

Перерабатывающий элемент: И3.4.1 «Оптимизация параметров производственных процессов», И3.4.2 «Оперативное управление производственными процессами», И3.4.3 «Производство продукции с требованиями экодизайна».

Накопительный элемент: И4.1.2 «Объёмно-планировочная организация элементов склада», И4.1.3 «Оптимизация ёмкости склада», И4.3.1 «Оптимизация погрузочно-разгрузочных и транспортно-складских работ», И4.3.3 «Механизация и автоматизация погрузочно-разгрузочных и складских работ», И4.3.4 «Погрузка (выгрузка) с отключенным двигателем транспортного средства», И4.4.1 «Оптимизация запасов с использованием систем управления запасами», И4.4.4 «Унификация партий отгрузки».

Транспортный элемент: И5.1.2 «Интермодальные технологии и комбинированные перевозки», И5.2.1 «Экологически чистые транспортные средства», И5.3.4 «Оптимизация маршрутов», И5.3.6 «Уменьшение порожнего пробега», И5.3.7 «Эковожждение», И5.4.1 «Консолидация

Таблица 3

Результаты решения задачи линейного программирования поиска оптимальной комбинации инструментов «зелёной» логистики

n	F	Запас (B)/расход (R) логистического ресурса на реализацию инструментов ЗЛ				Суммарный резерв ресурсов (B – R)
		материальный ресурс	финансовый ресурс	ресурс услуг	информационный ресурс	
20	2,113	0,1/0,1000	0,2/0,1800	0,3/0,2070	0,4/0,2362	0,2768

Таблица 4

Результаты поиска максимального эффекта от реализации оптимальной комбинации инструментов ЗЛ

Вариант	экс.0 (0%)	экс.1 (2,5%)	экс.2 (5%)	экс.3 (7,5%)	экс.4 (10%)	экс.5 (12,5%)	экс.6 (15%)	экс.7 (17,5%)	экс.8 (20%)	экс.9 (22,5%)	экс.10 (25%)	экс.11 (27,5%)	экс.12 (30%)	Макс
1	2,1133	2,4788	2,6976	2,8505	2,8460	2,7463	2,6318	2,5125	2,3922	2,2714	2,1481	2,0239	1,8991	2,8505
2	2,0913	2,4632	2,7483	2,8789	2,9242	2,8889	2,6318	2,2714	1,8991	1,5148	1,1075	0,6760	0,0000	2,9242
3	2,1130	2,4856	2,7169	2,8768	2,9010	2,8319	2,6720	2,4342	2,1202	1,7807	1,3894	0,8752	0,0000	2,9010
4	2,0913	2,4630	2,7169	2,8813	2,9503	2,9180	2,7370	2,4156	2,0829	1,7290	1,3332	0,7888	0,0000	2,9503
5	2,1133	2,4788	2,6083	2,6569	2,6378	2,5734	2,4813	2,3756	2,2690	2,1612	2,0529	1,9440	1,8337	2,6569
6	2,1130	2,4861	2,8377	2,9656	2,9242	2,7599	2,4813	2,1612	1,8337	1,4743	1,0990	0,6760	0,0000	2,9656
7	1,8991	2,2715	2,6309	2,8505	2,9013	2,9132	2,8377	2,7262	2,6081	2,4861	2,3631	2,2386	2,1130	2,9132
8	1,8991	2,2693	2,5393	2,6569	2,7171	2,7482	2,7483	2,6937	2,5820	2,4632	2,3420	2,2176	2,0913	2,7483
9	2,3524	2,5932	2,6720	2,7095	2,7025	2,6147	2,4800	2,2582	1,8991	1,5148	1,1075	0,6760	0,0000	2,7095
10	2,1258	2,4788	2,7370	2,8422	2,7973	2,6902	2,4800	2,1612	1,8337	1,4743	1,0990	0,6760	0,0000	2,8422
11	2,1258	2,4712	2,6666	2,7916	2,8016	2,7372	2,6247	2,4343	2,1202	1,7807	1,3894	0,8752	0,0000	2,8016
12	2,3524	2,6056	2,7379	2,8009	2,8016	2,7722	2,6633	2,4155	2,0829	1,7290	1,3332	0,7888	0,0000	2,8016
13	2,0829	2,4156	2,7370	2,9180	2,9503	2,8813	2,7169	2,4630	2,0913	1,6997	1,2846	0,7396	0,0000	2,9503
14	2,1202	2,4342	2,6720	2,8319	2,9010	2,8768	2,7169	2,4856	2,1130	1,7252	1,3127	0,7396	0,0000	2,9010
15	1,8991	2,2310	2,4227	2,5803	2,6796	2,7263	2,7370	2,6967	2,5888	2,4788	2,3662	2,2468	2,1258	2,7370
16	1,8337	2,1612	2,4813	2,7599	2,9242	2,9656	2,8377	2,4861	2,1130	1,7252	1,3127	0,7396	0,0000	2,9656
17	2,0850	2,4249	2,6666	2,8464	2,9503	2,9616	2,8377	2,4976	2,1133	1,7252	1,3127	0,7396	0,0000	2,9616
18	2,2053	2,5022	2,7379	2,8652	2,9010	2,8578	2,7483	2,4976	2,1133	1,7252	1,3127	0,7396	0,0000	2,9010
19	1,8991	2,2260	2,3939	2,5095	2,5836	2,6313	2,6633	2,6418	2,5373	2,4309	2,3215	2,2047	2,0850	2,6633
20	1,8337	2,1612	2,4800	2,6902	2,7973	2,8422	2,7370	2,4788	2,1258	1,7423	1,3332	0,7888	0,0000	2,8422
21	2,0829	2,4155	2,6633	2,7722	2,8016	2,8009	2,7379	2,6056	2,3524	2,0008	1,5734	0,8752	0,0000	2,8016
22	2,1202	2,4343	2,6247	2,7372	2,8016	2,7916	2,6666	2,4712	2,1258	1,7423	1,3332	0,7888	0,0000	2,8016
23	2,2053	2,5012	2,6247	2,6981	2,7025	2,6159	2,4813	2,2593	1,8991	1,5148	1,1075	0,6760	0,0000	2,7025
24	2,0850	2,4309	2,6633	2,7532	2,7973	2,7764	2,6318	2,2715	1,8991	1,5148	1,1075	0,6760	0,0000	2,7973

Значения, выделенные жирным шрифтом, соответствуют максимальным значениям целевой функции.

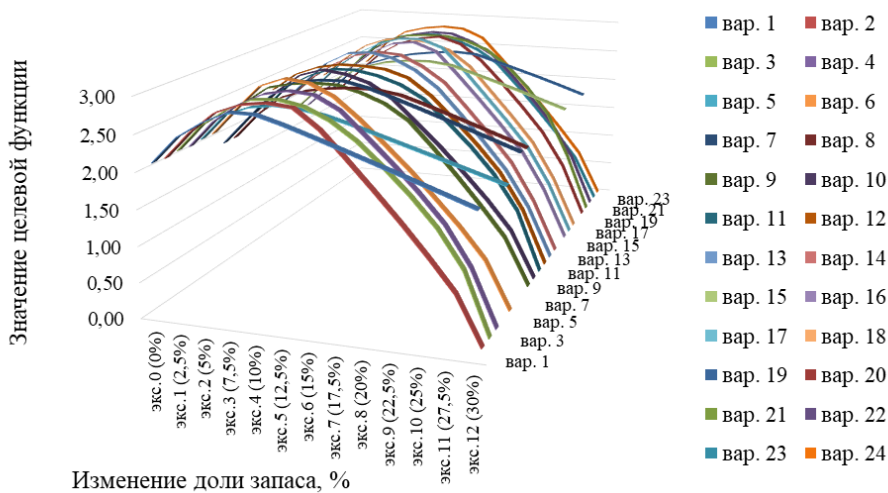


Рис. 10. Зависимость эффекта реализации инструментов «зелёной» логистики от изменения доли запаса логистических ресурсов

грузопотоков по направлениям», I5.4.3 «Оптимизация структуры грузопотоков», I5.4.4 «Оперативное управление параметрами материального потока».

Выходной элемент: I6.1.1 «Анализ потребностей в экологически чистой продукции (услугах)», I6.3.1 «Экодружественные каналы сбыта», I6.4.2 «Стимулирование «зелёных» потребителей».

Результаты экспериментов на разработанной модели позволили установить зависимость повышения эффекта использования инструментов «зелёной» логистики от изменения доли запаса логистических ресурсов. Перераспределение доли логистических запасов на реализацию инструментов в пределах 7,5–15 % позволяет достигнуть максимального эффекта от реализации инструментов в ЛС (рис. 10).

Принятие окончательного решения о реализации конкретного инструмента «зелёной» логистики осложняется, во-первых, множеством вариантов реализации каждого инструмента с отличающимися значениями параметров инструмента «зелёной» логистики. Во-вторых, конкретный вариант может оцениваться диапазоном значений параметров инструмента. Эти проблемы можно устранить использованием линейного

программирования Грея [27] в разработанной модели.

Заключение

Концепция устойчивого развития предполагает интенсификацию применения «зелёных» методов и технологий при управлении цепями поставок. Сложность практической реализации таких инструментов заключается в их большом разнообразии, а также отсутствии или недостаточной проработанности методик оценки получаемого эффекта. В большинстве случаев выбор инструментов для реализации интуитивен, без использования количественных научных методов. Для обоснования оптимальных управленческих решений по выбору инструментов «зелёной» логистики в статье используется оригинальная модель, основанная на комбинации линейного программирования с многокритериальными методами DEMATEL и MARCOS.

Результатом применения разработанного методологического аппарата являются точная оценка и определение оптимальной комбинации инструментов «зелёной» логистики для каждого элемента логистической системы или цепи поставок. Предлагаемая

модель позволяет оценить эффективность каждого инструмента «зелёной» логистики по критерию оптимального распределения логистических ресурсов на их реализацию при ограниченных логистических ресурсах. Методология

предназначена для формирования рациональной последовательности реализации инструментов «зелёной» логистики в цепях поставок для достижения целей устойчивого развития. ■

Литература

1. Сергеев В. И. Управление цепями поставок. – М. : Изд-во «Юрайт», 2023. – 480 с. ISBN 978-5-534-01356-6.
2. Chakraborty A., Al Amin M., Baldacci R. Analysis of internal factors of green supply chain management: An interpretive structural modeling approach // *Cleaner Logistics and Supply Chain*. – 2023. – Т. 7. – С. 100099. ISSN 2772-3909.
3. Osintsev N., Rakhmangulov A., Sladkowski A. Logistic flow control system in green supply chains: Ecology in Transport: Problems and Solutions, Lecture Notes in Networks and Systems, 2020. – Т. 124. – С. 311–380. ISBN 978-3-030-42322-3.
4. Fahimnia B., Sarkis J., Davarzani H. Green supply chain management: A review and bibliometric analysis // *International Journal of Production Economics*. – 2015. – Т. 162. – С. 101–114. ISSN 0925-5273.
5. A systematic literature review on green supply chain management: Research implications and future perspectives / U. R. de Oliveira, L. S. Espindola, I. R. da Silva [and etc.] // *Journal of Cleaner Production*. – 2018. – Т. 187. – С. 537–561. ISSN 0959-6526.
6. Осинцев Н. А., Рахмангулов А. Н., Багинова В. В. Инновации в области «зелёной» логистики // *Мир транспорта*. – 2018. – Т. 16, № 3 (76). – С. 220–234. ISSN 1992-3252.
7. Bhatia M. S., Gangwani K. K. Green supply chain management: Scientometric review and analysis of empirical research // *Journal of Cleaner Production*. – 2021. – Т. 284, № 14. – С. 124722. ISSN 0959-6526.
8. A literature review on green supply chain management: Trends and future challenges / M.-L. Tseng, M. S. Islam, N. Karia [and etc.] // *Resources, Conservation and Recycling*. – 2019. – Т. 141. – С. 145–162. ISSN 0921-3449.
9. Lazar S., Klimecka-Tatar D., Obrecht M. Sustainability orientation and focus in logistics and supply chains // *Sustainability*. – 2021. – Т. 13, № 6. – С. 3280. ISSN 2071-1050.
10. Environmentally concerned logistics operations in fuzzy environment: A literature survey / O. Tozanli, G. Duman, E. Kongar, S. Gupta // *Logistics*. – 2017. – Т. 1, № 4. – С. 1–42. ISSN 2305-6290.
11. Green supplier evaluation and selections: A state-of-the-art literature review of models, methods, and applications / L.-J. Zhang, R. Liu, H.-C. Liu, H. Shi // *Mathematical Problems in Engineering*. – 2020. – Т. 2020, № 4. – С. 1–25. ISSN 1024-123X.
12. Zimmer K., Fröhling M., Schultmann F. Sustainable supplier management – a review of models supporting sustainable supplier selection, monitoring and development // *International Journal of Production Research*. – 2016. – Т. 54, № 5. – С. 1412–1442. ISSN 0020-7543.
13. Malek J., Desai T. N. A systematic literature review to map literature focus of sustainable manufacturing // *Journal of Cleaner Production*. – 2020. – Т. 256. – С. 120345. ISSN 0959-6526.
14. Roy V., Singh S. Mapping the business focus in sustainable production and consumption literature: Review and research framework / V. Roy, // *Journal of Cleaner Production*. – 2017. – Т. 150. – С. 224–236. ISSN 0959-6526.
15. Becerra P., Mula J., Sanchis R. Green supply chain quantitative models for sustainable inventory management: A review // *Journal of Cleaner Production*. – 2021. – Т. 52. – С. 129544. ISSN 0959-6526.
16. Bartolini M., Bottani E., Grosse E. H. Green warehousing: Systematic literature review and bibliometric analysis // *Journal of Cleaner Production*. – 2019. – Т. 226. – С. 242–258. ISSN 0959-6526.
17. Systematic literature review on collaborative sustainable transportation: Overview, analysis and perspectives / A. Aloui, N. Hamani, R. Derrouiche, L. Delahoche // *Transportation Research Interdisciplinary Perspectives*. – 2021. – Т. 9, № 2. – С. 100291. ISSN 2590-1982.

18. Evaluation of sustainable transport research in 2000–2019 / X. Zhao, Y. Ke, J. Zuo [and etc.] // *Journal of Cleaner Production*. – 2020. – Т. 256. – С. 120404. ISSN 0959-6526.
19. Green supply chain management enablers: Mixed methods research / R. Dubey, A. Gunasekaran, T. Papadopoulos, S. J. Childe // *Sustainable Production and Consumption*. – 2015. – Т. 4. – С. 72–88. ISSN 2352-5509.
20. Ahi P., Searcy C. An analysis of metrics used to measure performance in green and sustainable supply chains // *Journal of Cleaner Production*. – 2015. – Т. 86. – С. 360–377. ISSN 0959-6526.
21. Wałtróbski J. Outline of multicriteria decision-making in green logistics // *Transportation Research Procedia*. – 2016. – Т. 16. – С. 537–552. ISSN 2352-1457.
22. Корнилов С., Рахмангулов А., Шаульский Б. Основы логистики. – М. : ФГБОУ «Учебно-методический центр по образованию на железнодорожном транспорте», 2016. – 302 с. ISBN 978-5-89035-918-6.
23. Green logistics: A system of methods and instruments – Part 2 / A. Rakhmangulov, A. Sladkowski, N. Osintsev, D. Muravev // *Naše more*. – 2018. – Т. 65, № 1. – С. 49–55. ISSN 0469-6255.
24. Осинцев Н. А., Рахмангулов А. Н. Выбор зелёных технологий в складской логистике – многокритериальный подход // *Современные проблемы транспортного комплекса России*. – 2021. – Т. 11, № 1. – С. 4–17. ISSN 2222-9396.
25. Осинцев Н. А. Ранжирование элементов «зеленой» цепи поставок методом DEMATEL // *Вестник УрГУПС*. – 2022. – № 3. – С. 95–106. ISSN 2079-0392.
26. Осинцев Н. А. Методологические основы устойчивого развития логистических цепей грузопотоков : дис. ... д-ра техн. наук. – Магнитогорск, 2022. – 360 с.
27. Darvishi D., Liu S., Yi-Lin Forrest J. Grey linear programming: a survey on solving approaches and applications // *Grey Systems: Theory and Application*. – 2021. – № 1. – С. 110–135. ISSN 2043-9377.

References

1. Sergeev V. I. Supply chain management [Upravlenie tsepyami postavok]. – М. : Publishing House «Yurayt», 2023. – 480 p. ISBN 978-5-534-01356-6.
2. Chakraborty A., Al Amin M., Baldacci R. Analysis of internal factors of green supply chain management: An interpretive structural modeling approach // *Cleaner Logistics and Supply Chain*. – 2023. – Т. 7. – С. 100099. ISSN 2772-3909.
3. Osintsev N., Rakhmangulov A., Sladkowski A. Logistic flow control system in green supply chains: Ecology in Transport: Problems and Solutions, Lecture Notes in Networks and Systems, 2020. – Т. 124. – С. 311–380. ISBN 978-3-030-42322-3.
4. Fahimnia B., Sarkis J., Davarzani H. Green supply chain management: A review and bibliometric analysis // *International Journal of Production Economics*. – 2015. – Т. 162. – С. 101–114. ISSN 0925-5273.
5. A systematic literature review on green supply chain management: Research implications and future perspectives / U. R. de Oliveira, L. S. Espindola, I. R. da Silva [and etc.] // *Journal of Cleaner Production*. – 2018. – Т. 187. – С. 537–561. ISSN 0959-6526.
6. Osintsev N. A., Rakhmangulov A. N., Baginova V. V. Innovations in the area of «green» logistics // *The world of transport [Innovatsii v oblasti «zelyonoy» logistiki // Mir transporta]*. – 2018. – Vol. 16, No. 3 (76). – pp. 220–234. ISSN 1992-3252.
7. Bhatia M. S., Gangwani K. K. Green supply chain management: Scientometric review and analysis of empirical research // *Journal of Cleaner Production*. – 2021. – Т. 284. № 14. – С. 124722. ISSN 0959-6526.
8. A literature review on green supply chain management: Trends and future challenges / M.-L. Tseng, M. S. Islam, N. Karia [and etc.] // *Resources, Conservation and Recycling*. – 2019. – Т. 141. – С. 145–162. ISSN 0921-3449.
9. Lazar S., Klimecka-Tatar D., Obrecht M. Sustainability orientation and focus in logistics and supply chains // *Sustainability*. – 2021. – Т. 13. № 6. – С. 3280. ISSN 2071-1050.
10. Environmentally concerned logistics operations in fuzzy environment: A literature survey / O. Tozanli, G. Duman, E. Kongar, S. Gupta // *Logistics*. – 2017. – Т. 1. № 4. – С. 1–42. ISSN 2305-6290.
11. Green supplier evaluation and selections: A state-of-the-art literature review of models, methods, and applications / L.-J. Zhang, R. Liu, H.-C. Liu, H. Shi // *Mathematical Problems in Engineering*. – 2020. – Т. 2020. № 4. – С. 1–25. ISSN 1024-123X.

12. Zimmer K., Fröhling M., Schultmann F. Sustainable supplier management – a review of models supporting sustainable supplier selection, monitoring and development // International Journal of Production Research. – 2016. – Т. 54. № 5. – С. 1412–1442. ISSN 0020-7543.
13. Malek J., Desai T. N. A systematic literature review to map literature focus of sustainable manufacturing // Journal of Cleaner Production. – 2020. – Т. 256. – С. 120345. ISSN 0959-6526.
14. Roy V., Singh S. Mapping the business focus in sustainable production and consumption literature: Review and research framework / V. Roy, // Journal of Cleaner Production. – 2017. – Т. 150. – С. 224–236. ISSN 0959-6526.
15. Becerra P., Mula J., Sanchis R. Green supply chain quantitative models for sustainable inventory management: A review // Journal of Cleaner Production. – 2021. – Т. 52. – С. 129544. ISSN 0959-6526.
16. Bartolini M., Bottani E., Grosse E. H. Green warehousing: Systematic literature review and bibliometric analysis // Journal of Cleaner Production. – 2019. – Т. 226. – С. 242–258. ISSN 0959-6526.
17. Systematic literature review on collaborative sustainable transportation: Overview, analysis and perspectives / A. Aloui, N. Hamani, R. Derrouiche, L. Delahoche // Transportation Research Interdisciplinary Perspectives. – 2021. – Т. 9, № 2. – С. 100291. ISSN 2590-1982.
18. Evaluation of sustainable transport research in 2000–2019 / X. Zhao, Y. Ke, J. Zuo [and etc.] // Journal of Cleaner Production. – 2020. – Т. 256. – С. 120404. ISSN 0959-6526.
19. Green supply chain management enablers: Mixed methods research / R. Dubey, A. Gunasekaran, T. Papadopoulos, S. J. Childe // Sustainable Production and Consumption. – 2015. – Т. 4. – С. 72–88. ISSN 2352-5509.
20. Ahi P., Searcy C. An analysis of metrics used to measure performance in green and sustainable supply chains // Journal of Cleaner Production. – 2015. – Т. 86. – С. 360–377. ISSN 0959-6526.
21. Wątróbski J. Outline of multicriteria decision-making in green logistics // Transportation Research Procedia. – 2016. – Т. 16. – С. 537–552. ISSN 2352-1457.
22. Kornilov S., Rakhmangulov A., Shaulsky B. Fundamentals of logistics. – М. : FSBEI «Educational and Methodological Center for Education in Railway Transport» [Osnovy logistiki. – М. : FGBOU «Uchebno-metodicheskij tsentr po obrazovaniyu na zheleznodorozhnom transporte»], 2016. – 302 p. ISBN 978-5-89035-918-6.
23. Green logistics: A system of methods and instruments – Part 2 / A. Rakhmangulov, A. Sladkowski, N. Osintsev, D. Muravev // Naše more. – 2018. – Т. 65, № 1. – С. 49–55. ISSN 0469-6255.
24. Осинцев Н. А., Рахмангулов А. Н. Osintsev N. A., Rakhmangulov A. N. Selecting green technologies in warehouse logistics – a multi-criteria approach // Modern problems of the transport complex of Russia [Vybor zelyonykh tekhnologij v skladskoj logistike – mnogokriterial'nyj podkhod // Sovremennyye problemy transportnogo kompleksa Rossii]. – 2021. – Vol. 11, № 1. – Pp. 4–17. ISSN 2222-9396.
25. Osintsev N. A. Element ranking of the «green» supply chain by DEMATEL method // Herald of USURT [Ranzhirovanie ehlementov «zelenoj» tsepi postavok metodom DEMATEL // Vestnik UrGUPS]. – 2022. – № 3. – Pp. 95–106. ISSN 2079-0392.
26. Osintsev N. A. The methodological foundations of sustainable development of logistics chains of cargo flows : dissertation for academic degree of Doctor of Technical Sciences [Metodologicheskie osnovy ustojchivogo razvitiya logisticheskikh tsepej gruzopotokov : dissertatsiya na soiskanie uchenoj stepeni doktora tekhnicheskikh nauk]. – Magnitogorsk, 2022. – 360 p.
27. Darvishi D., Liu S., Yi-Lin Forrest J. Grey linear programming: a survey on solving approaches and applications // Grey Systems: Theory and Application. – 2021. – № 1. – С. 110–135. ISSN 2043-9377.

Статья сдана в редакцию 20 июня 2023 года

Безопасность жизнедеятельности

УДК 625.12

Р. М. Тлявлин

Инженерная защита земляного полотна Байкальского участка Восточно-Сибирской железной дороги

UDC 625.12

R. M. Tlyavlin

Engineering protection of the East Siberian railway of Baikal section roadbed

Аннотация

Рассмотрен Байкальский участок Восточно-Сибирской железной дороги (ВСЖД) с точки зрения защищенности земляного полотна сооружениями инженерной защиты от волнового воздействия. Представлены результаты наблюдений за опытным участком, показывающие, что участок железной дороги от ст. Северобайкальск до ст. Нижнеангарск протяженностью 26 км, из которых 17 км пролегает прижимом к озеру Байкал, надежно защищен бермами из горной массы и не подвергается волновому воздействию. По результатам периодических наблюдений на опытном объекте сделаны выводы, что волногасящие бермы из несортированной горной массы показали свою

высокую волногасящую эффективность и исключили необходимость использования каких-либо других берегозащитных сооружений, тем более из бетона.

Выполнена оценка опасности волнового воздействия на незащищенное земляное полотно на участке от ст. Нижнеангарск до ст. Кичера протяженностью 37 км, из которых 22 км пролегают прижимом к заливу Ангарский Сор и по заболоченным участкам. Показано, что продолжающиеся в настоящее время размывы о-ва Ярки могут привести к тому, что волны, формируемые на акватории Байкала, проникая в Ангарский Сор, будут разрушать незащищенное от волнового воздействия земляное полотно железной дороги, проложенной на

прижимных участках. Предлагается к рассмотрению несколько основных вариантов инженерной защиты островов Ярки.

Ключевые слова: берегозащитные сооружения, волновое воздействие, волногасящая берма, земляное полотно, инженерная защита, обследование, физическое моделирование.

DOI: 10.20291/2079-0392-2023-3-113-125

Abstract

The Baikal section of the East Siberian Railway is considered from the point of view of the roadbed protection by engineering protection structures from wave impact. The results of observations of the experimental section are presented, illustrating that the railway section from

Статья рекомендована к публикации Е. С. Ашпизом, д-ром техн. наук, профессором; РУТ (МИИТ), Москва. E-mail: geonika@inbox.ru.

Роман Маратович Тлявлин, канд. техн. наук, руководитель Обособленного подразделения АО ЦНИИТС (Центральный научно-исследовательский институт транспортного строительства) «НИЦ «Морские берега»; Сочи, Россия. E-mail: mb-ns@yandex.ru, TlyavlinRM@Tsnis.com. ORCID 0000-0002-8648-0492.

© Р. М. Тлявлин, 2023

The article is recommended for publishing by E. S. Ashpiz, Doctor of Technical Sciences, Professor; RUT (MIIT), Moscow. E-mail: geonika@inbox.ru.

Roman Maratovich Tlyavlin, Candidate of Technical Sciences, Head of Separate Division of JSC TSNIITS (Central Research Institute of Transport Construction) Research Centre «Morskije berega» (Sea shores); Sochi, Russia. E-mail: mb-ns@yandex.ru, TlyavlinRM@Tsnis.com. ORCID 0000-0002-8648-0492.

© R. M. Tlyavlin, 2023

the station Severobaikalsk to Nizhneangarsk station is 26 km long, of which 17 km lie adjacent pressed against Lake Baikal, is securely protected by berms of rock mass and is not exposed to wave impact. Based on the results of periodic observations at the experimental facility, it was concluded that wave-absorbing berms from unsorted rock mass showed their high wave-damping efficiency eliminating the need to use any other coastal protection struc-

tures, especially made of concrete.

The evaluation of the danger of wave impact on the unprotected roadbed in the area from the station Nizhneangarsk to the Kichera station was carried out. The Kichera is 37 km long, of which 22 km lie adjacent pressed against the Bay of Angarsky Sor and through wetlands. It is shown that the ongoing erosion of the Yarki island may bring to the situation that the waves

formed in the Baikal water area, penetrating into the Angarsky Sor, will destroy the roadbed unprotected from the wave impact to be found on pressed sections. Several basic options for engineering protection of the Yarki Islands are proposed for consideration.

Keywords: coastal protection structures, wave impact, wave damping berm, roadbed, engineering protection, survey, physical modeling.

DOI: 10.20291/2079-0392-2023-3-113-125

Участок БАМа на северном побережье оз. Байкал по инженерно-геологическим, гидрогеологическим, топографическим, сейсмическим и строительным условиям – один из наиболее сложных. Байкальский участок Восточно-Сибирской железной дороги (Байкальский участок БАМа) по гидрологическим характеристикам можно разделить на два (рис. 1).

Первый участок от ст. Северобайкальск (1063 км) до ст. Нижнеангарск (1089 км) протяжённостью 26 км, из которых 17 км пролегает прижимом к Байкалу и подвергается волновому

воздействию, второй участок от ст. Нижнеангарск (1089 км) до ст. Кичера (1126 км) протяженностью 37 км, из которых 22 км пролегают прижимом к заливу Ангарский Сор и идут по заболоченным участкам.

Существование акватории Ангарского Сора на Северном Байкале обеспечивается наличием аккумулятивных образований, включающих Нижнеангарский и Дагарский выступы, и островов Ярки и Миллионный, протянувшихся вдоль берега почти на 30 км. После подъема уровня озера в среднем на 80 см размыв этих аккумулятивных образований,

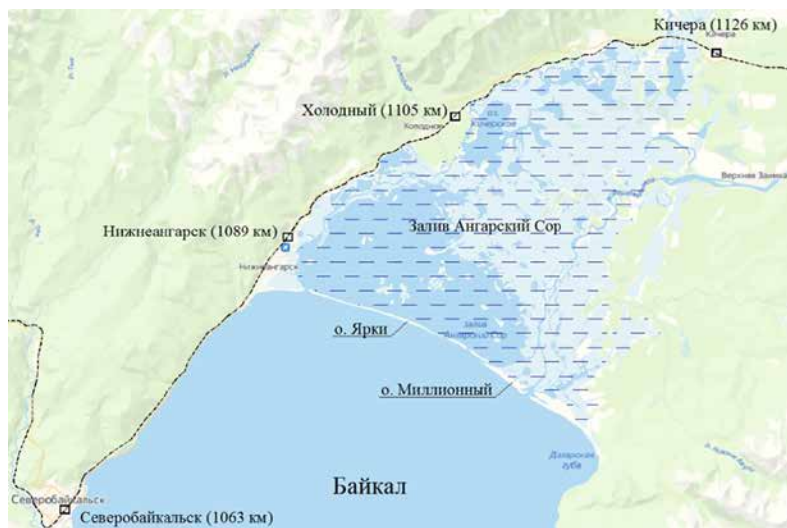


Рис. 1. Схема Байкальского участка Восточно-Сибирской железной дороги

сложенных песчаными наносами, может привести к негативным последствиям. Полный размыв островов Ярки и Миллионный приведет к нарушению экологического равновесия в Ангарском Соре и прилегающей части Северного Байкала, являющихся местом нагула молоди рыб, включая и омуля, и утрате уникальных природных ландшафтов. Наряду с этим возникает и вторая не менее значимая проблема. Размыв аккумулятивных образований, ограждающих залив Ангарский Сор, вызовет проникновение волн на его акваторию, что предопределяет размывы его берегов, вдоль которых проходит автомобильная дорога и участок БАМа.

Железнодорожное полотно на прижимном участке Восточно-Сибирской железной дороги от станции Северобайкальск (1063 км) до станции Нижнеангарск (1089 км) от волнового и ледового воздействия было защищено широкими волногасящими бермами из скального грунта по рекомендациям ЦНИИСа.

На участках дороги, наиболее подверженных волновым и ледовым воздействиям, в 1979–1980 гг. построено 8,2 км волногасящих берм из скального грунта, из них 5,4 км – для временных обходов мысовых тоннелей, а 2,8 км – вдоль железнодорожного

полотна. Объем отсыпки скального грунта при строительстве временных обходов мысовых тоннелей составил 432 тыс. м³. Всего отсыпано в бермы 751 тыс. м³, отсыпка выполнялась до глубин 5–7 м [1, 2].

Волногасящие бермы из скального грунта применялись в качестве инженерных сооружений для защиты земляного полотна от воздействия волн и льда. На земляном полотне на разных уровнях построены железная и автомобильная дороги (рис. 2).

По результатам расчетов и физического моделирования, выполненных в Черноморском отделении ЦНИИСа, получено, что несортированная горная масса должна была содержать не менее 50 % фракции крупностью более 50 см. Такая горная масса создает скелет волногасящей бермы, так как исключается перемещение волнами камней крупностью более 50 см. На отдельных участках для замедления вдоль берегового перемещения более мелких фракций построены каменнонабросные буны. Диаметр отдельных камней при строительстве каменнонабросных бун составлял не менее 1,1 м каждый. Под прикрытием волногасящей бермы железнодорожное полотно рекомендовалось располагать с учетом надвига льда не



Рис. 2. Волногасящая берма протяженностью 460 м; 1066–1067 км ВСЖД. Сентябрь 1988 г. Фотография Г. Г. Зубаренковой



Рис. 3. Волногасящая берма протяженностью 570 м; 1083 км ВСЖД. Сентябрь 1985 г. Фотография Г. Г. Зубаренковой

менее чем на 7,5 м выше расчетного уровня озера Байкал [1].

На обходах четырех мысовых тоннелей построены временные железная и автомобильная дороги, расчетный срок службы которых предполагался 10 лет. Они должны были использоваться до момента завершения строительства Байкальского участка БАМа. Однако автодорога 81К-041, проложенная по гребню волногасящей бермы из скального грунта, эксплуатируется и в настоящее время.

Волногасящие бермы из несортированной горной массы, предложенные Черноморским отделением ЦНИИСа для внедрения на Байкальском участке, в практике защиты железнодорожного полотна на приморских участках ранее не применялись и опытной проверке не подвергались. Поэтому секция инженерной защиты территорий НТС Госстроя СССР в сентябре 1979 года предложила выполненную защиту временного обхода сделать опытным объектом и организовать соответствующие

наблюдения [1]. Во исполнение этого решения ученые Черноморского отделения ЦНИИСа с 1979 г. приступили к наблюдениям за состоянием и эффективностью работы волногасящих берм из горной массы*.

По результатам периодических наблюдений на опытном объекте показано, что волногасящие бермы из несортированной горной массы показали высокую волногасящую эффективность, исключившие необходимость использования на Байкале каких-либо других берегозащитных сооружений, тем более из бетона. На рис. 3 и рис. 4 представлены фотографии волногасящей бермы № 7 на 1083 км ВСЖД протяженностью 570 м, сделанные с разницей в 14 лет. Из фотографий видно, что берма устойчива к негативным природным воздействиям, в корневой части бермы выросла полоса деревьев и кустарника. Таким образом, волногасящие бермы перестали выделяться из природного берегового ландшафта и слились с ландшафтом берегового склона.

* Наблюдения продолжались вплоть до 2001 г. по личной инициативе Е. К. Гречищева, канд. техн. наук, ведущего научного сотрудника НИЦ «Морские берега», посвятившего свою жизнь Байкалу.



Рис.4. Волногасящая берма протяженностью 570 м; 1083 км ВСЖД.
Сентябрь 1999 г. Фотография Е.К. Гречищева

Успешный опыт использования волногасящих берм из скального грунта на Байкальском участке БАМа от ст. Северобайкальск (1063 км ВСЖД) до ст. Нижнеангарск (1089 км ВСЖД) использован при строительстве берегозащитных сооружений на Кругобайкальском участке. Для доставки грунта и отсыпки из думпкарных вагонов использовались технологические железные дороги, проложенные вдоль уреза параллельно главной магистрали.

Протяженность участка ВСЖД от ст. Нижнеангарск (1089 км) до ст. Кичера (1126 км) составляет 37 км, из которых 22 км пролегают прижимом к заливу Ангарский Сор и по заболоченным участкам (см. рис. 1).

Текущая безопасность эксплуатации земельного полотна на этом участке основана на том, что залив Ангарский Сор отгорожен от Байкала островами Ярки и Миллионный. Острова защищают залив и его берега от попадания волн и от надвига льда со стороны

открытой акватории. В настоящее время острова интенсивно размываются, что может привести к проникновению волн в залив и к размыву его берегов, по которым проложен железнодорожный путь. Ускорить процессы размыва островов может дальнейший подъем уровня Байкала.

Максимально допустимый уровень озера Байкал составляет 456,48 м БС*, а расчетный уровень озера в районе поселка Нижнеангарск с учетом ветро-волнового нагона – 457,50 м БС. Значительный ветро-волновой нагон – около одного метра – объясняется вытянутостью озера с юго-запада на северо-восток.

Интенсивное разрушение берега волнами в районе Нижнеангарска началось после строительства оградительного мола пристани в 1930-х гг. Таким образом, был прерван поток наносов, движущихся вдоль берега по направлению от Северобайкальска к устью реки Кичера. Ситуация с размывом

* БС, Балтийская система высот, принятая в СССР и Российской Федерации система нормальных высот, отсчёт которых ведётся от нуля Кронштадтского футштока (футшток (от нем. *Fußstock* или нидерл. *voetstok*) – уровнемер в виде рейки (бруса) с делениями, установленный на водомерном посту для наблюдения и точного определения уровня воды в море, реке или озере).

берега усугубилась после повышения уровня Байкала почти на 1 м в связи с вводом в эксплуатацию Иркутской ГЭС в 1958 г.

Для защиты берега Нижнеангарска от размыва волнами построены бутобетонные стены и периодически выполнялась отсыпка из камня. Однако на большей протяженности уже к началу 2000-х гг. стена была разрушена (рис. 5).

В 2003 г. для защиты от волн фрагментов стены, автодороги и опор линии

электропередач выполнены противоаварийные мероприятия в виде отсыпки из крупного камня на протяжении около 700 м вдоль берега. Такие противоаварийные мероприятия несколько улучшили ситуацию, но не исключили угрозу дальнейших размывов.

Участок берега восточнее Нижнеангарска представляет собой аккумулятивное тело, которое разделяется устьем реки Кичера на Нижнеангарскую косу и остров Ярки (рис. 6).

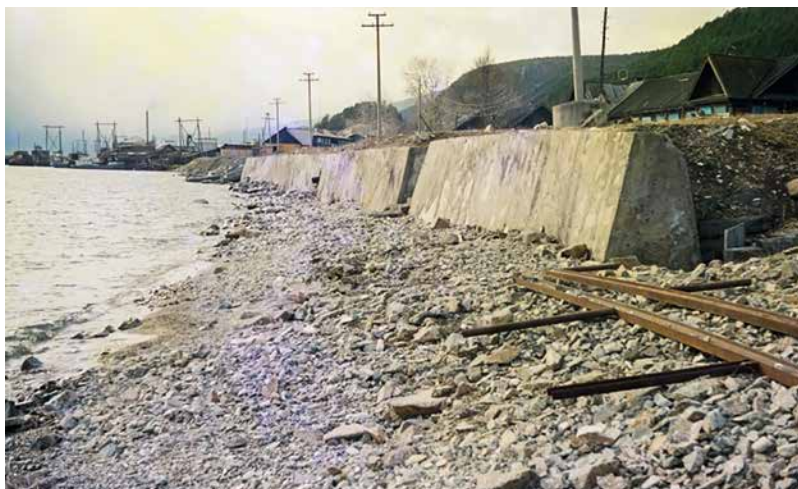


Рис. 5. Фрагменты бутобетонной стены в пос. Нижнеангарск. 2004 г.
Фотография В. А. Петрова



Рис. 6. Схема берегозащиты от Нижнеангарска до устья р. Кичеры

После подъема уровня Байкала размеры оконечной части Нижнеангарской косы в районе устья Кичеры резко уменьшились в результате затопления и дальнейших размывов берега. Сопоставление приурезового участка косы по данным съемки 2004-го г. с лоцманской картой 1958 г. показало, что смещение уреза на данном участке составило более 500 м, и минимальная ширина Нижнеангарской косы уже не превышала 10 м на отдельных участках.

Протяженность средней части Нижнеангарской косы составляет более 2 км, а её ширина на этом участке – от 40 до 60 м с отметкой верха всего на 0,5 м выше расчетного уровня Байкала. Волны во время штормов переливались через косу, перемещая песок в тыльную часть косы и размывая фронтальную.

В корневой части косы на участке протяженностью около 250 м берег находится в относительно стабильном состоянии благодаря периодическим отсыпкам скальной массы в приурезовую зону.

В 2005–2006 гг. по проекту филиала АО ЦНИИС «НИЦ «Морские берега» выполнялась защита от размыва волнами участка берега вдоль Нижнеангарска и до устья Кичеры (см. рис. 6).

Цель проектных мероприятий – защита от размыва участков берега в Нижнеангарске и песчаной косы, отделяющей заболоченную территорию от озера.

С учетом многолетнего положительного опыта использования берм из горной массы для защиты от волн и надвигов льда на соседнем Байкальском участке БАМа от ст. Северобайкальск до Нижнеангарска предложено строительство каменнонабросных сооружений и в пределах Нижнеангарска, и до устья Кичеры включительно.

Для защиты берега от размывов на участке в районе Нижнеангарска построены искусственный пляж из гравийно-галечной смеси крупностью 5–10 см, каменнонабросные берма и дамба из камня крупностью 0,3–0,5 м. Чтобы пляжевый материал не выносило, на восток от рассматриваемого участка и в качестве струенаправляющего сооружения на оконечности каменнонабросной дамбы в устье Кичеры построена шпора из камня массой 0,5–2,5 т каждый.

Протяженность каменнонабросной бермы составила 782 м, отсыпка выполнялась в объеме 32 тыс. м³. Участок берега напротив Нижнеангарска северо-восточнее оградительных сооружений пристани показан на рис. 7. После

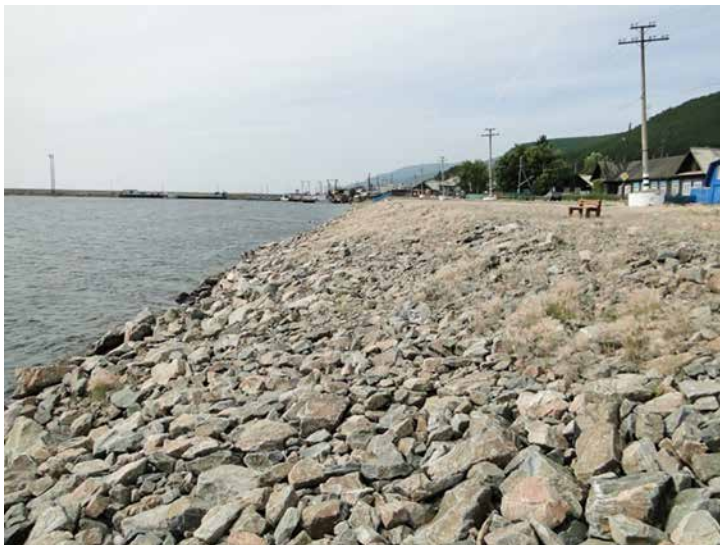


Рис. 7. Участок берега после строительства бермы, 2013 г. Фотография В. А. Петрова

строительства в 2005–2006 гг. каменнонабросной бермы с крупностью камня от 0,3 до 0,5 м размывы берега на этом участке прекратились.

На участке берега от каменнонабросной бермы и до устья Кичеры построена защитная дамба, протяженность которой составила около 3,3 км. В сечении дамба представляет собой трапецию шириной по верху 6,0 м и с боковыми сторонами, выполненными по уклону 1:2. Отметка верха дамбы составляет 459,5 м БС. Перед дамбой отсыпался искусственный пляж из гравийно-галечной смеси крупностью 5–10 см.

Всего в тело каменнонабросной дамбы и защитный пляж перед нею предусмотрено отсыпка более 130 тыс. м³ скальной породы.

Вид берега Нижнеангарской косы до строительства каменнонабросной дамбы показан на рис. 8. Низкие отметки косы допускали переливы волн через неё при подъеме уровня Байкала в результате ветроволнового нагона. Дальнейшая деградация Нижнеангарской косы могла привести к полной её утрате. В результате чего волны, размывая заболоченный участок, расположенный за косой, и переуглубляя его, достигли

бы незащищенные Нижнеангарск, аэропорт и участок железной дороги.

После строительства каменнонабросной дамбы в 2005–2006 гг. из камня крупностью от 0,3 до 0,5 м берег стабилизировался и деградация прекратилась. В настоящее время по верху каменнонабросной дамбы устроен проезд. Перед дамбой сформировался устойчивый волногасящий пляж, и следов размыва не отмечено (рис. 9).

Формирование устойчивого волногасящего пляжа на Нижнеангарской косе произошло и благодаря строительству шпоры из камня массой от 0,5 до 2,5 т.

Участок берега в пределах Нижнеангарска и до устья Кичеры включительно надежно защищен от волнового и ледового воздействия. Безопасность эксплуатации земляного полотна железной дороги на этом участке в настоящее время обеспечивается тем, что залив Ангарский Сор прикрыт от волнового воздействия островами Ярки и Миллионный (см. рис. 1). Однако острова на всем протяжении интенсивно размываются, что приведет к проникновению волн в залив и к размыву его берегов, по которым проложен железнодорожный путь.



Рис. 8. Берег Нижнеангарской косы до строительства дамбы, 2004 г.
Фотография В. А. Петрова



Рис. 9. Вид с построенной дамбы на шпору и о-в Ярки после строительства дамбы, 2013 г. Фотография В. А. Петрова

В результате анализа выполненных научных исследований [3–8], материалов инженерных изысканий [9, 10] и опыта оценки технического состояния уже построенных берегозащитных сооружений [11, 12] можно сделать вывод, что сохранение и восстановление естественной границы между Байкалом и водами Ангарского Сора, которой является песчаный бар, состоящий из островов Ярки и Миллионный, возможно только при строительстве сооружений инженерной защиты.

При разработке вариантов инженерной защиты островов Ярки учитывались литодинамические процессы в прибрежной зоне песчаного бара, наличие местных строительных материалов, геологическое строение оснований предлагаемых сооружений инженерной защиты и опыт строительства подобных объектов [13–15].

Один из важнейших факторов при выборе варианта защиты островов Ярки от дальнейшего размыва – требование по использованию естественных экологически чистых материалов, при этом необходимо минимизировать использование железобетонных конструкций в берегоукрепительных сооружениях.

Варианты инженерной защиты островов Ярки

Берегоукрепление островов Ярки с помощью искусственных песчаных пляжей – это, на первый взгляд, самое простое и правильное решение вопроса защиты песчаного бара от размывов. Естественный или искусственный пляж служит наилучшей защитой берега от волнового воздействия. Отсыпая искусственный пляж вдоль островов, можно прекратить размыв берега и восстановить песчаный бар в единый остров Ярки, засыпав промоину (рис. 10).

Протяженность промоины между островами составляет около 2 км. Подавляющая ее часть занята отмелью шириной 100–150 м с глубинами менее 1 м, частично осушаемой при средних и низких уровнях воды.

Песчаные наносы из вдоль берегового потока, имеющего на этом участке генеральное направление с востока на запад от устья Верхней Ангары в сторону устья Кичеры, перебрасываются через промоину, не задерживаясь в ней.

Для искусственного перекрытия промоины между островами и восстановления единого песчаного бара



Рис. 10. Промоина между островами Ярки. Вид в сторону устья реки Верхняя Ангара. Байкал справа, Ангарский Сор слева. 2013 г. Фотография В. А. Петрова

предлагается отсыпать песчаный пляж с шириной в надводной части 60 м и с отметкой в корневой части 457,6 м БС. Для выравнивания дна в прибрежной зоне проток и ложбины на подводном береговом склоне также необходимо заполнить песком.

Общий объем песка, необходимый только для искусственного перекрытия промоины и заполнения ложбин на подводном береговом склоне, составит более 305 тыс. м³.

При определении объемов отсыпки песка учитывались потери при выработке на подводном склоне профиля относительного динамического равновесия пляжа и потери на вынос материала за пределы рассматриваемого участка берега и на глубины.

Построенные песчаные пляжи потребуют постоянного эксплуатационного пополнения песком, а это в условиях отсутствия на севере Байкала наземных или подводных карьеров песчаного материала с необходимыми объемами песка делает реализацию данного варианта защиты берега островов Ярки от размыва волнами невыполнимой, по крайней мере, до момента открытия карьера вблизи рассматриваемого участка берега.

Наиболее эффективный вариант защиты песчаного бара с экономической точки зрения, а также с точки зрения надежности – строительство каменнонабросной дамбы, которая полностью защитит острова от размыва. Отметку дамбы в таком случае необходимо задать исходя из недопустимости перелива волн расчетного шторма при их накате на откос при максимально возможной (1 %) отметке уровня озера. Таким образом, отметку верха дамбы рекомендуется назначить 457,6 м БС. Ширина гребня дамбы (не менее 6 м) назначается исходя из технологических требований строительства пионерным способом и проезда строительной техники по её гребню. Чтобы каменнонабросное сооружение не деформировалось волнами со стороны озера, крупность камня в дамбе должна составлять 40–60 см.

Боковую грань дамбы со стороны озера необходимо выполнить откосом 1:3, а со стороны Ангарского Сора – 1:2. После строительства песчаный материал, переносимый волнами, который ранее перебрасывался в Ангарский Сор, будет аккумулироваться перед откосом каменнонабросной дамбы со стороны озера, что со временем приведет

к образованию устойчивого песчаного пляжа со стороны озера.

К основным вариантам можно отнести и комбинированный из двух рассмотренных выше вариантов, когда неразмываемое ядро отсыпки выполняется из каменной наброски и сверху перекрывается песчаным материалом. Такой вариант по сравнению с вариантом отсыпки искусственного песчаного пляжа, с одной стороны, уменьшит объем отсыпаемого песчаного материала, а с другой, каменнонабросное ядро фактически будет являться неразмываемой для волн конструкцией (скелетом), которая позволит сохранить целостность острова Ярки. Вопросы устойчивости сооружений от волнового воздействия и их оптимальные параметры должны уточняться специальными расчетами и проверяться на моделях в волновых лотках и бассейнах.

Выводы

Рассматривая участок БАМа на северном побережье Байкала с точки зрения защищенности земляного полотна

от волнового воздействия необходимо отметить, что:

– первый участок от ст. Северобайкальск (1063 км ВСЖД) до ст. Нижнеангарск (1089 км ВСЖД) протяженностью 26 км, из которых 17 км пролегает прижимом к озеру Байкал, надежно защищен волногасящими бермами из несортированной горной массы;

– второй участок от ст. Нижнеангарск (1089 км ВСЖД) до ст. Кичера (1126 км ВСЖД) протяженностью 37 км, из которых 22 км пролегают прижимом к заливу Ангарский Сор и по заболоченным участкам, защищен частично в пределах пос. Нижнеангарск и вдоль Нижнеангарской косы вплоть до устья Кичеры. Далее от устья Кичеры до устья Верхней Ангары интенсивно размывается песчаный бар, состоящий из островов Ярки и Миллионный. Такие размывы могут привести к тому, что волны, формируемые на акватории Байкала, проникая в Ангарский Сор, разрушат незащищенное от волнового воздействия земляное полотно железной дороги, проложенной на прижимных участках. ■

Литература

1. Гречищев Е. К. Волногасящие бермы из горной массы на Байкальском участке БАМа : Заключительный отчет в 2-х кн. – Кн. 1. Пояснительная записка. ЦНИИС. – 1986. – 48 с.
2. Гречищев Е. К. Отчет. Волногасящие бермы из скального грунта на Кругобайкальском участке ВСЖД. – Кн. 1 : Состояние берм и перспектива их строительства. – ЦНИИС. – 2001. – 78 с.
3. Ярославцев Н. А. Сохранение экологической системы Северного Байкала / Н. А. Ярославцев, В. А. Петров, Р. М. Тлявлин / URL: <https://elibrary.ru/item.asp?id=39221407> (дата обращения: 29.05.2023).
4. Петров В. А. Физическое моделирование влияния приливных колебаний уровня моря на волногасящие галечные пляжи / В. А. Петров, Г. В. Тлявлиная, Н. А. Ярославцев // Экологическая безопасность прибрежной и шельфовой зон моря. – 2022. – № 3. – С. 54–70. ISSN 2413-5577.
5. Потемкина Т. Г. Современные потоки наносов у острова Ярки (Северный Байкал) / Т. Г. Потемкина, Н. А. Ярославцев, В. А. Петров // Успехи современного естествознания. – 2008. – № 8. – С. 113–114. ISSN 1681-7494.
6. Тлявлин Р. М. Некоторые вопросы влияния гидротехнических сооружений на экологическую среду в шельфовой зоне морей / Р. М. Тлявлин, Г. В. Тлявлиная / URL: <https://elibrary.ru/item.asp?id=47309316> (дата обращения: 30.05.2023).
7. Тлявлиная Г. В. Литодинамические исследования в прибрежной зоне моря в составе инженерно-гидрометеорологических изысканий. URL: <https://elibrary.ru/item.asp?id=44149000> (дата обращения: 30.05.2023).
8. Тлявлиная Г. В. Лабораторные исследования размывов дна у сооружений под воздействием волн и течений / Г. В. Тлявлиная, Р. М. Тлявлин // Транспортное строительство. – 2017. – № 1. – С. 17–19. ISSN 0131-4300.

9. Петров В. А. Состав отложений береговой зоны островного бара Ярки на северном Байкале / В. А. Петров, Н. А. Ярославцев, Е. А. Федорова // *Иновационные системы*. – 2014. – Т. 1, № 2. – С. 173–191. eISSN 2409-3971.
10. Петров В. А. Влияние сгонно-нагонных явлений на морфологию устьев рек Северного Байкала / В. А. Петров, Н. А. Ярославцев // *Иновационные системы*. – 2014. – Т. 1, № 1. – С. 31–45. eISSN 2409-3971.
11. Тлявлин Р. М. Оценка технического состояния волногасящих сооружений инженерной защиты земляного полотна от волнового воздействия / Р. М. Тлявлин // *Известия ПГУПС*. – 2020. – № 2. – С. 198–209. ISSN 1815-588X.
12. Тлявлин Р. М. Критерии технического состояния бетонных бун // *Вестник УрГУПС*. – 2023. – № 1 (57). – С. 73–82. ISSN 2079-0392.
13. О методах защиты транспортных сооружений на открытых песчаных берегах внутренних морей / Г. В. Тлявлиная, Н. А. Ярославцев, В. А. Петров, Р. М. Тлявлин // *Транспортное строительство*. – 2015. – № 6. – С. 14–16. ISSN 0131-4300.
14. Тлявлиная Г. В. Особенности проектирования морских берегозащитных сооружений на приливных морях / Г. В. Тлявлиная, В. А. Петров, Р. М. Тлявлин // *Транспортное строительство*. – 2016. – № 4. – С. 4–6. ISSN 0131-4300.
15. Тлявлиная Г. В. Применение природного камня в морском гидротехническом строительстве / Г. В. Тлявлиная, Е. А. Вялый // *Экологическая безопасность прибрежной и шельфовой зон моря*. – 2022. – № 2. – С. 53–69. ISSN 2413-5577.

References

1. Grechishchev E. K. Wave-damping berms from the rock mass on the Baikal section of the BAM : Final report in 2 books. – Book 1. Explanatory note. TSNIIS. [Volnogasyashhie bermy iz gornoj massy na Bajkal'skom uchastke BAMa : Zaklyuchitel'nyj otchet v 2-kh kn. – Kn. 1. Poyasnitel'naya zapiska. TSNIIS] – 1986. – 48 p.
2. Grechishchev E. K. Report. Wave-damping berms from rocky soil on the Circum-Baikal section of the East Siberian Railway. – Book 1 : The state of berms and the prospect of their construction. [Volnogasyashhie bermy iz skal'nogo grunta na Krugobajkal'skom uchastke VSZHD. – Kn. 1 : Sostoyanie berm i perspektiva ikh stroitel'stva] – TSNIIS. – 2001. – 78 p.
3. Yaroslavtsev N. A. Preservation of the Northern Baikal ecological system [Sokhranenie ehkologicheskoy sistemy Severnogo Bajkala] / N. A. Yaroslavtsev, V. A. Petrov, R. M. Tlyavlin / URL: <https://elibrary.ru/item.asp?id=39221407> (accessed on: 05.29.2023).
4. Petrov V. A. Physical modeling of the influence of tidal sea level fluctuations on wave-absorbing pebble beaches / V. A. Petrov, G. V. Tlyavlina, N. A. Yaroslavtsev // *Environmental safety of the sea coastal and offshore zones. [Fizicheskoe modelirovanie vliyaniya prilivnykh kolebanij urovnya morya na volnogasyashhie galechnye plyazhi / V. A. Petrov, G. V. Tlyavlina, N. A. Yaroslavtsev // Ehkologicheskaya bezopasnost' pribrezhnoj i shel'fovoj zon morya]* – 2022. – № 3. – Pp. 54–70. ISSN 2413-5577.
5. Potemkina T. G. Modern sediment flows near the island of Yarki (Northern Baikal) / T. G. Potemkina, N. A. Yaroslavtsev, V. A. Petrov // *Advancements of modern natural science. [Sovremennye potoki nanosov u ostrova Yarki (Severnyj Bajkal) / T. G. Potemkina, N. A. Yaroslavtsev, V. A. Petrov // Uspekhi sovremennogo estestvoznaniya]* – 2008. – № 8. – Pp. 113–114. ISSN 1681-7494.
6. Tlyavlin R. M. Certain issues of the impact of hydraulic structures on the ecological environment in the sea offshore zone [Nekotorye voprosy vliyaniya gidrotekhnicheskikh sooruzhenij na ehkologicheskuyu sredu v shel'fovoj zone morej] / R. M. Tlyavlin, G. V. Tlyavlina / URL: <https://elibrary.ru/item.asp?id=47309316> (accessed on: 30.05.2023).
7. Tlyavlina G. V. Lithodynamic studies in the coastal zone of the sea as part of engineering and hydrometeorological surveys. [Litodinamicheskie issledovaniya v pribrezhnoj zone morya v sostave inzhenerno-gidrometeorologicheskikh izyskanij] URL: <https://elibrary.ru/item.asp?id=44149000> (accessed on: 30.05.2023).
8. Tlyavlina G. V. Laboratory studies of bottom washouts at structures under the impact of waves and currents / G. V. Tlyavlina, R. M. Tlyavlin // *Transport construction. [Laboratornye issledovaniya razmyvov dna u sooruzhenij pod vozdejstviem voln i techenij / G. V. Tlyavlina, R. M. Tlyavlin // Transportnoe stroitel'stvo]* – 2017. – № 1. – Pp. 17–19. ISSN 0131-4300.
9. Petrov V. A. Composition of sediments of the coastal area of the Yarki barrier on the northern Baikal / V. A. Petrov, N. A. Yaroslavtsev, E. A. Fedorova // *Innovative systems*.

- [Sostav otlozhenij beregovoј zony ostrovnogo bara Yarki na severnom Bajkale / V. A. Petrov, N. A. YAroslavtsev, E. A. Fedorova // Innovatsionnye sistemy] – 2014. – Vol. 1, № 2. – Pp. 173–191. eISSN 2409-3971.
10. Petrov V. A. The impact of wind-driven effects on morphology of the estuaries of Northern Baikal rivers/ V. A. Petrov, N. A. Yaroslavtsev // Innovative systems. [Vliyanie sgonno-nagonnykh yavlenij na morfologiyu ust'ev rek Severnogo Bajkala / V. A. Petrov, N. A. YAroslavtsev // Innovatsionnye sistemy] – 2014. – Vol. 1, № 1. – Pp. 31–45. eISSN 2409-3971.
 11. Tlyavlin R. M. Evaluation of the technical condition of wave–damping structures of engineering protection of the roadbed from wave action / R. M. Tlyavlin // News Bulletin of PSTU. [Otsenka tekhnicheskogo sostoyaniya volnogasyashhikh sooruzhenij inzhenernoj zashhity zemlyanogo polotna ot volnovoј vozdejstviya / R. M. Tlyavlin // Izvestiya PGUPS]. – 2020. – № 2. – Pp. 198–209. ISSN 1815-588X.
 12. Tlyavlin R. M. Criteria for the technical condition of concrete groynes // Herald of USURT. [Kriterii tekhnicheskogo sostoyaniya betonnykh bun // Vestnik UrGUPS] – 2023. – № 1 (57). – Pp. 73–82. ISSN 2079-0392.
 13. Regarding protection methods of transport structures on open sandy shores of inland seas / G. V. Tlyavlina, N. A. Yaroslavtsev, V. A. Petrov, R. M. Tlyavlin // Transport construction. [O metodakh zashhity transportnykh sooruzhenij na otkrytykh peschanykh beregakh vnutrennikh morej / G. V. Tlyavlina, N. A. YAroslavtsev, V. A. Petrov, R. M. Tlyavlin // Transportnoe stroitel'stvo] – 2015. – № 6. – Pp. 14–16. ISSN 0131-4300.
 14. Tlyavlina G. V. Features of designing marine coastal protection structures on tidal seas / G. V. Tlyavlina, V. A. Petrov, R. M. Tlyavlin // Transport construction. [Osobennosti proektirovaniya morskikh beregozashhitnykh sooruzhenij na prilivnykh moryakh / G. V. Tlyavlina, V. A. Petrov, R. M. Tlyavlin // Transportnoe stroitel'stvo] – 2016. – № 4. – Pp. 4–6. ISSN 0131-4300.
 15. Tlyavlina G. V. Using of natural stone in marine hydraulic engineering construction / G. V. Tlyavlina, E. A. Sluggish // Environmental safety of the coastal and offshore zones of the sea. [Primenenie prirodnogo kamnya v morskome gidrotekhnicheskom stroitel'stve / G. V. Tlyavlina, E. A. Vyalyj // Ehkologicheskaya bezopasnost' pribrezhnoj i shel'fovoj zon morya] – 2022. – № 2. – Pp. 53–69. ISSN 2413-5577.

Статья сдана в редакцию 31 мая 2023 года

Аспирантская тетрадь

УДК 629.4.077 : 629.4.087

Д. С. Кривошея

Влияние свойств дискового тормоза с термоизолированными узлами трения на коэффициент трения покоя

UDC 629.4.077 : 629.4.087

D. S. Krivosheya

The impact of disc brake properties with thermally insulated friction units on a static idle friction coefficient

Аннотация

Статья посвящена аналитическому определению зависимостей коэффициента трения покоя дискового тормоза с термоизолированными узлами трения от влияющих факторов и экспериментальному подтверждению полученного итогового результата.

В конструкции нового дискового тормоза предусмотрено два узла трения, в каждом из которых используются материалы с разными рабочими температурами. Характерной особенностью тормоза является термоизоляция узлов трения, что позволяет обеспечить каждой паре трения свои температурные условия. В качестве фрикционных

материалов использованы углерод и сталь.

Рассчитаны характеристики контактного взаимодействия рабочих элементов дискового тормоза: зависимости контурной площади контакта от радиуса закругления вершин волн волнистости, контурных давлений от комплексных критериев шероховатости, интегрального коэффициента трения дискового тормоза с термоизолированными узлами трения от влияющих факторов. Экспериментальная проверка полученных результатов проведена на натурном стенде, который позволяет измерять силы трения покоя в условиях реальных сил, давлений и геометрии области контакта).

В результате исследования установлено, что напряженно-деформированное состояние области контакта в условиях статического силового взаимодействия соответствует упругому ненасыщенному контакту. В этом случае при расчете трения покоя механической составляющей коэффициента трения можно пренебречь. Экспериментально подтверждено, что с увеличением нормальной силы прижатия элементов дискового тормоза коэффициент трения покоя снижается, что говорит об упругом характере взаимодействия микронеровностей. Фрикционный материал на основе углерода характеризуется более низкими значениями коэффициента трения

Статья рекомендована к публикации Н. В. Паламарчуком, д-ром техн. наук, профессором, заведующим кафедрой «Подвижной состав железных дорог» ФГБОУ ВО ДОНИЖТ, Донецк.

Дарья Сергеевна Кривошея, ст. преподаватель, соискатель; кафедра «Подвижной состав железных дорог» ФГБОУ ВО «Донецкий институт железнодорожного транспорта»; Донецк, Донецкая Народная Республика, Россия. E-mail: goncharova_ds@mail.ru. ORCID 0000-0002-1084-4667.

© Д. С. Кривошея, 2023

The article is recommended for publishing by N. V. Palamarchuk, Doctor of Technical Sciences, Professor, Head of the Department of Railway Rolling Stock, Federal State Budgetary Educational Institution of Higher Education Donetsk Railways, Donetsk.

Daria Sergeevna Krivosheya, Senior Lecturer, Applicant for an academic degree; "Railway Rolling Stock" Department of the Donetsk Railway Transport Institute; Donetsk, Donetsk People's Republic, Russia. E-mail: goncharova_ds@mail.ru. ORCID 0000-0002-1084-4667.

© D. S. Krivosheya, 2023

покоя для всех заданных величин усилия прижатия.

Ключевые слова: торможение, термоизолированные узлы трения, коэффициент трения покоя, контурная площадь, фактическая площадь, контурные давления, упругий ненасыщенный контакт.

DOI: 10.20291/2079-0392-2023-3-126-135

Abstract

The article is devoted to analytical determination of dependences of the static idle friction coefficient of a disc brake with thermally insulated friction nodes on influencing factors and experimental confirmation of the final result obtained.

The design of the new disc brake provides two friction units, each of which uses materials with different operating temperatures. A characteristic feature of the brake is the thermal

insulation of friction units, which allows each pair of friction to provide its own temperature conditions. Carbon and steel are used as friction materials.

The characteristics of contact interaction of the working elements of the disc brake are calculated: the dependence of a contour contact area on the radius of curvature of the tops of undulation waves, contour pressures on complex roughness criteria, the integral coefficient of friction of the disc brake with thermally insulated friction nodes on influencing factors. Experimental verification of the obtained results was carried out on a full-scale facility, which allows measuring the forces of static friction under conditions of real forces, pressures and geometry of the contact area.

As a result of the study, it was found that the stress-

strain state of the contact area under conditions of static force interaction corresponds to an elastic unsaturated contact. In this case, when calculating the static friction, the mechanical component of the friction coefficient can be neglected. It has been experimentally confirmed that with the increase in the normal pressing force of the disc brake elements, the coefficient of static friction decreases, which indicates the elastic nature of the interaction of micro-dimensions. Carbon-based friction material is characterized by lower values of the static friction coefficient for all specified values of the clamping force.

Keywords: braking, thermally insulated friction units, static idle friction coefficient, contour area, actual area, contour pressures, elastic unsaturated contact.

DOI: 10.20291/2079-0392-2023-3-126-135

Углеродные фрикционные материалы (УФМ) очень перспективны для тормозных систем, но у них низкий коэффициент трения при температурах примерно до 300 °С и довольно высокая стоимость, связанная со стоимостью сырья для УФМ и трудоемкой технологией его изготовления. Изготовление УФМ для одного комплекта тормозного оборудования занимает примерно семь месяцев [1–3].

Еще не определен оптимальный вариант конструкции триботехнического блока «колодка – тормозной диск» дискового тормоза из УФМ с учетом необходимых рабочих свойств и приемлемой стоимости его жизненного цикла [4, 5]. Продолжаются попытки улучшить коэффициент трения дискового тормоза за счет объединения в узлах трения нескольких фрикционных материалов с различными свойствами, что сократит расход УФМ на один комплект

тормозного оборудования и стоимость тормоза в целом [6]. Однако этому методу препятствует температурная общность материалов, участвующих в контакте, которая приводит к единой температуре взаимодействия.

По сравнению с традиционным дисковым тормозом, у дискового с термоизолированными узлами трения в узлах трения находится в два раза меньше одноименного фрикционного материала, поэтому сравнение технико-экономической эффективности нового дискового тормоза с классическим вариантом неоднозначное. К тому же, свойства этих материалов сильно отличаются как по физико-механическим, так и теплотехническим характеристикам, которые сложным образом зависят от температуры [7, 8].

Расчет коэффициента трения покоя дискового тормоза с термоизолированными узлами трения, который

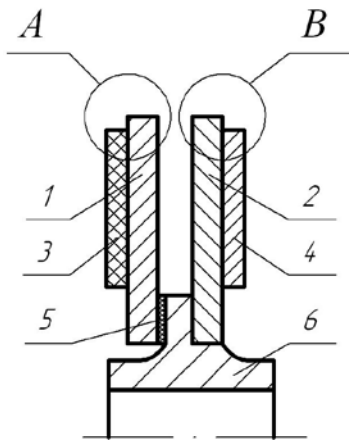


Рис. 1. Принципиальная схема дискового тормоза с двумя термоизолированными узлами трения, имеющими различные фрикционные свойства

A – узел трения; *B* – узел трения;
 1, 2 – тормозные диски; 3, 4 – тормозные накладки; 5 – термоизолирующий элемент;
 6 – ступица

по определению не учитывает влияние температуры, можно рассматривать как одну из характеристик потенциальных фрикционных свойств данного тормоза, предопределяющих интенсивность реализации процесса торможения.

Принципиальная схема дискового тормоза с двумя термоизолированными узлами трения [9], которые содержат фрикционные материалы с различными свойствами, представлена на рис. 1.

Основные компоненты схемы – термоизолированные относительно друг друга узлы трения *A* и *B*. Узел трения *A* образует тормозной диск 1 и тормозная накладка 3, а узел трения *B* – тормозной диск 2 и тормозная накладка 4. Материалы, из которых изготовлены тормозные диски 1, 2 и тормозные накладки 3, 4, отличаются по свойствам. Термоизолирование узлов трения осуществляется за счет прокладки 5, которая не дает возможность перетекать теплу из узла трения *A* в узел трения *B*. Узел трения *B* не имеет термоизоляции между тормозным диском 2 и ступицей 6 и предназначена

для материалов, которые, в отличие от узла трения *A*, генерируют в процессе взаимодействия меньший уровень температуры.

В качестве фрикционных материалов, из которых изготовлены узлы трения, взяты материалы на основе УФМ для узла трения *A* и материалы, которые имеют высокий коэффициент трения при температурах, соответствующих начальной и средней стадиям нагрева для узла трения *B*. В узле трения *B* использована накладка автомобиля премиум-класса (АК), которая взаимодействует в паре со сталью 35ГС.

По сравнению с классическим дисковым тормозом, рабочие площади углерода и стали нового тормозного диска в два раза меньше. И здесь возникает задача аналитической оценки эффективности дискового тормоза по критерию коэффициента трения покоя по сравнению с традиционным дисковым тормозом.

В качестве основной методики исследования принята молекулярно-механическая теория трения [7, 8, 10]. Расчетная схема дискового тормоза с термоизолированными узлами трения представлена на рис. 2.

Термоизолирующий диск 1 разделяет тормозной диск на два узла трения: *A* (тормозная накладка 3 и тормозной диск 2 из УФМ) и *B* (тормозная накладка 5 из материала АК, тормозной диск 4 из стали 35ГС). Термоизолирование создает два независимых по температурному критерию узла трения. Ступица 6 напрессована на ось колесной пары 7.

Площадь *S* каждой тормозной колесной пары будет равна:

$$S = (\pi R_1^2 - \pi R_2^2) K_{\text{вп}}, \quad (1)$$

где R_1 – наружный радиус, м; R_2 – внутренний радиус, м; $K_{\text{вп}}$ – коэффициент взаимного перекрытия.

Согласно молекулярно-механическим представлениям о процессе трения, интегральная сила трения *F* дискового

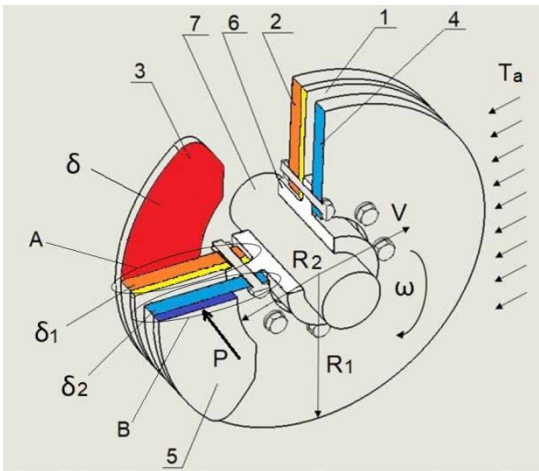


Рис. 2. Расчетная схема дискового тормоза с термоизолированными узлами трения
 A, B – узлы трения; P – сила прижатия тормозной накладки к тормозному диску; T_a – абсолютная температура; R_1, R_2 – наружный и внутренний радиус; δ_1, δ_2 – толщина тормозных дисков; V – вектор скорости; ω – угловая скорость; 1 – термоизолирующий элемент; 2 – тормозной диск из УФМ; 3 – тормозная накладка из УФМ; 4 – тормозной диск из стали; 5 – тормозная накладка из АК; 6 – ступица; 7 – ось колесной пары

тормоза с термоизолированными узлами трения равна сумме сил трения молекулярной и механической составляющих на пятнах фактического касания микронеровностей [7]:

$$F = (F_{\text{мех1}} + F_{\text{мол1}}) + (F_{\text{мех2}} + F_{\text{мол2}}), \quad (2)$$

где $F_{\text{мех1}}, F_{\text{мех2}}$ – механическая составляющая сил трения узлов трения A и B соответственно, Н; $F_{\text{мол1}}, F_{\text{мол2}}$ – молекулярная составляющая сил трения узлов трения A и B соответственно, Н.

Тогда выражение для коэффициента трения f дискового тормоза с термоизолированными узлами трения будет иметь вид:

$$f = [(F_{\text{мех1}} + F_{\text{мол1}}) + (F_{\text{мех2}} + F_{\text{мол2}})]/2P, \quad (3)$$

где P – нормальная нагрузка, приложенная к дисковому тормозу, Н/м².

Для оценки коэффициента трения покоя f необходимы параметры шероховатости наиболее твердого из тел и их

физико-механические свойства. Параметры шероховатости сняты с поверхности тормозных дисков, находящихся на стенде. Методика замеров стандартная. Учитывались параметры шероховатости, расположенные фронтально к направлению взаимодействия. Физико-механические свойства контактирующих тел взяты из справочной литературы [7, 8, 10].

Параметры шероховатости поверхностей тормозных дисков узлов трения A и B сведены в таблицу 1.

Определение комплексного критерия шероховатости Δ поверхностей тормозного диска для узлов трения A и B производилось по формуле (4) [7]:

$$\Delta = R_{\text{max}}/rb^{1/v}, \quad (4)$$

где R_{max} – максимальная высота микронеровности в пределах базовой длины, м; r – радиус закругления вершины микронеровности, м; b, v – параметры аппроксимации начального участка опорной кривой поверхности.

Таблица 1

Параметры шероховатости поверхностей тормозных дисков узлов трения A и B

Наименование	УФМ (узел А)	Сталь 35ГС (узел В)
Максимальная высота микронеровности R_{max} , мкм	4,4	5,5
Средний шаг микронеровностей S_m , мкм	280	205
Максимальная высота волны W_{max} , мкм	4,2	5,6
Средний шаг волн W_{sm} , мкм	4150	3060

Одна из важных характеристик контактирования твердых тел – контурная площадь контакта A_c , которая для узлов трения A и B определялась из выражения [10]:

$$A_c = A_a K_b K_w \left[\left(\frac{2R_w}{W_{\max}} \right) Q p_a \right]^{\frac{v_w}{v_w+1}}, \quad (5)$$

где A_a – номинальная площадь контакта, м²; K_b – коэффициент, зависящий от распределения волн по высоте; K_w – коэффициент, учитывающий влияние шероховатости на распределение волн по высоте; R_w – радиус закругления волн волнистости узлов трения A и B , м; W_{\max} – максимальная высота волны волнистости, м; Q – упругая постоянная материала, Н/м; p_a – номинальное давление, Па; v_w – параметр степенной аппроксимации начального участка опорной кривой.

Интенсивность протекания фрикционного взаимодействия зависит от нормальной силы прижатия P тормозной накладке к тормозному диску. Параметром, учитывающим это, является номинальное давление p_a :

$$p_a = P/A_a, \quad (6)$$

где P – сила прижатия тормозной накладке к тормозному диску, Н.

Радиус закругления вершин волн волнистости R_w , входящий в формулу (5), определялся из соотношения [10]:

$$R_w = d^2/8h_1, \quad (7)$$

где d – ширина сечения, м, плоскостью, параллельной основанию и отстоящей от вершины волны на расстоянии h_1 , м.

Анализ формулы (5) показывает взаимосвязь компонентов формулы. При увеличении максимальной высоты волны W_{\max} при прочих равных условиях уменьшается радиус закругления вершин волны R_w , а также увеличивается величина контурных давлений p_c . Это влияет на параметры степенной аппроксимации начального участка опорной кривой v_w и на коэффициент K_w . Таким образом, в формуле (5) только два независимых параметра: номинальная площадь контакта A_a и упругая постоянная материала Q . Доминирует здесь рост контурных давлений p_c .

Контурная площадь контакта A_c показывает, что поверхность обладает несущей способностью (рис. 3). Контурная площадь контакта зависит от параметров волнистости поверхности R_w и W_{\max} : чем больше радиус закругления волн волнистости R_w и меньше высота волны W_{\max} поверхности, тем больше величина контурной площади контакта A_c .

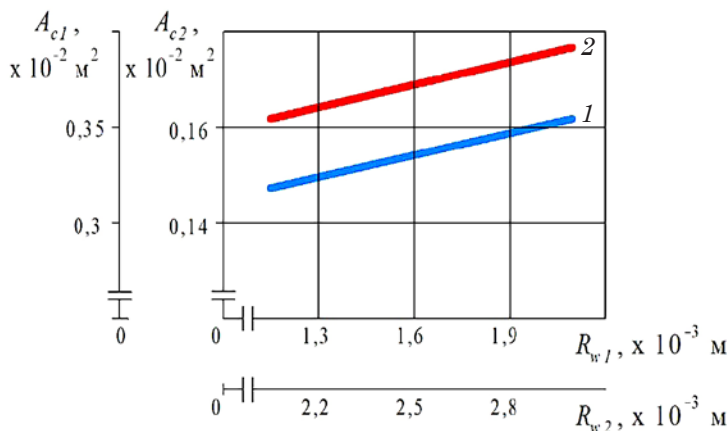


Рис. 3. Зависимость контурной площади контакта A_c от радиуса закругления вершины волны R_w
 1 – узел трения А (УФМ – УФМ); 2 – узел трения В (АК – сталь 35ГС)

Зная контурную площадь контакта, определим контурные давления p_c , а также входящие в формулу (8) относительное сближение контактирующих поверхностей ε и сближение контактирующих поверхностей h [10]:

$$p_c = \frac{0,21\nu(\nu-1)kb^{\frac{2\nu+1}{2\nu}}E\Delta^{\frac{1}{2}}}{(1-\mu^2)} \cdot \varepsilon^2; \quad (8)$$

$$\varepsilon = \frac{h}{R_{\max}}; \quad (9)$$

$$h = \left[\frac{5p_c R^{\frac{1}{2}} (1-\mu^2) R_{\max}^2}{bv(\nu-1)kE} \right]^{\frac{\nu}{\nu+1}}, \quad (10)$$

где ν , b – параметры аппроксимации начального участка опорной кривой узла трения; E – модуль упругости материала, Н/м²; k – постоянная интегрирования, зависящая от параметра ν ; Δ – комплексный критерий шероховатости поверхности; ε – относительное сближение контактирующих поверхностей; h – сближение контактирующих поверхностей в узле трения, м; μ – коэффициент Пуассона; R_{\max} – максимальная высота микронеровностей в пределах базовой длины, м.

В формуле (8) доминирующее влияние на контурные давления p_c

оказывают комплексный критерий шероховатости Δ и сближение поверхностей ε . С уменьшением комплексного критерия шероховатости Δ и увеличением сближения ε контурные давления p_c уменьшаются, что подтверждается результатами, представленными на рис. 4.

Проверка по критериям деформирования микронеровностей (11) показывает, что микронеровности узла трения A (УФМ – УФМ) и узла трения B (АК – сталь 35ГС) деформируются в условиях упругого ненасыщенного контакта:

$$0 \leq \frac{p_c(1-\mu^2)}{E} \leq 6 \cdot 10^{-2} \Delta^{0,5}, \quad (11)$$

где μ – коэффициент Пуассона; E – модуль упругости материала, Н/м².

Коэффициент трения покоя f дискового тормоза определяется как усредненная сумма коэффициентов трения покоя узлов трения A и B :

$$f = \sum_{i=1}^2 (\overline{E}_i, \overline{B}_i) \cdot \frac{1}{2};$$

$$\overline{E}_i = \left\{ \frac{24\tau_{0i} \cdot (1-\mu_i)^{\frac{4}{3}}}{p_{ci}^{\frac{1}{3}} \cdot \Delta_i^{\frac{2}{5}}}; 1; 0,24\alpha_{\text{эфт}} p_{ci}^{\frac{1}{3}} \cdot \Delta_i^{\frac{2}{5}} \cdot \left(\frac{1-\mu_i^2}{E_i} \right)^{\frac{1}{3}} \right\}; \quad (12)$$

$$\overline{B}_i = \{1; \beta_i; 1\};$$

$$f = \sum_{i=1}^2 (\overline{E}_i, \overline{B}_i) \cdot \frac{1}{2}, \quad i=1,2,$$

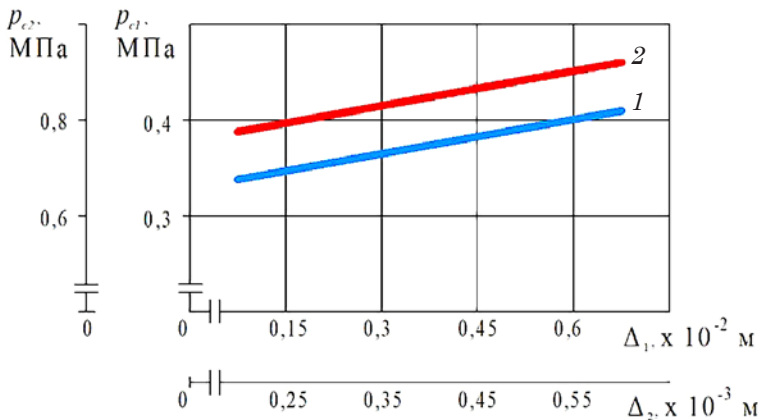


Рис. 4. Зависимость контурных давлений p_c от комплексного критерия шероховатости Δ 1 – узел трения A (УФМ – УФМ); 2 – узел трения B (АК – сталь 35ГС)

где f – интегральный коэффициент трения; $i = 1, 2$ – индексы, относящиеся к узлам трения A и B соответственно; τ_{0i} – прочность молекулярной связи на сдвиг узла трения; β_i – пьезокоэффициент молекулярной связи узла трения; $\alpha_{\text{эф}i}$ – коэффициент гистерезисных потерь узла трения; p_{ci} – контурные давления узла трения; E_i – модуль упругости материалов узла трения.

Интегральный коэффициент трения покоя f реализуется за счет молекулярной составляющей $f_{\text{мол}}$, при которой наблюдается его снижение. При дальнейшем повышении контурных давлений p_{c1} и p_{c2} интегральный коэффициент трения покоя f постепенно

проходит через минимум, после чего начинается его рост за счет механической составляющей $f_{\text{мех}}$. Учитывая, что взаимодействие осуществляется в условиях упругого ненасыщенного контакта, механической составляющей $f_{\text{мех}}$ коэффициента трения покоя можно пренебречь, и тогда коэффициент трения покоя f будет состоять из суммы молекулярных составляющих узлов трения A и B , которые обусловлены пьезокоэффициентами молекулярной связи соответствующих узлов трения.

В результате можно сделать вывод, что в узле трения A есть предпосылки для реализации более высокого коэффициента трения в динамике за счет молекулярной составляющей $f_{\text{мол}}$

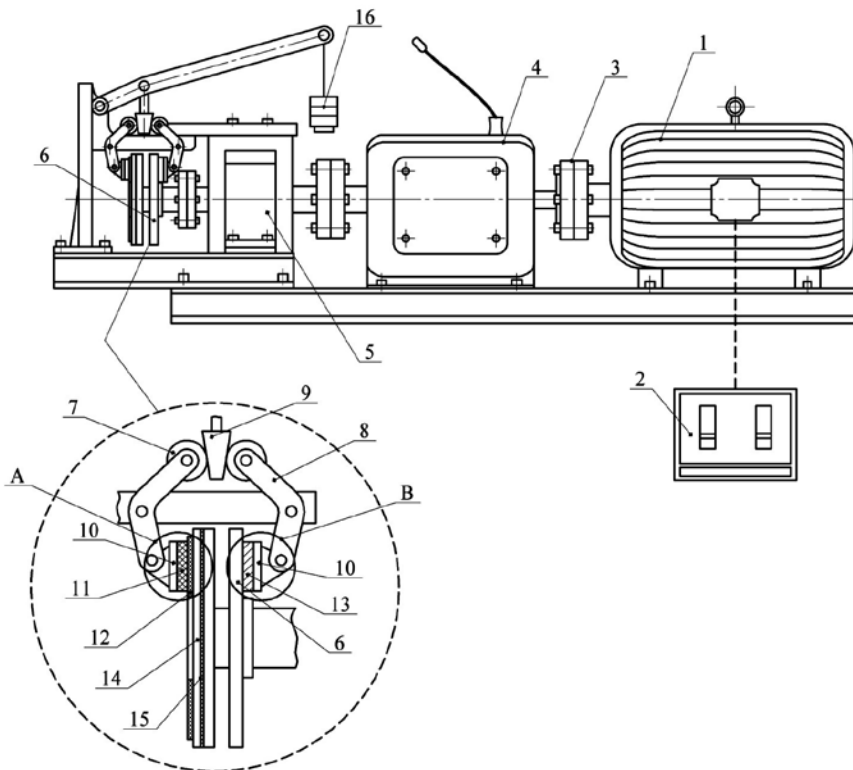


Рис. 5. Стенд для исследования коэффициента трения дискового тормоза с термоизолированными узлами трения

- 1 – асинхронный электродвигатель; 2 – блок управления; 3 – упругая муфта;
 4 – коробка передач; 5 – подшипниковый узел; 6 – тормозной диск; 7 – ролики;
 8 – кронштейн; 9 – клин; 10 – тормозные колодки; 11 – тормозная накладка из углерода;
 12 – тормозная дорожка из углерода; 13 – тормозная накладка из чугуна; 14 – диск;
 15 – термоизолирующая перегородка; 16 – механизм нагружения

коэффициента трения благодаря минимальным значениям комплексного критерия шероховатости Δ и развитой фактической площади контакта.

Полученные результаты проверены на основе экспериментального исследования, проведенного на натурном стендовом оборудовании (рис. 5) [11]. Исходные данные проведения экспериментов сведены в таблицу 2. В качестве исследуемых материалов взяты АК и УФМ, первому из которых характерно снижение коэффициента трения с ростом температуры в области контакта, второму – повышение коэффициента трения. Материал, из которого изготовлен тормозной диск, – сталь 35ГС.

Последовательность экспериментов. К тормозному диску с помощью механизма нагружения (цифровой домкрат) 16 прикладывалось тормозное усилие, равное 1,5 кН. Количество замеров определялось по среднеквадратическому

отклонению случайной величины. При срыве сцепления между диском и тормозной накладкой регистрировались показания прикладываемого усилия и высчитывался коэффициент трения. После этого аналогичные замеры выполнялись для сил нормального прижатия тормозной накладки к тормозному диску равных 2,0; 2,5 и 3,0 кН. Узлы трения формировались в соответствии с таблицей 2. Результаты экспериментов представлены на рис. 6.

Теоретические результаты, представленные на рис. 6, носят исключительно качественный характер, так как расчет коэффициента трения выполнялся с использованием характеристик, взятых из справочной литературы, что предполагает некоторое несоответствие в их интерпретации.

Как следует из приведенных результатов, снижение коэффициента трения покоя подтверждает вывод о том,

Таблица 2

Исходные параметры экспериментов

Параметр	Значение, наименование
Сила прижатия тормозных накладок F , кН	1,5; 2,0; 2,5; 3,0
Материал тормозных накладок	Чугун, УФМ
Материал тормозного диска	Сталь 35ГС, УФМ
Исследуемые сочетания материалов узлов трения	УФМ – УФМ
	АК – сталь 35ГС
	АК – сталь 35ГС – УФМ

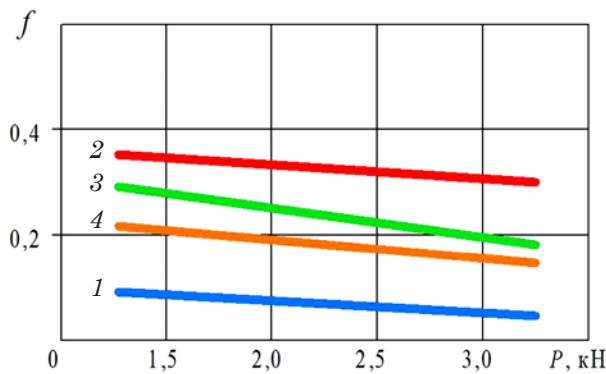


Рис. 6. Зависимость коэффициента трения покоя f от силы прижатия P тормозной колодки к тормозному диску

1 – эксперимент «УФМ – УФМ»; 2 – эксперимент «АК – сталь 35ГС»; 3 – эксперимент «АК – сталь 35ГС – УФМ»; 4 – теория «АК – сталь 35ГС – УФМ»

что напряженно-деформированное состояние рабочих элементов дискового тормоза при силовом взаимодействии соответствует упругому ненасыщенному контакту. Снижение коэффициента трения f с ростом нагрузки P является главным признаком взаимодействия тел в условиях упругого контакта. При упругом контакте взаимодействие осуществляется за счет молекулярной составляющей коэффициента трения $f_{\text{мол}}$, механическая составляющая коэффициента трения $f_{\text{мех}}$ пренебрежимо мала. Эта закономерность наблюдается для пар трения «АК – сталь 35ГС» и «УФМ – УФМ». Невысокие значения коэффициента трения для пары трения «УФМ – УФМ» (рис. 6) объясняются тем, что его реализация происходит в основном за счет молекулярной составляющей коэффициента трения $f_{\text{мол}}$.

Выводы

1. Напряженно-деформированное состояние контакта при силовом взаимодействии в режиме трения покоя соответствует упругому ненасыщенному контакту. При расчете коэффициента трения покоя его механической составляющей можно пренебречь. Коэффициент трения покоя состоит из суммы молекулярных составляющих узлов трения

A и B , которые обусловлены пьезокоэффициентами молекулярной связи соответствующих узлов трения.

2. С ростом силы нормального прижатия тормозной накладке к тормозному диску коэффициент трения покоя имеет тенденцию к снижению, что является признаком реализации упругого контакта. Отмеченные закономерности наблюдаются как для пары трения «АК – сталь 35ГС», так и пары трения «УФМ – УФМ».

3. Контурная площадь контакта зависит от максимальной высоты волны в пределах базовой длины и радиуса закругления волны. Чем больше радиус закругления волн волнистости и меньше высота волны волнистости поверхности, тем больше величина контурной площади контакта.

4. Узел трения, содержащий фрикционные материалы на основе углерода, имеет предпосылки для реализации более высокого коэффициента трения в динамике за счет молекулярной составляющей коэффициента трения благодаря минимальным значениям комплексного критерия шероховатости, развитой фактической площади контакта и соответствующему повышению механической составляющей коэффициента трения. ■

Литература

1. Starchenko V. N., Gurin V. A., Bykadorov V. P., Shapran E. N. Frikcionnye materialy na baze uglerod-asbestovykh volokon dlya tormoznykh ustrojstv // Zheleznye dorogi mira, 2006. № 2. URL: <http://www.css-rzd.ru/ZDM/2006-02/06008-1.htm> (дата обращения: 21.04.2023).
2. Носко А. П., Бойко Г. А. Тормозные диски и шкивы. Конструкция, материалы, изготовление, ремонт, тенденции развития : монография. – Луганск : Изд. Восточноукраинского национального университета им. В. Даля. 2009. – 78 с. ISBN 978-966-590-760-2.
3. Нилов А. С., Кулик В. И., Гаршин А. П. Анализ фрикционных материалов и технологий изготовления тормозных колодок для высоконагруженных тормозных систем с дисками из керамического композиционного материала // Научные исследования и разработки. Новые огнеупоры. 2015. № 7. С. 57–68. ISSN 1683-4518.
4. Технология керамических тормозных колодок – происхождение и преимущества. URL: <http://dpgo.ru/article/2011-03-15> (дата обращения: 13.03.2023).
5. Старченко В. Н., Гурин В. А., Быкадоров В. П., Шапран Е. Н. Фрикционные материалы на базе углерод-углеродных и углерод-асбестовых волокон для тормозных устройств // Железные дороги мира. 2006. № 2. С. 38–42. ISSN 0321-1495.
6. Osenin Yu. Yu., Douma Mansur Al-Makhdi, Sosnov I. I., Osenin Y. I., Sergienko O. V., Chesnokov A. V. Providing Stability of Friction Coefficient of Vehicle Disc Brake under the Extreme Operating Conditions // Friction and wear. Gomel, MPRI NAS of Belarus. 2016, Volume 37. № 3. P. 301–308.

7. Справочник по триботехнике / под общ. ред. М. Хебды, А.В.Чичинадзе. – В 3 т. – Т. 1. Теоретические основы. – М. : Машиностроение, 1989. 400 с.
8. Основы трибологии (трение, износ, смазка) : учеб. для техн. вузов. – 2-е изд., перераб. и доп. / А. В. Чичинадзе, Э. Д. Браун, Н. А. Буше и др. ; под общ. ред. А. В. Чичинадзе. – М. : Машиностроение. 2001. 663 с.
9. Патент № 150103. Украина. МПК (2006): F16D 25/00. Дискотормоз / Осенин Ю. И., Кривошея Д. С., Кривошея Ю. В., Осенина Г. Ю. № u202105230. Заявл. 15.09.2021; опубл. 29.12.2021. Бюл. № 52.
10. Узлы трения машин : Справочник / И. В. Крагельский, Н. М. Михин. – М. : Машиностроение, 1984. – 280 с.
11. Кривошея Ю. В., Бугаенко В. В., Соснов И. И., Малахов О. В., Малахова В. В. Стенд для исследования характеристик взаимодействия элементов трения дискового тормоза // Вестник РГУПС. 2020. № 1 (77). С. 83–88. ISSN 0201-727X.

References

1. Starchenko V. N., Gurin V. A., Bykadorov V. P., Shapran E. N. Frikcionnye materialy na baze uglerod-asbestovykh volokon dlya tormoznykh ustroystv // Zheleznye dorogi mira, 2006. № 2. URL: <http://www.css-rzd.ru/ZDM/2006-02/06008-1.htm> (accessed on: 21.04.2023).
2. Nosko A. P., Boyko G. A. Brake discs and pulleys. Construction, materials, manufacture, repair, development trends : monograph. [Tormoznye diski i shkivy. Konstruktsiya, materialy, izgotovlenie, remont, tendentsii razvitiya : monografiya] – Luhansk : Ed. Volodymyr Dahl East Ukrainian National University. 2009. – 78 p. ISBN 978-966-590-760-2.
3. Nilov A. S., Kulik V. I., Garshin A. P. Analysis of friction materials and manufacturing technologies of brake pads for high-loaded brake systems with discs made of ceramic composite material // Scientific research and development. New refractories. [Analiz friktsionnykh materialov i tekhnologij izgotovleniya tormoznykh kolodok dlya vysokonagruzhennykh tormoznykh sistem s diskami iz keramicheskogo kompozitsionnogo materiala // Nauchnye issledovaniya i razrabotki. Novye ogneupory] 2015. No. 7. Pp. 57–68. ISSN 1683-4518.
4. Ceramic brake pad technology – origin and advantages. [Tekhnologiya keramicheskikh tormoznykh kolodok – proiskhozhdenie i preimushhestva] URL: <http://dpgo.ru/article/2011-03-15> (accessed on: 03.06.2023).
5. Starchenko V. N., Gurin V. A., Bykadorov V. P., Shapran E. N. Friction materials based on carbon-carbon and carbon-asbestos fibers for braking devices // Railways of the world. [Friktsionnye materialy na baze uglerod-uglerodnykh i uglerod-asbestovykh volokon dlya tormoznykh ustroystv // Zheleznye dorogi mira] 2006. № 2. Pp. 38–42. ISSN 0321-1495.
6. Osenin Yu. Yu., Douma Mansur Al-Makhdi, Sosnov I. I., Osenin Y. I., Sergienko O. V., Chesnokov A. V. Providing Stability of Friction Coefficient of Vehicle Disc Brake under the Extreme Operating Conditions // Friction and wear. Gomel, MPRI NAS of Belarus. 2016, Volume 37. № 3. P. 301–308.
7. Guidebook on tribotechnics / under the general editorship of M. Hebda, A. V. Chichinadze. [Spravochnik po tribotekhnike / pod obshh. red. M. Khebды, A. V. Chichinadze] – In 3 vols. – Vol. 1. Theoretical foundations. – М. : Mechanical Engineering, 1989. 400 p.
8. Fundamentals of tribology (friction, wear, lubrication) : coursebook. for tech. universities. – 2nd ed., reprint. and enlarged / A. V. Chichinadze, E. D. Brown, N. A. Bushe [Osnovy tribologii (trenie, iznos, smazka) : ucheb. dlya tekhn. vuzov. – 2-e izd., pererab. i dop. / A. V. Chichinadze, E. D. Braun, N. A. Bushe i dr.] N. A. Boucher, etc.; under the general editorship of A. V. Chichinadze. – М. : Mechanical Engineering. 2001. 663 p.
9. Patent No. 150103. Ukraine. IPC (2006): F16D 25/00. Disc brake [Patent № 150103. Ukraina. MPK (2006): F16D 25/00. Diskovyy tormoz] / Osenin Yu. I., Krivosheya D. S., Krivosheya Yu. V., Osinina G. Yu. No. u202105230. Application 15.09.2021; publ. 29.12.2021. Bul. № 52.
10. Friction units of machines : Guidebook [Uzly treniya mashin : Spravochnik] / I. V. Kragelsky, N. M. Mikhin. – М. : Mechanical engineering, 1984. – 280 p.
11. Krivosheya Yu. V., Bugaenko V. V., Sosnov I. I., Malakhov O. V., Malakhova V. V. A testing facility for studying the characteristics of interaction of friction elements of a disc brake // News Bulletin of RSTU. [Stend dlya issledovaniya kharakteristik vzaimodeystviya ehlementov treniya diskovogo tormoza // Vestnik RGUPS] 2020. № 1 (77). Pp. 83–88. ISSN 0201-727X.

Статья сдана в редакцию 23 июня 2023 года

Уважаемые коллеги!

Информирую вас о требованиях, предъявляемых к оформлению статей.

При наборе используйте Word-2003 или Word-2007; шрифт (по всему тексту, в том числе в рисунках и таблицах) – тип Times, размер шрифта – 14, межстрочное расстояние – 1,5, абзацный отступ – 1,25 (1,27) см, поля – 2 см; расстановка переносов по всему тексту – автоматическая.

Набор формул: простые формулы и сочетания символов ($x^2 < y^2$; $E = mc^2$; $a^2 + b^2 = c^2$; Q_{i-1} ; ψ_j) – только в текстовом режиме, сложные

$$\left(s^2 = \frac{1}{n-1} \left[\sum_{j=1}^e x_j^2 n_j - \frac{1}{n} \left(\sum_{j=1}^e x_j n_j \right)^2 \right] \right); \left(\frac{\sigma_a}{[n]} \right)$$

или S_i^m) – только в редакторе формул

Equation или в MathType.

Написание букв: русские (а, б, в, А, Б, В), греческие (Θ, Σ, Ω, Ψ, α, β, δ, ε, λ, π), а также цифры и аббревиатуры (1, 2, 3; I, II, III; max, lg, sin и т. п.) пишутся только прямо; латинские (a, b, n, A, B, N и т. д.) – только курсивом. Исключение – курсив во вспомогательном тексте (слова «Таблица» и «Рис.», примечания в рисунках и ссылки в тексте на эти примечания).

Оформление текста: левый верхний край – инициалы, фамилия; заголовков – все буквы ПРОПИСНЫЕ, жирные, расположение – по центру набора; таблиц и рисунков: в таблицах размер шрифта – на полтора-два размера меньше, чем в основном тексте (11,5–12), расположение текста в «шапке» таблицы – по центру, в столбцах – по ширине; межстрочное расстояние – 1; слово «Таблица» – курсивное начертание, в правый край таблицы; название таблицы – начертание нормальное (прямое), расположение – по центру таблицы. В рисунках (графиках, диаграммах): размер подрисуночной

подписи – 14, расположение – по центру набора, слово «Рис.» – курсив, название рисунка – нормальное начертание, описание рисунка (экспликация) – нормальное начертание, условные обозначения – курсивное начертание, их расшифровка – нормальное. Расположение таблиц и рисунков – строго после ссылки на них.

Кроме того, рисунки обязательно прилагаются к материалу (один рисунок – один файл; формат – *.jpg).

Ссылки на литературу в тексте пишутся в квадратных скобках ([1], [1, 2] или [3–5]); нумерация сквозная. Список литературы/источников оформляется по ГОСТ 7.0.5–2008.

В конце статьи обязательно ставится дата отсылки материала в редакцию.

Объем статьи – не более 14-ти страниц.

Название файла: Фамилия. Первое слово заголовка. Подчеркивание. Последнее слово заголовка (Сидоров. Синтез_электроприводом).

К материалу (статье) обязательно прилагаются (отдельным файлом): УДК, сведения об авторе, аннотация, ключевые слова (название файла: УДК 000. Сидоров. Синтез_электроприводом).

Материалы для очередного номера журнала «Вестник УрГУПС» принимаются до 30 числа первого месяца квартала (до 30-го января, 30-го апреля, до 30-го июля, до 30-го октября). Материалы, поступившие в редакцию после 30-го числа, будут опубликованы только в следующем номере.

Успешной работы!

*Л. Барышникова,
литературный и выпускающий
редактор журнала «Вестник УрГУПС»*

Уважаемые читатели и авторы журнала «Вестник УрГУПС»!

Если вам нравится наш журнал, вы можете оказать содействие в его развитии,

перечислив денежные средства по реквизитам:

Ассоциация выпускников УЭМИИТ-УрГУПС

ИНН-КПП 6670317893/667001001

ОГРН 1156600001470

620075, Свердловская обл., г. Екатеринбург, ул. Шевченко, д. 20, помещение 1

Р/с 40703810863010000192

в ПАО КБ «УБРИР» филиал ССБ

к/с 30101810900000000795

БИК 046577795

Назначение платежа: «Пожертвование для поддержки научных журналов УрГУПС».

Ваша финансовая поддержка позволит нам увеличить число публикаций,

повысить индексы цитирования журнала и наших авторов.

Уважаемые руководители инновационных компаний и предприятий!

Предлагаем вам услуги по продвижению вашей продукции через сеть Ассоциации выпускников УЭМИИТ-УрГУПС.

Ассоциация выпускников УЭМИИТ-УрГУПС – это кооперация большого числа неравнодушных людей различных сфер деятельности, окончивших наш университет.

Кроме того, предлагаем услуги по подбору молодых специалистов, по организации поиска решений прикладных и научных задач в рамках диссертационных работ, выполняемых в УрГУПС.

Всю необходимую информацию вы можете получить по тел. (343) 221-25-60 или на сайте <http://www.usurt.ru/vypusnikam/assotsiatsiya-vypusnikov-urgups>

Извещение	<p>Получатель: Ассоциация выпускников УЭМИИТ-УрГУПС КПП: <u>667001001</u> ИНН: <u>6670317893</u> ОКТМО: <u>65701000</u> Р/сч.: <u>40703810863010000192</u> в: ПАО КБ «УБРИР» филиал ССБ БИК: <u>046577795</u> К/сч.: <u>30101810900000000795</u> Код бюджетной классификации (КБК): _____ Платеж: Пожертвование для поддержки научных журналов УрГУПС Плательщик: _____ Адрес плательщика: _____ ИНН плательщика: _____ № л/сч. плательщика: _____ Сумма: _____ руб. ____ коп. Подпись: _____ Дата: «___» _____ 2023 г.</p>
Квитанция	<p>Получатель: Ассоциация выпускников УЭМИИТ-УрГУПС КПП: <u>667001001</u> ИНН: <u>6670317893</u> ОКТМО: <u>65701000</u> Р/сч.: <u>40703810863010000192</u> в: ПАО КБ «УБРИР» филиал ССБ БИК: <u>046577795</u> К/сч.: <u>30101810900000000795</u> Код бюджетной классификации (КБК): _____ Платеж: Пожертвование для поддержки научных журналов УрГУПС Плательщик: _____ Адрес плательщика: _____ ИНН плательщика: _____ № л/сч. плательщика: _____ Сумма: _____ руб. ____ коп. Подпись: _____ Дата: «___» _____ 2023 г.</p>

ф. СП-1



АБОНЕМЕНТ

на ~~газету~~
журнал

70070

(индекс издания)

Вестник УрГУПС

(наименование издания)

Количество комплектов:

на 2023 год по месяцам:

1	2	3	4	5	6	7	8	9	10	11	12
						X	X	X	X	X	X

Куда

(почтовый индекс)

(адрес)

Кому

(фамилия, инициалы)

ДОСТАВОЧНАЯ КАРТОЧКА

ПВ	место	литер

на ~~газету~~
журнал

70070

(индекс издания)

Вестник УрГУПС

(наименование издания)

Стои- мость	подписки	руб. ____ коп.	Количество комплектов:
	переадресовки	руб. ____ коп.	

на 2023 год по месяцам:

1	2	3	4	5	6	7	8	9	10	11	12
						X	X	X	X	X	X

Куда

(почтовый индекс)

(адрес)

Кому

(фамилия, инициалы)